

AKDENİZ ÜNİVERSİTESİ  
FEN BİLİMLERİ ENSTİTÜSÜ

TRABZON-ERZURUM KARAYOLU  
KOPDAĞI 1 VE KOPDAĞI 2 TÜNEL GÜZERGAHLARI  
MÜHENDİSLİK JEOLOJİSİ VE JEOTEKNİK İNCELEMESİ

DOKTORA TEZİ  
Y.Müh. Mahmut MUTLUTÜRK

T420/1-1

Tezin Enstitüye Verildiği Tarih : 1.6.1989  
Tezin Savunulduğu Tarih : 22.6.1989

Tez Danışmanı : Prof. Dr. Aziz ERTUNÇ  
Diğer Juri Üyeleri : Prof. Dr. Okay GÜRPINAR  
Prof. Dr. Ali ŞAHİNÇİ

HAZİRAN-1989

**ÖZ—** Bu inceleme, Akdeniz Üniversitesi Fen Bilimleri Enstitüsü Jeoloji Mühendisliği Anabilim dalı Uygulamalı Jeoloji Programında doktora tezi olarak hazırlanmıştır. Arazi, laboratuvar ve büro çalışmaları 1986 yılından 1989 yılına kadar sürmüştür. Trabzon-Erzurum karayolu Kopdağı ve Kopdağı 2 tünel güzergahlarında yapılan bu çalışma ile kaya kütlesi sınıflamaları ve tünel güzergahlarına uygulamaları ile iksa önlemlerinin belirlenmesi incelenmiş, tünel güzergahlarının jeolojik ve jeoteknik koşulları ortaya konmuştur. Sonuç olarak Kopdağı 1 tünel güzergahının 0.000-0.060 km.ler arasındaki heyelanın ortadan kaldırılması, 2.000-3.000 km.ler arasındaki tünel kotuna çok yaklaşan heyelanın tünele etkisinin önlenmesi ile açılmasının mümkün olabileceği, Kopdağı 2 tünel güzergahının 0.000-2.030 km.ler arasında tamamının heyelan kütlesi içinde kalması nedeni ile açılmasını mümkün olmadığı ortaya konmuştur. Ayrıca, tünel inşası halinde beton kullanılabilecek agregat malzemesi yer ve nitelikleri araştırılmış, en uygun bölgeden alınan örneklerden beton dökülerek mukavemeti incelenmiştir. İstenilen mukavemetler elde edilemediğinden Gurri formasyonuna ait kireçtaşlarının kırılıp granülometrisi düzeltilerek betona katılması ile istenilen mukavemetin elde edilebileceği sonucuna varılmıştır.

Harita alanındaki en yaşlı birim Permo-Karbonifer öncesi yaşlı rekristalize kireçtaşı, gnays ve şistlerden oluşan Çankulesi metamorfiteridir. Alt-Orta Jura'da Sarıkaya formasyonu bulunur ve oolitik kireçtaşı, çörtlü kireçtaşı, kireçtaşı, kumtaşı, marn, çamurtaşı ardalanmasından oluşur. Üst Jura-Alt Kretase'de Gurri formasyonu yeralır ve Bakdülü kireçtaşı-şeyl üyesi, Kızileşme çörtlü kireçtaşı üyesi ve Aktaş kumtaşı-kireçtaşı-şeyl üyelerinden oluşur. Kop ultramafitleri Üst Jura-Alt Kretase zaman aralığında bölgeye yerleşmişlerdir. Kandıtaş çakıltaşlığı üyesi, Göller çamurtaşı-şeyl üyesinden oluşan Göllerderesi formasyonu Miyosen yaşlıdır. Kuvaterner alüvyon ve yamaç molozu ile temsiledilmiştir.

Harita alanında Kop ultramafiti ile Gurri formasyonu, Gurri formasyonu ile Göllerderesi formasyonu arasındaki dokonak açısal diskordansıdır. Sarıkaya formasyonu ile Gurri formasyonu arasındaki dokonak uyumludur. Gurri formasyonunda tektonizma etkisi ile gelişmiş pekçok kıvrım ve kıvrımcıklar vardır. Miyosen sonrası tektonik bakımından çok aktif olan inceleme sahasında düşey, ters, doğrultu atımlı, şariyaj olmak üzere 13 adet fay gözlenmiştir.

Tünel güzergahlarında yapılan kaya kütlesi sınıflamalarında RSR, RMR ve Q sistemleri kullanılmıştır. Üç sisteme göre bulunan iksa önlemleri jeolojik koşullar da gözönüne alınarak birleştirilmiştir. Kopdağı 1 tünel güzergahı 3060 m. uzunluktadır. 0.000-0.060 km.ler arasında bulunan aktif heyelan malzemesinin kısmen ortadan kaldırılması ve önüne

perde çekilmesi gerekmektedir. Tünelin yaklaşık 1500 m.si ultramafit kayalarda açılacaktır. 2.000-3.000 km.ler arasında tünel kotunun çok yakınından geçen heyelan su patlamaları ve göçmelere neden olabilir. Tünel güzergahı iki fay tarafından kesilmektedir. Kopdağı 2 tünel güzergahı 6130 m. uzunluktadır. Tünel güzergahı 0.000-2.030 km. ler arasında heyelan içinde bulunduğuandan burada tünel açılması mümkün değildir. Kesinlikle bu güzergahtan vazgeçilmelidir.

İnceleme sahasında, 7 heyelanlı bölge saptanmıştır. Bu heyelanlı bölgelerin 3 tanesi tünel güzergahlarınıetskilemektedir.

Tünel inşası halinde tünele en yakın beton agregamalzemesi Karasu Çayı'ndan (Erzurum-Aşkale) temin edilebilir. Karasu Çayı'nda yapılan çalışmalarla fiziksel özellikleri yönünden en uygun bölge B bölgesi olarak belirlenmiştir. Bu bölgeye ait örneklerden beton karışımı hazırlanmış ve beton mukavemeti incelenmiştir. Deney sonuçlarına göre istenilen mukavemetler elde edilememiştir. Mukavemetin artırılması için betona kırmaş ilave edilmesi gerekmektedir. Kırmaş olarak Gurri formasyonu kireçtaşları kullanılabilir.

İnceleme sahası 1. derecede deprem bölgesi içinde kalmaktadır.

**ABSTRACT-** This investigation has been prepared as a Ph.D. thesis to be submitted to the programs of Applied Geology, Department of Geological Engineering, Institute of Science, Mediterranean University. Field, laboratory and office work started in 1986 and finished in 1989. The study area covers Kopdağı 1 and Kopdağı 2 tunnel lines at Trabzon-Erzurum highway. Rock mass classifications and their applications to tunnel lines, determinations of geological and geotechnical conditions of Kopdağı 1-Kopdağı 2 tunnel lines have been investigated in this study. As a result of all investigations; At Kopdağı 1 tunnel line, landslide material between 0.000-0.060 kms. must be excavated, the effect of landslide which approaches the tunnel code between 2.000-3.000 kms. must be prevented. Because of Kopdağı 2 tunnel line's position between 0.000-2.030 kms. is in landslide mass so excavation mustn't be done. On the other hand, appropriate aggregate material to be used for concrete has been investigated in case of a tunnel construction. Because the strength of concrete desired could not be obtained, this is only possible by breaking of limestones which belong to Gurri formation and adding to concrete.

The oldest unit in the investigation area is Çankulesi metamorphites made up of pre Permo-Carboniferous aged recrystallized limestones, gneiss and schist lower-Middle Jurassic is represented by the Sarıkaya formation which is composed of oolitic limestone, cherty limestone, limestone, sandstone, marl and mudstone consecution. Upper Jurassic-Lower Cretaceous is represented by Gurri formation which is formed by Bakdülü limestone-shale, Kızılışme cherty limestone and Aktaş sandstone-limestone-shale members. Kop ultramaphites has obduced into the study area in the time interval between Upper Jurassic and Lower Cretaceous. Göllerderesi formation consists of Miocene aged Kandıltas conglomerate and Göller mudstone-shale members. Quaternary is represented by alluvium and slope wash.

Kop ultramaphites an Gurri formation, Gurri formation and Göllerderesi formation contacts in the investigated area are anfularly discontinuity. Lots of folds take place in the Gurri formation formed by tectonic movements. It has been observed that the investigated area tectonically activated After Miocene has 13 normal, reverse, strikeslip and overthrust faults.

RSR, RMR and Q systems are used in rock mass classification. The support recommendeds founds by three systems are gathered by also taking account of geological conditions. Kopdağı 1 tunnel line is 3060 m. long. The active landslide material must be partially removed and a concrete wall must be constructed.

Exactly 1500 m. of tunnel will be excavated in ultramaphite rocks. Between 2.000-3.000 kms. the landslide which approaches the tunnel code can cause water explosions and immediate collapses. The tunnel line is cut by two faults. Kopdağı 2 tunnel line is 6130 m.long. Because the tunnel line takes place in landslide zone between 0.000-2.030 kms. It's impossible to excavate. This line definetely be left.

In the study area 7 landslide zones are determined. Three of these zones affect the tunnel lines.

The nearest concrete aggregate material can be provided from Karasu Stream (Erzurum-Aşkale) in case of a tunnel construction. The researches done showed that the most appropriate area for its physical properties is B. Concrete mixtures are prepared by the samples taken from this area and concrete strength is examined. The desired strength are not obtained in the experiment results. Broken stones must be added in concrete to increase the strength. Gurri formation limestones can be used as broken stones.

The investigation area has 1<sup>st</sup> magnitude of seismicity.

## İÇİNDEKİLER

	<u>Sayfa No</u>
<b>ÖZ</b>	
<b>I. GİRİŞ</b>	<b>1</b>
I.1.İncelemenin Amacı	1
I.2.İnceleme Alanının Yeri	1
I.3.Çalışma Yöntemi ve Süresi	3
I.4.Teşekkür	3
<b>II. COĞRAFYA</b>	<b>5</b>
II.1.Doruklar	5
II.2.Akarsular	5
II.3.İklim	7
II.4.Bitki Örtüsü	7
II.5.Ulaşım	7
<b>III.GENEL JEOLOJİ</b>	<b>11</b>
III.1.Önceki Çalışmalar	11
III.2.Stratigrafi	15
III.2.1.Giriş	15
III.2.2.Çankulesi Metamorfitleri (Pç)	15
III.2.3.Kop Ultramafiti (Mk)	18
III.2.4.Sarıkaya Formasyonu (Js)	20
III.2.5.Gurri Formasyonu (J-Kg)	21
III.2.5.1. Bakdülü kireçtaşı-şeyl üyesi (J-Kgb)	22
III.2.5.2. Kızıleşme çörtlü kireçtaşı üyesi (J-Kgk)	23
III.2.5.3. Aktaş kumtaşı-kireçtaşı-şeyl üyesi (J-Kga)	23
III.2.6.Gölßerderesi Formasyonu (Tg)	24
III.2.6.1. Kandıtaş çakıltaşı üyesi(Tgk)	25
III.2.6.2. Göller kumtaşı-şeyl-çamurtaşı üyesi (Tgg)	26
III.2.7.Alüvyon (Qal)	27
III.2.8.Yamaç Molozu (Qym)	27
III.3.Yapısal Jeoloji	27
III.3.1. Diskordanslar	28

	<u>Sayfa No</u>
III.3.2. Kırımlar	28
III.3.3. Eklemler	29
III.3.4. Faylar	29
III.3.4.1. Düşey faylar	38
III.3.4.2. Ters fay	39
III.3.4.3. Doğrultu atımlı faylar	40
III.3.4.4.. Şariyajlar	41
IV.MÜHENDİSLİK JEOLOJİSİ	43
IV.1.Giriş	43
IV.2.Kopdağı 1 ve Kopdağı 2 Tünel Güzergahlarındaki Kayaçların Jeomekanik ve Jeoteknik Özellikleri	44
IV.2.1.Fiziksel Özellikler	45
IV.2.2.Mekanik Özellikler	46
IV.2.3.Süreksizliklerin Jeoteknik Özellikleri	60
IV.3.Kaya Kütlesi Tanımlamaları	81
IV.3.1.Kaya Kütlesi Sınıflamalarının Tarihsel Gelişimi	82
IV.3.2.Kopdağı 1 ve Kopdağı 2 tünel güzergahları için yapılan kaya kütlesi sınıflamalarının ayrıntılı tanıtımı	92
IV.3.2.1.RSR	92
IV.3.2.2.RMR	102
IV.3.2.3.Q	113
IV.3.2.4.RSR, RMR ve Q sistemlerinin karşılaştırılması	136
IV.3.3.Kopdağı 1 ve Kopdağı .2 tünel güzergahlarında yapılan kaya kütlesi sınıflamaları için veri toplama yöntemi	137
IV.4.Kaya Kütlesi Sınıflamalarının Kopdağı 1 ve Kopdağı 2 Tünel Güzergahlarına Uygulanmaları	143
IV.4.1.Kopdağı 1 tünel güzergahı	144
IV.4.1.1. RSR sistemiyle sınıflama	144
IV.4.1.2. RMR sistemiyle sınıflama	146
IV.4.1.3. Q sistemiyle sınıflama	148
IV.4.2. Kopdağı 2 tünel güzergahı	153
IV.4.2.1.RSR sistemiyle sınıflama	153

Sayfa No

IV.4.2.2. RMR sistemiyle sınıflama	155
IV.2.2.3. Q sistemiyle sınıflama	159
IV.4.3.RSR, RMR ve Q sınıflama sistemleriyle bulunan destek önlemlerinin karşılaştırılması	164
IV.5.Hidrojeoloji	169
IV.6.Heyelanlar	170
IV.7.Kopdağı 1 Tünel Güzergahının Jeolojik ve Jeoteknik Değerlendirmesi	173
IV.8.Kopdağı 2 Tünel Güzergahının Jeolojik ve Jeoteknik Değerlendirmesi	177
V. BETON AGREGA ARAŞTIRMALARI	185
V.1. A Bölgesi	186
V.2. B Bölgesi	187
V.3. C Bölgesi	189
V.4. A, B, C, Bölgelerinin Değerlendirilmesi	190
V.5. Beton Karışım Hesabı	191
VI. EKONOMİK JEOLOJİ	236
VII.DEPREMSELLİK	237
VIII.SONUÇ VE ÖNERİLER	239
IX. ÖZET	241
X. KAYNAKLAR	251

## METİN İÇİ ŞEKİLLER VE TABLOLAR LİSTESİ

- Şekil-1- İnceleme alanı mevki haritası
- Şekil-2- İnceleme alanı doruk ve akarsu ağacı haritası
- Tablo-1- Erzurum meteoroloji istasyonu verilerine göre denetirmeli nem bilançosu
- Grafik-1- Erzurum meteoroloji istasyonu verilerine göre yağış ve Potansiyel Buharlaşma-Terleme ilgilerini gösterir grafik.
- Şekil-3- Saptıran (Erzurum)-Kopdibi (Gümüşhane) arasındaki genelleştirilmiş stratigrafi kesiti
- Tablo-2- Kopdağı 1 ve Kopdağı 2 tünel güzergahındaki kayaçların derişme dereceleri.
- Şekil-4- Tünel girişlığında, Gurri formasyonundaki eklemelerin stereografik ve eşit alan izdüşümleri (Kopdağı 1 tünel güzergahı).
- Şekil-5- Tünelin orta kesiminde, Gurri formasyonundaki eklemelerin stereografik ve eşit alan izdüşümleri (Kopdağı 1 tünel güzergahı).
- Şekil-6- Tünelin orta kesiminde Kop ultramafitindeki eklemelerin stereografik ve eşit alan izdüşümleri (Kopdağı 1 ve Kopdağı 2 tünel güzergahı).
- Şekil-7- Tünel çıkışlığında, Kop ultramafitlerindeki eklemelerin stereografik ve eşit alan izdüşümleri (Kopdağı 1 ve Kopdağı 2 tünel güzergahı).
- Şekil-8- Kandıtaş Tepe'de, Göllerderesi formasyonundaki eklemelerin stereografik ve eşit alan izdüşümleri (Kopdağı 2 tünel güzergahı).
- Şekil-9- Kandıtaş Tepe'de, Gurri formasyonundaki eklemelerin stereografik ve eşit alan izdüşümleri (Kopdağı 2 tünel güzergahı).
- Şekil-10- Gurri Tepe'de, Gurri formasyonundaki eklemelerin stereografik ve eşit alan izdüşümleri (Kopdağı 2 tünel güzergahı).
- Tablo-3- Ultramafit örneklerinin fiziksel özellikleri (Kopdağı 1 tünel güzergahı).
- Tablo-4- Ultramafit örneklerinin fiziksel özellikleri (Kopdağı 2 tünel güzergahı).

Tablo-5- Serpantin örneklerinin fiziksel özellikleri (Kopdağı 1 ve Kopdağı 2 tünel güzergahı).

Tablo-6- Beyaz kireçtaşı örneklerinin fiziksel özellikleri (Kopdağı 1 ve Kopdağı 2 tünel güzergahı).

Tablo-7- Gri kireçtaşı örneklerinin fiziksel özellikleri (Kopdağı 1 tünel güzergahı).

Tablo-8- Gri kireçtaşı örneklerinin fiziksel özellikleri (Kopdağı 2 tünel güzergahı).

Tablo-9- Kumtaşı örneklerinin fiziksel özellikleri (Kopdağı 1 ve Kopdağı 2 tünel güzergahı).

Tablo-10- Çakıltaşları örneklerinin fiziksel özellikleri (Kopdağı 1 ve Kopdağı 2 tünel güzergahı).

Tablo-11- Çamurtaşları örneklerinin fiziksel özellikleri (Kopdağı 1 ve Kopdağı 2 tünel güzergahı).

Tablo-12- Kopdağı 1 tünel güzergahı kayaçlarının ortalama fiziksel özellikleri.

Tablo-13- Kopdağı 2 tünel güzergahı kayaçlarının ortalama fiziksel özellikleri.

Şekil-11- Çakıltaşlarının  $\tau=f(\sigma)$  diyagramı ve  $\sigma=f(\varepsilon_x, \varepsilon_y)$  davranışısı.

Şekil-12- Çamurtaşlarının  $\tau=f(\sigma)$  diyagramı ve  $\sigma=f(\varepsilon_x, \varepsilon_y)$  davranışısı.

Şekil-13- Kireçtaşlarının (beyaz)  $\tau=f(\sigma)$  diyagramı ve  $\sigma=f(\varepsilon_x, \varepsilon_y)$  davranışısı.

Şekil-14- Kireçtaşlarının (gri)  $\tau=f(\sigma)$  diyagramı ve  $\sigma=f(\varepsilon_x, \varepsilon_y)$  davranışısı.

Şekil-15- Kireçtaşlarının (gri)  $\tau=f(\sigma)$  diyagramı ve  $\sigma=f(\varepsilon_x, \varepsilon_y)$  davranışısı.

Şekil-16- Kumtaşlarının  $\tau=f(\sigma)$  diyagramı ve  $\sigma=f(\varepsilon_x, \varepsilon_y)$  davranışısı.

Şekil-17- Ultramafitlerin  $\tau=f(\sigma)$  diyagramı ve  $\sigma=f(\varepsilon_x, \varepsilon_y)$  davranışısı.

Şekil-18- Ultramafitlerin  $\tau=f(\sigma)$  diyagramı ve  $\sigma=f(\varepsilon_x, \varepsilon_y)$  davranışısı.

Şekil-19-Serpantinlerin  $\tau=f(\sigma)$  diyagramı ve  $\sigma=f(\varepsilon_x, \varepsilon_y)$  davranışısı.

Tablo-14- Kopdağı 1 ve Kopdağı 2 tünel güzergahı kayaçlarının ortalama mekanik özellikleri

Tablo-15- Nokta yük dayanımına göre kaya tanımlaması.

Tablo-16- Tek eksenli basınç dayanımı ve elastisite modülüne göre kaya tanımlaması.

Tablo-17- Kopdağı 1 ve Kopdağı 2 tünel güzergahındaki kayaçların mekanik özelliklerine göre genel değerlendirmesi.

Tablo-18- Devamlılık sınıflaması .

Tablo-19- Açıklık sınıflaması.

Tablo-20- Pürüzlülük sınıflaması.

Tablo-21- Kayaç malzemesinin bozunum dereceleri.

Tablo-22- Kayaç kütlesinin bozunma dereceleri.

Tablo-23- Kopdağı 1 ve Kopdağı 2 tünel güzergahındaki kayaçların süreksizliklerinin jeoteknik özellikleri.

Şekil-20- Kopdağı 1 ve Kopdağı 2 tünel güzergahındaki kayaçların devamlılıklarının histogram çözümleri.

Şekil-21- Kopdağı 1 ve Kopdağı 2 tünel güzergahındaki kayaçların pürüzlülüklerinin histogram çözümleri.

Şekil-22- Kopdağı 1 ve Kopdağı 2 tünel güzergahındaki kayaçların açıklıklarının histogram çözümleri.

Tablo-24- Terzaghi'nin çelik kemer iksali tüneller için kaya yükü sınıflaması.

Tablo-25- Stini'ye göre beklenen dağ basınçları.

Tablo-26- Rabcewicz'e göre kaya sınıflaması.

Tablo-27- Lauffer'e göre kaya sınıflaması ve kendi kendini tutma süresi.

Şekil-23- Lauffer'e göre aktif iksasız açıklık.

Şekil-24- Farklı kaya sınıflarının aktif iksasız açıklık ve kendi kendini tutma süresi arasındaki ilişkisi.

Şekil-25- Tünel açma sırasında kaya stabilitesini etkileyen faktörler.

Tablo-28- Zanoskar'a göre destek önlemleri.

Tablo-29- Grob'a göre 4 kaya sınıfının tünel açma esnasındaki belli başlı davranışları.

Şekil-26- Terzaghi'nin geliştirilmiş kaya yük faktörü ile RQD arasındaki yaklaşıklı ilişkisi.

Şekil-27- Tünel genişliği ve RQD ye bağlı destek seçimi.

Tablo-30- Brekke ve Howard'a göre süreksizlik dolgusunun tünel davranışları üzerindeki etkisi.

Tablo-31- RSR A parametresi.

Tablo-32- RSR B parametresi.

Tablo-33- RSR C parametresi.

Tablo-34- Karot analizi.

Tablo-35- Tünel çapına bağlı RSR değeri ile kaya yükünün karşilaştırılması.

Şekil-28- 10 feet çaplı tünel için destek tablosu.

Şekil-29- 20 feet çaplı tünel için destek tablosu.

Şekil-30- 24 feet çaplı tünel için destek tablosu.

Şekil-31- Makina ile tünel açmada RSR düzeltme faktörü.

Tablo-36- Sağlam kayacın direncine göre sınıflaması.

Tablo-37- Eklem sıklığına göre sınıflama.

Tablo-38- RMR sınıflama sistemi.

Tablo-39- Eklem doğrultu, eğimine göre uygunluğunun belirlenmesi.

Şekil-32- Aktif iksasız açıklık ile iksasız kendi kendini tutma süresi arasındaki ilişki.

Tablo-40- RMR sınıflama sisteminde kazı ve iksa önerileri.

Tablo-41- Q sistemi sınıflama parametreleri.

Tablo-42- Jr ve Ja parametrelerinden zahiri makaslama kuvveti tahmini.

Şekil-33- Q sistemi eş boyut ve kaya kalitesine bağlı destek sınıfları.

Tablo-43- Yeraltı kazılarına uygun ESR oranları ve uygulama örneklerinin sayısı.

Tablo-44- Q sistemine göre önerilen destek önlemleri.

Şekil-34- Q sistemi, destek basıncı ile kaya kalitesi arasındaki ilişki.

Şekil-35- Q sistemi, iksasız açıklık ile kaya kalitesi arasındaki ilişki.

Şekil-36- Q sistemi, iksasız kendi kendini tutma süresi ile kaya kalitesi arasındaki ilişki.

Şekil-37- RMR ve Q sistemleri ile yapılan çalışmaların karşılaştırılması.

Şekil-38- RSR sistemi veri toplama formu.

Şekil-39- RMR sistemi veri toplama formu.

Şekil-40- Q sistemi veri toplama formu.

Tablo-45- RSR, RMR ve Q sistemleri ile bulunan iksa önlemlerinin karşılaştırılması (Kopdağı 1 tünel güzergahı).

Tablo-46- RSR, RMR ve Q sistemleri ile bulunan iksa önlemlerinin karşılaştırılması (Kopdağı 1 tünel güzergahı).

Tablo-47- RSR, RMR ve Q sistemlerinin birleştirilmesi ile elde edilen iksa önlemleri (Kopdağı 1 tünel güzergahı).

Tablo-48- RSR, RMR ve Q sistemlerinin birleştirilmesi ile elde edilen iksa önlemleri (Kopdağı 1 tünel güzergahı).

Şekil-41- Agreganın dane dağılımı.

Tablo-49- Beton sınıflarının basınç dayanımı.

Tablo-50- Basınç dayanımlarına göre su-çimento oranı.

Tablo-51- Çeşitli yapı elemanları için uygun çökme değerleri.

Tablo-52- Karışım suyu miktarı.

Şekil-42- İnceleme alanı depremsellik haritası.

## EKLER

- EK 1 Saptıran (Erzurum)-Kopdibi (Gümüşhane) arasındaki jeoloji haritası. Ölçek: 1/25 000
- EK 2 Saptıran (Erzurum)-Kopdibi (Gümüşhane) arasındaki jeoloji enine kesitleri. Ölçek: 1/25 000
- EK 3 Trabzon-Erzurum Karayolu Kopdağı 1 tünel güzergahı jeoloji haritası ve kesiti. Ölçek: 1/2 000  
EK 3IA 0.000-0.800 km.ler arası,  
EK 3IB 0.800-2.170 km.ler arası,  
EK 3IC 2.170-3.060 km.ler arası.
- EK 4 Trabzon-Erzurum Karayolu Kopdağı 2 tünel güzergahı jeoloji haritası ve kesiti. Ölçek: 1/2 000  
EK 4IIA 0.000-1.000 km.ler arası,  
EK 4IIB 1.000-2.400 km.ler arası,  
EK 4IIC 2.400-3.800 km.ler arası,  
EK 4IID 3.800-5.200 km.ler arası,  
EK 4IIE 5.200-6.130 km.ler arası.
- EK 5 Karasu Çayı malzeme sahaları ve numune-gözlem kuyu kesitleri.

## FOTOĞRAFLAR

Fotoğraflar 28 adet.

## I. GİRİŞ

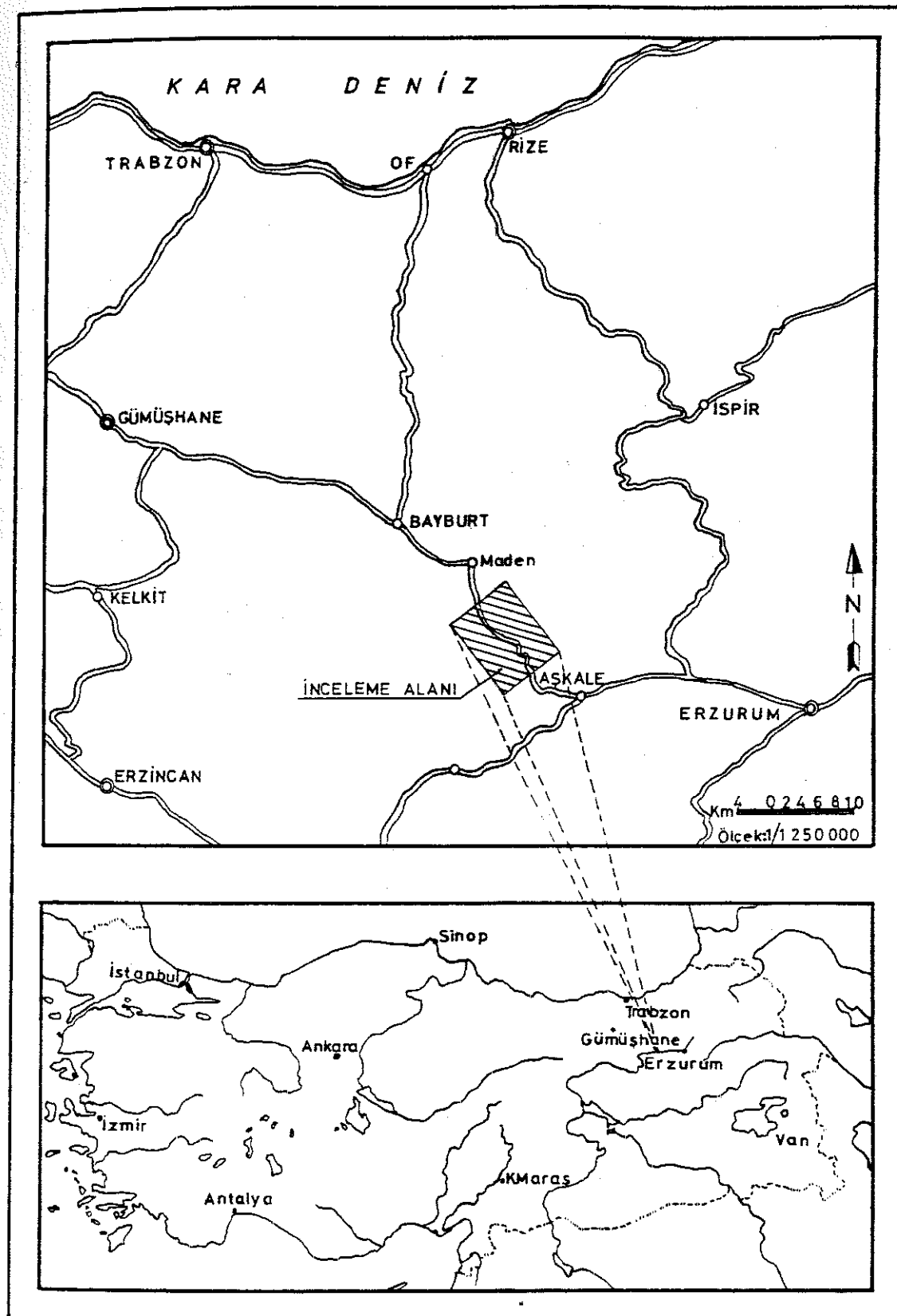
Trabzon-Erzurum Karayolu'nun, 2300 m. yüksekliğe sahip Kop Geçidi mevkiinde kış aylarında karayolu ulaşımının sağlanması sorunlu, hatta bazı zamanlarda olanaksızdır. Karayolları XII. Bölge Müdürlüğü Kop Geçidi mevkiinde açılacak bir tünelle, bu sıkıntılı kesimin kolay bir şekilde geçilmesi amacıyla 1970'li yıllarda çalışmalarına başlamıştır. Son olarak 1986 ve 1987 yılında 2 tünel güzergahı belirlenmiş ve bu güzergahlarda jeolojik-jeoteknik çalışmalarla başlamıştır. Özel bir şirket tarafından bölgedeki tünel güzergahlarında sondaj çalışmaları halen devam etmektedir.

### I.1. İNCELEMENİN AMACI

Bu inceleme, tünellerde kaya kütlesi sınıflamaları ve Kopdağı 1, Kopdağı 2 tünel güzergahlarına uygulamaları ile Kopdağı 1, Kopdağı 2 tünel güzergahlarının jeolojik-jeoteknik değerlendirilmesini amaçlar. Ayrıca, tünelde kullanılabilecek beton agrega malzemesinin yeri ve özellikleride araştırılmıştır. Bunun için bölgenin 1/25.000 ölçekli, tünel güzergahlarının 1/2000 ölçekli jeolojik haritaları hazırlanmıştır.

### I.2. İNCELEME ALANININ YERİ

İnceleme alanı, Doğu Karadeniz Bölgesi ile Doğu Anadolu Bölgesi'nin NE kesimi içinde, Gümüşhane iline bağlı Bayburt ilçesi ile, Erzurum iline bağlı Aşkale ilçesi arasında yer almır (Şekil-1). Trabzon-Erzurum karayolu inceleme alanının tamamını NW-SE yönünde kateder ve çalışma alanı yaklaşık 110 km<sup>2</sup> dir.



Şekil-1- İnceleme alanı mevki haritası

Location map of the investigated area.

### I.3. ÇALIŞMA YÖNTEMİ VE SÜRESİ

Önce bölgenin 1/25.000 ölçekli jeoloji haritası hazırlanarak genel ve yapısal özellikler belirlenmiştir. Kopdağı 1 ve Kopdağı 2 tünel güzergahlarının 1/2.000 ölçekli jeoloji haritaları ile her iki tünel güzergahında tünel kotuna kadar 1/2.000 ölçekli jeolojik profili hazırlanmıştır. Jeolojik harita alımı kaya stratigrafi birim ayırdına dayanmıştır. Tünel güzergahlarının Jeoteknik özellikleri belirlenmesinde; Uluslararası Kaya Mekanığı Derneği, Mühendislik Jeolojisi Çalışma Grubu'nun önerileri doğrultusunda çalışılmıştır. Tünel güzergahlarında kaya kütlesi sınıflamaları ile iksa önlemleri için RSR, RMR ve Q sistemleri kullanılmıştır. Beton agrega malzemesi için kum-çakıl ocağı olabilecek 2 bölge belirlenmiş ve bu bölgelerde yaklaşık 2 m. derinliğinde açılan kuyularda gözlemler yapılarak oluk şeklinde numuneler alınmıştır. Ayrıca eski dere alüvyonlarında kullanılıp kullanılamayacağı aynı şekilde araştırılmıştır. Malzeme sahalarının sınırları ve konumları gösterir. 1/10 000 ölçekli harita ile numune ve gözlem kuyularının kesitleri hazırlanmıştır.

1986 Haziran ayında başlayan bu çalışma yaz aylarında arazi, diğer aylar laboratuvar ve büro çalışmaları şeklinde 1989 Nisan ayına kadar sürdürmüştür. Fiziksel, mekanik ve malzeme ile ilgili bütün laboratuvar deneyleri yazar tarafından yapılmıştır. Saha çalışmaları özel bir şirkete ait sondaj kampından yürütülmüştür.

### I.4. TEŞEKKÜR

Bu incelemede, arazi ve büro çalışmalarında yapıcı eleştirmelerinden yararlandığım danışman hocam Prof.Dr.Aziz Ertunç'a şükranlarımı sunarım.

Malzeme bölümü ile ilgili görüşlerinden yararlandığım Doç.Dr.Okay Gürpınar'a teşekkürlerimi sunarım.

Laboratuvar ve büro çalışmaları sırasında her zaman görüşlerinden faydalandığım Yrd.Doç.Dr. Mesut Köseoğlu ve Yrd.Doç.Dr.A.Ergun Türker'e, Genel Jeoloji konusunda eleştirmelerinden yararlandığım Jeo. Yük.Müh. Sami Yalçınkaya'ya teşekkürlerimi sunarım.

Bu inceleme Yüksel Proje A.Ş.'nin katkıları olmaksızın gerçekleşemezdi. Yazar, incelemeyi maddi katkılarıyla baştan sona destekleyen bu şirkete ve şirket genel müdürü Jeo.Yük. Müh.Hikmet Tümer'e, incelemenin bir kısmına maddi katkıda bulunan Batko Jeoloji'ye ve sahipleri Jeo.Yük.Müh. Cumhur Bat, Dr.Bülent Kiper'e teşekkürü bir borç bilir.

Büro çalışmaları sırasında bir kısım çizimlere yardım eden Isparta Mühendislik Fakültesi Jeoloji Bölümü öğrencilerinden Ufuk Sert'e teşekkür ederim.

Çalışmanın her safhasında manevi katkılarıyla destek olan ve sabırla metni dactilo eden sevgili eşim Vildan Mutlutürk'e teşekkürlerimi sunarım.

## II. COĞRAFYA

İnceleme alanı Doğu Karadeniz Bölgesi ile Doğu Anadolu Bölgesi'nin NE kesiminde yer almaktır. Erzurum-Gümüşhane il sınırı çalışma sahasının yaklaşık ortasından geçen Morfoloji; NE-SW gelişli, yapı ve litoloji ile uyumludur. Yükseltiler N'e doğru gidildikçe artar, Kop Dağları'nda 3000m. ye yaklaşır, S'e doğru Aşkale dolayında 1500 m.ye iner.

### II.1. DORUKLAR

İnceleme alanında doruklar yapı ve litoloji denetiminde gelişmiştir. Doruklar NE-SW gelişleriyle ana yapışsal hatlara tamamen uyumluluk gösterir.

Doruklar N'den S'e doğru şöyledir; Ramazan Dağı (2834m.), Sarıkaya Tepe (2313 m.), Kişmişin Tepe (2731 m.), Bakdülü Tepe (2313 m.), Kalenintaş Tepe (2070 m.), Kaleboynunun Tepe (2250 m.), Kılıçtaş Tepe (2401 m.), Kandıltas Tepe (2433 m.), Kızılışme Tepe (2457 m.), Çamlı Tepe (2461 m.), Gurri Tepe (2638 m.), Karataş Tepe (2445 m.), Kurugöl Tepe (2649 m.), Akdağ (2284 m.), Küçük Akdağ (1902 m.), Kelle Tepe (2634 m.), Kazyurdu Tepe (2093 m.), Seferkuyu Tepe (1981 m.), Yassı Tepe (1979 m.), Halilhayratı Tepe (2052 m.), Kutucuk Tepe (1928 m.), Massatlık Tepe (1850 m.) dir.

### II.2. AKARSULAR

İnceleme alanında büyük akarsu bulunmaz, litoloji ve yapıdan bağımsız gelişmiş pek çok dere bulunur. Sulu düler azınlıkta, kuru dereler çoğulukta ve kolları vadilere asılıdır, akarsu ağacı dendritik örnektedir. Henege suyu, Naldöken Dere, Atçayırlı Dere, Bal Dere, Domuz Dere, Arapçayırlı Dere, Göl Deresi (Kıskançlı Dere olarak devam eder ve Kop Deresi olarak inceleme alanını terk eder), Kopırcağın



Şekil-6- İnceleme alanı doruk ve akarsı ağı haritası  
Orographic and hydrographic map of the investigated area.

Dere belli başlı sulu derelerdir. Bu derelere bağlı pekçok kuru dere vardır.

### II.3. İKLİM

İnceleme alanında karasal iklim tipi hakimdir. Yazları sıcak ve kurak, kışları soğuk ve yağışlıdır. Kışların çok soğuk ve uzun sürmesi yolların sık kapanmasına neden olur.

İnceleme sahasına en yakın meteoroloji istasyonu Erzurum'da yer almaktadır. Erzurum Meteoroloji İstasyonu'nun sıcaklık ve yağış verilerine göre Penman yöntemiyle denetirmeли nem bilançosu hazırlanmıştır (Tablo 1).

Erzurum'da yıllık ortalama yağış 449.13 mm., yıllık ortalama sıcaklık  $5.9^{\circ}\text{C}$ 'dır. En düşük sıcaklık ortalaması Ocak ayında  $-8.6^{\circ}\text{C}$ , en yüksek sıcaklık ortalaması Ağustos ayında  $19.6^{\circ}\text{C}$ 'dır. Gerçek buharlaşma-terleme 412.07 mm., su fazlası 66.23 mm. dir. Ortalama yağış Nisan ayında 53.96 mm. ile en yüksek, 18.40 mm. ile Ağustos ayında en düşüktür.

### II.4. BITKİ ÖRTÜSÜ

İnceleme alanı içinde, nispeten alcaklıarda meşelik ve çalılıklar, yamaçlarda ve düzlüklerde çayırlık alanlar bulunur. Daha yüksek alanlar bitki örtüsünden yoksundur. Yayla niteliğindeki yüksek kesimlerde, kuru tarım ve bahçecilik onde gelir, tahıl üretimi yaygın ise de yetersizdir.

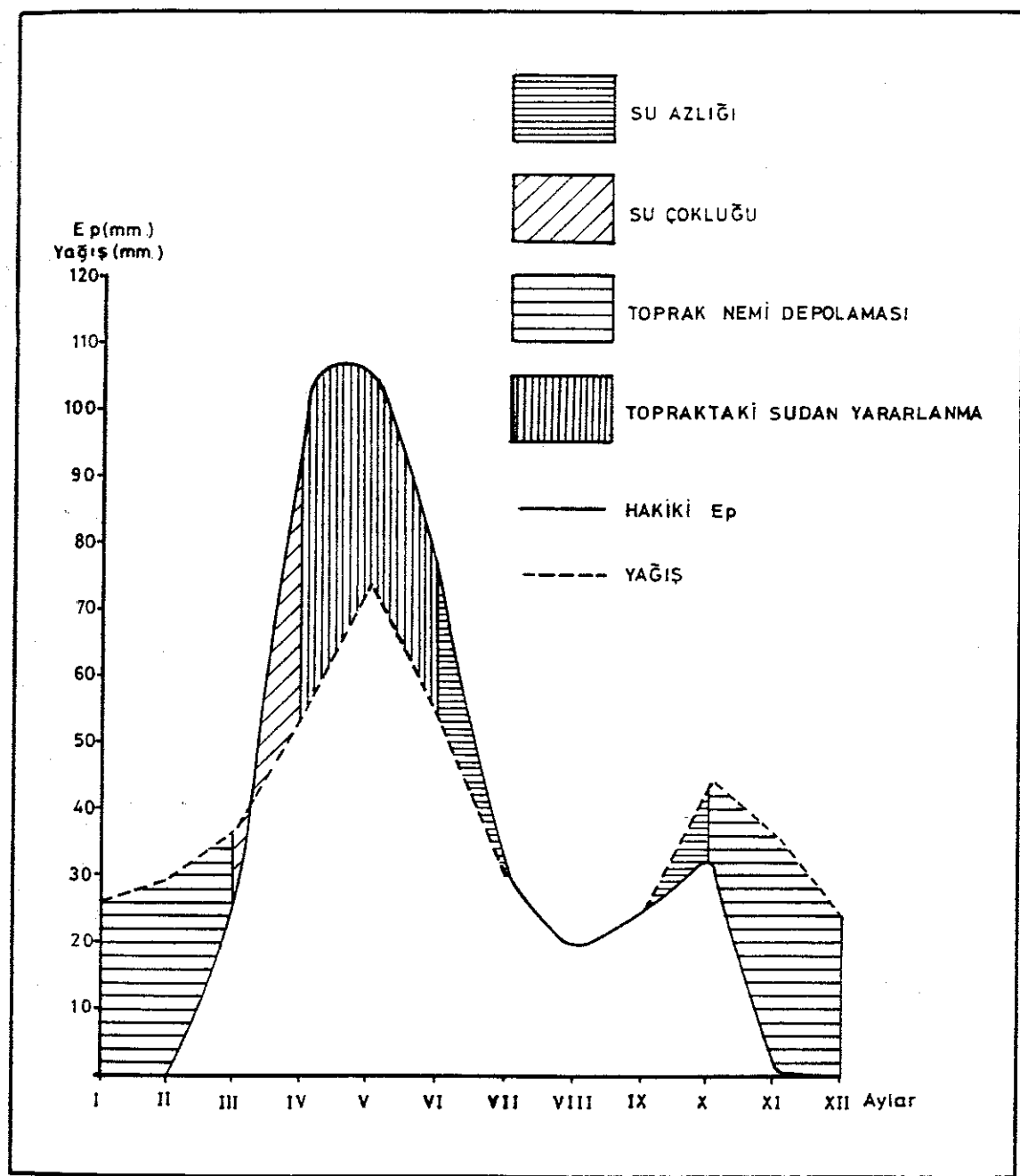
Köylerde, büyük ve küçük baş (genellikle koyun) hayvan ile küməs hayvanları yetiştirilir, ayrıca arıcılık gelişmiştir.

### II.5. ULAŞIM

İnceleme alanının ortasından NW-SE yönünde Erzurum-Trabzon karayolu geçer. Bu yol inceleme alanı içinde

Tablo-1- Erzurum meteoroloji istasyonu verilerine göre denetirmeli nem bilançosu  
The comparative moisture balance sheet of the meteorological data of the  
Erzurum station.

AYLAR	OCAK	ŞUBAT	MARÇ	NİSAN	MAYIS	HAZİRAN	TEMMUZ	AGUSTOS	EKİM	YEŞİL	KASIM	ARALIK	YILLIK
SICAKLIK	-8.6	-6.9	-2.6	5.2	10.8	14.9	19.2	19.6	15	8.3	1.7	-5.3	5.9
EVAPOTRANSPIRASYON POTANSİYELİ Ep. (mm)	0.0	0.0	25.73	100.2	106.64	124.5	149.11	126.79	78.9	32.24	0.6	0	744.71
YAGIŞ (mm)	25.97	29.35	36.64	53.96	73.54	53.21	29.67	18.40	24.72	44.15	36.08	23.43	449.13
YAGIŞ-Ep. (mm)	25.97	29.35	10.91	-46.24	-33.1	-71.29	-119.44	-108.39	-54.18	11.91	35.48	23.43	-295.59
REZERV SU	100.0	100.0	100.0	53.26	20.66	0.0	0.0	0.0	0.0	11.91	47.39	70.82	
HAKİKİ EVAPOTRANSPIRASYON (mm)	0.0	0.0	25.73	100.2	106.64	73.87	29.67	18.40	24.72	32.24	0.6	0.0	412.07
EKSİK SU (mm)	0.0	0.0	0.0	0.0	0.0	50.63	119.44	108.39	54.18	0.0	0.0	0.0	332.64
FAZLA SU (mm)	25.97	29.35	10.91	0.0	0.0	0.0	0.0	0.0	0.0	0.0	0.0	0.0	66.23



Grafik-1- Erzurum Meteoroloji İstasyonu verilerine göre Yağış ve Potansiyel Buharlaşma-Terleme ilgilerini gösterir grafik.

Diagram showing relation between precipitation and potential Evapo-Transpiration according to meteorological data in Erzurum station.

stabilizedir. Kopdibi Komu'ndan SE'ya doğru Kışkançlı Dere boyunca 2.5 km., Hasbey Komu'ndan NW'ya doğru Heneye suyu boyunca 2 km. toprak yol bulunur. Bu yol taşkınlardan sürekli kapanmakla beraber ancak Traktör'le ulaşım sağlanabilir. Ayrıca Karataş Tepe'den SW'ya doğru bir toprak yol bulunur.

### III. GENEL JEOLOJİ

#### III.1. ÖNCEKİ ÇALIŞMALAR

LAHN (1939) "Karasu ile Çoruh Nehri Arasındaki Mıntıka'da Yapılan Jeolojik Tatkikata Dair Rapor"unda, metamorfiklerin Mesozoyik'ten önce, serpentinlerin ise en geç Alt Kretase'den önce oluşmuş olabileceklerini, Liyas ve Alt Kretase'nin transgresif olarak geldiğini, Üst kretase'de fliş geçitlerini ve flişin serpentin ile karıştığını söylemiştir.

KETİN (1951) "Erzinçan ile Aşkale Arasındaki Sahanın Jeolojisi'ne Ait Memuar"ında, Alt Kretase plaket kalker ve marnlarının Üst Kretase'de fliş geçtiğini, serpentinler içinde Alt Kretase bloklar bulunduğu ve bunların kalkecli flişimsi formasyonlardan intrüzyon sırasında koparıldığını ve serpentinleri Senonyien flişin örtüğünü belirtmiş, daha doğuda Kretase yaşlı şiddetli kıvrımlı ikinci bir fliş seviyesinin bulunduğuunu söylemiştir. Aşkale'nin güney batısında yer alan bu incelemede bahsedilen şiddetli kıvrımlı ikinci fliş seviyesi Üst Jura-Alt Kretase yaşlı Gurri formasyonu'na karşılık gelir.

KETİN (1951) " Bayburt Bölgesinin Jeolojisi Hakkında" adlı, çalışma sahamızıda içine alan, incelemesinde, Bayburt-Aşkale arasında Liyas'ta başlayıp Senonyien'i de içeren yaklaşık 7000 m. kalınlığında bir Mesozoyik istif yeraldığını belirtmiştir. Metamorfik bir temel üzerine gelen Liyas'ın; kumtaşı, konglomera, kumlu kireçtaşları ve kömür içeren şeylkumtaşı ardalanması ile başladığını, Dogger'in; kumlu-kırıntılı, kömür arakatkılı kireçtaşlarının'dan, biyomikrit-biyosparit ve intrasparitler'den, Malm'ın; yoğun kireçtaşlarının'dan, Alt Kretase'nin ise; açık-beyaz renkli ve sık kıvrımlı marn, kireçtaşları ve fliş görünümünde kumtaşı, konglomera ve şeyller' den olduğunu ve Alt Kretase'nin tabanında Berriasiyen

Ammonitleri (*Berrisella pontica*, *B. boissieri*)'nin yer aldığıni belirtmiştir. Ayrıca bölgede yapıların WSW-ENE gidişli olduğunu ve kıvrımların N-NW ya devrik olduklarını söylemiştir. Çalışma sahasında Liyas ve Malm Sarıkaya formasyonu ile temsil olunur. Ancak içinde kömür arakatkıları gözlenemez. Malm-Alt Kretase ise Gurri formasyonuna karşılık gelmektedir.

ALTINLI (1966) "Doğu ve Güneydoğu Anadolu'nun Jeolojisi" adlı incelemesinde, Doğu ve Güneydoğu Anadolu'da yaptığı çalışmalarla üç tektonik bölge belirlemiştir.

1-Masifler

2-Ortotektonik bölge veya fliş bölgesi

a)İranid, b)Torid, c)Anatolid

3-Pratektonik bölge veya kenar çukuru yada kenar kıvrımları bölgesi

Çalışma sahası bu sınıflama içinde Ortotektonik Bölge'de kalır. Ortotektonik Bölge'de Alt Kretase, Kop Dağları'nda beyaz kireçtaşı, fliş, gri-yeşil, eflatun kireçtaşlarından oluşan Kop formasyonu ile temsil edilir. Kendinden önceki birimleri açısal diskordansla örtüğü söylenen bu birim, Gurri formasyonu ile eşdeğer olup yaşı Üst Jura-Alt Kretase'dir. Tabanda Orta Jura yaşlı Sarıkaya formasyonu ile de geçişlidir. Ofiyolitlerin Alt Kretase kireçtaşlarını Ksenolit olarak bulundurduğunu ve kireçtaşlarına intrüzyon yaptıgından dolayı yaşının Alt Kretase'den genç olması gerektiğini belirtmiştir. Yazar'a göre kireçtaşları ofiyolitler üzerinde birencil çökeliş ve ofiyolit yerleşimine bağlı olarak ilksel konumu bezularak bugünkü konumunu almışlardır. Buna göre oluşum yaşının Alt Kretase'den önce olması gerekmektedir. Çankulesi dolayında mostra veren metamorfiklere masifler kısmında yer veren araştırmacı, bunun eski temele ait gibi gözükmeyeğini, yeşil kayaçlarla yükseltilmiş bir ksenolit durumunda olduğunu söylemiştir. Yazara göre Metamorfik'ler ofiyolit gelimi esnasında, tabandan koparılmış ve eski temele ait olmalıdır. Yapısal Jeoloji bahsinde çalışma sahasında bir kısmı gözlenen Şaptıran saryajının 160 km. uzunluk ve 5km.

genli olduğunu ve serpentinli Üst Kretase'nin, Alt-Orta Miyosen üzerinde sürüklendiğini söylemiştir.

KENDİROĞLU (1976) "Erzurum-Aşkale Doğu Bölgesi Kromit Yataklarının Jeolojisi"nde çalışmalarının esas konusunu teşkil eden kromitleri ve kromit içeren ultrabazikleri ayrıntılı olarak incelemiştir. Çalışma sahasının güneydoğu kısmını içine alan bu incelemede, Çankulesi dolayında yer alan metamorfiklerin yakın çevre ile korele edilebilecek bir benzerlik sunmadığını, bölgeye ultrabaziklerin yükselmeye bağlı olarak geldiğini belirtmiştir. Alt Kretase fliş ve kireçtaşının bölgede geniş yer kapladığını Ammonit'li ve aşırı kıvrımlı olduğunu söylemiştir. Ayrıca ultrabaziklerin Alt Kretase sonrası bölgeye gelip yerleşiklerini belirtmişler, ancak bu yerleşimi kanıtlayan bir veri sunmamışlardır.

AĞAR (1977)"Demirözü ve Köse Bölgesinin Jeolojisi"adlı doktora incelemesinde, kendinden önce Alt Kretase yaşı verilen tabakaların Üst Jura-Alt Kretase olduğunu belirtmişler, ofiyolitlerin Üst Jura-Alt Kretase'yi kestiğini, Üst Paleosen tarafından transgressif olarak örtüldüğünü ve ofiyolitlerin oluşum yaşıının Alt Kretase-Üst Paleosen zaman aralığı olduğunu söylemiştir. İnceleme alanında Üst Jura-Alt Kretase yaşlı Gurri formasyonu ofiyolitler üzerinde diskordanslı yer almaktadır. Bu durumda ofiyolitlerin oluşum yaşı Üst Jura öncesi olmalıdır.

BİLGİN (1983)"Serçeme Deresi ve Dolayının Jeolojik-Petrografik, İncelemesi"nde stratigrafi konglomera, kumtaşı, şeyl çökelimi ile Dogger'de başlar ve bunları uyumsuz olarak örten Malm ve Alt Kretase yaşlı birbirleri ile uyumlu kireçtaşları ile devam eder. Alt Kretase kireçtaşlarını faylı bir dokanakla Üst Kretase kireçtaşları üzerler. Senozoyikte diskordanslı olarak Eosen ve Miyosen gelir. Miyosen tabanda konglomera ve üste doğru kumtaşları ile temsil edilir. Ofiyolitler ise Alt Kretase ile Üst Kretase arasında yer alan bindirme düzleminde bulunur. Dogger ve Malm arasındaki uyumsuzluk tünel güzergahında uyumludur. Kireçtaşı fasiyesinde

olan Malm ve Alt Kretase kireçtaşlarının yanısına; kumlu kireçtaşı, çörtlü kireçtaşı, kumtaşı, çamurtaşısı, marn ve şeyl ile temsil edilir. Eosen gözlenmez kretase üzerine diskordanslı olarak konglomera ve konglomera, kumtaşı, çamurtaşından oluşan iki ayrı üye halinde Miyosen gelir.

ERTUNÇ (1984) "Çoruh-Norgah ve İspir Baraj Yerleri ve Göl Alanları ile Norgah-İspir Tünel Güzergahları'nın Mühendislik Jeolojisi İncelemesi" adlı, Bayburt'un NE'sunda yer alan, Doçentlik Tezi'nde Liyas'tan Üst Kretase sonuna kadar sürekli olduğu belirtilen Pügey formasyonu, içindeki volkanik seviyeler gözardı edildiğinde, Üst Jura-Alt Kretase yaşlı Gurri formasyonu ile benzerlik sunar. Pügey formasyonu volkanizmanın egemen olduğu, Gurri formasyonu ise volkanizmanın olmadığı ortamda gelişmiş, birbirlerinin yanal eşdeğeri olabilecek iki formasyondur.

KORKMAZ, BAKI (1984) "Demirözü Güneyinin Stratigrafisi" adlı çalışmalarında, metamorfiklerden oluşan Pulur Masifi üzerine güneyde Dogger-Alt Kretase yaşlı çökellerin geldiklerini belirtmişlerdir. Dogger'de kömür kırıntıları ile başlayan çökelim üste doğru volkanotortul serilere geçen ve kömür bitki kırıntıları içeren kumtaşı, kuvarsit, silttaşısı, şeyl, marn, tuf ve tüfit ardalanması ile devam eder. Bu birim, Sarıkaya formasyonu'na karşılık gelmektedir. Ancak çalışma sahasında dar bir alan kaplayan bu formasyonda kömür ve bitki kırıntıları ile volkanik arakatkı gözlenmez. Malm-Alt Kretase yaşlı Hozbirlikiyayla kireçtaşı, Gurri formasyonu'nun Bakdülü üyesine karşılık gelmektedir. Hozbirlikiyayla kireçtaşının üste doğru radyolarit, çört, kireçtaşı, serpentin blokları, tuf, ayırmış bazalt ve andezitlerden oluşan Otlukbeli Melanjii'na geçmesine rağmen Bakdülü üyesi, kumtaşı, şeyl, kireçtaşı, marn ardalanmasından oluşan Kızıleşme ve Aktaş üyelerine geçer.

ÖZER (1984) "Bayburt Yöresinin Jeolojisi" adlı çalışmasında, Paleozoyik yaşlı metamorfikler üzerine, Liyas'ta volkanik arakatkılı kırıntılarının geldiğini, Dogger ve Malm

de kalın tabakalı, tabanda yeryer kumlu, yeryer dolomitik ve çortlü kireçtaşlarıyla devam ederek Alt Kretase başlangıcında kireçtaşı-kumtaşı-marn ve giderek derin denizel mikritik kireçtaşlarına geçtiğini, denizel çökelimin Eosen sonu bittiğini belirtmiştir. Bu çalışmada ki stratigrafik dizilim ana hatlarıyla Kop bölgesindeki stratigrafiye benzerlik sunar, ancak çalışma sahasında ultrabazikler'de bulunur, Alt-Orta Jura geniş bir alan kaplamaz ve volkanik arakatkı gözlenemez, Kretase üzerine Eosen yerine Miyosen diskordanslı olarak gelir.

### III.2. STRATIGRAFİ

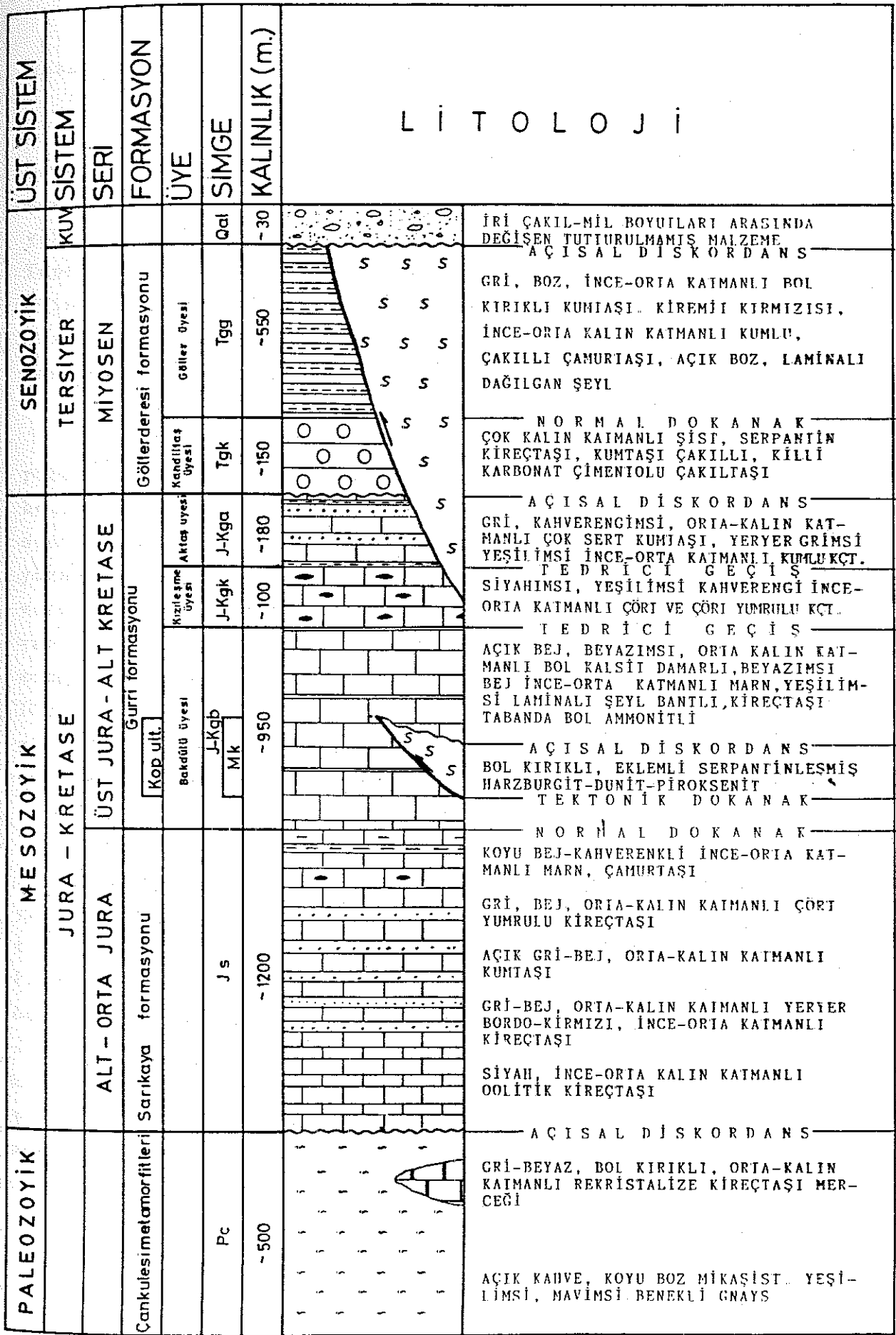
#### III.2.1. GİRİŞ

Çalışma sahasında gözlenen en yaşlı birim Permo-Karbonifer öncesi yaşı Çankulesi Metamorfitleridir. Metamorfitler'in diğer tüm birimlerle olan dokanağı faylidir. Alt-Orta Jura'da Sarıkaya formasyonu, Üst Jura-Alt Kretase'de Sarıkaya formasyonu ile uyumlu Gurri formasyonu yeralır. Miyosen'de Gölßerderesi formasyonu kendinden önceki birimleri açısal diskordanslı örter. Kop Ultramafiti Üst Jura öncesi oluşmuş ve Miyosen sonrası ikincil ve üçüncü hareketlerle bugünkü konumunu kazanmıştır. Kuvaterner, alüvyon ve yamaç molozları ile temsil olunmuştur.

#### III.2.2. ÇANKULESİ METAMORFİTLERİ (Pç)

Metamorfikler Trabzon-Erzurum karayolu üzerinde, Akdağ'ın yaklaşık 2 km. kuzeybatısında, Çankulesi mevkiinde ve Kandıltas Tepe'nin yaklaşık 1.5 km. güneybatısında mostra verir. Çankulesi mevkiinde gnays ve şistlerden oluşan yaklaşık 3 km. uzunluğunda bir mercek şeklindedir ve topografyada yumuşak görünümüldür. Kandıltas Tepe'nin güneybatısında ise rekristalize kireçtaşından oluşan yaklaşık 300 m. uzunluğunda ve 250 m. genişliğinde bir blok şeklindedir.

## L I T O L O J İ



Şekil-3-Saptırın (Erzurum)-Kopdibi (Gümüşhane) arasındaki genelleştirilmiş stratigrafi kesiti.

Formasyona Çankulesi mevkiinde mostra verdiğinden, yazar tarafından Çankulesi metamorfitleri adı verilmiştir.

Formasyonun tabanı inceleme alanında gözlenemez, Çankulesi mevkiinde ultramafitler içinde tektonik bir dilim şeklindedir ve Gurri formasyonu ile olan dokanağı boyunca yaklaşık 50 m. kalınlığında bresik bir zon yer almıştır. Kandıtaş Tepe güneybatısında metamorfitler, ultramafitler içinde olistolit şeklindedir. Formasyonun tabanı görülmeyecektir ve düzgün bir istiflenme sunmaz. Sahadaki görünür kalınlığı yaklaşık 500 m. dir.

Mikaşistler, taze yüzeyi açık kahve, koyu boz ayrılmış yüzeyi ise koyu gri, koyu kahverenklidir. Yapraklanma pek belirgin değildir. Mikroskopik olarak kuvars mika ve feldspat içerirler. Gnayslär, mikaşistlerle geçişli olup taze yüzeyi yeşilimsi mavimsi, açık gri ayrılmış yüzeyi ise kahverenklidir. Kuvars ve feldspatlardan oluşmuş seviyeler devamlı olmayan iri bantları oluşturur. Mikroskopik olarak, muskovit, biyotit, kuvars ve feldspatlardan oluşur. Rekrystalize kireçtaşları yalnız Kandıtaş Tepe'nin güneybatısında gözlenir ve rengi gri-beyaz arasında değişir, bol kırık ve çatlaklıdır.

Metamorfitler içinde herhangi bir yaş bulgusuna rastlanılmadığı gibi yakın çevre ile korele edilebilecek bir büyülüklükte sunmazlar. KETİN (1951), bu metamorfit kayalar üzerinde yer alan serilerden derlediği fosillere göre yaşıının Permo-Karbonifer olduğunu metamorfitlerin ise Permo-Karbonifer öncesi yaşıta olması gerektiğini belirtmiştir. Bayburt yöresinde Ağar (1977), KORKMAZ, BAKI (1984), metamorfitleri diskordanslı örten serilere göre, yaşıının Permo-karbonifer öncesi olduğunu kabul etmişlerdir. Bu verilere dayanarak Çankulesi metamorfitlerinin yaşıının Permo-Karbonifer öncesi olduğu söylemeliyiz.

### III.2.3. KOP ULTRAMAFİTİ (Mk)

Çalışma sahasının büyük bir kısmını oluşturan ultramafitler, yaklaşık doğu-güneydoğu uzanımlı bir zon boyunca Saptıran doğusunda Yassı Tepe'den başlayarak, inceleme sahasının batı ucunda yer alan Arapçayırlı Dere arasındaki Gullabi Komu, Hasbey Komu, Kozyurdu Tepe, Kurugöl Tepe, Çamlı Tepe'de, Akdağ kuzeyinde Cankurtaran mevkiinde ve Kopdibi Komu'nda mostra verir. Topografya'da yumuşak görünümlü olan ultramafitler sarp vadiler oluşturur ve tipik yeşil renkleriyle kolayca tanınır.

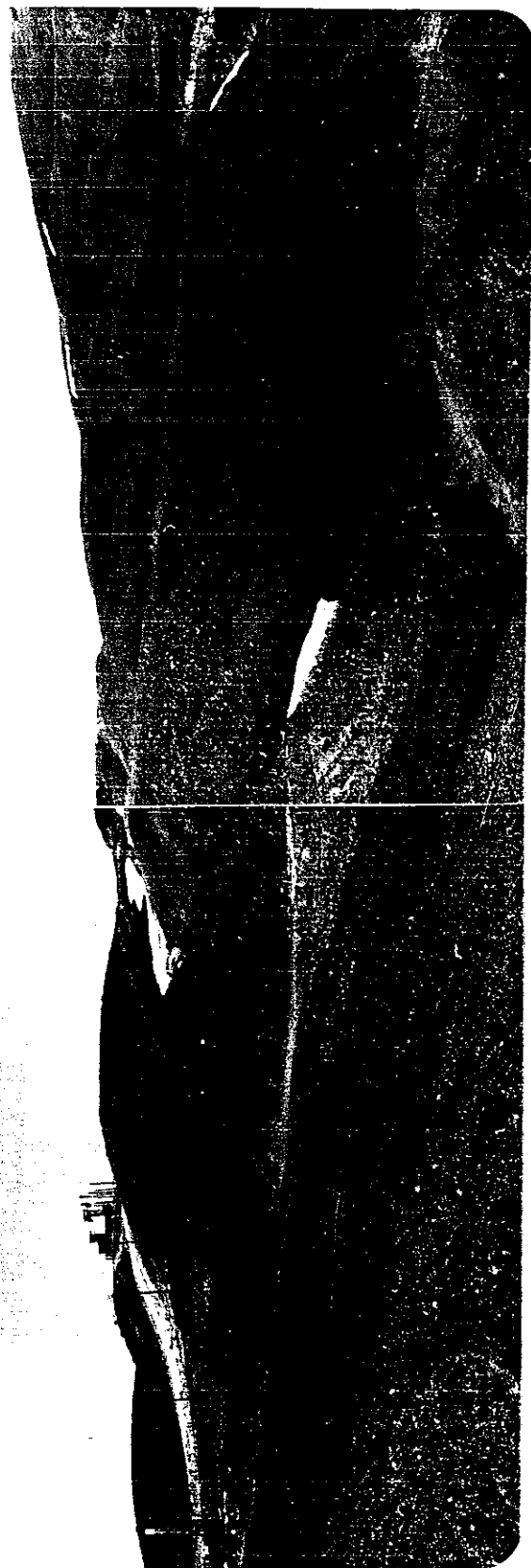
Serpantinleşmiş harzburgit, dünit, piroksenit, gabro ve pegmatitik gabro'dan oluşan ofiyolitik kayalara Kop Dağları'nın izafeten yazar tarafından Kop ultramafiti adı verilmiştir.

Kop ultramafiti Kopdibi Komu Mahallesi güneyinde Üst Jura-Alt Kretase Gurri formasyonu ile Miyosen Göllerderesi formasyonu, Saptıran kuzeyinde Miyosen Göllerderesi formasyonu üzerinde şariyajlıdır. Henegebaşı, Aktaş mevkii ve Akdağ'da Üst Jura-Alt Kretase Gurri formasyonu ultramafitleri açısal diskordanslı olarak örter. Çankulesi metamorfitlerinin ultramafitlerle olan dokanağı Çankulesi mevkii doğusunda şariyajlıdır.

Kop ultramafitleri yaklaşık 13 km. NE - SW uzanımlı 7 km. kalınlıkta bir zon şeklinde gözlenir ve magmatik bantlaşma güneydoğuya doğrudur. Magmatik bantlaşmaya dik yönde bir kesit alınırsa alt seviyelerde serpantinleşmiş harzburgitler ile yeryer dunitler yer almaktadır. Üste doğru harzburgit, piroksenli harzburgit, piroksenli gabro, gabro ve pegmatitik gabro şeklinde devam eder.

Serpantinleşmiş harzburgitlerin dış rengi açık yeşil, zeytuni yeşil, sarımsı yeşil ve kahverengimsi sarıdır. Harzburgitler yeryer Dunit mercekleri ile kesilir ve içlerinde benekli kromitler (Gullabi Komu) ve bantlı kromitler yer almaktadır.

Foto 1- Gurri Tepe SW'sı Hēnegebaşı mevkiiinde Kop ultramafiti(Mk) ile Gurri formasyonu(J-Kg) arasındaki ilişki.



Dunit seviyelerini harzburgit seviyeleri izler ve bu seviyede de bazı kırık zonları boyunca kromit mercekleri gözlenir. Üst seviyelerde doğru gidildiğinde piroksen yüzdesi artar ve piroksenit düzeylerinin ayırtlanabildiği kromitli bir seviyeye gelinir. Piroksenit düzeylerini plajiolas-piroksen ardalanmasından oluşan bantlı gabrolar izler. Gabro seviyelerindeki plajiolas-piroksen diziliminden ölçülen magmatik bantlaşma K47D/65GD dur. Bunun Kop ultramafitinin genel uzanımına uyumlu olduğu gözlenir.

Kop ultramafitinin çalışma sahasında gözlenen dokanaklarının çoğu tektonik olduğundan bu kesimlerde birincil özelliklerini çoğun kaybeden bu kayalar tektonizma etkisi ile kırıklı ve eklemli bir görünüm kazanmışlardır. Dokanak zonlarından alınan numunelerde yoğun bir serpentinleşme gözlenir. Özellikle Henegebaşı mevkiinde ultramafitler bol kırıklı çatlaklı ve blokludur. İnce kesitlerde tamamen serpantine dönüşmüşlerdir. Ayrıca ultramafitler içinde serpentinleşmenin yoğun olduğu kesimlerde yeraltısuları etkisi ile killeşme ve ofikalsitler gözlenir.

Çeşitli araştırmacılar, KETİN (1951), ALTINLI (1966), AĞAR (1977) ofiyolitlerin Kretase yaşı kayaçları kesen magmatik intrüzifler olduğunu, BİLGİN (1983) ofiyolitlerin diğer birimlerle olan dokanağında sıcak sokulumu kanıtlayacak kontakt metamorfizmi bulunmadığını, fakat ofiyolitlerin yerleşim sırasında soğuk olduğunu, belirtmiştir. BEKTAS v.d (1984) bölgede Liyas öncesi bir riftleşme olduğunu, riftleşmeye bağlı kabuk kalınlığının azaldığını, basenin faylandığını, bu fayların kabuk altı mantoya su sağlayarak serpentinleşmeye neden olduğunu ve yoğunluğun azalması nedeni ile serpentinlerin diyapirik yükseldiklerini belirtmişler, serpentinler üzerine Liyas-Dogger çökellerinin geldiğini söylemişlerdir.

İnceleme sahasında Aktaş, Henegebaşı mevkiinde ve Akdağ'da Üst Jura-Alt Kretase Gurri formasyonu ultramafitler üzerinde diskordanslı olarak yer almışından (Akdağ'da ikincil hareketlerle diskordanslı durum kısmen korunmuştur), ultramafitler

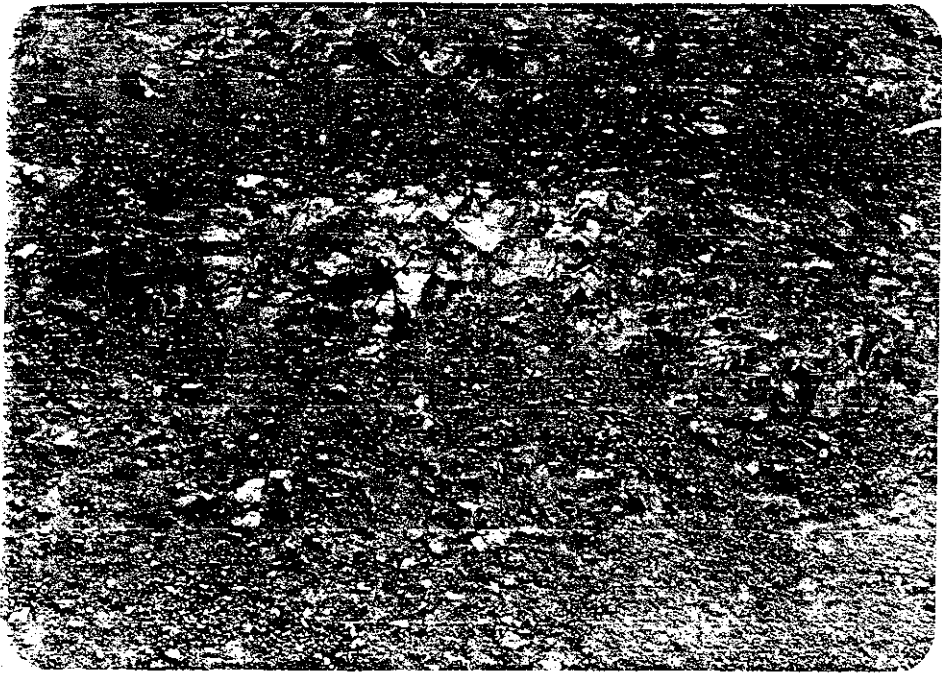


Foto 2- Aralep sırtında Kop ultramafiti(Mk)'nin yakından görünüşü.

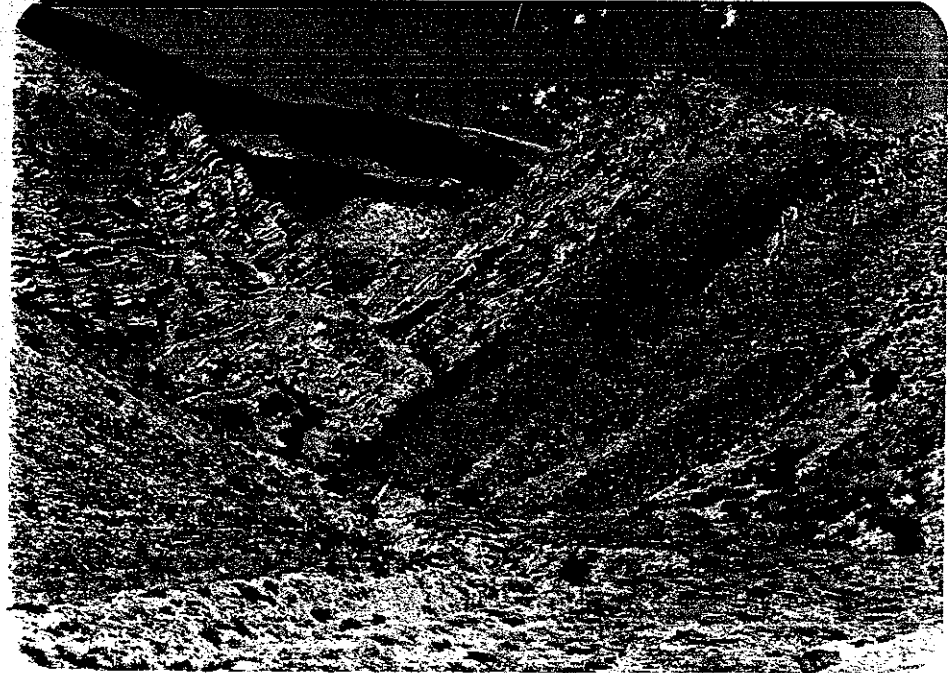


Foto 3- Sarıkaya formasyonu(Js)'nun genel görünüşü.

Üst Jura öncesi oluşmuş olmalıdır. Alt Kretase ve Miyosen sonrası ikincil ve hatta üçüncü hareketlerle bugünkü konumu kazanmıştır.

### III.2.4. SARIKAYA FORMASYONU (Js)

İnceleme sahasının kuzey, harita alanının kuzeybatı sınırında yer alan formasyon, Kopdibi Komu Mahallesi kuzeyindeki Aralep sırtı, Kopırçagın ve Kop Deresi civarında yaklaşık  $5 \text{ km}^2$ lik bir alanda mostra verir. Bol kıvrımcıklı olan formasyon yumuşak topografyası ile kolay tanınır.

Formasyona, Kopdibi Komu Mahallesi kuzeydoğusunda yer alan Sarıkaya Tepe kuzeyinde mostra verdiğinden, yazar tarafından Sarıkaya formasyonu adı verilmiştir.

Sarıkaya formasyonunun tabanı gözlenemez, üst sınırı ise Üst Jura-Alt Kretase yaşı Gurri formasyonu ile geçişlidir. Formasyon Kop Deresi boyunca alüvyon ve yamaç molozları ile örtülüdür ve dere boyunca geçen bir yanal atımlı fay ile sınırlanır. Bol kıvrımcıklı ve kırıklı olan formasyonun çalışma sahası içindeki görünür kalınlığı yaklaşık 1200 m.dir.

Sarıkaya formasyonu gözlenebildiği yerde tabanda, ince orta katmanlı, siyah renkli oolitik kireçtaşları ile başlar ve gri-bej renkli orta-kalın katmanlı yeryer bordo kırmızı renkli ince-orta katmanlı kireçtaşlarına geçer. Açık gri, bey renkli orta-kalın katmanlı kumtaşları, kireçtaşları ile arakatlıdır. Kireçtaşları içinde yeryer gri, bey renkli, orta-kalın katmanlı çört yumruları içeren kireçtaşı ara seviyeleri gözlenmektedir. Formasyonun üst seviyelerine doğru kumtaşı, marn ve çamurtaşı yoğunlaşır.

Geniş bir yayılım sunmayan formasyon içinde, yaş verebilecek herhangi bir fosile rastlanmamıştır. KETİN (1951), KORKMAZ, BAKI (1984), ÖZER (1984) aynı birimin kömür ve volkanik arakatkılı seviyelerinde Alt-Orta Jura yaşlarını tespit etmişlerdir. Formasyonun Üst Jura-Alt Kretase Gurri

formasyonu ile geçişli olamasından dolayı yaşı Alt-Orta Jura olarak kabul edilmiştir.

### III.2.5. GURRİ FORMASYONU (J-Kg)

Formasyon inceleme sahasında Trabzon-Erzurum karayolu, Erzurum tarafından Kop Dağları'na tırmanmaya başladığı Akdağ'dan başlayarak kuzeybatı'ya doğru Gurri Tepe, Aktaş mevkii, Kızılışme Tepe, Kişmişin Tepe, Bakdülü Tepe, Kaleboynunun Tepe ve Kalenintaş Tepe dolayında görülür.

Gurri formasyonu alttan üste doğru üç ümeye ayrılmıştır. Bakdülü kireçtaşı-şeyl üyesi, Kızılışme çörtlü kireçtaşı üyesi, Aktaş kumtaşı-kireçtaşı-şeyl üyesi. Bakdülü, Kızılışme ve Aktaş üyeleri Gurri Tepe ve Gurri Tepe'nin yaklaşık 1 km. batısında mostra verirler. Ayrıca Bakdülü üyesi, Bakdülü Tepe, Kişmişin Tepe, Sarıkaya Tepe, Kaleboynunun Tepe Akdağ ve Küçük Akdağ'da, Kızılışme üyesi, Kızılışme ve Gurri Tepe batısında, Aktaş üyesi, Aktaş ve Henegebaşı mevkiinde mostra verirler. Formasyon tektonizmadan etkilenmiş bol kıvrımlı ve dokanak zonları çögün faylı olduğundan gerçek kalınlığı belirlenememiştir, görünür kalınlığı yaklaşık 1230 m.dir.

Gurri formasyonu Sarıkaya Tepe kuzeyinde, altındaki Sarıkaya formasyonu ile uyumludur. Aktaş ve Henegebaşı mevkii ile Akdağ'da altındaki Kop ultramafiti üzerinde diskordanslıdır ve diskordans düzlemi boyunca Aktaş mevkiinde yaklaşık 800 m. izlenebilen 2m. kalınlığında bir aragonit zonu yer almaktadır. Gurri formasyonu üzerinde Miyosen Göller deresi formasyonu diskordanslıdır.

Gurri formasyonunu oluşturan üç üyede Gurri Tepe ve dolayında mostra verdiğiinden yazar tarafından Gurri formasyonu adı verilmiştir. Gurri formasyonuna ALTINLI (1966) Kop formasyonu, sahamızın kuzeyinde ERTUNC v.d (1970) Pügey formasyonu, AĞAR (1977) Hozbirlik yayla kireçtaşı, ÖZER (1984) Ahsünk ve Kuzdağ formasyonu, Aşkale doğusunda ARPAT (1965) Yesirçöl formasyonu adlarını vermişlerdir.



Foto 4- Gurri Tepe SW'sında Gurri formasyonu(J-Kg)'nun genel görünüsü.  
Mk: Kop ultramafiti, Tg: Göllerderesi formasyonu,  
Pg: Çankulesi metamorfitleri(Rekristalize kireçtaşlı merceği)

### III.2.5.1. Bakdülü Kireçtaşı-Şeyl Üyesi (J-Kgb)

Gurri formasyonunun en alt seviyesini oluşturan Bakdülü kireçtaşı-şeyl üyesi arazide beyaz rengi ve fazla sarp olmayan görünümüyle tanınır. Yol yarmalarındaki kıvrımlı görünümülü dikkati çeker, ayrıca faylı bölgelerde sarp kayalıkları oluşturur. Bakdülü Tepe ve güneybatısında tipik gözlendiğinden yazar tarafından Bakdülü kireçtaşı-şeyl üyesi olarak adlandırılmıştır.

Hakim litolojisi kireçtaşı olan Bakdülü üyesi içinde yeryer şeyl ve marn ara seviyeleri gözlenir. Sarıkaya Tepe kuzeyinde tabanı görülen üyenin üst sınırı faylı, Gurri Tepe batısında üst sınırı görülen üyenin tabanı faylidir. Bu üyenin sahada görünür kalınlığı yaklaşık 950 m. dir.

Kireçtaşları, açık bej, beyazımsı, grimsi, orta-kalın katmanlı, çok sert, yeryer çört yumrulu, kırık ve çatlakları boyunca gelişmiş bol kalsit damarlı ve makro fosillidir. Kireçtaşları içinde yeryer marn ve şeyl seviyeleri gözlenir. Marn düzeyleri beyazımsı, bej ince orta katmanlı, serttir, şeyller ise koyu gri, yeşilimsi, laminalı, kıymıksı ayrışmalı ve dağılgandır.

Bakdülü üyesi makro ve mikro fosil içeriği bakımından zengindir. Tabanda bol Ammonitli'dir. Bu üye içinde yer alan Ammonitler'in tür tayinleri yapılamamıştır. Mikro fosiller ise; *Calpionella alpina grandis* DOBEN, *Tintinopsella* sp., *Calpionella elliptica* CADISCH. Bu fosillere dayanarak birimin yaşı Üst Jura-Alt Kretase'dir. Aynı birime Bayburt yöresinde çalışan KETİN (1951), AĞAR (1977), ÖZER (1984), KORKMAZ ve BAKI (1984) ile inceleme sahasının doğusunda Yesircöl Dağı yöresinde AKSAY (1987) Üst Jura-Alt Kretase yaşı vermişlerdir.



Foto 5- Bakdülü kireçtaşı-şeyl üyesi(J-Kgb) içindeki kireçtaşı-marn ardalanmasının genel görünüsü.



Foto 6- Akdağ NW'sında Bakdülü kireçtaşı-şeyl üyesi(J-Kgb) içindeki kireçtaşlarında, çökelmeye bağlı ondülasyonlu yapının genel görünüsü.

### III.2.5.2. Kızıleşme Çörtlü Kireçtaşlığı Üyesi (J-Kgk)

Çört ve Çörtlü kireçtaşlarından oluşan Kızıleşme üyesi siyah kalın çört bantları ile topoğrafyada kolayca tanınır. Kızıleşme Tepe batısında gözlenen birime yazar tarafından Kızıleşme Çörtlü Kireçtaşlığı Üyesi denilmiştir.

Kızıleşme üyesi tabanda Bakdülü üyesi, tavanda Aktaş üyesi ile geçişli olup, Gurri Tepe batısında üyenin kalınlığı 100 m. dir.

Kızıleşme üyesi açık gri, açık yeşil, bej, krem renkli, orta-kalın katmanlı, çok sert, kalsit damarlı, yeryer oolitik ve çörtlü yumrulu kireçtaşlarından oluşur. Kireçtaşları içinde yeryer kalınlığı 30 m. ye varan çört bantları yeralır. Çört; siyahımsı, yeşilimsi kahverengi, ince-orta katmanlı, bol kırık ve çatlaklıdır.

Kızıleşme üyesinin, tabanda Bakdülü üyesi ile geçişli olması, kalınlığının ve yayılımının fazla olmaması nedeni ile Bakdülü üyesi ile aynı yaşta olduğu söylenebilir. Üyenin tabanına yakın bir kireçtaşlığı seviyesinde Ammonit izine rastlanması bu düşünceyi desteklemektedir. Buna göre Kızıleşme üyesi Üst Jura-Alt Kretase yaşındadır.

### III.2.5.3. Aktaş Kumtaşlığı-Kireçtaşlığı-Şeyl Üyesi (J-Kga)

Aktaş üyesi, Gurri formasyonunun en üst seviyesini oluşturur. Yumuşak topoğrafyası ve kahverengi kumtaşları ile topoğrafyada kolayca tanınır. Henegebaşı ve Aktaş mevkiiinden başlayarak güneydoğuya doğru uzanan birim yazar tarafından Aktaş üyesi olarak adlandırılmıştır.

Kumtaşlığı, kireçtaşlığı, marn ve şeyl'den oluşan Aktaş üyesinin tabanı Kızıleşme üyesi ile geçişlidir. Aktaş üyesinin üst sınırı çalışma sahasında gözlenemez. Ayrıca Aktaş üyesi üzerinde gelişen heyelan nedeni ile de kalınlığı hakkında birşey söylemek zordur, ancak sahada görünür kalınlığı



Foto 7- Kızıleşme çörtlü kireçtaşlı üyesi(J-Kgk) içindeki çört seviyelerinin yakından görünüşü.



Foto 8- Henegebaşı SE'sunda Aktaş kumtaşı-kireçtaşlı-şeyl üyesi(J-Kga)'nin genel görünüşü.

180 m. dir.

Aktaş üyesi, kumtaşı, kireçtaş, marn, şeyl ve çamurtaşı ardalanmasından oluşmuştur ve fliş fasiyesinde oluşan çökelleri karakterize eder.

Kumtaşı; taze yüzeyi gri, kahverengimsi, ayrılmış yüzeyi kıızıl kahverengi, orta-kalın katmanlı, çok sert, yer yer kaba taneli, iyi boylanmalı, bazı yerlerde derecelenmeli, karbonat çimentolu, yersel tane desteklidir ve yeryer düzensiz gelişmiş kalsit damarları gözlenir. Kumtaşı, kumlu kireçtaş ve kireçtaş ile ardalanmalıdır. Kireçtaş; grimsi, yeşilimsi, ince-orta katmanlı, sert, düzensiz gelişmiş bol kalsit damarlı, çok az çört yumruludur. Şeyl ve çamurtaşları ise kumtaşı ve kireçtaş katmanları arasında yer almır.

Aktaş üyesi içinde herhangi bir fosile rastlanmamıştır. Altındaki Bakdülü ve Kızılışme üyeleri ile geçişli olması nedeni ile Aktaş üyesinin yaşını Üst Jura?-Alt Kretase olarak kabul edilmiştir.

### III.2.6. GÖLLERDERESİ FORMASYONU (Tg)

Göllerderesi formasyonu, harita alanının güneydoğu kesiminde Saptıran civarında, kuzeybatıya doğru gidildiğinde, Kopdibi Komu Mahallesi ve güneybatısında, Kışkançlı Dere batı ve güneybatısında, Kandıltas Tepe ve doğusunda, Göller Deresi'nin başladığı yerlerde mostra verir.

Göllerderesi formasyonu, alttan üstte doğru iki üye-ye ayrılmıştır. Kandıltas çakıltası üyesi, Göller kumtaşı-şeyl-çamurtaşı üyesi. Kandıltas üyesi, Kandıltas Tepe ve Kandıltas Tepe'nin güneyinde, Göller üyesi ise, Saptıran, Kandıltas Tepe kuzey ve doğusu, Göller Deresi'nin başlangıcı, Kopdibi Komu Mahallesi civarı ile Kışkançlı Dere batı ve güneybatısında mostra verir.

Formasyon Kandıltas Tepe'de Gurri formasyonu üzerine diskordanslı gelir. Kandıltas Tepe güneyinde Gurri formasyonu, Saptıran ve kılıçtaş mevkiinde Kop ultramafiti, Göllerderesi formasyonu üzerine şariyajlidır. Göllerderesi formasyonunun Gurri formasyonu ile dokanağı, Kışkançlı Dere batısında, Kopdibi Komu Mahallesi güneybatısında, Kılıç sırtında, normal faylı, Sarıkaya Tepe batısında, Kandıltas Tepe güneybatısında ise doğrultu atımlı faylidir. Formasyonun alt dokanağının net görülmemesine karşın üst dokanağının çokun faylı oluşu nedeni ile kalınlığı belirlenemez, görünür kalınlığı yaklaşık 700 m. dir.

Formasyon en iyi Göller Deresi başlangıcında gözlemden yazan tarafından Göllerderesi formasyonu olarak adlandırılmıştır.

### III.2.6.1. Kandıltas Çakıltası Üyesi (Tgk)

Göllerderesi formasyonunun tabanını oluşturan Kandıltas çakıltası üyesi, çakıltalarının yaptığı sert çıkışlıklarla topografiyada kolayca tanınır ve uzun mesafelerce izlenebilir. En tipik Kandıltas Tepe'de gözlemden yazan tarafından Kandıltas çakıltası üyesi olarak adlandırılmıştır.

Formasyon çakıltalarından oluşur, tabanda Gurri formasyonu üzerinde diskordanslı olan çakıltaları, üzerinde yer alan Göller üyesi uyumludur. Kandıltas Tepe'de ölçülen kalınlığı 150 m. dir.

Çakıltası; tabanda çok kalın katmanlı, iri, köşeli yada az köşeli çakıllıdır. Matriks kumlu, karbonatlı olup, çimento killi karbonattır. Çakıllarının elemanları metamorfik kayaçlar, serpantin, spilitik bazalt; Jura-Alt Kretase kireçtaşları ve kumtaşlarından oluşmuştur. Kandıltas Tepe'de tabandan 7 m. lik bir kısımdan sonra çakıltalarından tediçi bir değişiklik görülür, elemanlarının tamanına yakın bir kısmını kireçtaşları oluşturur ve kuzeYE doğru düzgün katmanlı ince taneli iyi bağlanmalı çakıltaları yeryer

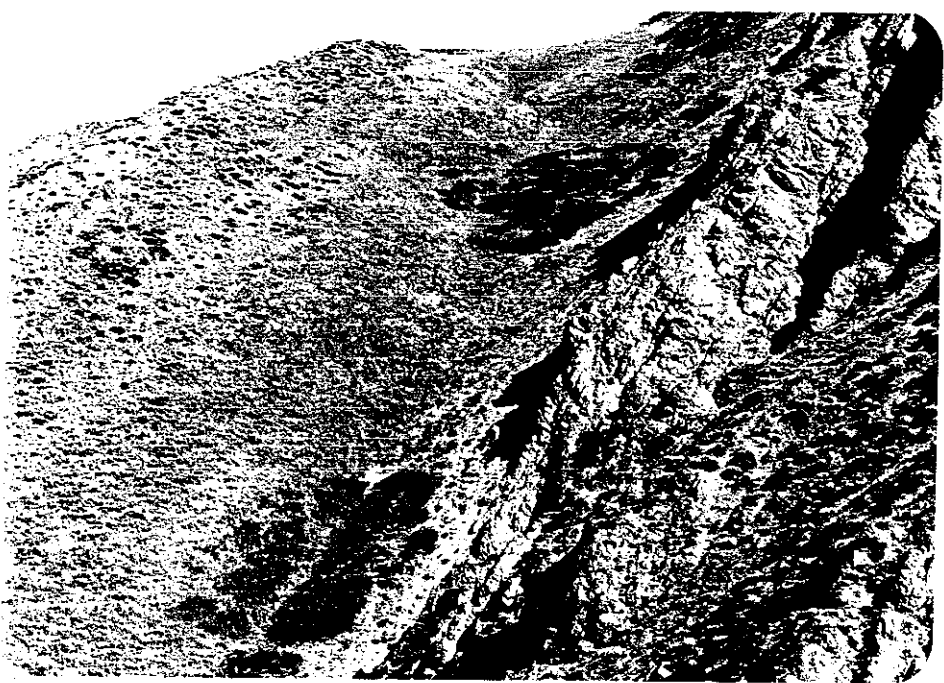


Foto 9- Kandıltas Tepe'de Göllerderesi formasyonu(Tg)'nun genel görünüşü.

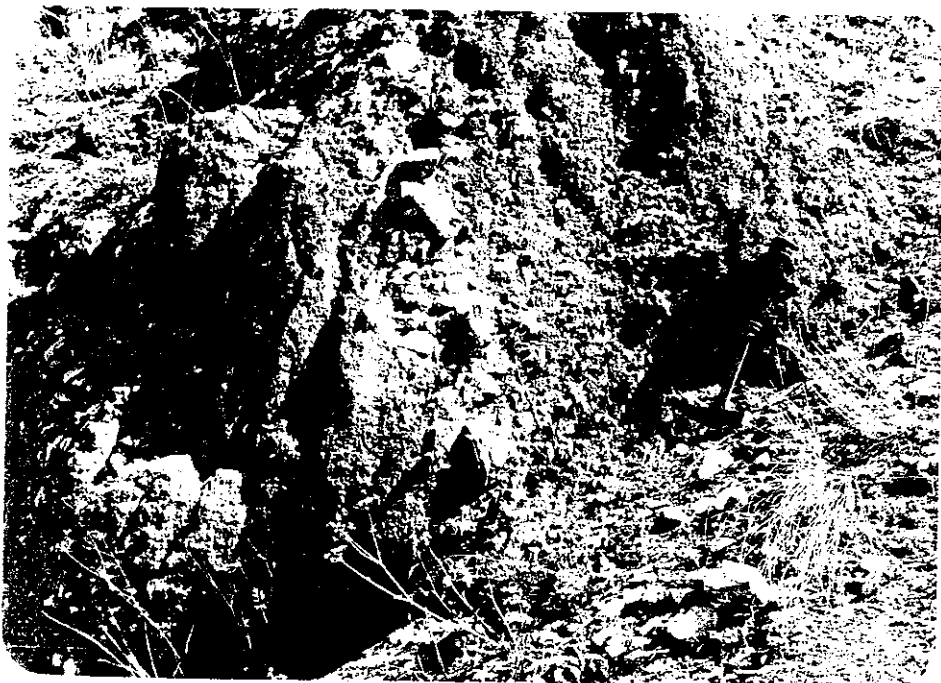


Foto 10- Kandıltas Tepe SE'sunda Kopdağı 1 tünel güzergahı giriş ağzı (Gümüşhane tarafı) üzerindeki Kandıltas çakıltası üyesi(Tgk) çakıltalarındaki devrik tabakalanmanın yakından görünüşü.

derecelenme göstererek Gölßer üyesine ait kumtaşlarına  
geçer.

Kandıtaş üyesinde yaş verebilecek herhangi bir fosile rastlanmamıştır. İnceleme sahasının doğusunda BİLGİN (1983) aynı çakıltashlarının yaşıının, derlediği fosil kapsamına göre Miyosen olduğunu söylemiştir. Buna göre Kandıtaş çakıltası üyesinin yaşı Miyosen olarak kabul edilmiştir.

### III.2.6.2. Gölßer Kumtaşı-Şeyl-Çamurtaş Üyesi (Tgg)

Gölßer üyesi, Gölßerderesiformasyonunun en üst seviyesini oluşturur. Arazide yumuşak ve heyelanlı topografyasıyla tanınır. Gölßer deresi'nin başlangıcında iyi gözlenliğinden yazar tarafından Gölßer kumtaşı-şeyl-çamurtaş üyesi olarak adlandırılmıştır.

Gölßer üyesi, tabanda Kandıtaş üyesi ile geçişlidir. Üst sınırı faylıdır ve alüvyon dışında başka birim örtmez. Üst sınırının aşındırmalı ve faylı olması nedeniyle kalınlığı bilinemez. Ancak sahada görünür kalınlığı yaklaşık 550m.dir.

Gri, boz, ince-orta katmanlı, ince taneli, iyi boyalanmalı, sert, karbonat çimentolu, bol kırıkçı, kırıkları ikincil kalsit ve kil dolgulu kumtaş, Gölßer üyesinin hâkim litolojisini oluşturur. Kumtaşı ile arakatmanlı çamurtaş, kiremit, kırmızısı, ince-orta katmanlı, kumlu, çakıllıdır. Şeyl ise, açık boz, laminalı, kıymiksı ayırmalı dağılgandırlar. Bazı ara seviyelerde kahverengimsi, gri, ince katmanlı, yeryer laminalı, orta sert kumlu kireçtaşları gözlenir.

Saptıran güneyinde aynı birim içinde jipsli seviyelerde bulunur. Ancak inceleme sahasında herhangi jips içeren bir birime rastlanmamıştır.

Gölßer üyesinde yaş tayini yapılabilecek herhangi bir fosile rastlanmamıştır. Aynı birimde Bayburt bölgesinde

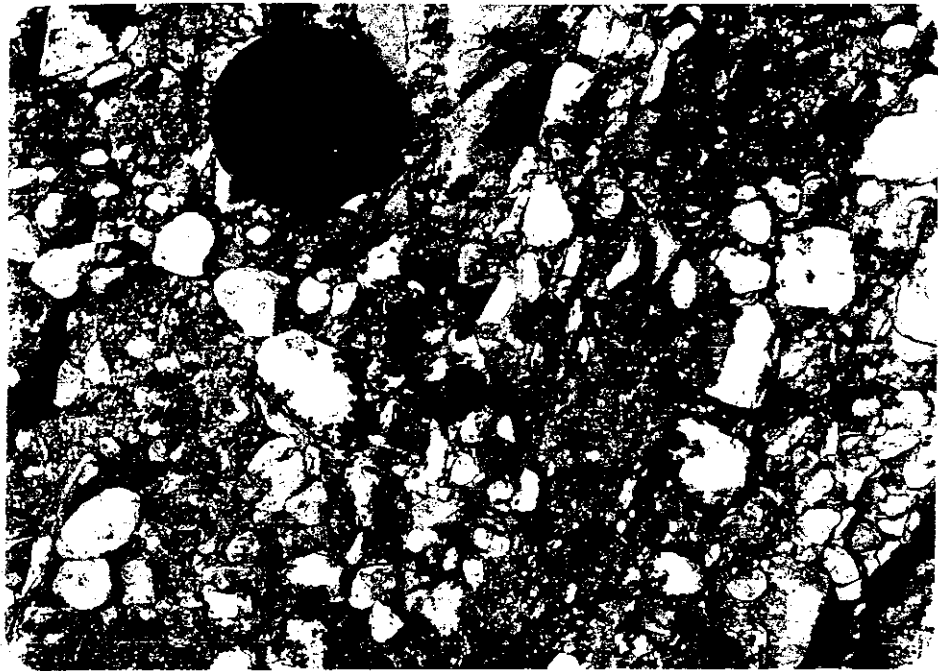


Foto 11- Kandıltas çakıltası üyesi(Tgk)'nin yakından görünüşü.



Foto 12- Göller Dere'sinde Göller kumtaşı-şeyl-çamurtaşı üyesi(Tgg)'nin genel görünüşü.

KETİN (1951), Aşkale bölgesinde GATTINGER (1955) derlediği fosillere göre yaşıının Miyosen olduğunu söylemişlerdir. Tabanda Kandıltas üyesi ile de geçişli olan Göller kumtaşı-şeyl-çamurtaşlı üyesinin yaşı bu verilere göre Miyosen'dir.

### III.2.7. ALÜVYON (Qal)

Alüvyon Göller Deresi-Kışkançlı Dere-Kop Deresi, Henege suyu, Naldöken Dere boyunca gözlenir. Çakıllar grimsi, bej, yeşilimsi kireçtaşı, koyu yeşil, siyahımsı kahverengimsi ultramafit kayalar, kahverengi kumtaşları ve yeşil, mavi, bordo, siyah renkli çörtlerden oluşur. Tane boyları mil boyundan 40 cm ye kadar değişir. Göller Deresi ve Henege suyunda kötü boylanmalı, çakıllar; köşeli, yarı köşeli çok az yuvarlaktır. Henege suyunda alüvyon malzemesinin tamamı Kop ultramafitinden türeyen malzemeden oluşmuştur. Her iki dere yatağında kalınlıkları 1-4 m. arasında değişir. Naldöken Dere'de alüvyon yeryer iyi boylanmıştır. Çakıllar yuvarlak, yassı yeryer köşelidir. Naldöken Dere'de kalınlık 5-30 m. arasındadır.

### III.2.8. YAMAÇ MOLOZU (Qym)

Yamaç molozu, Gurri formasyonuna ait kireçtaşlarının yamaç eğimlerinin fazla olduğu sırtlarda ve fay zonlarında gözlenir. Ayrıca Sarıkaya formasyonunun Kop Deresi ile keştiği yerde faylanma nedeni ile gelişen yamaç molozu gözlenir. Grimsi, beyazımsı, bej renkli, sivri-küt köşeli olan çakıllar kötü boylanmalıdır. Kalınlıkları 0.50-4 m. arasındadır.

## III.3. YAPISAL JEOLOJİ

Bu bölümde, çalışma sahasındaki diskordanslar, kırımlar, eklemeler ve faylar sunulacaktır.

### III.3.1. DİSKORDANSLAR

Çalışma sahasında ilk diskordans Gurri formasyonu ile Çankulesi metamorfitleri ve Kop ultramafiti arasında açısal olarak gözlenir. Çankulesi metamorfitleri ile Gurri formasyonu arasındaki diskordans düzleminin birincil konumu faylanma nedeni ile bozulmuştur. Gurri formasyonu ile Kop ultramafiti arasındaki diskordans düzlemi Aktaş mevkiinde tipik olarak gözlenir. Yaklaşık  $20^{\circ}$ lik bir eğime sahip olan diskordans düzlemi boyunca 2m. kalınlığında ve 700 m. uzunluğunda bir zon halinde aragonit oluşumuda gözlenir. Akdağ'da aynı iki birim arasında gözlenen diskordans düzlemi tektonik etkiler nedeniyle kısmen korunmuştur.

İkinci bir diskordans, Gurri formasyonu ile Göllerdelesi formasyonu arasında ve açısalıdır. Kandıltas Tepe'de tipik olarak gözlenen diskordans düzlemi  $54^{\circ}$ lik bir eğime sahiptir ve batıya doğru yaklaşık 4 km. lik bir devamlılığı vardır. Kandıltas Tepe güneyinde ise aynı diskordans düzlemi tektonik etkilerle bozulmuş ve yaklaşık  $40^{\circ}$ lik eğime sahip bir fay düzlemi şeklinde gözlenmektedir.

Alüvyon kendinden önceki tüm birimleri açısal diskordanslı olarak örter.

### III.3.2. KİVRİMLAR

Çalışma sahasında Sarıkaya formasyonu ve Gurri formasyonu bol kırım ve kıvrımcıklıdır. Sarıkaya formasyonunda sayılamayacak kadar bol ve küçük kıvrımcıklar vardır. Bu kıvrımlanmaya Sarıkaya Tepe, Kalenintaş Tepe, Kaleboynunu Tepe civarında yer alan Gurri formasyonunda eşlik etmiştir. Henegebaşı kuzeybatısında iki bindirme düzlemi arasında yer alan Gurri formasyonu bol kıvrımlıdır ve bu kıvrımlanma tamamen şariyajlara bağlı olarak gelişmiştir. Sahada gözlenen tüm kıvrımlanmaların gidişi kuzeydoğu-güneybatıdır. Bunlar dışında çökelmeye ilişkin tabakaların dalgalanması ve fay

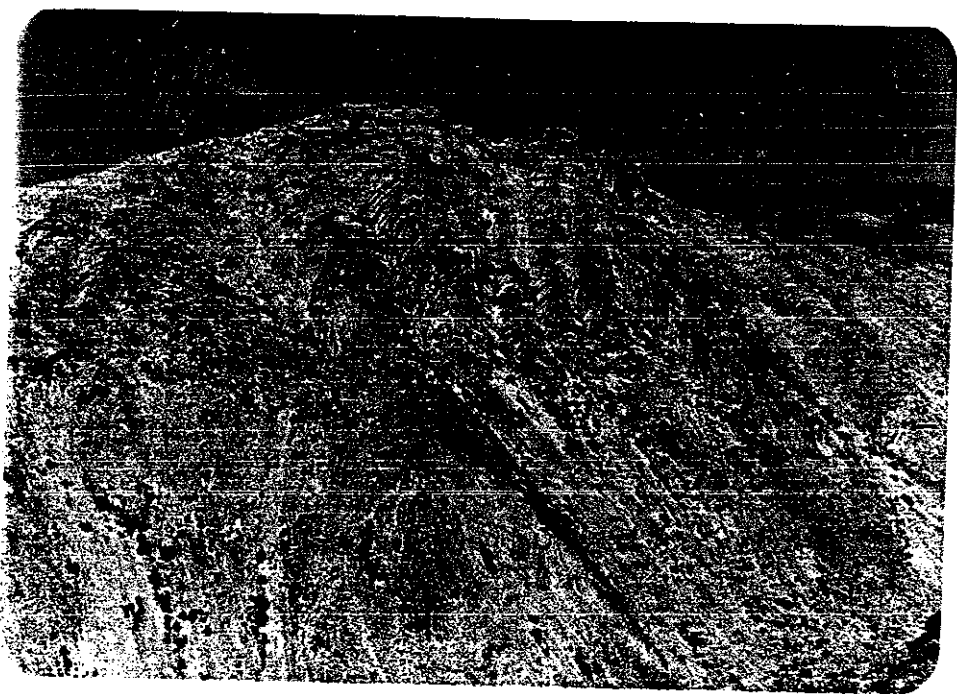


Foto 13- Sarıkaya Tepe'de Gurri formasyonu(J-Kg)'nun kırımlı yapısının genel görünüsü.

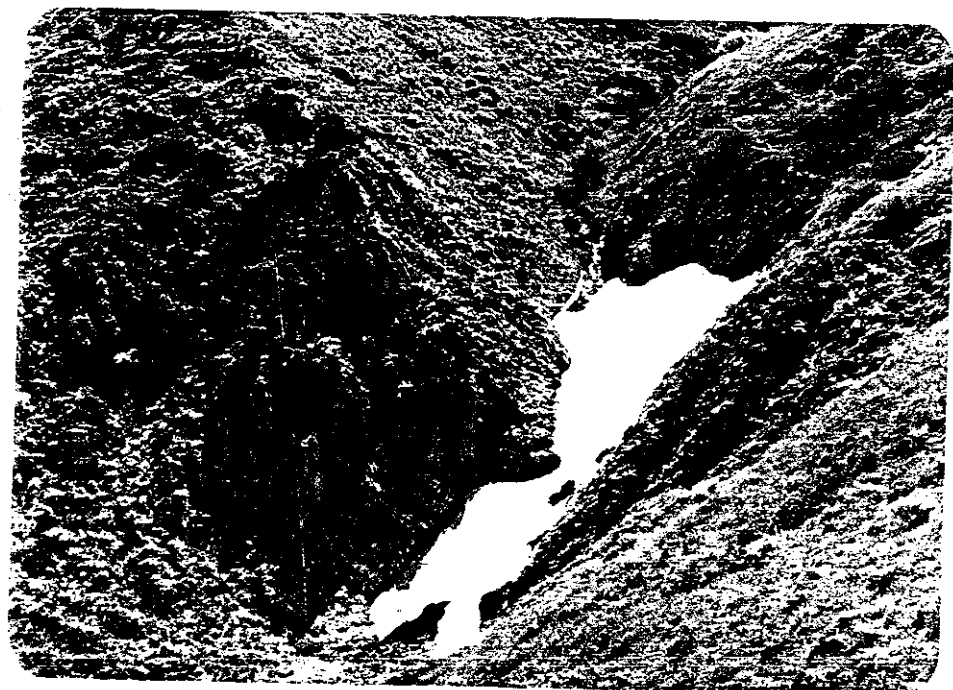


Foto 14- Gurri Tepe W'sında Gurri formasyonu(J-Kg)'nun Gölle şariyajına bağlı kıvrımlanmasının genel görünüsü.

düzlemlerinde görülen bükülmeler olağandır.

Hanyeri'nde ve Kışkançlı Dere kuzeydoğusunda gözlenen heyelanlı arazide, heyelan malzemesi içinde pek çok kıvrım görmek mümkündür. Ancak bunların herhangi bir geometrisi yoktur ve tamamen heyelan nedeni ile gelişmiştir.

### III.3.3. EKLEMLER

İnceleme alanında tünel güzergahı boyunca yüzeyleyen tüm birimlerin eklemleri ayrıntılı olarak incelenmiştir. Bu eklemlerin diğer özellikleri ile, tünel güzergahına etkileri "Mühendislik Jeoloji" bölümünde açıklanacaktır. Bu bölümde eklemlerin kontur ve stereografik izdüşüm diyagramları verilmiştir.

Eklem ölçümleri tünel güzergahı üzerinde yoğunlaştırılmıştır. Bunun amacı eklemlerin tünel üzerindeki etkilerini araştırmaktır. Kopdağı 1 ve Kopdağı 2 tünel güzergahlarındaki eklemlerin derişme dereceleri Tablo 2 de verilmiştir.

### III.3.4. FAYLAR

İnceleme sahasında düşey, ters, doğrultu atımlı, şariyaj olmak üzere 13 adet fay gözlenmektedir. Faylar Miyosen'den sonra üst üste iki sıkışma ve bir gerilme kuvvetleri etkisi ile üç tektonik dönemde gelişmiştir. Birinci tektonik dönemde Kop ultramafiti, Çankulesi metamorfitleri, Gurri formasyonu ve Gölßerderesi formasyonu üzerine itilmiştir. Sıkışma kuvvetleri etkisi ile gelişen bu birinci tektonik dönemde, Kop şariyajı, Cankurtaran şariyajı ve Saptıran şariyajı gelişmiştir. İkinci tektonik dönemde ise tekrar sıkışma kuvvetleri etkisi ile Gurri formasyonu, Gölßerderesi formasyonu üzerine, Kop ultramafiti, Gurri formasyonu üzerine itilmiştir. Tabanda bulunan Çankulesi metamorfitleri bir ters fay yardımı ile yükselmiştir. Bu tektonik dönemde Gölßer ve Henegebaşı şariyajı ile Çankulesi ters fayı oluşturmıştır. Üçüncü tektonik dönemde gerilme kuvvetleri etkilidir ve çekim

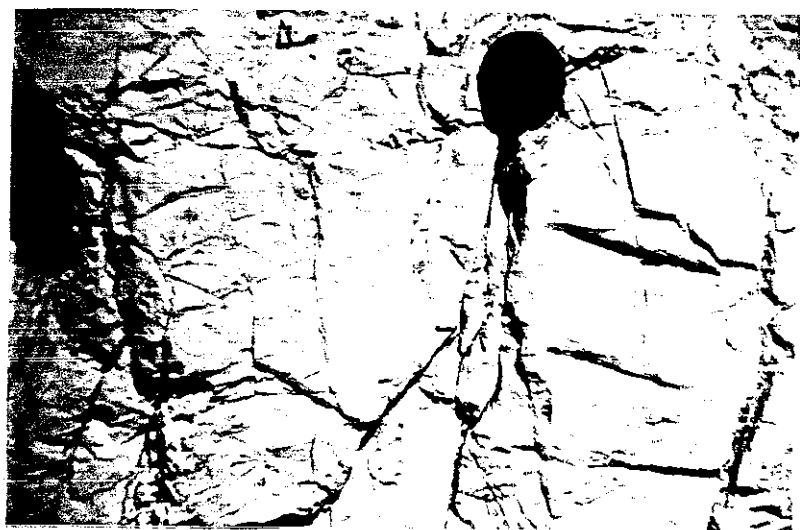


Foto 15- Gurri formasyonu(J-Kg) içindeki kireçtaşlarının kırıkçı yapısının yakından görünüşü.

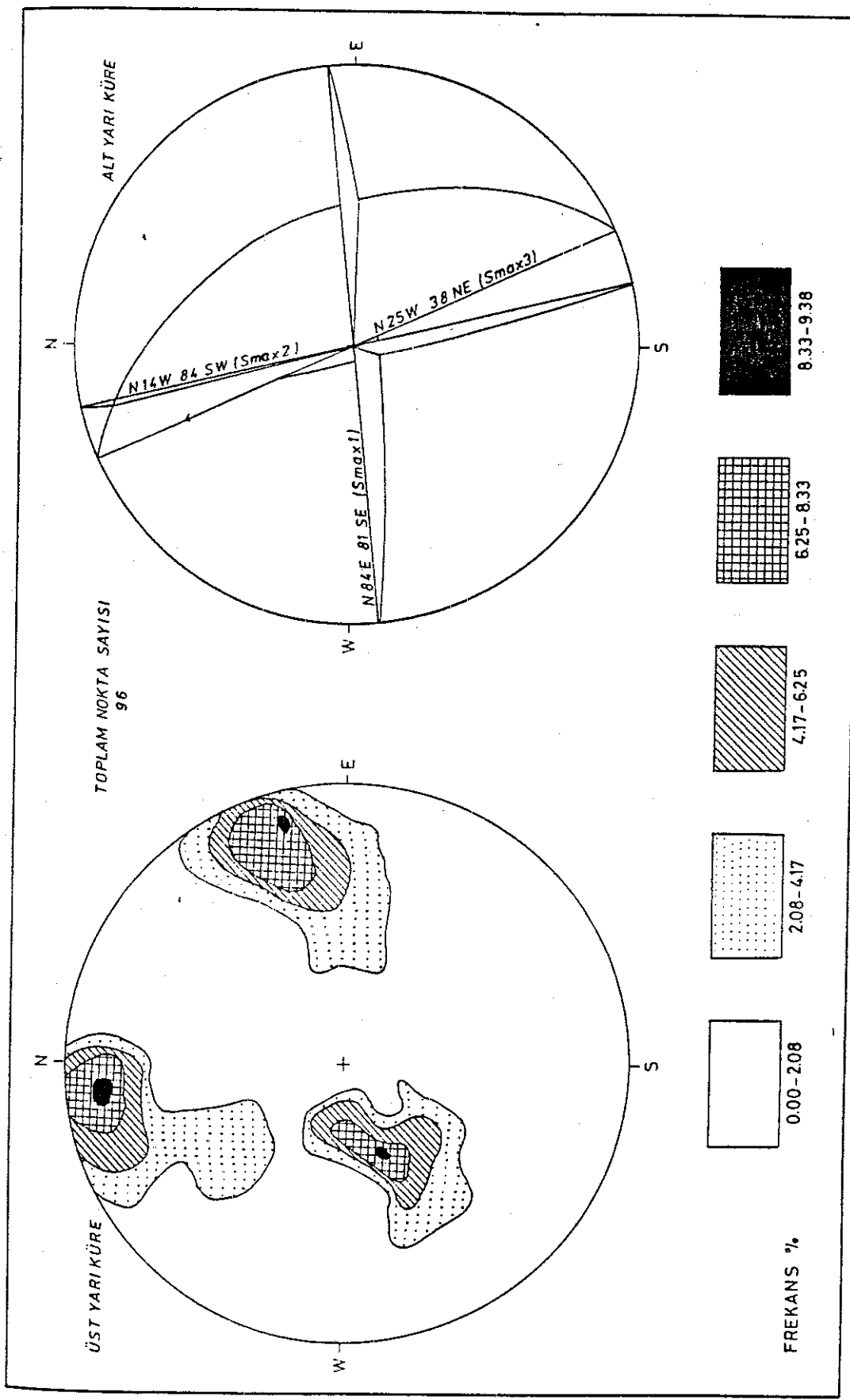


Foto 16- Henegebaşı mevkiinde, Gurri formasyonu(J-Kg) kumtaşlarının düşeye yakın tabakalı ve eklemli konumunun genel görünüsü.

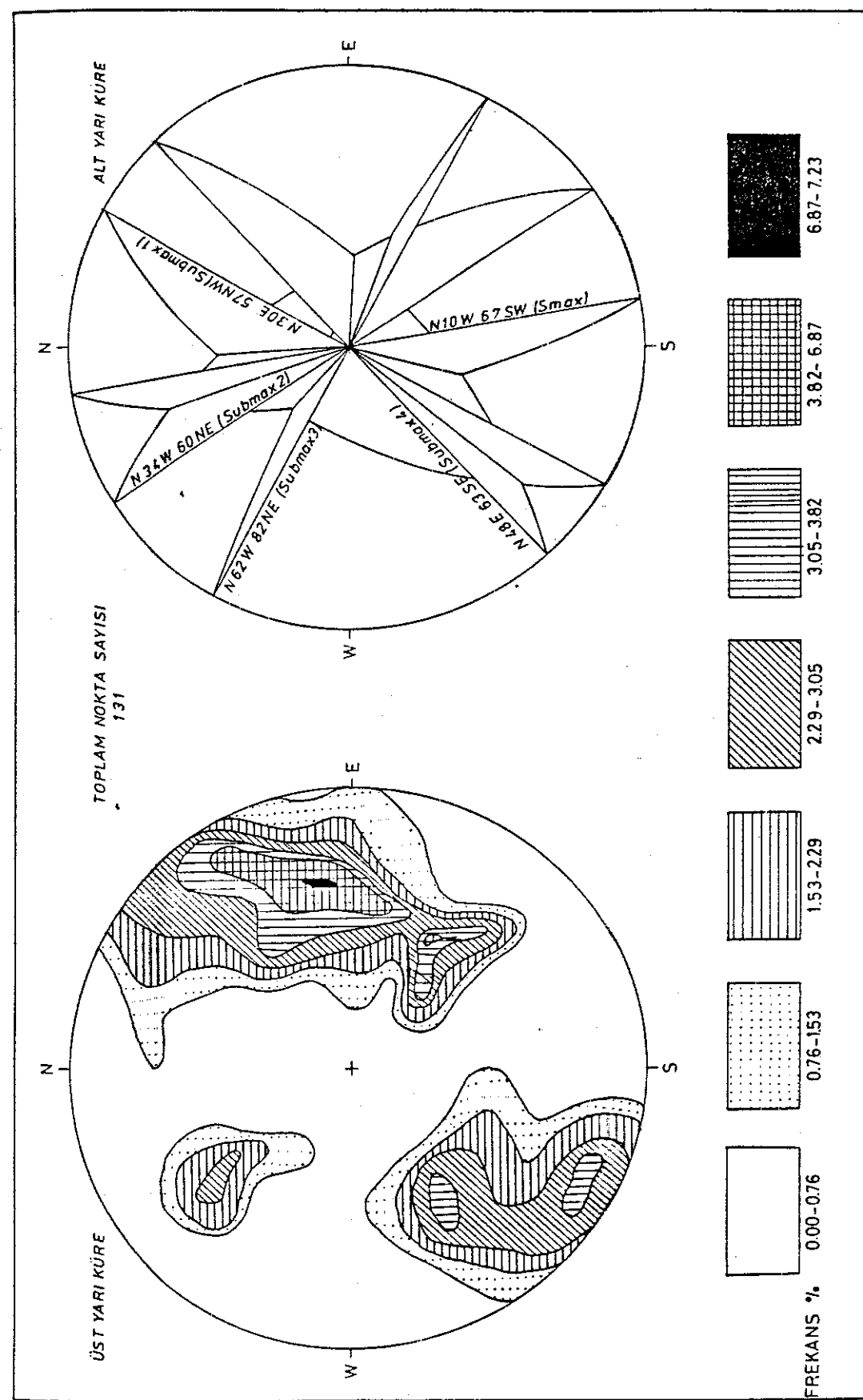
Tablo-2- Kopdağı 1 ve Kopdağı 2 tünel güzergahındaki kayaçların derişme dereceleri

Concentrallion degrees of the rocks of Kopdağı 1 and Kopdağı 2 tunnel line

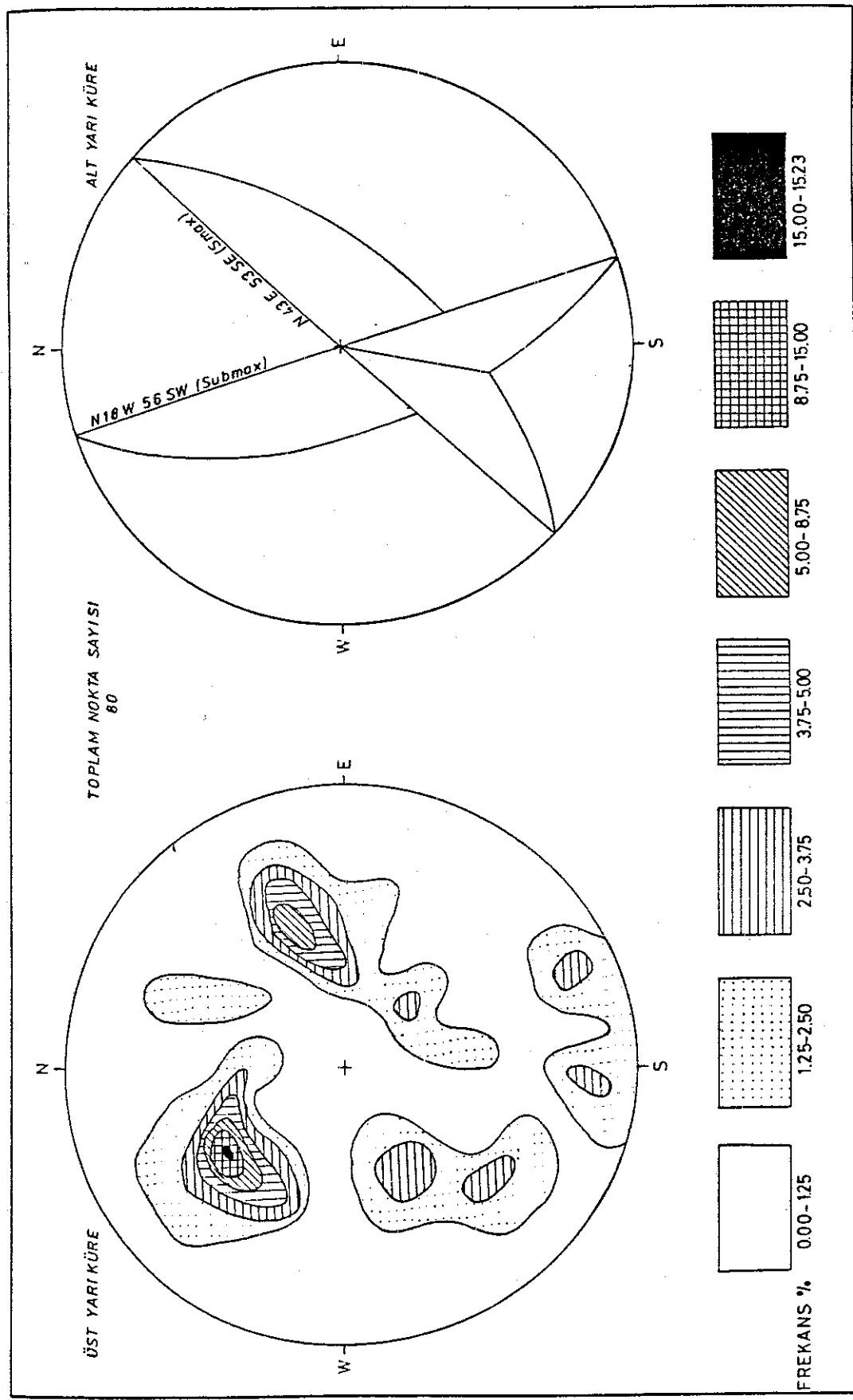
	S max	Sub max
Kopdağı 1 Gurri formasyonu,kireçtaşı (tünel girişi)	N84E 81SE N14W 84SW N25W 38NE	
Kopdağı 1 Gurri formasyonu, fliş (tünelin orta kesimi)	N10W 67SW	N30E 57NW N34W 60NE N62W 82NE N48E 63SE
Kopdağı 1-Kopdağı 2 Kop ultramafiti (tünelin orta kesimi)	N43E 53SE	N18W 56SW
Kopdağı 1-Kopdağı 2 Kop ultramafiti (tünel çıkışı)	N74E 52NW	N48W 81SW N6W 85NE
Kopdağı 2 Göllerderesi formasyonu, konglomera (Kandıltas Tepe)	N29W 23SW	N4W 39SW N20W 53SW
Kopdağı 2 Gurri formasyonu,kireçtaşı (Kandıltas Tepe)	N42E 87SE	N44W 69NE N54E 53NW N7W 72SW
Kopdağı 2 Gurri formasyonu, fliş (Gurri Tepe)	N16W 67SW N42W 82NE	N62W 68SW



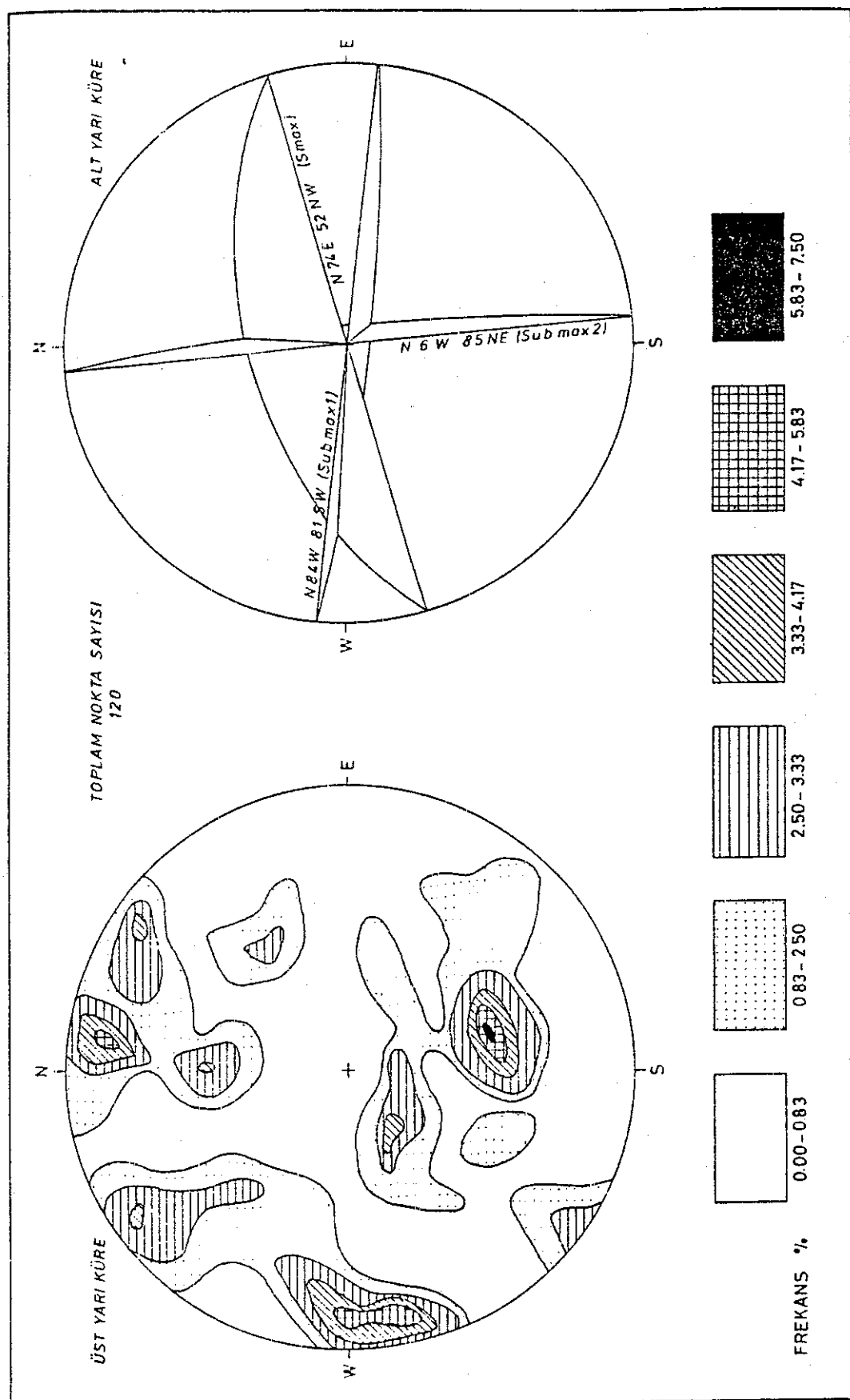
Sekil-4- Tünel girişliğinde Gurri formasyonundaki eklemlerin stereografik ve eşit alan izdüşümüleri. Kopdağılı  
Stereographic and equal-area projection of the joints of Gurri formation at gate of the tunnel.



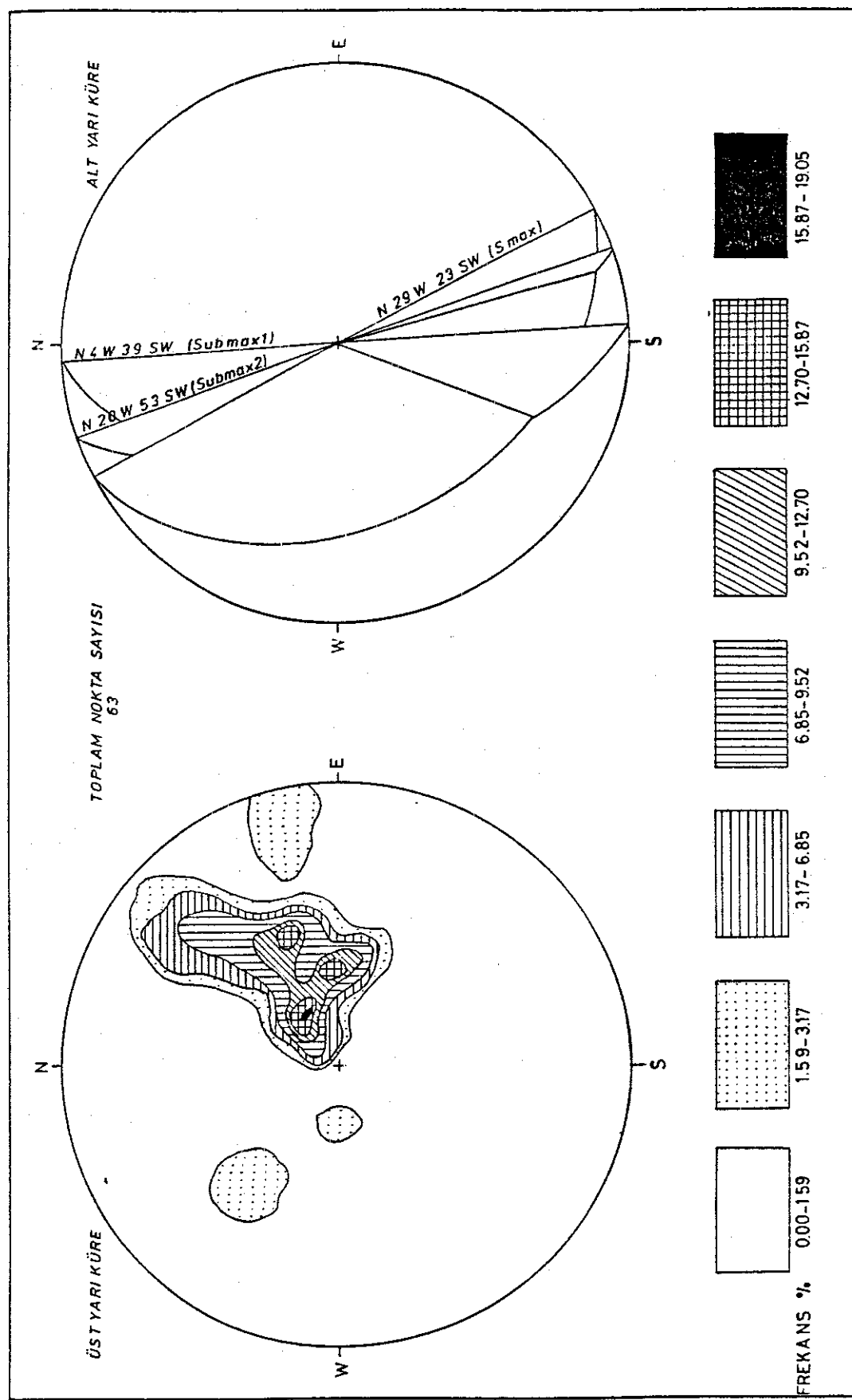
Şekil 5-Tünelin orta kesiminde Gurri formasyonundaki eklemelerin stereografik ve eşit alan izdişümleri.Kop 1  
Stereographic and equal-area projection of the joints of Gurri formation at middle of the tunnel.



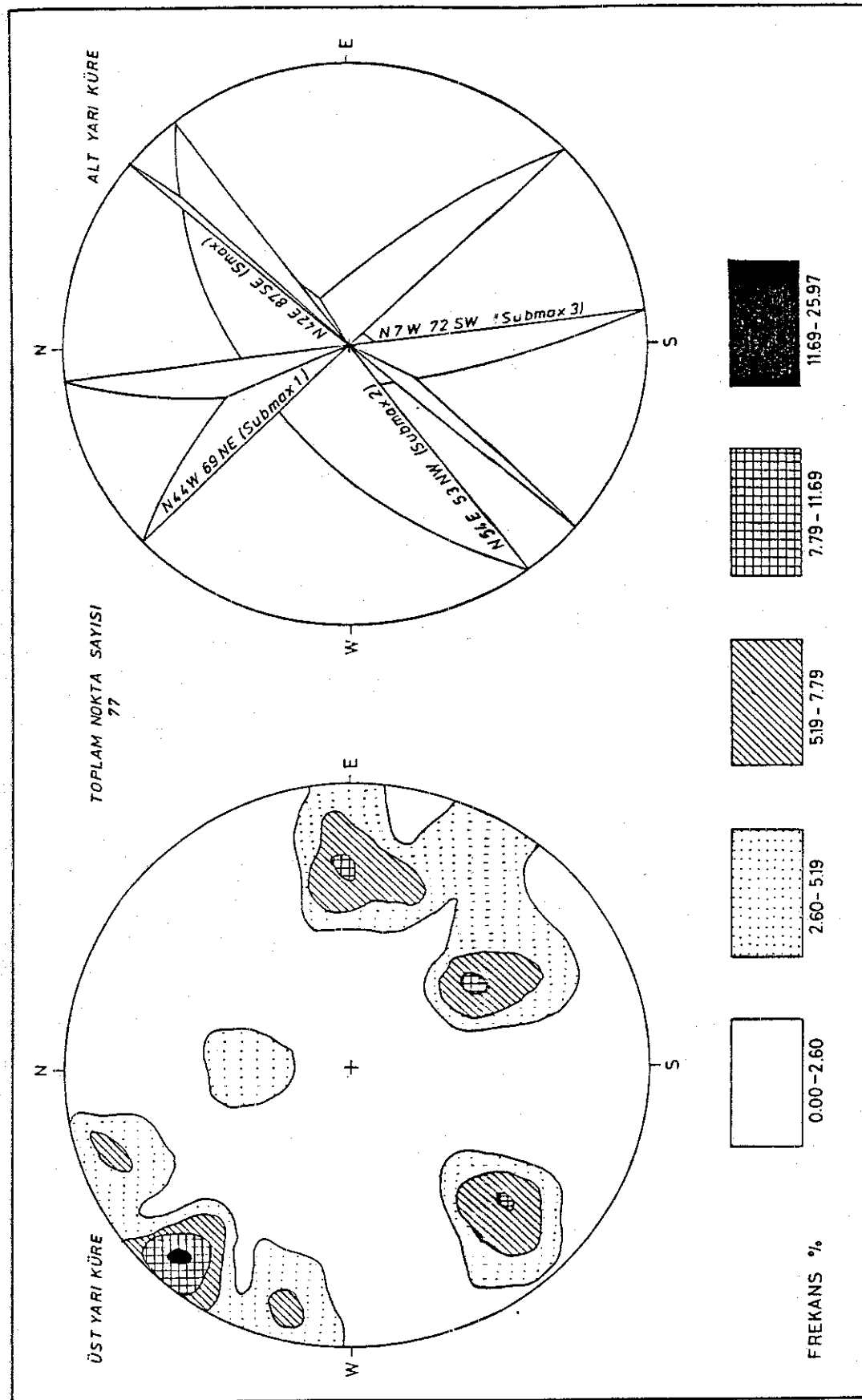
Şekil-6-Tünelin orta kesiminde Kop ultramafitindeki eklemlerin izdüşümü. Kop 1-2  
Stereographic and equal-area projection of the joints of Kop ultramafics at middle of the tunnel.



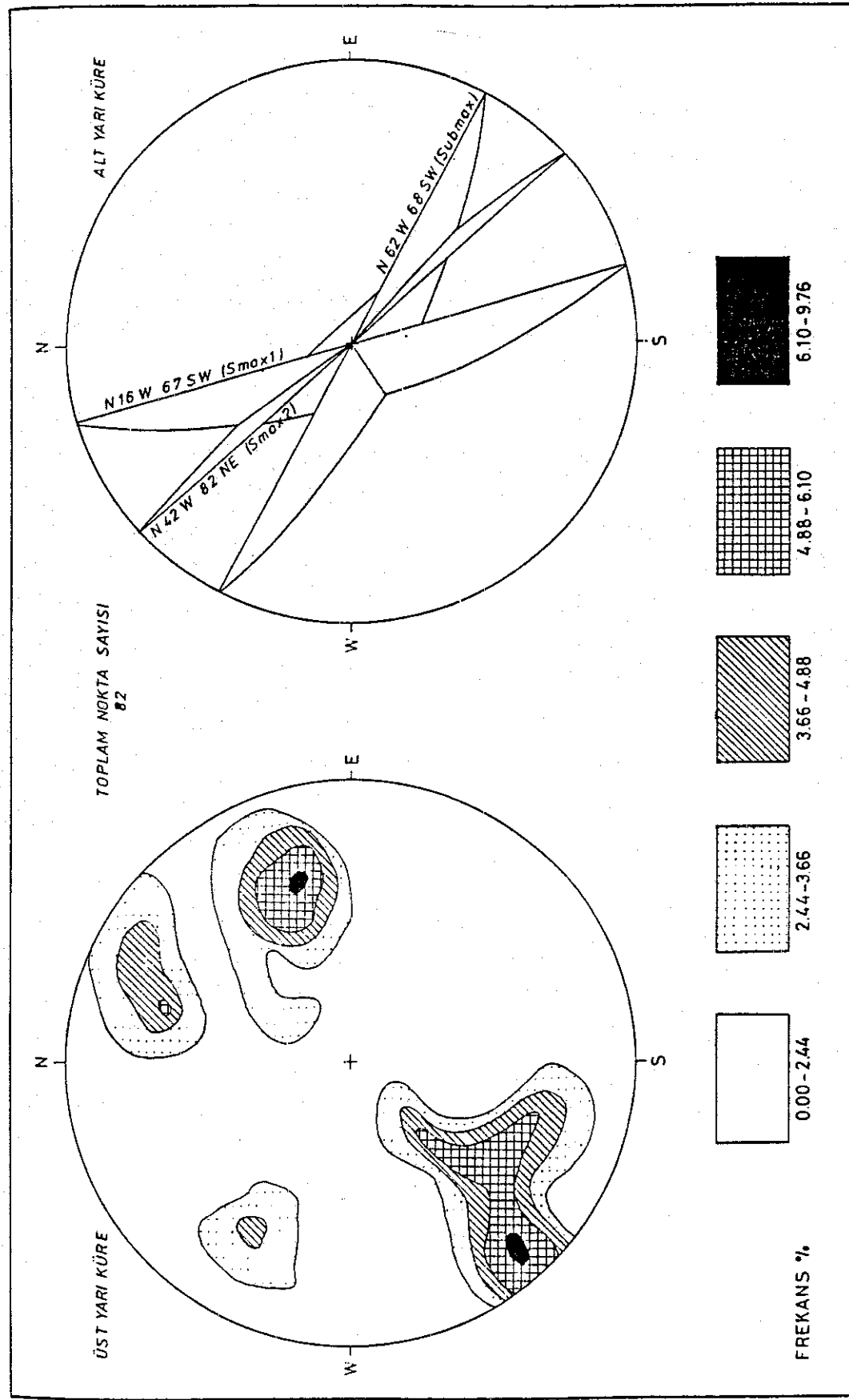
Şekil-7- Tunel çıkışında, kop ultramafitindeki eklemelerin stereografik ve eşit alan izdüşümleri. Kopdağlı-2  
Stereographic and equal-area projection of the joints of Kop ultramafics at gate of the tunnel.



Şekil-8-Kandıltاش tepede, Gölleteresi formasyonundaki eklemlerin stereografik ve eşit alan izdüşümleriKop2  
Stereographic and equal-area projection of the joints of Gölleteresi formation at the Kandıltاش hill



Şekil 1-9-Kandıltas tepede Gurri formasyonundaki eklemelerin stereografik ve eşit alan izdüşümleri.Kopdağı 2  
Stereographic and equal-area projection of the joints of Gurri formation at the Kandıltas hill.



Şekil-10- Gurri tepede Gurri formasyonundaki eklemelerin stereografik ve eşit alan izdüşümüleri Kopdağı 2.  
Stereographic equal-area projection of the joints of Gurri formation at the Gurri hill.

fayları ile doğrultu atımlı faylar gözlenir. Bu dönemde Akdağ, Aktaş, Kışkançlı, Kalenintaş düşey fayları ile Sarıkaya ve Karataş doğrultu atımlı fayları gelişmiştir.

Çalışma sahasında fayları örten genç çökeller bulunmayışı nedeniyle, oluş yaşlarını kesin olarak sapmak zordur. Ancak tüm fayların Miyosen yaşlı çökelleri kesmesi nedeni ile, Miyosen sonrası oluşmuş olabileceği söylenebilir. İnceleme sahasında yeralan faylar üç grupta toplanabilir. Birinci grup şariyajlardan oluşur, ikinci grupta şariyajlardan oluşur, ancak birinci gruptaki şariyajları örter, son grupta ise ilk iki gruptaki şariyajları kesen düşey ve yanal atımlı faylar gözlenir. Tüm bu veriler, inceleme sahasında Miyosen sonrası üç tektonik dönem gelişğini ve ilk iki tektonik dönemin sıkışma üçüncü tektonik dönemin ise gerilme kuvvetleri etkisinde olduğunu gösterir.

Sahada gözlenen, Saptıran şariyajı haricindeki tüm faylar, yazar tarafından adlandırılmıştır. Saptıran şariyajı ALTINLI (1966) tarafından adlandırılmış ve bu çalışmada aynı ad benimsenmiştir.

### III.3.4.1. Düşey Faylar

Akdağ, Aktaş, Kışkançlı ve Kalenintaş faylarının hepsi üçüncü tektonik dönemde gelişmişlerdir..

Akdağ fayı; Trabzon-Erzurum karayolunun, Erzurum tarafından Kop Dağları'na tırmanmaya başladığı yerde bulunan Akdağ'ın batı yamacında yeralır. N5W doğrultuludur ve topoğrafyada 1 km. izlenmektedir. Faylanma nedeni ile Gurri formasyonu, altında yeralan Kop ultramafiti ile yan yana gelmiştir.

Aktaş fayı; Trabzon-Erzurum karayolu üzerindeki Karataş mevkisinin yaklaşık 3 km. güneybatısında gözlenir. N40W doğrultulu ve topoğrafyada 500 m. izlenir. Aktaş fayıının güneydoğu ucu Henegebaşı şariyajını keser, kuzeybatı ucu

ise heyelan malzemesi ile örtülüdür. Faylanma nedeni ile Kop ultramafiti ile Gurri formasyonu yan yana gelmiştir.

Kıskançlı fayı; İnceleme sahasında topoğrafyadaki devamlılığı en uzun olan faydır. Kızılışme Tepe kuzeydoğusundan başlar. Kandıtaş Tepe kuzeyinden geçerek Kıskançlı Dere'yi keser ve Kılıçtaş Tepe'ye kadar uzanır. Kandıtaş Tepe kuzeyi ile Kıskançlı Dere arasında fay heyelan malzemesi ile örtülü olduğundan izlenemez. Ancak 1987 senesinde yapılan jeofizik çalışmada Kıskançlı fayının heyelan malzemesi altında devam ettiği kanıtlanmıştır. N85E doğrultulu ve topoğrafyada 6.5 km uzunluğu olan Kıskançlı fayı, doğu ucunda Henegebaşı, Gölßer ve Cankurtaran şariyajları ile Çankulesi ters fayını keser ve Kop ultramafiti ile Çankulesi metamorfitleri, Gurri formasyonu, Gölßerderesi formasyonunu yan yana getirir. Kandıtaş Tepe kuzeyinde ve batıya doğru Gölßerderesi formasyonu ile Gurri formasyonunu yan yana getirir. Batı ucunda ise Kop şariyajını keser. Fay düzlemi boyunca pek çok kaynak ve su sızıntıları gözlenir.

Kalenintaş fayı; Kopdibi Komu Mahellesi batısı, Kalenintaş ve Kaleboynunun Tepe ile Kopdibi Komu Mahallesi' nin kuzeydoğusunda Kurtepesi Dere boyunca gözlenir. N50E doğrultulu fayın kuzeydoğu ucu Sarıkaya yanal atımlı fayı ile kesilir ve güneydoğuya yaklaşık 1 km. atılarak Kurtepesi Dere boyunca devam eder. Ayrı duran ancak birbirinin devamı olan iki fay topoğrafyada toplam 5 km. izlenir. Fayın güneybatı kısmı Gurri formasyonu ile Gölßerderesi formasyonunu yanyana getirmiştir, kuzeydoğu kısmı ise Gurri formasyonu için kalmıştır.

### III.3.4.2. Ters Fay

İkinci tektonik dönemde gelişen Çankulesi ters fayı; İnceleme sahasında gözlenen tek ters faydır. Trabzon-Erzurum karayolu üzerindeki Çankulesi mevkiinde gözlenir. N10E doğrultulu ve topoğrafyada 3 km. izlenebilen Çankulesi fayı  $20^{\circ}$ lik bir eğime sahiptir. Tabanda yeralan metamorfitler

Gurri formasyonu üzerinde gözlenir. Fay düzlemi boyunca yaklaşık 50 m. kalınlığında breşik bir zon gözlenir. Fay düzlemi kuzeyde Kışkançlı fayı ile kesilir, güney ucu ise heyelan malzemesi ile örtülü olduğundan gözlenemez.

### III.3.4.3. Doğrultu Atımlı Faylar

Sarıkaya ve Karataş doğrultu atımlı fayları üçüncü tektonik dönemde gerilme kuvvetleri ile gelişmiş en genç faylardır. Kandıtaş fayı ise birinci tektonik dönemden sonra ikinci tektonik dönemden önce gelişmiştir.

Sarıkaya fayı; Kopdibi Komu Mahallesi kuzeyinde gözlenir. E-W doğrultulu olan fay topografyada yaklaşık 1 km. izlenir ve Kopdağı 2 tünel güzergahı ile yaklaşık aynı doğrultudadır. Kalenintaş Tepe kuzeydoğusunda, Sarıkaya Tepe güneybatısında gelişen üçgen yüzeyler doğrultu atımlı faylar için karakteristikdir. Sarıkaya fayının kuzeybatı ucun Kop Deresi'ne paralel uzanır ve yamaç molozları ile örtülüdür. Güneydoğu ucu ise heyelan malzemesi altında izlenemez, ancak Kışkançlı fayına kadar devam etmelidir. Çünkü Miyosen şökellerinin aşınmadan korunabilmesi bu faylar yardımı ile olmuştur. Sarıkaya fayı, Kalenintaş fayını keserek onu sağ yönlü ötelemiş ve 750m. lik bir doğrultu atım meydana getirmiştir. Bu fay ile Sarıkaya Gurri ve Gölßerderesi formasyonları yan yana gelmişlerdir.

Kandıtaş fayı; Kandıtaş Tepe'nin güneybatı sınırını oluşturur. Kandıtaş Tepe faylanma nedeni ile sarptır ve bir miktar yamaç molozu gelişmiştir. Fay Gölßer Deresi güneybatısındaki çizgisel gidişi ile topografyada 2km kolayca izlenir. N50E doğrultulu olan Kandıtaş fayı yaklaşık 1200 m.lik doğrultu atımla Gölßerderesi formasyonu ile Gurri formasyonunu yan yana getirir. Kandıtaş fayı Kop şariyajını keser ve Gölßer şariyajı tarafından örtülüür.

Karataş fayı; Karataş mevkisinin güneydoğusunda gözlenir. N40W doğrultulu ve topografyada 500 m. devamlıdır. Çankulesi fayını yaklaşık dik bir açı ile kesen Karataş fayı

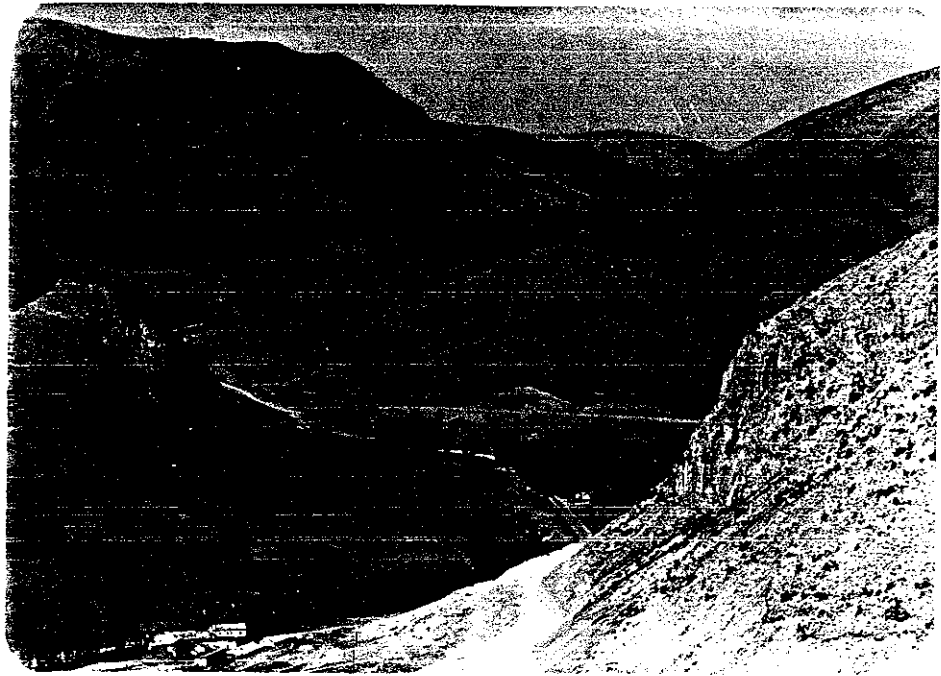


Foto 17- Sarıkaya Tepe SW'sindaki Sarıkaya Formasyonu(Js)'nun genel görünüsü.

Js :Sarıkaya formasyonu, J-Kg :Gurri formasyonu,  
Tg :Göllerderesi formasyonu.



Foto 18- Kandıltas Tepe'de Kandıltas fayının genel görünüsü.

J-Kg :Gurri formasyonu, Tgk :Kandıltas üyesi,  
Tgg :Göller üyesi.

Çankulesi metamorfitleri altındaki Gurri formasyonunu metamorfitlerle yan yana getirmiştir. Topografyada yaklaşık 250m. lik bir doğrultu atıma sahiptir.

### III.3.4.4. Şariyajlar

Şariyajlar inceleme sahasında iki ayrı tektonik dönemde gelişmişlerdir. Birinci tektonik dönemde Kop ultramafitleri diğer birimler üzerine itilmiş ve Kop şariyajı, Cankurtaran şariyajı, Saptıran şariyajı oluşmuştur. İkinici tektonik dönemde Kop ultramafitleri Gurri formasyonu ile birlikte Göllerderesi formasyonu, Gurri formasyonu ve kendi üzerlerine itilmiş Göller şariyajı ile henegebaşı şariyajı oluşmuştur.

Kop şariyajı; Göller Deresi ve Kışkançlı Dere güneybatısında gözlenir. Yaklaşık N20E doğrultulu olan şariyaj düzlemi  $30^{\circ}$ lik bir eğime sahiptir ve topografyada 4.5 km.lik bir mesafede izlenir. Şariyajın batı ucu Kalenintaş ve Kışkançlı fayları ile kesilmiş ve 250 m.lik yanal atım meydana gelmiştir. Doğu ucu ise Kandıltas fayı ile kesilmiş Göller şariyajı ile örtülmüştür. Şariyaj düzlemi boyunca Kop ultramafiti Gurri ve Göllerderesi formasyonu üzerine itilmiştir.

Cankurtaran şariyajı; Trabzon-Erzurum karayolunun Erzurum tarafında Cankurtaran mevkiiinin batısında gözlenir. Topografyada 3 km. devamlılığı olan şariyaj yaklaşık N10E doğrultuludur.  $30^{\circ}$ lik eğime sahip olan şariyaj düzlemi boyunca Kop ultramafiti Çankulesi metamorfitleri üzerine itilmiştir.

Saptıran şariyajı; Harita alanımızın güneydoğu köşesinde yer alan Saptıran kuzeyinde yaklaşık doğu-Batı uzanımlı bir zon boyunca, Halihayratı Tepe, Henege Suyu, Yılanlı Dere, Şehir Dere, Masatlık Tepe, Kutucuk Tepe arasında izlenen bu fayı ALTINLI (1966) Saptıran şariyajı olarak adlamıştır. ALTINLI Saptıran şariyajının 160 km. uzunluk ve 5 km. genli olduğunu söyler. Saptıran şariyajının doğrultusu E-W ve eğimi  $20^{\circ}$ N-Sdir. Topografyada 10 km. izlenen bu şariyajla Kop ultramafiti

Göllerderesi formasyonu üzerine itilmiştir.

Göller şariyajı; Kandıtaş Tepe'nin güneydoğusunda yer alan Göller Deresi'nin başlangıcından kuzeydoğuya doğru Kızılesme Tepe arasında gözlenir. Yaklaşık N50E doğrultulu ve  $40^{\circ}$  eğimli olan şariyaj düzlemi boyunca Kop ultramafiti ile Gurri formasyonu, Göllerderesi formasyonu üzerine itilmiştir. Sariyaj düzlemi boyunca Göller Deresi'ne ait tabakalar devrik bir konum kazanmışlardır. Göller şariyajı güneybatı devamında Kop şariyajı ile Kandıtaş fayını örter.

Henegebaşı şariyajı; Henegebaşı mevkii, Gurri Tepe Kızılesme Tepe arasında gözlenir. Şariyaj düzlemi N50E doğrultulu ve  $45^{\circ}$  eğimlidir. Henegebaşı mevkii batısında Kop ultramafiti Gurri formasyonu üzerine itilmiş konumdadır, kuzeydoğuya doğru gidildiğinde şariyaj Gurri formasyonu içinde kalır. Şariyaj düzlemi altında kalan Gurri formasyonuna ait tabakaların aşırı kıvrımlı olmasına karşın şariyaj düzlemi üzerindeki tabakaların yaklaşık güneydoğuya eğimli olmaları Henegebaşı şariyajının belirgin bir özelliğidir.

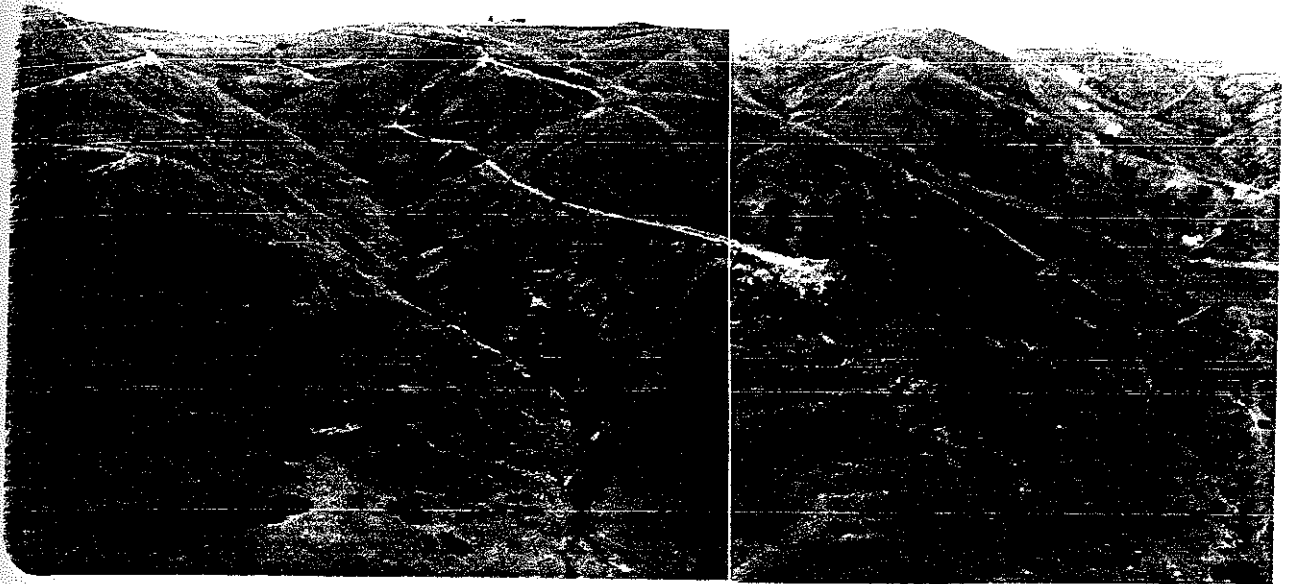


Foto 19- Kandıtaş Tepe'de Göller ve Henegebaşı şariyajlarının genel görünüsü.  
Mk :Kop ultramafiti, J-Kg :Gurri formasyonu,  
Tgk :Kandıtaş üyesi, Tgg :Göller üyesi.

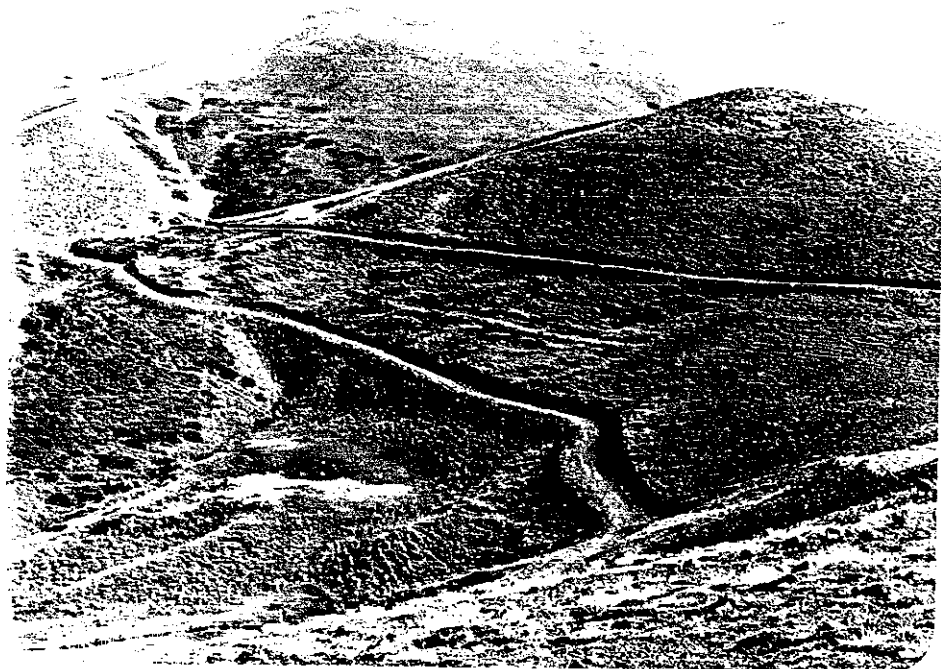


Foto 20- Henegebaşı mevkiinde Henegebaşı şariyajının genel görünüsü.  
Mk :Kop ultramafiti, J-Kg :Gurri formasyonu,  
Hy :Heyelan.

## IV. MÜHENDİSLİK JEOLOJİSİ

### IV.1. GİRİŞ

Trabzon-Erzurum karayolunun, Aşkale-Bayburt ilçeleri arasında kalan Kop Geçidi mevkiinde, kış aylarında ulaşım çok zor yapılabilmektedir. Karayolları Genel Müdürlüğü karayolunun bu kesiminde 1970'li yıllarda beri tünel açılması ile ilgili çalışmalar yapmaktadır. 1986 yılına kadar seçilen güzergahlarda yapılan çalışmalar olumlu bir sonuç vermemiştir. 1986 yılında Kopdağı 1 tünel güzergahı belirlenmiş ve araştırmalar, tamamlanmadan 1987 yılında bu güzergahtan vazgeçilerek yeni seçilen Kopdağı 2 tünel güzergahına kaydırılmıştır. Ancak Karayolları Genel Müdürlüğü Kopdağı 1 tünel güzergahını yeniden gündeme getirmiştir ve çalışmalar Kopdağı 1 ve Kopdağı 2 tünel güzergahlarında halen birlikte devam etmektedir. Kopdağı 1 tüneli 3060 m., Kopdağı 2 tüneli 6130 m uzunluğundadır. Her iki tünelde kazı yüksekliği 10.50 m., kazı genişliği 11.80 m.dir. (Yüksel Proje A.Ş.).

Bu incelemede Kopdağı 1 ve Kopdağı 2 tünel güzergahlarının jeolojik ve jeoteknik değerlendirmesi yapılmıştır. Yapılan çalışmalarla her iki tünel güzergahındaki kayaçların fiziksel, mekanik özellikleri incelenerek kaya kütlesi sınıflamaları yapılmış, iksa önlemleri belirlenmiş ve problemler ortaya konup karşılaştırılarak sonuca varılmıştır. Ayrıca, tünel inşası halinde, betonda kullanılabilecek agregat malzemesi için, malzeme ocağı tesbiti, bu ocaktaki malzemenin uygunluğu ve beton karışım tasarımı araştırılmıştır.

#### IV.2. KOPDAĞI 1 ve KOPDAĞI 2 TÜNEL GÜZERGAHLARINDAKİ KAYAÇLARIN JEOMEKANİK ve JEOTEKNİK ÖZELLİKLERİ

Bu bölümde yapılan arazi ve laboratuvar çalışmaları ile Kopdağı 1 ve Kopdağı 2 tünel güzergahlarında yer alan kayaçların fiziksel ve mekanik özelliklerini ile aynı yapısal bölge içindeki birimlerin süreksızlıklarının jeoteknik özellikleri sunulmaya çalışılmıştır.

Fiziksel ve mekanik deneyler Kopdağı 1 ve Kopdağı 2 tünel güzergahlarındaki üç formasyona ait yedi birim üzerinde yapılmıştır. Süreksızlıkların jeoteknik özelliklerinin belirlenmesinde, benzer yapısal özellikler gösteren Kopdağı 1 tünel güzergahında 5, Kopdağı 2 tünel güzergahında 6 yapısal bölgedeki arazi gözlemleri esas alınmıştır.

Kopdağı 1 ve Kopdağı 2 tünel güzergahlarında yapılan sondaj çalışmaları tüm güzergah boyunca tamamlanmamıştır. Deneyler için tamamlanan sondajların karotları kullanılmış, sondaj karıtlarının yetersiz görüldüğü yerlerde maksimum 10x20x30 cm ebadında blok numuneler alınarak deneyler bu numuneler üzerinde yürütülmüştür. Fiziksel ve mekanik özelliklerin belirlenmesinde Türk Standartları Enstitüsü tarafından belirlenen standartlar kullanılmıştır.

- TS 699/Ocak 1987 Tabii yapı taşları-muayene ve deney metodları
- TS 2027/Nisan 1975 Kayaçların çekme dayanımlarının tayini
- TS 2028/Nisan 1975 Kayaçların tek eksenli basınç dayanımlarının tayini
- TS 2029/Nisan 1975 Kayaçların üç eksenli basınç dayanımlarının tayini
- TS 2030/Nisan 1975 Kayaçların elastisite modülünün ve poisson oranının tek eksenli basınç deneyi ile tayini

Süreksızlıkların jeoteknik özelliklerinin belirlenmesinde ISRM (International Society for Rock Mechanics= Uluslararası Kaya Mekaniği Derneği) ve EGWP (Engineering Geology Group Working Party=Mühendislik Jeolojisi Çalışma

Grubu) tarafından önerilen veri toplama ve değerlendirme yöntemi esas alınmıştır.

Fiziksel ve mekanik özellikler ile süreksızlıkların jeoteknik özellikleri üç ayrı alt bölüm halinde sunulmuştur. Fiziksel özellikler, mekanik özellikler içinde yerelması gereken bir konudur. Ancak anlatımda bütünlüğün sağlanması ve karışıklığın önlenmesi için ayrı alt bölümler halinde anlatılmıştır. Her alt bölümde önce gözlem veya deneyin ana ilkeleri anlatılmış, daha sonra konu ile ilgili tüm sonuçlar ve ortalamalar, grafik ve tablolar ile değerlendirilmiştir.

Bu bölümle ilgili tüm sonuçlar ileri bölgelerde kaya kütlesi sınıflamaları ile Kopdağı 1 ve Kopdağı 2 tünel güzergahlarının jeoteknik değerlendirilmesi bölümünde kullanılmıştır.

#### IV.2.1. FİZİKSEL ÖZELLİKLER

Fiziksel özelliklerin belirlenmesi için Kopdağı 1 ve Kopdağı 2 tünel güzergahlarındaki 3 formasyona ait 7 birimden alınan sondaj karotu ve blok numunelerden 120 adet deney örneği hazırlanmıştır. Sondaj karotu numuneleri iki tarafının, blok numuneler ise küp veya dikdörtgenler prizması şeklinde kesilmesi ile hazırlanmıştır. Numunelerin boyutları 5-7 cm olacak şekilde, taş kesme testeresi ile ıslak kesilmiş, düzgün olmayan yüzeyler aşındırıcı ile düzeltilemiş ve yüzeyler sert tel fırça ile fırçalanıp deneye hazırlanmıştır. Tabi birim hacim ağırlığının ve su muhtevasının belirlenmesi için ağızı parafinli kutularda muhafaza edilen şeeksiz numuneler kullanılmıştır. Tüm hacim hesaplamalarında Arşimet terazisinden yararlanılmıştır. Hazırlanan numuneler üzerinde birim hacim ağırlık, özgül ağırlık, su emme, porozite gibi deneyler yapılmış ve bu deneyler sonucu aşağıdaki özellikler saptanmıştır.

1-Birim Hacim Ağırlık

a. Tabii Birim Hacim Ağırlık  $\gamma_n$ , gr/cm<sup>3</sup>

- b. Kuru Birim Hacim Ağırlık  $\gamma_d$ , gr/cm<sup>3</sup>
- c. Suya Doygun Birim hacim Ağırlık  $\gamma_s$ , gr/cm<sup>3</sup>
- 2- Özgül Ağırlık  $G_s$ , gr/cm<sup>3</sup>
- 3- Su muhtevası w, (%)
- 4- Su emme
  - a. Ağırlıkça su emme  $S_w$ , %
  - b. Hacimce su emme  $S_v$ , %
- 5- Porozite
  - a. Zahiri Porozite (Görünür Porozite) n<sub>a</sub>, %
  - b. Gerçek Porozite n, %
- 6- Boşluk oranı e, %
- 7- Doluluk oranı (Kompasite) k, %

Tüm deney sonuçları önce her birim için ayrı ayrı daha sonra tüm birimlerin ortalamaları Kopdağı 1 ve Kopdağı 2 tünel güzergahları için 2 ayrı tablo halinde verilmiştir.

#### IV.2.2. MEKANİK ÖZELLİKLER

Kayaların mühendislik amaçları için sınıflandırılmasında mekanik özelliklerin önemli bir yeri vardır. Özellikle kaya kütlesi sınıflamaları ve kaya kütlelerinin sağlamlıklarını belirlemeye yoğun bir şekilde kullanılır. Bu amaçla mekanik özelliklerin belirlenmesi için, Kopdağı 1 ve Kopdağı 2 tünel güzergahlarında tamamlanan sondajların Nx(54mm) ve Bx(42mm) çaplı karotlarından hazırlanan 88 adet deney örneği kullanılmıştır. Ayrıca nokta yükleme deneyi için şeılsiz numunelerde kullanılmıştır.

Tek eksenli basınç, üç eksenli basınç ve çekme deneylerinde numune boyalarının çapa oranı L/D=2.0, nokta yükleme dayanımı tayininde aşağıda görüldüğü gibi çapsal L>0.7D, eksenel D/L=1.1±0.05 ve şeılsiz D/L=1.0-1.4 olarak şekilde hazırlanmıştır.

$\gamma_n$ (gr/cm <sup>3</sup> )	$\gamma_{n\text{ ort}}$ (gr/cm <sup>3</sup> )	$\gamma_d$ (gr/cm <sup>3</sup> )	$\gamma_{d\text{ ort}}$ (gr/cm <sup>3</sup> )	$\gamma_s$ (gr/cm <sup>3</sup> )	$\gamma_{s\text{ ort}}$ (gr/cm <sup>3</sup> )	$G_s$ (gr/cm <sup>3</sup> )	$G_{s\text{ ort}}$ (gr/cm <sup>3</sup> )	$w$ (%)	$w_{\text{ort}}$ (%)
2.50		2.46		2.51		2.63		1.12	
2.71		2.67		2.71		3.03		1.28	
2.40	2.51	2.38	2.48	2.43	2.53	2.76	2.73	1.04	1.21
2.38				2.40		2.65		1.61	
2.57				2.58		2.63		1.00	

$n_a$ (%)	$n_a$ (%)	$n$ (%)	$n_{\text{ort}}$ (%)	$e$ (%)	$e_{\text{ort}}$ (%)	$k$ (%)	$k_{\text{ort}}$ (%)	$s_w$ (%)	$s_{w\text{ ort}}$ (%)	$s_v$ (%)	$s_{v\text{ ort}}$ (%)
0.63		6.46		6.90		93.54		0.93		0.63	
2.21		9.57		10.58		90.43		0.23		2.21	
0.24	1.30	7.25	7.23	7.81	7.92	92.75	92.77	0.78	0.55	0.24	1.30
1.87		11.32		12.76		88.68		0.21		1.87	
1.54		1.54		1.56		98.86		0.60		1.54	

Tablo-3-Ultramafit örneklerin fiziksel özelliklerini (Kopdağı 1 tünel güzergahı)  
Physical properties of ultramafic samples.

$\gamma_n$ (gr/cm <sup>3</sup> )	$\gamma_n$ ort (gr/cm <sup>3</sup> )	$\gamma_d$ (gr/cm <sup>3</sup> )	$\gamma_d$ ort (gr/cm <sup>3</sup> )	$\gamma_s$ (gr/cm <sup>3</sup> )	$\gamma_s$ ort (gr/cm <sup>3</sup> )	$G_s$ (gr/cm <sup>3</sup> )	$G_s$ ort (gr/cm <sup>3</sup> )	$w$	$w$ ort (%)
2.35		2.26		2.36		2.56		4.03	
2.55		2.53		2.55		2.77		1.03	
2.47	2.46	2.45	2.41	2.47	2.46	2.99	2.77	1.07	2.60
2.49		2.47		2.50		2.70		2.12	
2.44		2.33		2.44		2.84		4.75	

$n_a$ (%)	$n_a$ ort (%)	$n$ (%)	$n$ ort (%)	$e$ (%)	$e$ ort. (%)	$k$ (%)	$k$ ort (%)	$s_w$ (%)	$s_w$ ort (%)	$s_v$ (%)	$s_v$ ort (%)
10.03		11.72		13.27		88.28		4.42		10.03	
2.61		8.66		9.48		91.34		1.03		2.61	
2.66	4.54	18.06	12.98	22.00	15.20	81.94	87.02	1.07	2.14	2.66	4.54
5.12		8.52		9.31		91.48		2.17		5.12	
4.31		18.96		21.89		82.04		2.01		4.31	

Tablo-4- Ultramafit örneklerin fiziksel özelliklerini.(Kopdağı 2 tünel gözergahı)  
Physical properties of ultramafic samples.

$\gamma_n$ (gr/cm <sup>3</sup> )	$\gamma_n$ ort (gr/cm <sup>3</sup> )	$\gamma_d$ (gr/cm <sup>3</sup> )	$\gamma_d$ ort (gr/cm <sup>3</sup> )	$\gamma_s$ (gr/cm <sup>3</sup> )	$\gamma_s$ ort (gr/cm <sup>3</sup> )	$G_s$ (gr/cm <sup>3</sup> )	$G_s$ ort (gr/cm <sup>3</sup> )	$w$ (%)	$w_{ort}$ (%)
2.37		2.28			2.39		2.78		7.61
2.36		2.33			2.37		2.86		2.73
2.15	2.41	2.13	2.15	2.20	2.43	2.78	2.76	3.25	4.33
2.94		1.92			2.94		2.67		4.19
2.21		2.08			2.25		2.69		3.88

$n_a$ (%)	$n_a$ ort (%)	$n$ (%)	$n$ ort (%)	$e$ (%)	$e$ ort. (%)	$k$ (%)	$k$ ort (%)	$s_w$ (%)	$s_w$ ort (%)	$s_v$ (%)	$s_v$ ort (%)
17.04		17.99		21.93		82.01		7.49		17.04	
13.95	18.53		22.74		81.47			5.98		13.95	
27.76	22.29	23.38	22.29	30.51	29.02	76.62	77.71	13.68	10.74	27.76	22.29
29.49		28.89			40.62		71.11		15.37	29.49	
23.22		22.68			29.33		77.32		11.16	23.22	

Tablo-5-Serpantin örneklelerinin fiziksel özelliklerini (Kopdağı 1-2 tünel güzergahı) Physical properties of serpentin samples.

$\gamma_n$ (gr/cm <sup>3</sup> )	$\gamma_{n\text{ ort}}$ (gr/cm <sup>3</sup> )	$\gamma_d$ (gr/cm <sup>3</sup> )	$\gamma_{d\text{ ort}}$ (gr/cm <sup>3</sup> )	$\gamma_s$ (gr/cm <sup>3</sup> )	$\gamma_{s\text{ ort}}$ (gr/cm <sup>3</sup> )	$G_s$ (gr/cm <sup>3</sup> )	$G_{s\text{ ort}}$ (gr/cm <sup>3</sup> )	$w$ (%)	$w_{\text{ort}}$ (%)
2.66		2.51		2.66		2.69		5.13	
2.66		2.54		2.67		2.71		4.27	
2.63	2.65	2.53	2.52	2.64	2.66	2.70	2.71	4.88	4.65
2.64		2.53		2.65		2.71		3.96	
2.66		2.50		2.67		2.73		5.01	

$n_a$ (%)	$n_{a\text{ ort}}$ (%)	$n$ (%)	$n_{\text{ort}}$ (%)	$e$ (%)	$e_{\text{ort.}}$ (%)	$k$ (%)	$k_{\text{ort}}$ (%)	$s_w$ (%)	$s_{w\text{ ort}}$ (%)	$s_v$ (%)	$s_{v\text{ ort}}$ (%)
1.58		6.69		7.17		93.31		0.59		1.58	
1.46		6.28		6.70		93.72		0.18		1.46	
1.42	1.48	6.30	6.87	6.72	7.38	93.70	93.13	0.54	0.44	1.42	1.48
1.48		6.65		7.12		93.35		0.43		1.48	
1.50		8.43		9.20		91.57		0.47		1.50	

Tablo-6- Beyaz kireçtaşı örneklerinin fiziksel özelliklerini (Kopdağı 1-2 tünel güzergahı).  
Physical properties of white limestone samples.

$\gamma_{n_3}$ (gr/cm <sup>3</sup> )	$\gamma_{n\text{ ort}}$ (gr/cm <sup>3</sup> )	$\gamma_{d\text{ ort}}$ (gr/cm <sup>3</sup> )	$\gamma_s$ (gr/cm <sup>3</sup> )	$\gamma_s\text{ ort}$ (gr/cm <sup>3</sup> )	$G_s$ (gr/cm <sup>3</sup> )	$G_s\text{ ort}$ (gr/cm <sup>3</sup> )	$w$ (%)	$w_{\text{ort}}$ (%)
2.59		2.53		2.60		2.74		5.04
2.61		2.59		2.64		2.68		4.12
2.70	2.63	2.69	2.58	2.71	2.64	2.71	2.70	3.21
2.60					2.62		2.70	3.86
2.64					2.61		2.69	3.37
								3.56

$n_a$ (%)	$n_{a\text{ ort}}$ (%)	$n$ (%)	$n_{\text{ort}}$ (%)	$e$ (%)	$e_{\text{ort.}}$ (%)	$k$ (%)	$k_{\text{ort}}$ (%)	$s_w$ (%)	$s_{w\text{ ort}}$ (%)	$s_v$ (%)	$s_{v\text{ ort}}$ (%)
0.30		6.57		7.03		93.43		0.11		0.30	
0.27		4.85		5.09		95.15		0.10		0.21	
0.37	0.28	6.64	5.69	7.11	6.04	93.36	94.31	0.16	0.11	0.37	0.28
0.18		5.56				94.44		0.07		0.18	
0.30		4.83				95.17		0.12		0.30	

Tablo-7- Gri kireçtaşlı örneklerinin fiziksel özelliklerini (Kopdağı 1 tünel güzergahı)  
Physical properties of gray limestone samples.

$\gamma_n$ $\text{cm}^3$ (gr/cm <sup>3</sup> )	$\gamma_{n\text{ ort}}$ $\text{cm}^3$ (gr/cm <sup>3</sup> )	$\gamma_d$ ort $\text{cm}^3$ (gr/cm <sup>3</sup> )	$\gamma_s$ ort $\text{cm}^3$ (gr/cm <sup>3</sup> )	$G_s$ ort $\text{cm}^3$ (gr/cm <sup>3</sup> )	$G_s$ ort $\text{cm}^3$ (gr/cm <sup>3</sup> )	$w$ ort (%)
2.65		2.58	2.65	2.76	2.76	1.98
2.63		2.59	2.63	2.74	2.74	1.40
2.66	2.64	2.60	2.67	2.70	2.73	1.28
2.64		2.57	2.64	2.72	2.72	1.37
2.64		2.60	2.66	2.72	2.72	1.43

$n_a$ (%)	$n_a$ ort (%)	$n$ ort (%)	$e$ ort. (%)	$e$ ort. (%)	$k$ ort (%)	$k$ ort (%)	$s_w$ ort (%)	$s_v$ ort (%)	$s_v$ ort (%)
5.16		6.53	6.99	6.99	93.47	93.47	1.98	5.16	5.16
3.81		5.48	5.79	5.79	94.52	94.52	1.47	3.81	3.81
3.68	4.16	3.71	5.13	3.85	96.29	96.29	1.40	1.59	3.68
4.21		5.52		5.84	94.48	94.48	1.61	4.21	4.21
3.94		4.41		4.61	95.58	95.58	1.50	3.94	3.94

Tablo-8- Gri kireçtaşlı örneklerinin fiziksel özelliklerini.(Kopdağı 2 tünel güzergahı)  
Physical properties of gray limestone samples.

$\gamma_n$ ort (gr/cm <sup>3</sup> )	$\gamma_n$ ort (gr/cm <sup>3</sup> )	$\gamma_d$ ort (gr/cm <sup>3</sup> )	$\gamma_s$ ort (gr/cm <sup>3</sup> )	$G_s$ ort (gr/cm <sup>3</sup> )	$G_s$ ort (gr/cm <sup>3</sup> )	w (%)	$w_{ort}$ (%)
2.68		2.65		2.69		2.70	0.08
2.64		2.26		2.64		2.64	0.58
2.66	2.66	2.48	2.46	2.66	2.65	2.68	0.34
2.65		2.46		2.65		2.63	0.21
2.67		2.47		2.67		2.67	0.38

$n_a$	$n_a$ ort (%)	$n$ ort (%)	e	e	e	$k$	$k$ ort (%)	$s_w$	$s_w$ ort (%)	$s_v$	$s_v$ ort (%)
0.40	1.85		1.88			98.15		0.15		0.40	
2.03	14.39		16.80			85.61		0.77		2.03	
1.21	1.21	6.42	7.32	6.86	8.11	93.58	92.68	0.46	0.44	1.21	1.21
0.98		6.46				6.91		93.54	0.24	0.98	
1.47		7.50				1.11		92.50	0.58	1.47	

Tablo-9-Kumtaşı örneklerinin fiziksel özelliklerini (Kopdağı 1-2 tünel güzergahı).  
Physical properties of sandstone samples of Kopdagı 1-2 tunnel route.

$\gamma_n$ (gr/cm <sup>3</sup> )	$\gamma_{n\text{ ort}}$ (gr/cm <sup>3</sup> )	$\gamma_d$ (gr/cm <sup>3</sup> )	$\gamma_{d\text{ ort}}$ (gr/cm <sup>3</sup> )	$\gamma_s$ (gr/cm <sup>3</sup> )	$\gamma_{s\text{ ort}}$ (gr/cm <sup>3</sup> )	$G_s$ (gr/cm <sup>3</sup> )	$G_{s\text{ ort}}$ (gr/cm <sup>3</sup> )	$w$ (%)	$w_{\text{ort}}$ (%)
2.49		2.47		2.52		2.65		2.15	
2.53		2.49		2.53		2.72		4.21	
2.56	2.51	2.51	2.48	2.58	2.53	2.67	2.68	4.73	3.46
2.48		2.45		2.49		2.62		3.18	
2.51		2.48		2.52		2.75		3.02	

$n_a$ (%)	$n_{a\text{ ort}}$ (%)	$n$ (%)	$n_{\text{ort}}$ (%)	$e$ (%)	$e_{\text{ort}}$ (%)	$k$ (%)	$k_{\text{ort}}$ (%)	$s_w$ (%)	$s_{w\text{ ort}}$ (%)	$s_v$ (%)	$s_{v\text{ ort}}$ (%)
2.50	6.79			7.28		93.21		1.01		2.50	
2.66	8.46			9.24		91.54		1.07		2.66	
2.63	2.58	5.99	7.51	6.37	8.14	94.01	92.49	1.11	1.04	2.63	2.58
2.48		6.49				93.51			1.03	2.48	
2.64		9.82				10.89	90.18	0.98		2.64	

Tablo-10- Çakıltası örneklerinin fiziksel özelliklerini (Kopdağı 1-2 tünel güzergahı)

- Physical properties of conglomerate samples .

\* Numuneler su ile temasda dağıldığından deney yapılmadı.

$\gamma_n$ (gr/cm <sup>3</sup> )	$\gamma_{n\text{ ort}}$ (gr/cm <sup>3</sup> )	$\gamma_d$ (gr/cm <sup>3</sup> )	$\gamma_{d\text{ ort}}$ (gr/cm <sup>3</sup> )	$\gamma_s$ (gr/cm <sup>3</sup> )	$\gamma_{s\text{ ort}}$ (gr/cm <sup>3</sup> )	$G_s$ (gr/cm <sup>3</sup> )	$G_{s\text{ ort}}$ (gr/cm <sup>3</sup> )	$w$ (%)	$w_{\text{ort}}$ (%)
2.40		2.35		2.43		2.72		4.07	
2.58		2.53		2.61		2.85		4.42	
2.41	2.46	2.39	2.42	2.47	2.50	2.76	2.81	3.01	3.71
2.40		2.37		2.45		2.85		3.26	
2.50		2.46		2.56		2.87		3.78	

$n_a$ (%)	$n_{a\text{ ort}}$ (%)	$n$ (%)	$n_{\text{ort}}$ (%)	$e$ (%)	$e_{\text{ort}}$ (%)	$k$ (%)	$k_{\text{ort}}$ (%)	$s_w$ (%)	$s_{w\text{ ort}}$ (%)	$s_v$ (%)	$s_{v\text{ ort}}$ (%)
*		12.13		13.80		87.87		*		*	
*	11.23		12.65		88.77		*		*		
13.35	13.49	13.40	13.57	15.47	15.33	86.59	86.43	5.77	13.35	5.92	13.49
14.01		16.84		20.25		83.15		6.26		14.01	
13.12		14.29		14.49		85.71		5.73		13.12	

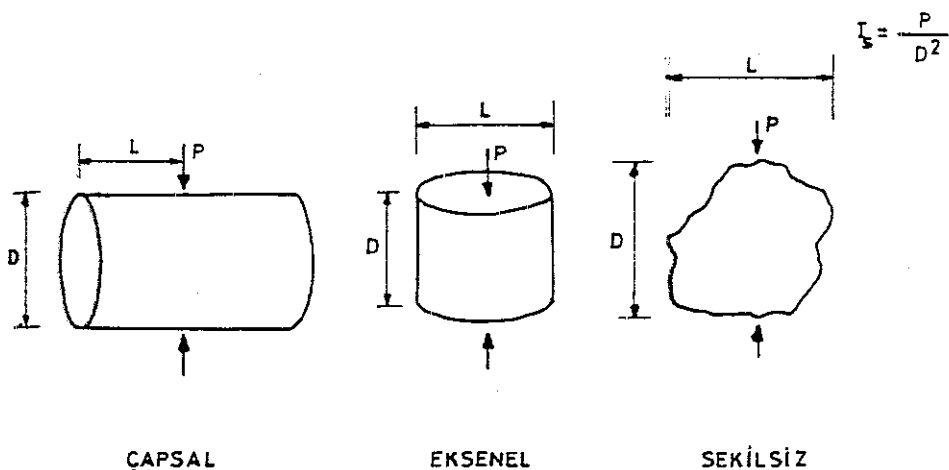
Tablo-11- Çamurtaşlı örneklerinin fiziksel özelliklerini (Kopdağı 1-2 tünel güzergahı).  
Physical properties of mudstone samples.

Formasyon	Litoloji	$\gamma_n$ (gr/cm <sup>3</sup> )	$\gamma_d$ (gr/cm <sup>3</sup> )	$\gamma_s$ (gr/cm <sup>3</sup> )	$G_s$	$w$ (%)	$n_a$ (%)	$n$ (%)	$e$ (%)	$k$	$S_w$ (%)	$S_v$ (%)
KOP	Ultramafit	2.51	2.48	2.53	2.73	1.21	1.30	7.23	7.92	92.77	0.55	1.30
	Serpantin	2.41	2.15	2.43	2.76	4.33	22.29	22.29	29.02	77.71	10.74	22.29
	Beyaz kireçtaşı	2.65	2.52	2.66	2.71	4.65	1.48	6.87	7.38	93.13	0.44	1.48
	Gri kireçtaşı	2.63	2.58	2.64	2.70	3.86	0.28	5.69	6.04	94.31	0.11	0.28
Göllerderesi	Kumtaşı	2.66	2.46	2.66	2.68	0.34	1.21	7.32	8.11	92.68	0.44	1.21
	Çakıltaşı	2.51	2.48	2.53	2.68	3.46	2.58	7.51	8.14	92.49	1.04	2.58
	Çamurtaşı	2.46	2.42	2.50	2.81	3.71	13.49	13.57	15.33	86.43	5.92	13.49

Tablo-12- Kopdağı 1 tünel güzergahı kayaçlarının ortalaması fiziksel özellikler.  
Average physical properties of the rocks of Kopdağ 1 tunnel line.

Formasyon	Litoloji	$\gamma_n$ (gr/cm <sup>3</sup> )	$\gamma_d$ (gr/cm <sup>3</sup> )	$\gamma_s$ (gr/cm <sup>3</sup> )	$G_s$	$\omega$ (%)	$n_a$ (%)	$n$ (%)	$e$ (%)	$k$	$S_w$ (%)	$S_v$ (%)
KOP	Ultramafit	2.46	2.41	2.46	2.77	2.60	4.54	12.98	15.20	87.02	2.14	4.54
	Serpantin	2.41	2.15	2.43	2.76	4.33	22.29	22.29	29.02	77.71	10.74	22.29
Gurri Tepesi	Beyaz kireçtaşlı	2.65	2.52	2.66	2.71	4.65	1.48	6.87	7.38	93.13	0.44	1.48
	Gri kireçtaşlı	2.64	2.59	2.65	2.73	1.49	4.16	5.13	5.42	94.87	1.59	4.16
Göllerderesi	Kumtaşlı	2.66	2.46	2.66	2.68	0.34	1.21	7.32	8.11	92.68	0.44	1.21
	Çakıltaşlı	2.51	2.48	2.53	2.68	3.46	2.58	7.51	8.14	92.49	1.04	2.58
	Çamurtaşlı	2.46	2.42	2.50	2.81	3.71	13.49	13.57	15.33	86.43	5.92	13.49

Tablo-13- Kopdağı 2 tünel güzergahı kayalarının ortalaması fiziksel özelliklerini.  
Average physical properties of the rocks of Kopdağı 2 tunnel line.



ÇAPSAL

EKSENEL

SEKİLSİZ

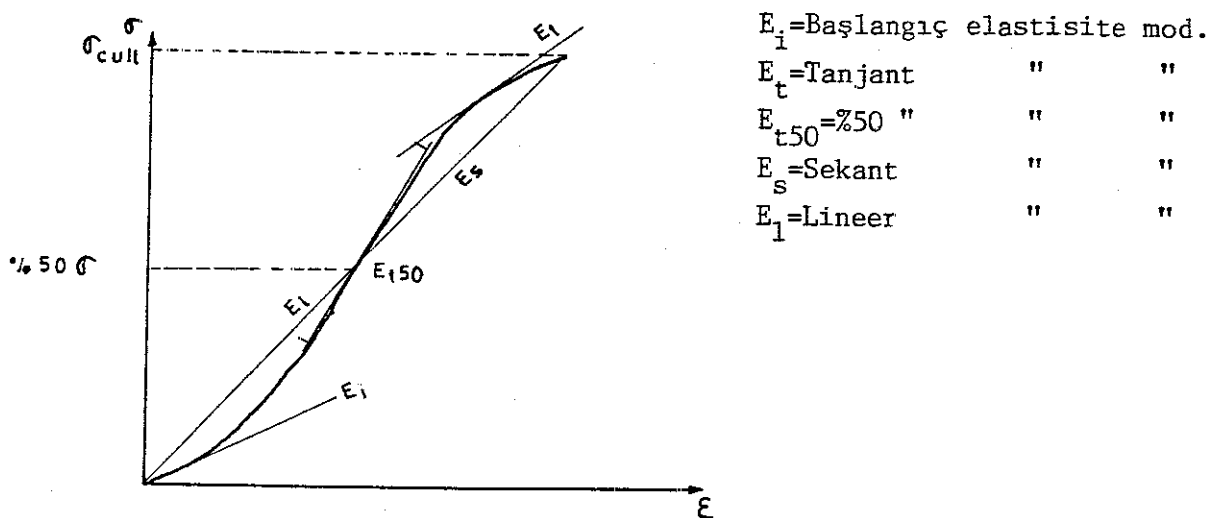
Tek eksenli, üç eksenli, çekme deneylerinde 300 ton kapasiteli hidrolik pres, üç eksenli basınç deneyinde  $700 \text{ kg/cm}^2$  kapasiteli yanal basınç ünitesi ile Nx(54mm) çaplı Hook hücresi, nokta yükleme deneyinde 5 ton kapasiteli hidrolik kriko kullanılmıştır. Deneylerde yükleme hızı, saniyede  $10-12 \text{ kg/cm}^2$  olacak şekilde uygulanmıştır. Yapılan deneylerle saptanan özellikler aşağıdaki gibidir.

- 1- Tek eksenli basınç dayanımı  $\sigma_c$ ,  $\text{kg/cm}^2$
- 2- Üç eksenli basınç dayanımı  $\sigma_I$ ,  $\sigma_{III}$ ,  $\text{kg/cm}^2$
- 3- Çekme dayanımı  $\sigma_t$ ,  $\text{kg/cm}^2$
- 4- Nokta yükleme dayanımı  $I_s$ ,  $\text{kg/cm}^2$
- 5- Elastisite Modülü (Young modülü)  $E$ ,  $\text{kg/cm}^2$
- 6- Poisson oranı  $\nu$
- 7- Kohezyon  $c$ ,  $\text{kg/cm}^2$
- 8- İç sürtünme açısı  $\phi$ ,  $-\circ$

Tek eksenli basınç deneylerinde, numuneler üzerine microstrain mertebesinde iki yönde deformaşyon ölçebilen strain gauge'ler yapıstırılmış, enine ve boyuna deformasyonlar direkt olarak ölçülmüştür.

Elastisite modülü ( $E$ ) ve Poisson oranı ( $\nu$ )'nın belirlenmesi için gerilme deformasyon ( $\sigma-\epsilon$ ) eğrileri çizilmiştir. Beş çeşit elastisite modülü vardır ve çeşitli mühendislik problemleri için ayrı ayrı kullanılır. Tünelcililikte kazı destek problemlerinde sekant elastisite modülü ( $E_s$ )

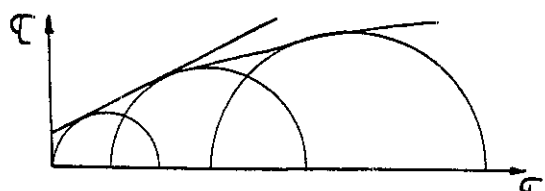
kullanılır (ROBERTS, 1977). %50 tanjant elastisite modülü kayaların mühendislik sınıflamasında kullanılır (DEERE and MILLER). Bu çalışmada sekant ve %50 tanjant elastisite modülleri kullanılmıştır. Sekant elastisite modülü ( $E_s$ ) kayanın nihai kırılma direncinin ( $\sigma_{cull}$ ), %50 tanjant elastisite modülü ( $E_{t50}$ ) nihai kırılma direncinin yarısının, deformasyona ( $\epsilon$ ) oranı ile hesaplanır.



Üç eksenli basınç deneylerinde üç ayrı yanal basınç ( $\sigma_{III}$ ) uygulanmıştır.

Çekme dayanımı ( $\sigma_t$ ) direkt ( $\sigma_t$ ) ve indirekt (Brezilyan) çekme ( $\sigma_{ti}$ ) şeklinde iki yöntemle belirlenmiştir.

Tek eksenli basınç, üç eksenli basınç ve çekme dayanımı deneylerinden elde edilen sonuçlardan yararlanarak her birim için Mohr daireleri ve bu dairelerin ortak teğeti olan Coulomb zarf doğrusu çizilmiştir. Ancak yapılan deneylerle Mohr dairelerine çizilen teğetin, Coulomb doğrusu şeklinde olmadığı gözlenmiştir. Ortak teğet, basınç artışına bağlı olarak gittikçe eğimi azalan bir eğri şeklindedir.



Bu da büyük gerilmeler altında taşların daha düşük iç sürtünme değerlerine sahip olabileceklerini gösterir.

Tüm deney sonuçları her birim için önce ayrı ayrı daha sonra tüm birimlerin ortalamaları tablo halinde verilmiştir (Tablo-14). Laboratuvar çalışmaları ile bulunan sonuçların genel bir değerlendirmesi yapılmıştır. Yapılan genel değerlendirmede Stapledon (1973) ün nokta yük dayanımı (Tablo-15), Deere ve Miller (1966)in elastisite modülü ve tek eksenli basınç dayanımı (Tablo 16) tabloları kullanılmıştır. Bulunan sonuçlar Tablo-17 de verilmiştir.

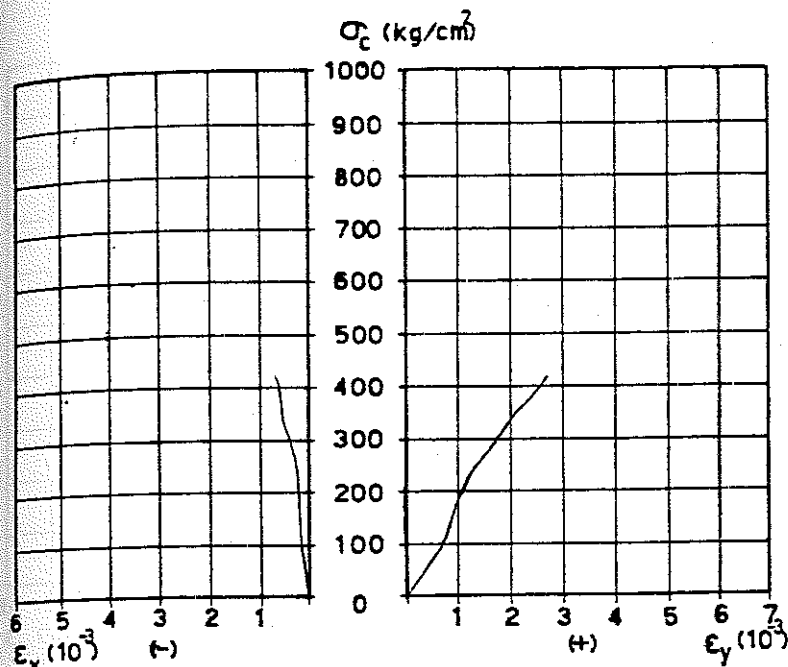
#### IV.2.3. SÜREKSİZLİKLERİN JEOTEKNİK ÖZELLİKLERİ

Süreksizlik; kaya kütlesindeki kırık, çatlak, tabaka düzlemi, yapraklanma düzlemi, fay gibi yapısal özellikleri kapsayan genel bir terimdir ve kaya kütlesi sınıflamalarında temel parametreleri oluşturur.

Süreksizliklerin tünel güzergahına etkilerini araştırmak ve kaya kütlesi sınıflamalarına ayrıntılı bilgi sağlamak için Kopdağı 1 ve Kopdağı 2 tünel güzergahları boyunca 3 formasyona ait 7 bölgede toplam 649 lokasyonda gözlem yapılmıştır. Yapılan gözlemlerde ISRM ve EGWP tarafından önerilen veri toplama ve değerlendirme yöntemleri esas alınarak süreksizliklerin jeoteknik özellikleri belirlenmeye çalışılmıştır.

Süreksizliklerin; yönelik ve takım sayısı, devamlılık, açıklık, pürüzlülük, dolgu malzemesi gibi jeoteknik özellikleri ile kayaç kütte bozunma dereceleri belirlenmiş, sonuçlar histogram çözümleri ve tablolardan sunulmuştur. Süreksizliklerin yönelik ve takım sayıları yapısal jeoloji bölümünde anlatılmıştır.

Süreksizliklerin jeoteknik özellikleri ile ilgili temel sınıflamalar Tablo 18, 19, 20, 21, 22 de verilmiştir.



Formasyon: Göllerderesi

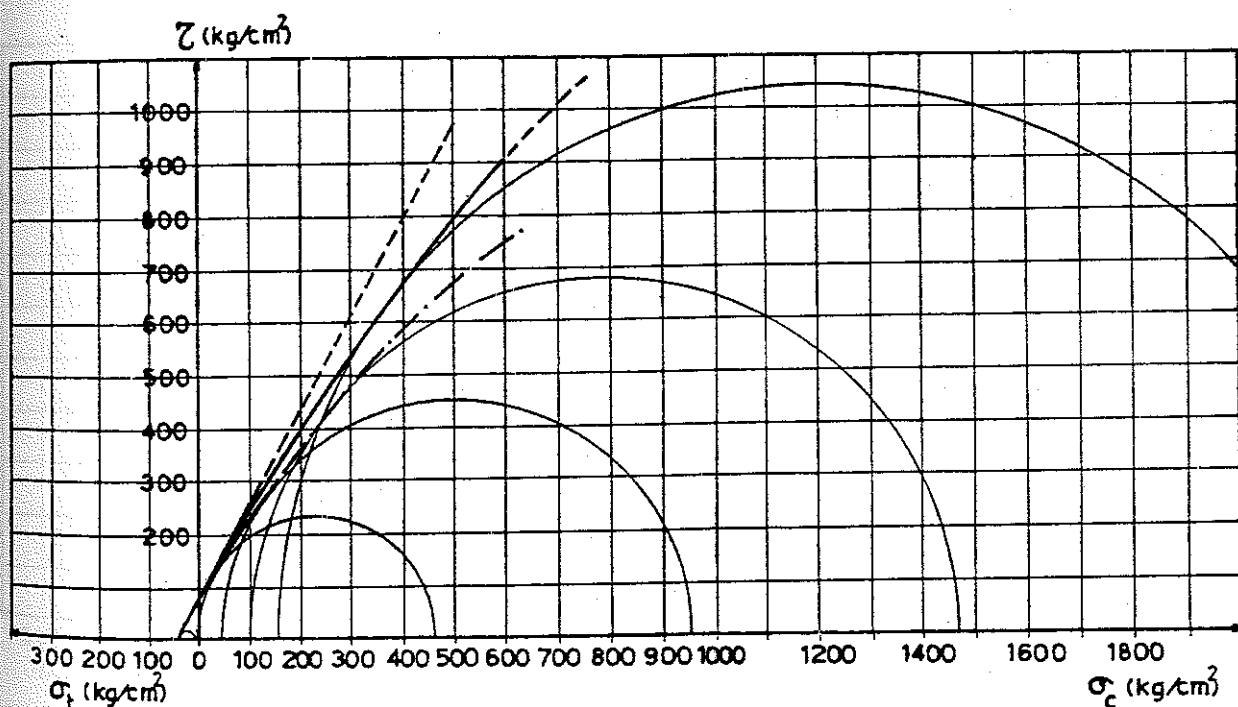
Litoloji: Çakıltaşı

Elastisite Modülü ( $\times 10^3$  kg/cm<sup>2</sup>)

$$E_s = 157.7 \quad E_{t50} = 186.4$$

Poisson Oranı

$$\nu = 0.18$$

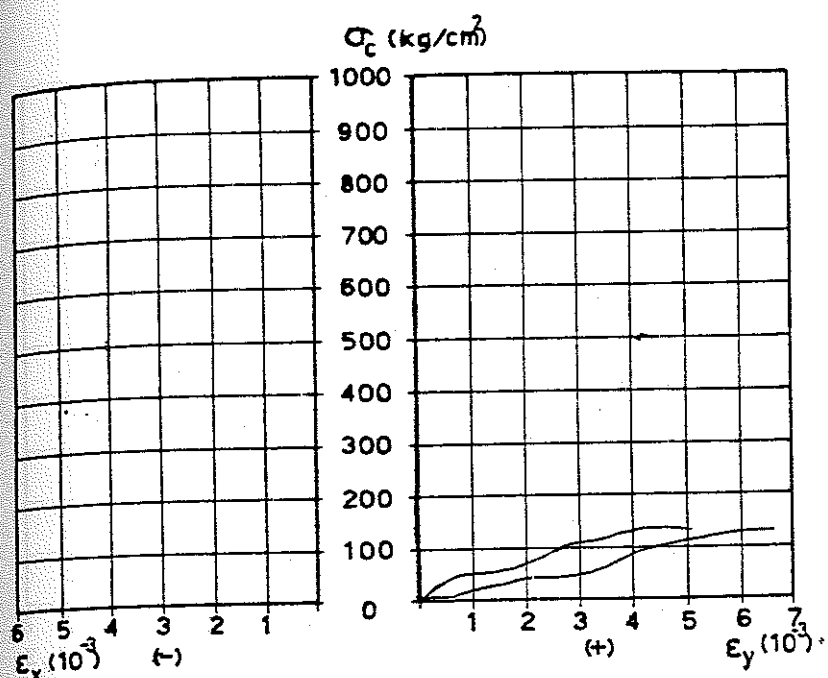


$$\text{Kohezyon } C = 89 \text{ kg/cm}^2$$

$$\text{İç Sürünme Açısı } \phi = \max 61 \min 33$$

Sekil-11- Çakıltaşının  $\tau=f(\sigma)$  diyagramı ve  $\sigma=f(\epsilon_x, \epsilon_y)$  davranışı.

$\tau = f(\sigma)$  diagram and  $\sigma = f(\epsilon_x, \epsilon_y)$  behavior of the conglomerate



Formasyon: Gölleerdelesi

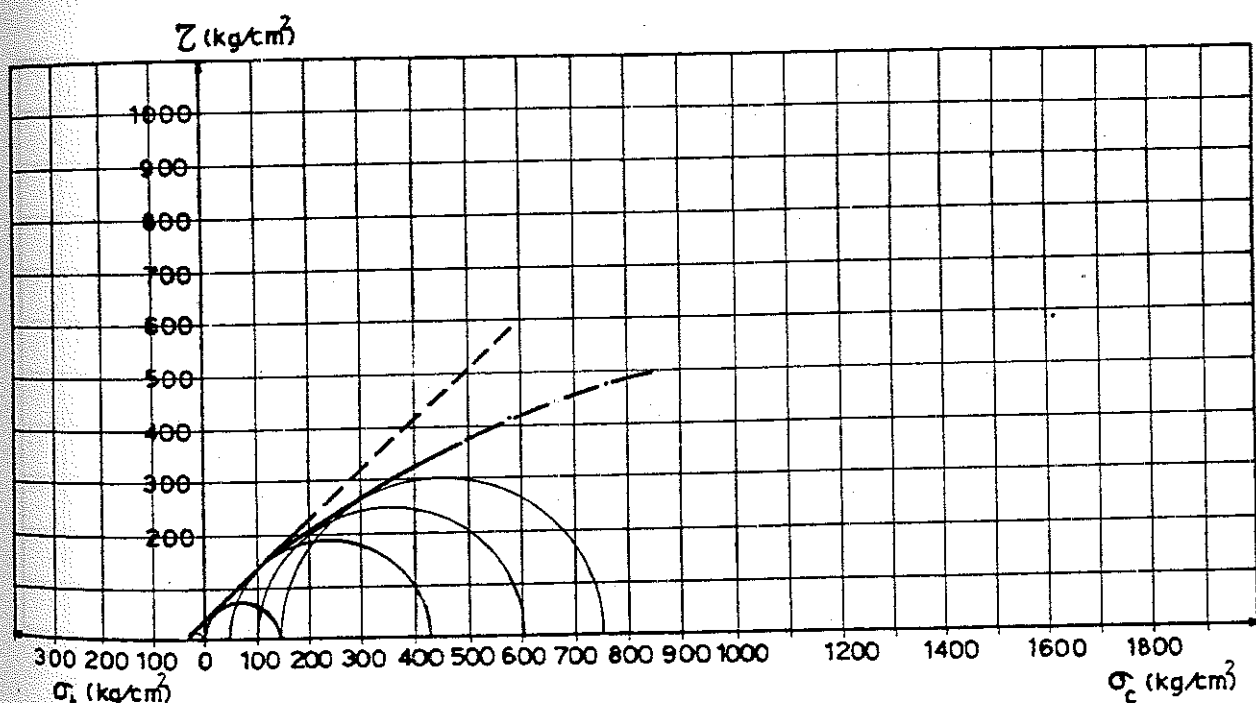
Litoloji: Çamurtaşı

Elastisite Modülü ( $\times 10^3$  kg/cm<sup>2</sup>)

$$E_s = 27.0 - 19.7 \\ 23.4 \quad E_{t50} = 67.5 - 19.7 \\ 43.6$$

Poisson Oranı

$$\nu = -$$

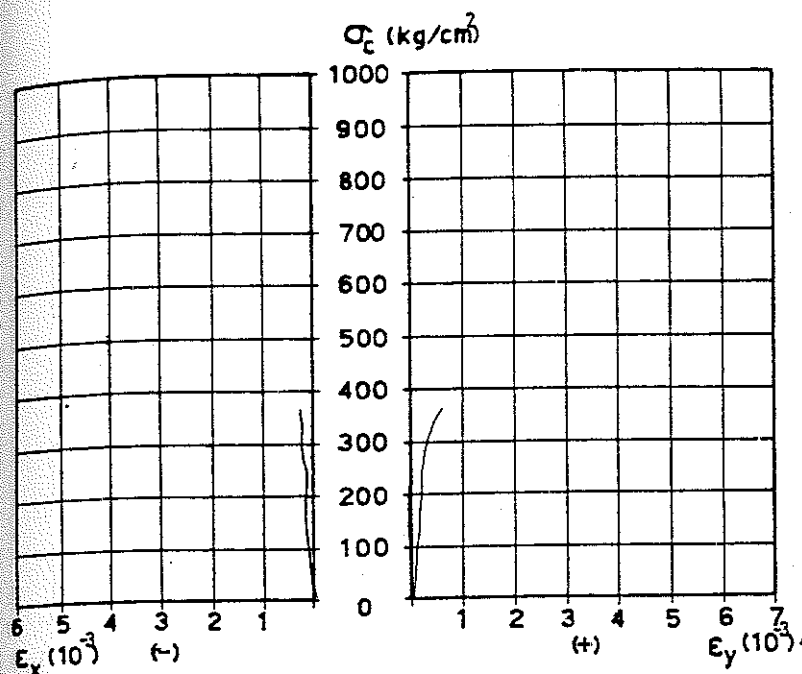


$$\text{Kohezyon } C = 45 \text{ kg/cm}^2$$

$$\text{İç Sürünme Açısı } \phi = \max 44 \text{ min } 18$$

Şekil-12- Çamurtaşının  $\tau=f(\sigma)$  diyagramı ve  $\sigma=f(\epsilon_x, \epsilon_y)$  davranışısı.

$\tau=f(\sigma)$  diagram and  $\sigma=f(\epsilon_x, \epsilon_y)$  behavior of the mudstone



*Formasyon: Gürri*

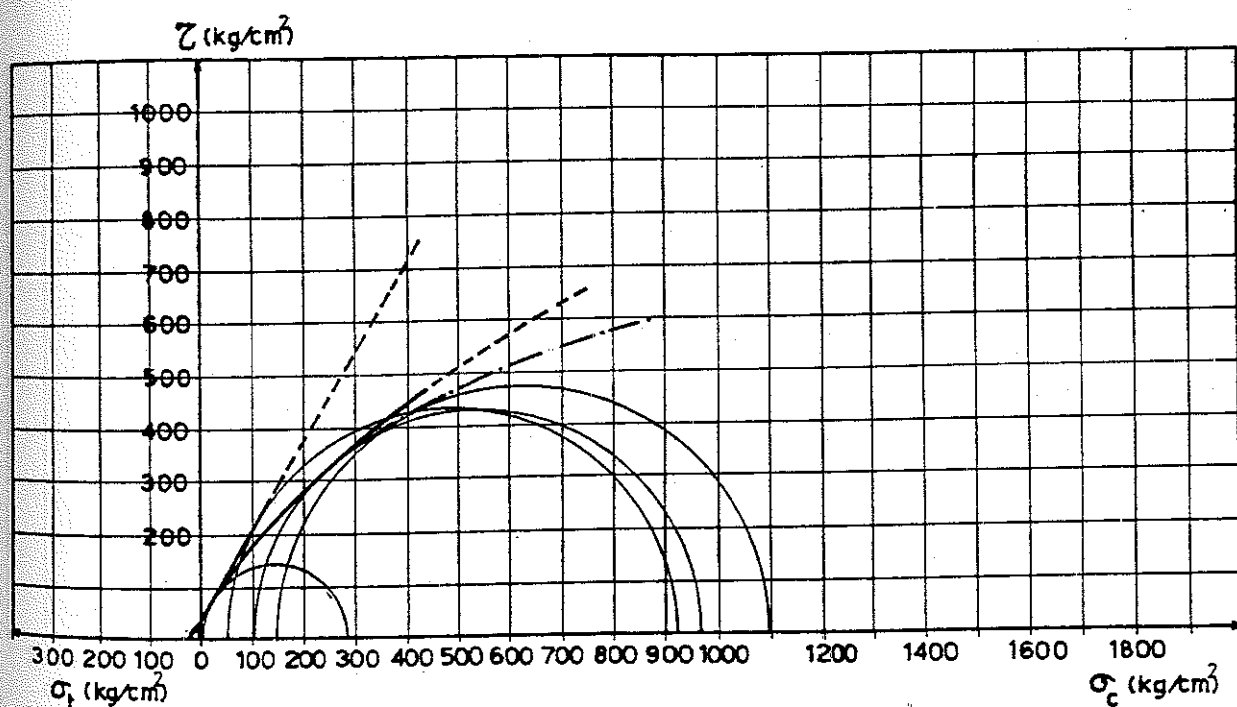
*Litoloji: Kireçtaşı (beyaz)*

*Elastisite Modülü ( $\times 10^3$  kg cm<sup>2</sup>)*

$$E_S = 618.2 \quad E_{t50} = 862.5$$

*Poisson Oranı*

$$\nu = 0.1$$

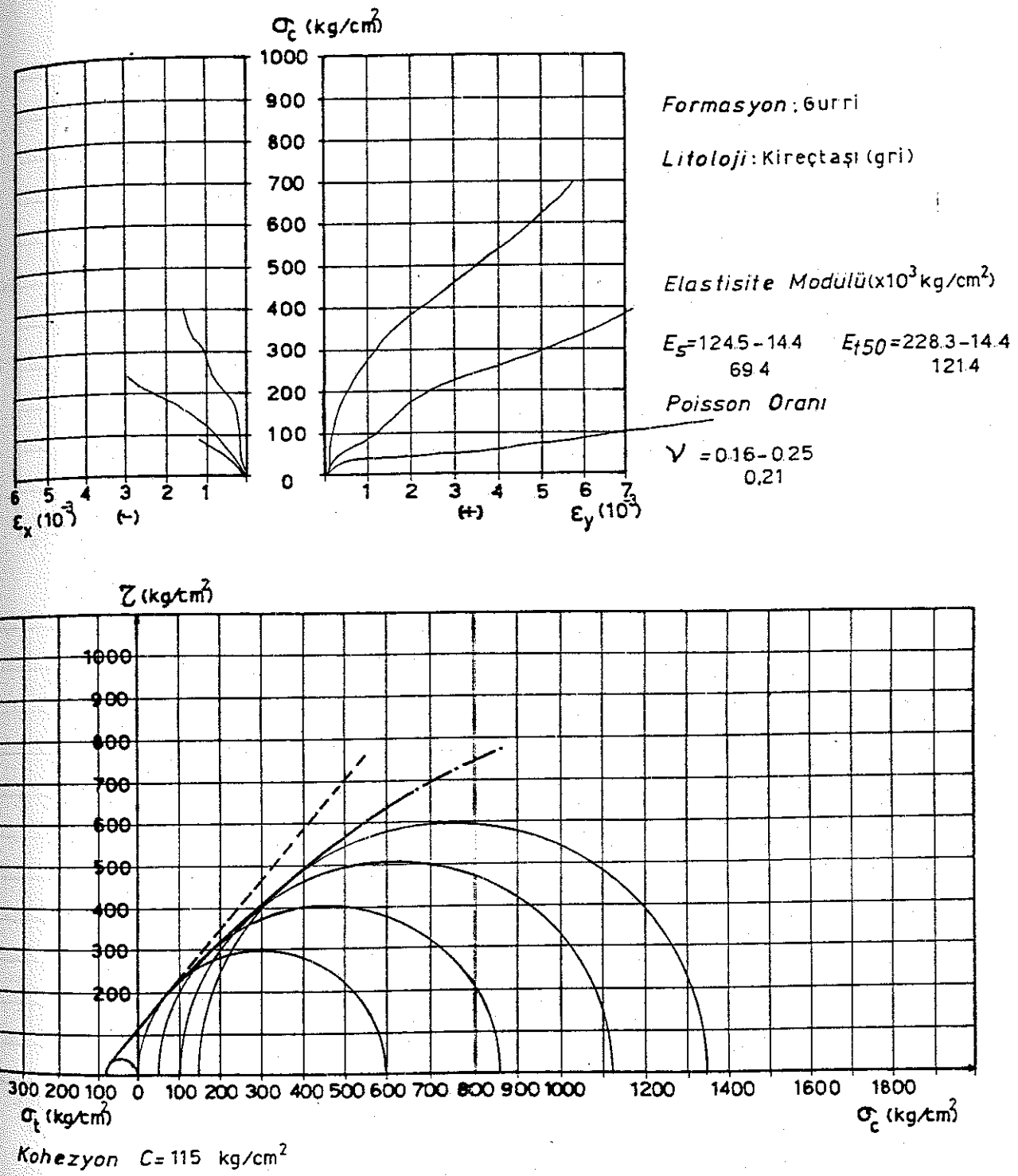


$$\text{Kohezyon } C = 47 \text{ kg/cm}^2$$

$$\text{İç Sürünme Açısı } \phi = \max 60 \text{ min } 17$$

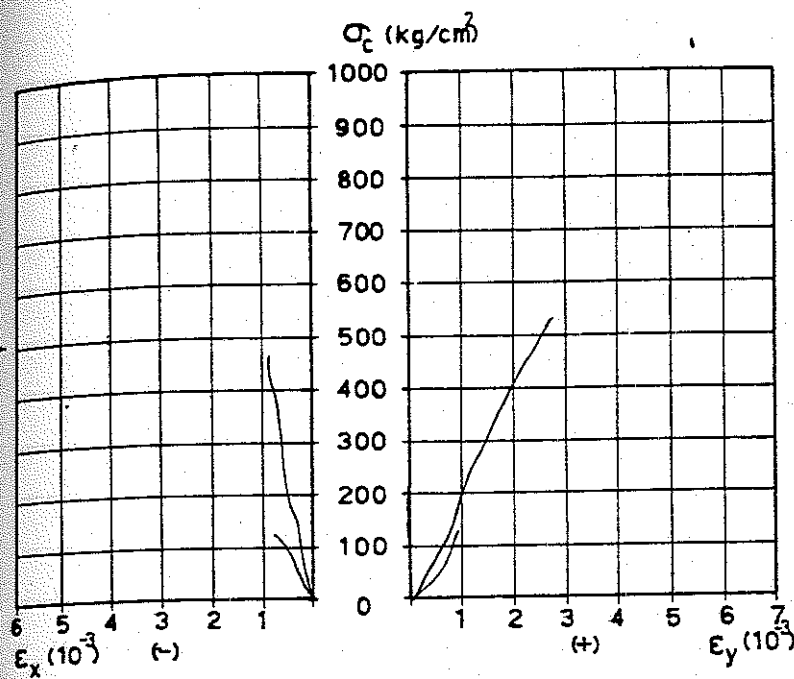
*Şekil-13- Kireçtaşı (beyaz) in  $\tau=f(\sigma)$  diyagramı ve  $\sigma=f(\epsilon_x, \epsilon_y)$  davranışısı*

*$\tau=f(\sigma)$  diagram and  $\sigma=f(\epsilon_x, \epsilon_y)$  behavior of the limestone (white)*



Şekil-14- Kireçtaşı (gri) nin  $\tau=f(\sigma)$  diyagramı ve  $\sigma=f(\epsilon_x, \epsilon_y)$  davranışları

$\tau=f(\sigma)$  diagram and  $\sigma=f(\epsilon_x, \epsilon_y)$  behavior of the limestone (gray)



Formasyon: Gurri

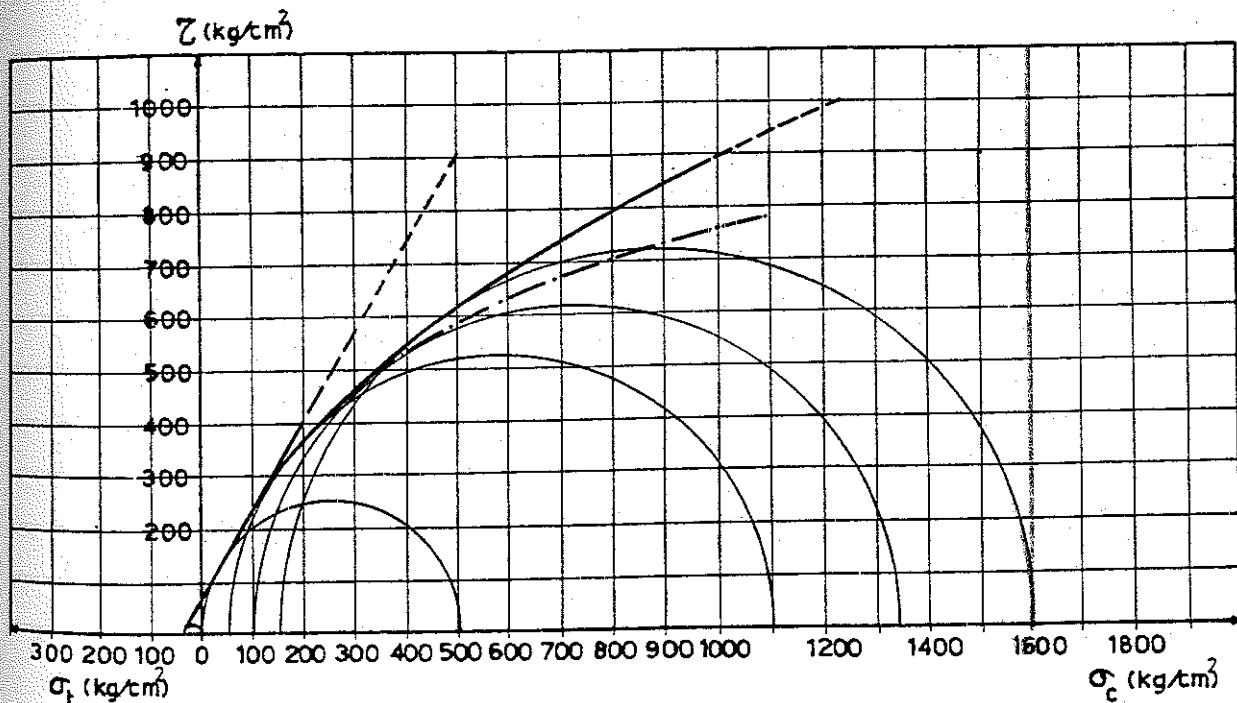
Litoloji: Kireçtaşı(gri)

Elastisite Modülü ( $\times 10^3 \text{ kg}/\text{cm}^2$ )

$$E_S = 1845 - 1412 \quad E_{f50} = 2058 - 1091 \\ 162.8 \quad 157.6$$

Poisson Oranı

$$\nu = 0.2 - 0.4 \\ 0.3$$

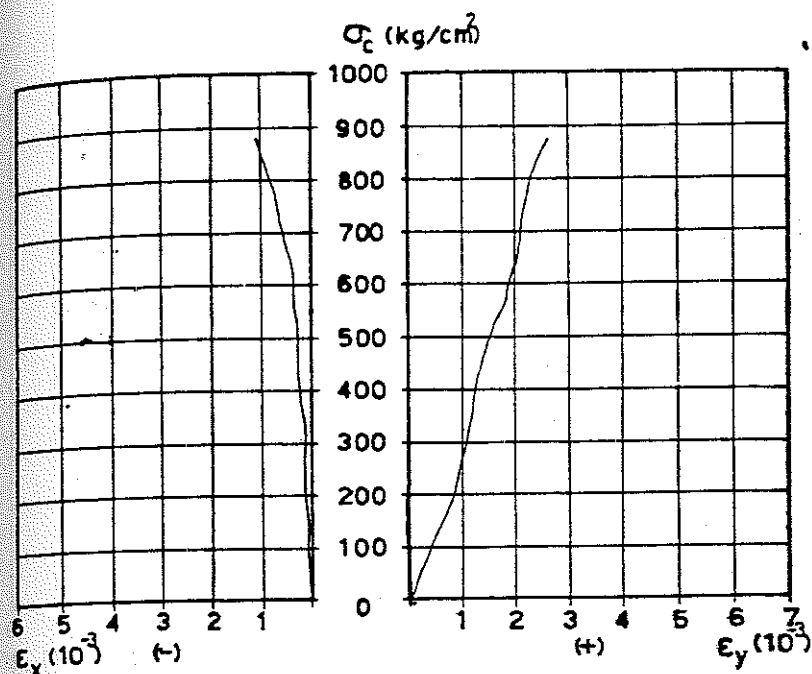


$$\text{Kohezyon } C = 79 \text{ kg}/\text{cm}^2$$

$$\text{İç Sürünme Açısı } \phi = \max 59 \text{ min } 15$$

Şekil-15- Kireçtaşı (gri) nin  $\tau=f(\sigma)$  diyagramı ve  $\sigma=f(\epsilon_x, \epsilon_y)$  davranışları

$\tau=f(\sigma)$  diagram and  $\sigma=f(\epsilon_x, \epsilon_y)$  behavior of the limestone (gray)



Formasyon: Gürri

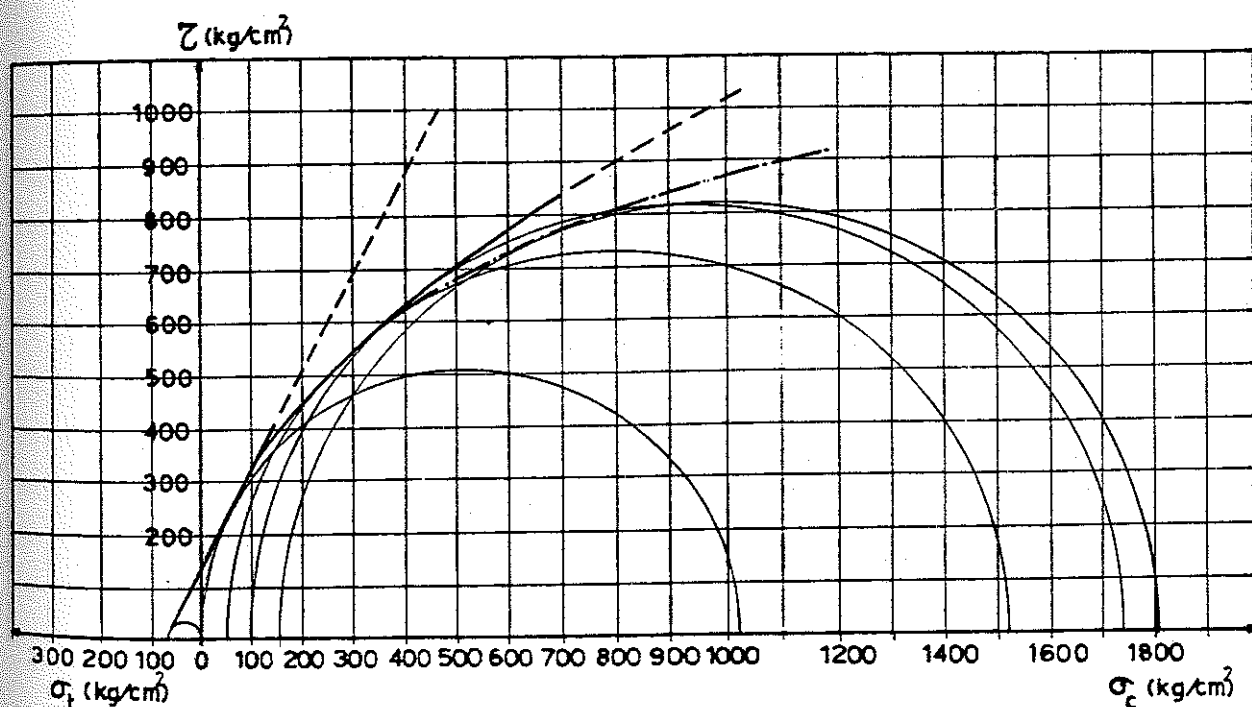
Litoloji: Kumtaşısı

Elastisite Modülü ( $\times 10^3$  kg/cm<sup>2</sup>)

$$E_s = 373.1 \quad E_{t50} = 346.4$$

Poisson Oranı

$$\nu = 0.3$$

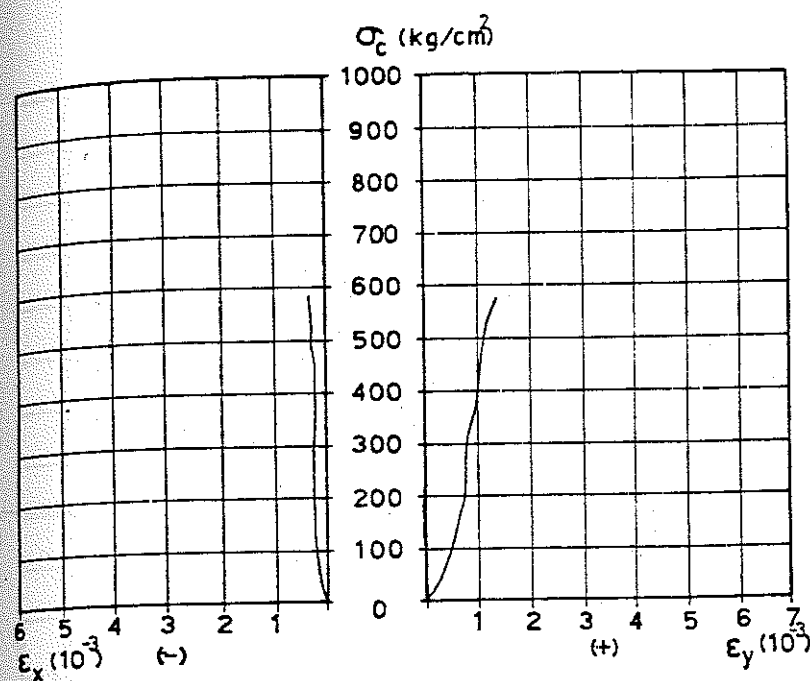


Kohezyon  $C = 150$  kg/cm<sup>2</sup>

İç Sırtúnme Açısı  $\phi = \max 62 \min 16$

Şekil-16-Kumtaşının  $\tau=f(\sigma)$  diyagramı ve  $\sigma=f(\epsilon_x, \epsilon_y)$  davranışları

$\tau=f(\sigma)$  diagram and  $\sigma=f(\epsilon_x, \epsilon_y)$  behavior of the sandstone



Formasyon: Kop ultramafiti

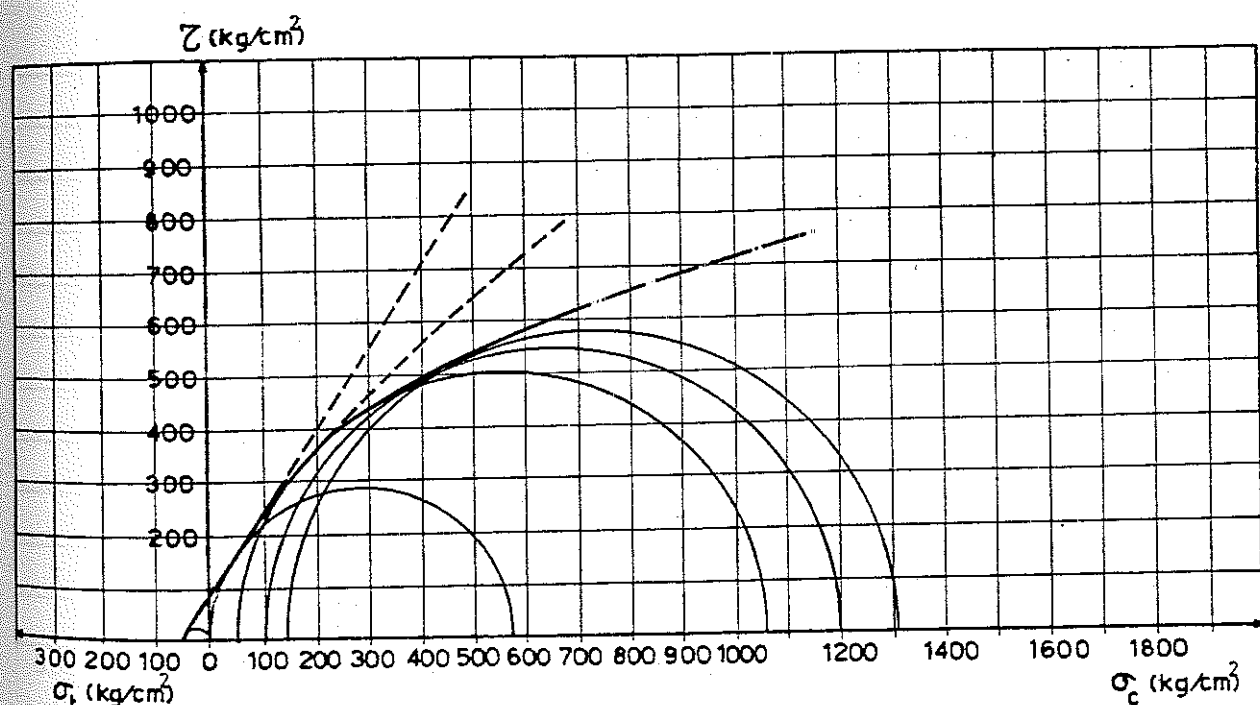
Litoloji: Ultramafit

Elastisite Modülü ( $\times 10^3 \text{ kg}/\text{cm}^2$ )

$$E_s = 3714 \quad E_{t50} = 150.0$$

Poisson Oranı

$$\nu = 0.2$$

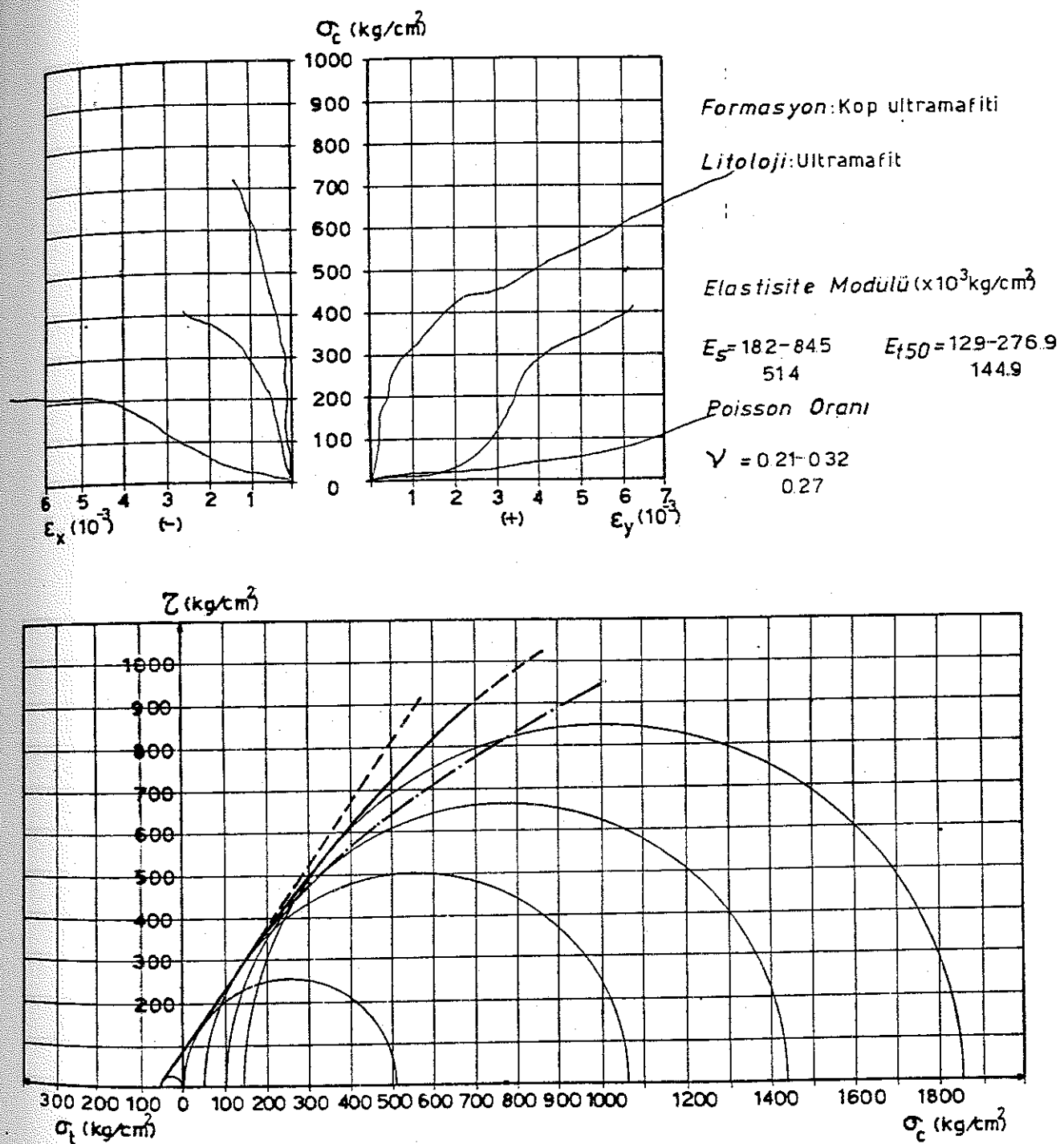


Kohezyon  $C = 95 \text{ kg}/\text{cm}^2$

İç Sürtünme Açısı  $\phi = \max 57 \min 16$

Şekil-17- Ultramafitin  $\tau=f(\sigma)$  diyagramı ve  $\sigma=f(\epsilon_x, \epsilon_y)$  davranışları

$\tau=f(\sigma)$  diagram and  $\sigma=f(\epsilon_x, \epsilon_y)$  behavior of the ultramafic

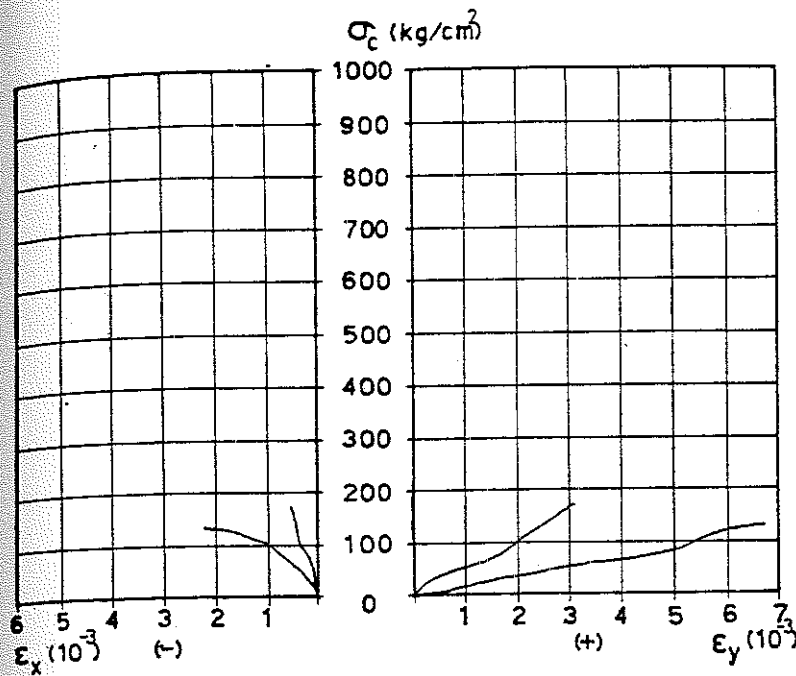


Kohezyon  $C = 95 \text{ kg}/\text{cm}^2$

İç Sürtünme Açısı  $\phi = \max 56 \text{ min } 28$

Şekil-18- Ultramafitinin  $\tau=f(\sigma)$  diyagramı ve  $\sigma=f(\epsilon_x, \epsilon_y)$  davranışları

$\tau=f(\sigma)$  diagram and  $\sigma=f(\epsilon_x, \epsilon_y)$  behavior of the ultramafic



Formasyon: Kop ultramafiti

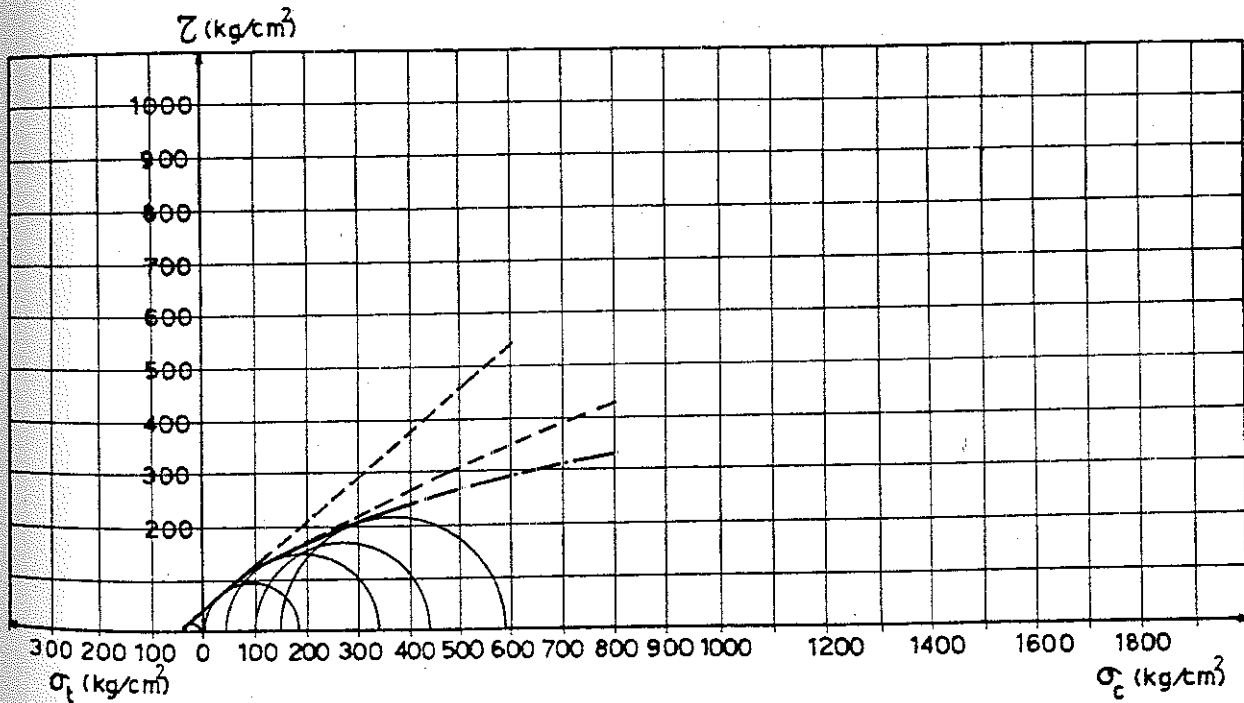
Litoloji: Serpantin

Elastisite Modülü ( $\times 10^3$  kg/cm<sup>2</sup>)

$$E_s = 19.4 - 54.8 \quad E_{t50} = 16.2 - 50.0 \\ 37.1 \quad 33.1$$

Poisson Oranı

$$\nu = 0.19$$



Kohezyon  $C = 50$  kg/cm<sup>2</sup>

İç Sürütme Açısı  $\phi = \max 40 \quad \min 10$

Şekil-19- Serpantinin  $\tau=f(\sigma)$  diyagramı ve  $\sigma=f(\epsilon_x, \epsilon_y)$  davranışları

$\tau=f(\sigma)$  diagram and  $\sigma=f(\epsilon_x, \epsilon_y)$  behavior of the serphantinite

Tablo-14- Kopdağı 1 ve Kopdağı 2 tünel güzergahı kayaclarının ortalaması mekanik özelliklerini  
Average mechanical properties of the rocks of Kopdağı 1 and Kopdağı 2 tunnel line

Formasyon	Göllerderesi	Gurri	i Kop	Ultramatifi
Litoloji	Çakıltaşlı Çamurtaşlı	Kireçtaşlı (Bevez)	Kumtaşlı	Ultramatifi Serpentin
Tek eksenli basınc davanımı $\sigma_c$ kg/cm <sup>2</sup>	460	148	282	554
Üç eksenli Basınç dayanımı $\sigma_I - \sigma_{III}$ kg/cm <sup>2</sup>	50-950 100-1470 150-2250	50-420 100-610 150-750	50-980 100-965 150-1090	50-1520 100-1235 150-1475
Çekme dayanımı $\sigma_t$ kg/cm <sup>2</sup>	40	18	20	57
Nokta yük dayanımı $I_s$ kg/cm <sup>2</sup>	22.7	4.7	12.5	24.7
Elastisite Modülü $E_s$ $\times 10^3$ kg/cm <sup>2</sup>	157.7	23.4	618.7	162.8-69.4
Poisson Oranı $\nu$	-	0.18	-	0.1
Kohezyon C kg/cm <sup>2</sup>	89	45	47	87
İç Sürünme Açısı $\phi$ °	61-33	44-18	60-17	59-15
			62-16	57-16
			40-10	

Tablo-15-Nokta yük dayanımına göre kaya tanımlaması (Stapledon, 1973)

Engineering classification of intact rock on Basis of point load.

Tanımlama	Nokta yük dayanımı $I(50) \text{kg/cm}^2$
Oldukça düşük	<0.3
Çok düşük	0.3 - 1
Düşük	1 - 3
Orta	3 - 10
Yüksek	10 - 30
Çok yüksek	30 - 100
Oldukça yüksek	>100

Tablo-16-Tek eksenli basınç dayanımı ve elastisite modülüne göre kaya tanımlaması (Deere and Miller 1966)

Engineering classification of intact rock Basis of strength and modulus ratio.

Tanımlama	Tek eksenli basınç dayanımı $\sigma_c \text{ kg/cm}^2$
Çok yüksek	>2000
Yüksek	2000-1000
Orta	1000- 500
Düşük	500- 250
Çok düşük	250- 10

Tanımlama	Modül Oranı $E_{t50}/\sigma_c$
Yüksek	>500
Orta	500-200
Düşük	<200

Tablo-17- Tünel güzergahındaki kayaçların mekanik öezlliklerine göre genel değerlendirmesi

General determination mechanical propertis of the rocks of Kopdağı 1 and Kopdağı 2 Tunnel line.

Formasyon	Litoloji	Nokta yük dayanımı $I_s$	Tek eksenli basınç dayanımı $\sigma_c$	Modül oranı $E_{t50}/\sigma_c$
Göllerderesi	Çakıltaşı	Yüksek	Düşük	Orta
	Çamurtaşısı	Orta	Çok düşük	Orta
Gurri	Kireçtaşısı (beyaz)	Yüksek	Düşük	Orta
	Kireçtaşısı(gri)	Yüksek	Orta	Orta
	Kumtaşısı	Çok yüksek	Yüksek	Orta
Kop Ultramafiti	Ultramafit	Yüksek	Orta	Orta
	Serpantin	Orta	Çok düşük	Düşük

Tablo-18- Devamlılık Sınıflaması

Tablo-18- Devamlılık Sınıflaması (ISRM, 1978)

Presistance classification

1.Çok düşük devamlı	<1 m.
2.Düşük devamlı	1-3 m.
3.Orta devamlı	3-10 m.
4.Yüksek devamlı	10-20 m.
5.Çok yüksek devamlı	>20 m.

Tablo-19- Açıklık Sınıflaması (EGWP, 1977)

Aperture classification

1.Geniş	>200 mm.
2.Orta geniş	60-200 mm.
3.Orta dar	20-60 mm.
4.Dar	6-20 mm.
5.Çok dar	2-6 mm.
6.Aşırı dar	<2 mm.
7.Sıkışık	-

Tablo-20- Pürüzlülük Sınıflaması (EGWP, 1977)

Roughness classification

1.Cılaklı
2.Kaygan yüzeyli
3.Düz
4.Kaba
5.Belirgin çıkışlı
6.Küçük basamaklı
7.Çok kaba

Tablo - 21 - Kayaç malzemesinin bozunma dereceleri (ISRM, 1978)  
Weathering grade of rock material

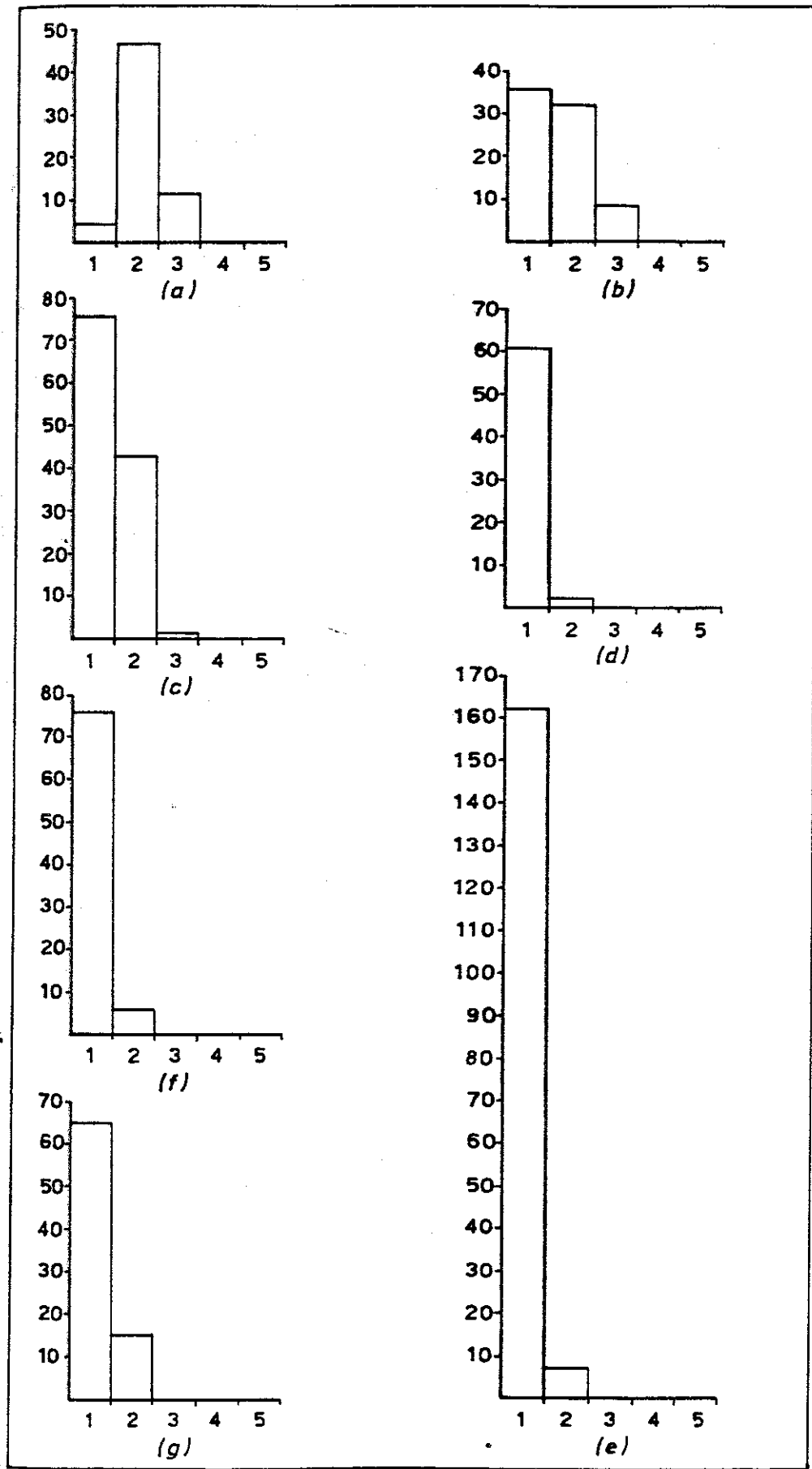
Derece Tanımlama	Saha Tanımlaması	Tek eksenli sıkışma dayanımı (MPa) (1MPa=10.19 kg/cm <sup>2</sup> )
S1 Çok yumuşak kil	Yumruk ile birkaç inç kolayca kazılır.	0-0.25
S2 Yumuşak kil	Başparmak ile birkaç inç kolayca kazılır.	0.025-0.05
S3 Tıknız kil	Başparmak az gayreti ile birkaç inç kazılabilir.	0.05-0.10
S4 Pekişmiş kil	Başparmak ile kolayca yarık açılır, fakat büyük bir gayret ile kazılabilir.	0.10-0.25
S5 Çok pekişmiş kil	Parmak tırnağı ile yarık açılır.	0.25-0.50
S6 Sert kil	Başparmak tırnağı ile zor yarık açılır.	0.50
R0 Aşırı derecede zayıf kayaç	Tırnak ile kazılabilir.	0.25-1.0
R1 Zayıf kayaç	Jeoloji çekicinin ucu ile vurulan sıkı darbeler altında ufalanır, çakı ile soyulur.	1.0 -5.0
R2 Zayıf kayaç	Çakı ile zor soyulur. <del>yüzeysel</del> yarıklar jeolog çekici ucunun sıkı darbeleri ile ufalanır ve açılabilir.	5.0 -25
R3 Orta sağlam kayaç	Çakı ile kazılamaz veya soyulamaz yalnız jeolog çekicinin sert darbesi ile kırılabilir.	25-50
R4 Sağlam kayaç	Örneğin kırılabilmesi için jeolog çekicinin birden fazla darbesi gereklidir.	50-100
R5 Çok sağlam kayaç	Örneğin kırılması için birçok jeolog çekici darbesi gereklidir.	100-250
R6 Aşırı sağlam	Örnek sadece jeolog çekici ile çentilebilir (yongalanabilir).	250

Tablo-22- Kayaç kütlesinin bozunum dereceleri (ISRM, 1978)  
Weathering grade of rock mass.

<u>Terim</u>	<u>Tanımlama</u>	<u>Derece</u>	<u>Simge</u>
Taze	Kayaç materyalinde gözle görülebilir bir bozunma işaretü yok. Önemli süreksizlik yüzlerinde önemsiz renk değişimi sözkonusudur.	I	W <sub>1</sub>
Az bozunmuş	Renk bozukluğu, kayaç materyali ve süreksizlik yüzeylerinin bozunduğunu belirtir. Tüm kayaç materyalinde bozunma nedeniyle renk değişik. Kayaç taze durumda biraz daha zayıftır.	II	W <sub>2</sub>
Orta bozunmuş	Kayaç materyalinin yarıdan daha azı toprağa ayrılmış ve/veya parçalanmış. Taze veya rengi değişmiş kayaç, ya çekirdek yada süreksizlik yapısı olarak bulunur.	III	W <sub>3</sub>
Çok bozunmuş	Kayaç materyalinin yandan çoğu toprağa ayrılmış ve/veya parçalanmış. Taze veya rengi değişmiş kayaç ya çekirdek yada süreksizlik yapısı olarak bulunur.	IV	W <sub>4</sub>
Tamamen bozunmuş	Tüm kayaç materyali ayrışarak ve/veya parçalanarak toprağa dönüşmüştür, orijinal kütte yapısı hala büyük ölçüde sağlam	V	W <sub>5</sub>
Artık toprak	Tüm kayaç materyali topraga dönüşmüş kayaç kütte yapısı ve materyal fabriji yıkılmış. Hacimde büyük değişiklikler oluşur. Ancak toprak önemli ölçüde taşınmamıştır.	VI	W <sub>6</sub>

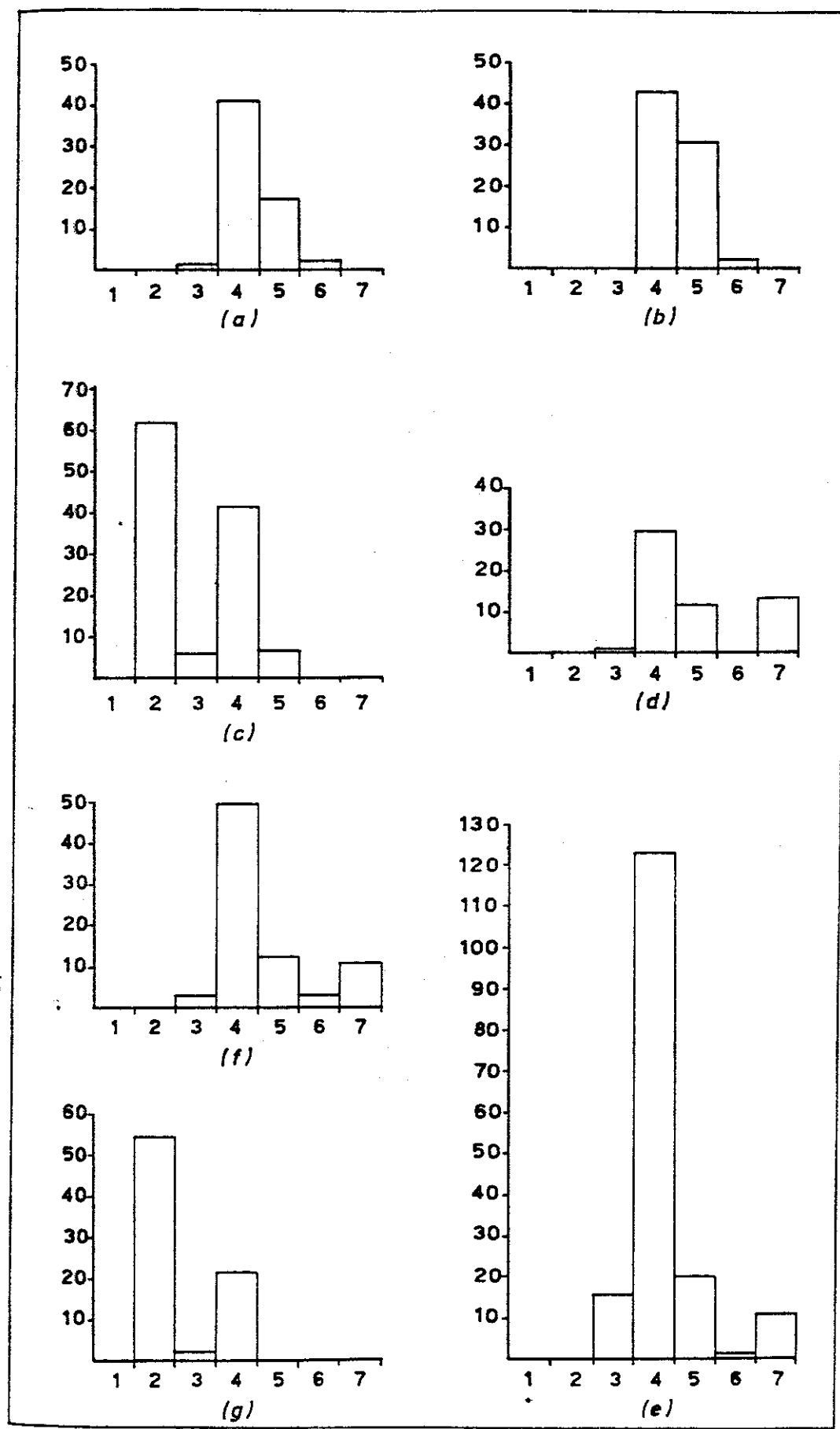
Bu sınıflamalar kullanılarak tünel güzergahındaki 7 lokasyonda yapılan açıklık, devamlılık, pürüzlülük gözlemleminin histogram çözümleri Şekil-20,21,22'de verilmiştir. Süreksizliklerdeki dolgu malzemeleri ise; Kop ultramafitinde bulunan eklemelerde genel olarak dolgu malzemesi gözlenmemiştir, Gurri formasyonunda özellikle kireçtaşlarında kalınlığı 0.2-0.8 cm arasında değişen kalsit dolgu, kumtaşı-şeyl seviyelerinde kohezyonsuz ve kil dolgu gözlenmiştir, Göllerderesi formasyonundaki çakıltashlarında kalınlığı 0.2-20 cm arasında değişen kalsit, yeryer kil dolgu gözlenmiştir. Kaya küflesindeki bozunma derecelerinin az-orta bozunmuş olduğu gözlenmiştir.

Süreksizliklerin belirlenen 5 jeoteknik parametresi toplu halde Tablo-23'de verilmiştir.



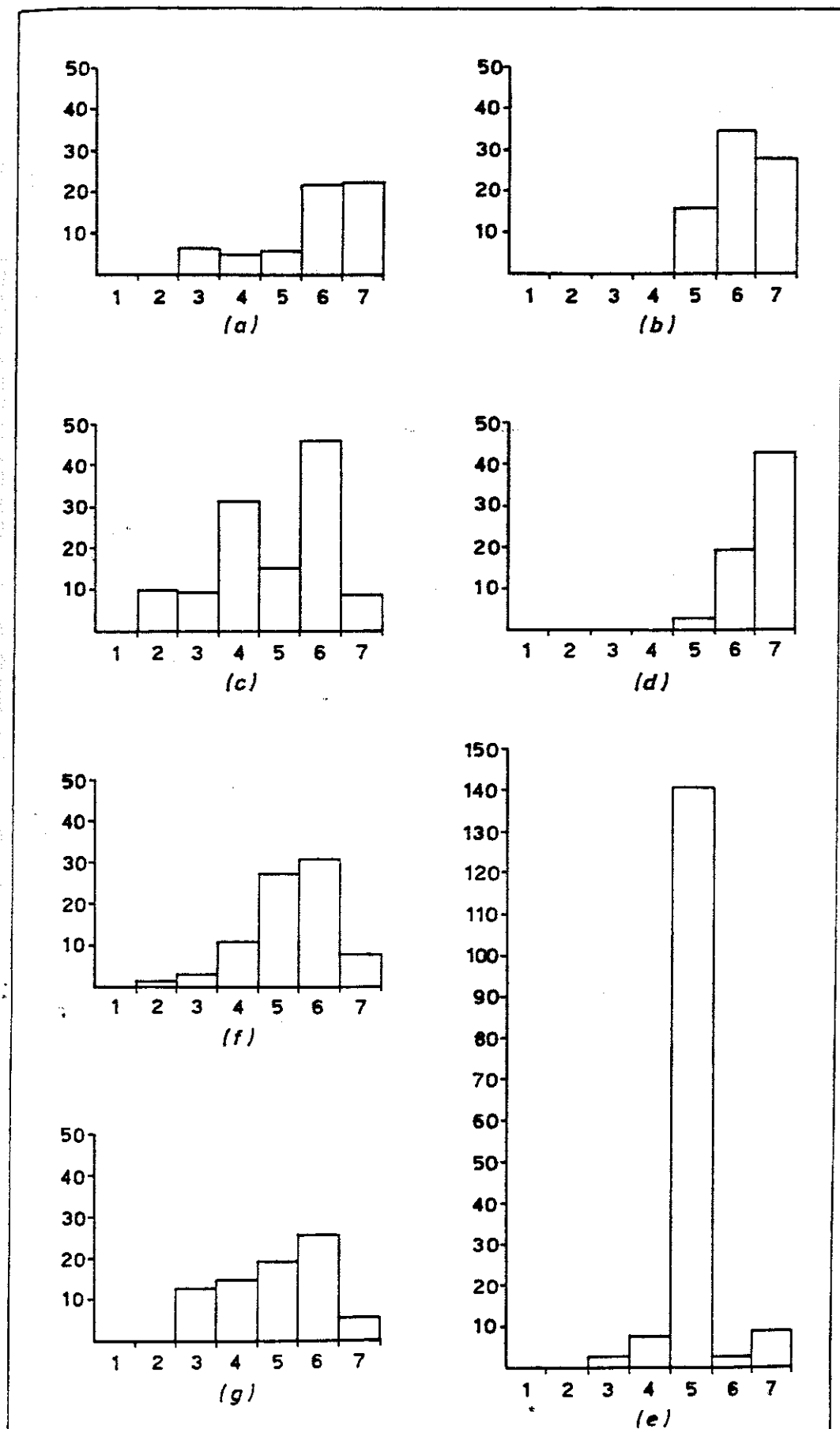
Şekil-20- Devamlılıkların histogram çözümü

Histogram solution of prosistance



Şekil-21- Pürüzlülüklerin histogram çözümleri.

Histogram solution of roughness



Şekil-22- Açıklıkların histogram çözümleri

Histogram solution of aperture

Tablo-23- Kopdağı 1 ve Kopdağı 2 tünel güzergahındaki kayaçların sürekli özelliklerinin jeoteknik özellikleri

Geotechnical properties of discontinues of the rocks of Kopdağı 1 and Kopdağı 2 tunnel line.

	Devamlılık	Pürüzlülük	Açıklık	Dolgu	Kayaç kütlesi bozunma derecesi
Kandıltas Tepe'deki Göllerderesi formasyonu çakıltası (Şekil-20-21- 22-a)	Düşük	Kaba	Aşırıdar sıkışık	R1,S3	Az bozunmuş
Kandıltas Tepe'deki Gurri Formasyonu ki- reçtaşı (Şekil- 20-21-22-b)	Çokdüşük- Düşük	Kaba	Aşırı Dar	R1,S3	Az bozunmuş
Kopdağı 1 tünel güzergahı giriş ağzı üzerindeki Gurri formasyonu kireçtaşı (Şekil- 20-21-22-d)	Çokdüşük	Kaba	Sıkışık	R1,S3	Az bozunmuş
Kopdağı 1 tünel güzergahı orta kesimindeki (Şekil- 20-21-22-e) Gurri formasyonu	Çokdüşük	Kaba	Çokdar	R1,S3	Az-orta bozunmuş
Kopdağı 1 ve Kopdağı 2 tünel güzergahları orta kesimindeki kop ultramafiti (Şekil-20-21-22-g)	Çokdüşük	Kaygan yüzeyli	Aşırı dar	-	Az bozunmuş
Kopdağı 2 tünel güzergahı Gurri Tepe'deki Gurri formasyonu (Şekil- 20-21-22-f)	Çokdüşük	Kaba	Aşırı dar	R1,S3	Az-orta bozunmuş
Kopdağı 1 ve Kopdağı 2 tünel güzergahları çıkış ağzındaki kop ultramafiti (Şekil-20-21-22-c)	Çokdüşük	Kaygan yüzeyli	Aşırı dar	-	Az-orta bozunmuş

#### IV.3. KAYA KÜTLESİ TANIMLAMALARI

Kayadaki tünellerin dizaynında üç temel yaklaşımından yararlanılır. Bunlar, analitik (hesapsal), gözlemsel ve empirik (deneysel) yaklaşılardır.

Günümüzde kaya kütlelerinin kompleks doğal yapılarını tanımlamada analitik yaklaşım en az kullanılır. Az kullanımının sebebi kompleks olan kaya şartlarında yeterli araştırmaların nadir yapılmasıdır. Bununla birlikte sonlu elemanlar metodu, sınır elemanlar metodu, bazı matematiksel çözümler veya photoelastisite gibi yöntemler değişken parametrelerin etkilerinin tayininde ve karşılaştırmalı dizayn şemalarında kullanışlıdır.

Yeni Avusturya Tünelcililik Metodu, inşa sırasındaki tünel davranışının izlenmesi ve ilerleyen projedeki destek seçimi veya değiştirilmesi gibi gözlemler üzerine dayandırılmıştır. Bu da gözlemsel yaklaşımın en ünlü örneğidir. Uygulamada aşırı gevşemeleri önlemede püskürtme beton ve kaya bülionu kombinasyonları kullanılır, fakat yaylanma ve kendi kendini destekleme karakteristiklerinin geliştirdiği deformasyonlara yeterince izin verilir.

Deneysel yaklaşım, önerilen bir yerdeki beklenilen şartları eski projelerdeki deneyimlerle karşılaştırmayı anlatır. Kaya kütlesi sınıflamaları, deneysel yaklaşımın temeli ni oluşturur. Kayada açılan tünellerde yaygın olarak kullanıldığı gibi kaya temelleri, kaya şevleri ve madencilik problemlerinde de kullanılırlar.

Bu incelemede, deneysel yaklaşımın kaya kütlesi tanımlamaları için daha kullanışlı, daha geçerli bir yöntem olduğu ve bu yaklaşımın temelini oluşturan kaya kütlesi sınıflamalarının önemi üzerinde ayrıntılı olarak durulmuştur.

Kaya kütlesi sınıflamalarına geçmeden önce, sınıflamanın tünel uygulamasında şu amaçlara sahiptir (Bieniawski 1976).

1. Kaya kütlesi kendi içinde benzer davranışlar gösteren gruplara ayrılmalı,
2. Herbir grubun karakteristiklerini anlatmak için bir temel oluşturulmalı,
3. Kayalardaki dizayn ve planlamaların kolaylaştırılması için kantitatif verilere ihtiyaç vardır,
4. Tünel projesi ile ilgili tüm şahısların arasında etkin haberleşme için ortak ana ilkeler bulunmalıdır.

Bu amaçlara sahip bir sınıflama sisteminin özellikleri ise şöyle olmalıdır (Bieniawski 1976).

1. Basit, kolay, hatırlanabilir ve anlaşılır,
2. Her terim açık ve kullanılan terminoloji kabul edilebilir yaygınıkta,
3. Sadece kaya kütlesinin en önemli özelliklerini kapsar,
4. Arazide uygun, çabuk ve ucuz testlerle tanımlanabilecek ölçülebilen parametreler bulunur.
5. Sınıflama sistemi sınıflama parametrelerinin öne mine bağlı düşünülerek bir temele oturtulmalı,
6. Destek dizaynı için kantitatif veriler basit sağlanmalı,
7. Genelde benzer kaya kütlelerinin bir tünel bir yamaç yada bir temel olarak kullanıldığına baksızın aynı temel sınıflamaya sahip olacağına yeterli olmalıdır.

Bu amaç ve özelliklere sahip RSR, RMR ve Q sınıflama sistemlerinin ayrıntılı tanıtımı, bu sınıflama sistemlerinin Kopdağı 1 ve Kopdağı 2 tünel güzergahlarına uygulamaları izleyen bölümlerde sunulmuştur.

#### IV.3.1. KAYA KÜTLESİ SINİFLAMALARININ TARİHSEL GELİŞİMİ

Tünelcilik konusunda yapılan ilk ayrıntılı sınıflama Terzaghi(1946)'ye aittir. Terzaghi Alp'lerdeki karayolu tünelinde yaptığı gözlemlerde çeşitli zemin tipleri olduğunu ve bu zeminlerin üzerinde yer alan kaya yüklerinin tünel

genişlik ve yüksekliğine bağlı değiştiğini belirtmiştir. Terzaghi bu gözlemleri sonucu basit bir kaya sınıflama sistemi geliştirmiştir ve bu sistemi çelik iksalı tünellerde kaya yükünü tahminde kullanmıştır (Tablo-24). Terzaghi'nin bu sınıflaması, tünel kazalarında çelik iksanın çok yaygın kullanıldığı günümüzden yaklaşık 50 yıl öncesi için, önemli bir gelişmedir. Bu sınıflama Amerika'da çelik iksalı tünellerde uzun yıllar başarı ile uygulanmıştır.

Sitini (1950), çoğunluğu metamorfit olmak üzere kayaçları kırılganlıklarına ve deformasyon durumlarına göre sınıflamış, basınç durumlarına göre sağlamdan çok baskılı kayaçlara kadar 9 sınıf ayırmıştır (Tablo-25). Her sınıf için oluşan çatlak boyunu ve karşılaşılacak durumları belirtmiştir. Sitini sınıflamasında ağaç tahkimata önem vermiş, ayrıca çok az zamana bağlı deformasyondan bahsetmiştir.

Rabcewicz (1958), kayaçları Terzaghi'nin sınıflamasına benzer şekilde sınıflamış ve bu sınıfları kimyasal bakımından ayrisma durumuna göre 3 gruba ayırmıştır (Tablo-26). Kayaçları kendi kendini tutma sürelerini sınıflamasında belirtmiş, her sınıf için geçici ve kalıcı sağlamlaştırma türünü açıklamıştır. Sağlamaştırma için çelik bağ, ağaç iksa, ankraj ve püskürtme betandan bahseden Rabcewicz bu iksa türlerinin boyutlarından hangi miktarlarda nasıl uygulanacağından bahsetmemiştir.

Lauffer (1958), kayaçları çok iyi ile, çok zayıf arasında 7 sınıfa ayırmış ve her sınıfın iksasız kendini tutma süresini vermiştir (Tablo-27). Lauffer tüneller için aktif iksasız açıklık ve iksasız kendi kendini tutma süresi gibi iki önemli kavramın üzerinde durmuştur. İksasız kendi kendini tutma süresi, yeraltı açıklığının kazadan sonra iksa yapılmaya kadar geçen zaman uzunlugudur. Aktif iksasız açıklık ise iki şekilde tanımlanmıştır, eğer tünel genişliği iksadan aynaya kadar olan mesafeden küçükse bu mesafenin kendisi, tersi ise tünelin kendi genişliğidir. Bu iki tanım Şekil-23'de

TABLO-24-TERZAGHI'NIN ÇELİK KEMER İKSALI TÜNELLER İÇİN KAYA YÜKÜ SINIFLAMASI  
Terzaghi's Rock Load Classification for Steel Arch-Supported Tunnels

Kaya Durumu	Kaya Yükü Hp(feet)	Açıklamalar
1.Sert ve sağlam	-	Kavlaklanma ve patlama meydana geliyorsa ince kaplama gereklidir.
2.Sert tabakala veya klivajlı	0-0.5 B	Kavlaklanmaları önlemek için, hafif kaplama Yükler noktadan noktaya düzensiz olarak değişebilir.
3.Masif,orta çatlaklı	0-0.25 B	
4.Orta bloklu ve düzensiz	0.25B-0.35(B+H <sub>t</sub> )	Yanal basınç yok.
5.Çok bloklı ve düzensiz	(0.35-1.10)(B+H <sub>t</sub> )	Az yada hiç yanal basınç yok
6.Tamamiyle parçalanmış fakat kimyasal olarak sağlam	1.10 (B+H <sub>t</sub> )	Kabul edilebilir yanal basınç sızan suların yumuşatıcı etkisi kaburganın tabanda bittiği yerde sürekli destek gereklidir.
7. Sıkışan kaya (orta derinlikte)	(1.10-2.10)(B+H <sub>t</sub> )	Aşırı yan basınç ve taban iksası gereklidir. Kaburgalar tavsiye edilir.
8.Sıkışan kaya (büyük derinlikte)	(2.10-4.50)(B+H <sub>t</sub> )	
9.Şişen kaya	(B+H <sub>t</sub> ) değerine bakımsızın.80'ye kadar gereklidir	Dairesel kaburga gereklidir. Çok özel durumlarda akmeye karşı dayanan iksa kullanılır.

AÇIKLAMA: B=Tünel genişliği (feet), H<sub>t</sub>= Tünel yüksekliği (feet),  
 Hp= Tünel tavanındaki kaya yükü (feet). Tablo tünelin 1.5(B+H<sub>t</sub>)'den daha derinde açılması halinde kullanılır. Yeraltı su seviyesinin üstünde açılan tünelerde bu değerler %50 azaltılabilir.

TABLO-25- STINI'YE GÖRE BEKLENEN DAĞ BASINÇLARI  
Stini's Mountain Pressures .

Basınca Göre 'Sınıflama	Kayaç Cinsi	Oluşan Çat�ak Boyu(m)	Açıklamalar
9 Çok baskılı kayaçlar	Şistler, kırılınan marnlar, ezilmiş kayaçlar, aşırı parçalanmış zonlar	40-60	Ağaç tahkimat, ne kadar sık ve sağlam olursa olsun kırılır.
8 Orta baskılı kayaçlar	Kırılınan, ince tabaklı şistler fillitler yumuşak marnlar, grafitik şistler ıslak kiltası	24-40	Çok sık ve sağlam ağaç tahkimatta oldukça önemli hasar görülür
7 Hafif baskılı kayaçlar	Kiltası, az deformasyonlu şistler, mikali kuvars şistler, kısa aralıklıkla bol killi, sert kayaçlar, orta dereceli milonit zonları, killi marnlar, doğal nemli mil, ıslak taban morenleri	15-25	Sık ve sağlam ağaç tahkimat yüksek basınç gerilmeleri altında
6 Çok kırılınan kayaçlar	İnce tabaklı, çok marnları kumtaşları, mikali fellitler bazı sert marnlar, kalkerli killeri, şistler, sahil morenleri	10-15	Kazı sırasında büyük gevsemeler, kavlaklan- malar görülür. Yeryer tavanda göçmeler olur.
5 Kırılınan kayaçlar	killi marnlar, bazı ince tabaklı, kırılınan kumtaşları tektonik oluşumlu dolomitler	4-10	Kazı sırasında oldukça sağlam fakat daha sonra büyük çatlama, kırılma ve kavlaklan- malar,
4 Orta kırılınan kayaçlar	Çok parçalanmış dolomitler (faylanma zonlarındaki)	2-4	Hafif hafif başlayan ve aylar geçtikçe artan kırılma ve kopmalar.
3 Az kırılınan kayaçlar	Fazla deformasyona uğramış iyice parçalanmış kuvars fillitler, kloritli şistler mikali ince kalker tabaklı kalkerli mikali şistler	1-2	Tahkimata etkisi az kazı sırasında kop- malar az ve haraketler ancak aylar sonra beklenebilir.
2 Yeterince sağlam kayaçlar	Mikali şistler, ince klivajlı gnayalar	0.5-1	İhmal edilebilecek kavlaklanma, ancak peki uzun süre sonra tahkimatsız yerlerde önemli hasarlar.
1 Sağlam ve çok sağlam kayaçlar		0-0.5	Yalnızca kazı dola- yışıyla kavlaklanma ve deformasyon

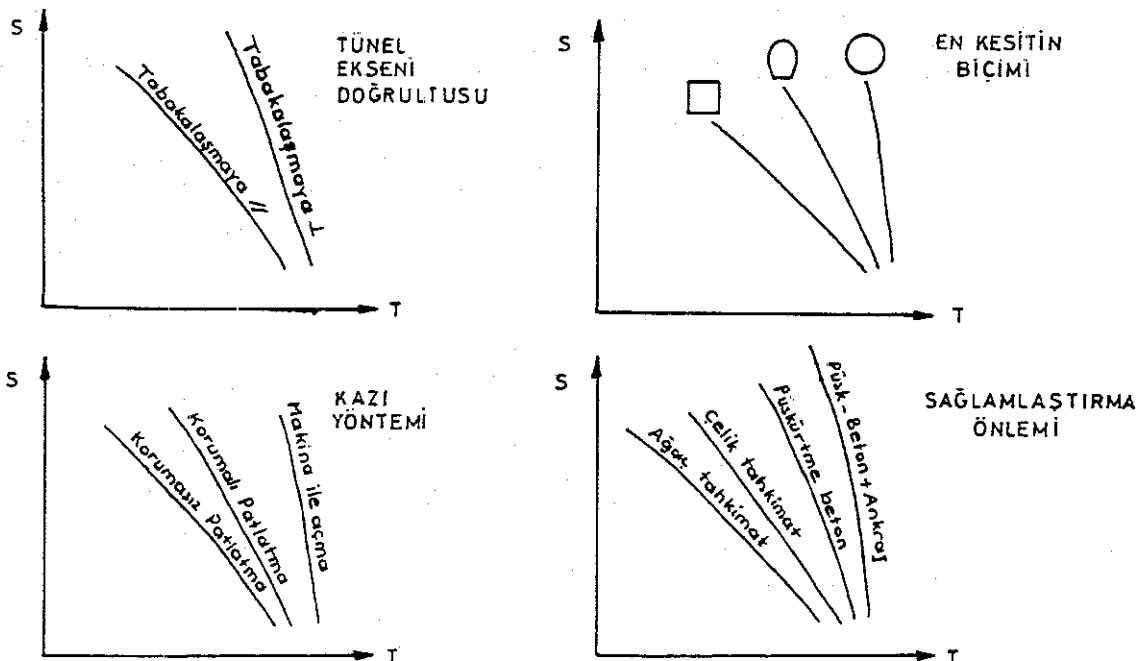
Tablo-26- Rabcewicz'e göre kaya sınıflaması  
Rabcewicz's rock mass classification.

Dağ türü	Kendini tutma süresi T(gün)	Sağlamalaştırma türü		
		Geçici		Kalıcı
		Çelik beton beton içinde Ankraj	Çelik bağ Ağaç iksa	
1 Sağlam som kaya	Kimya-sal ba-kımdan bozul-mamış	∞	Hiçbir sağlamlaştırma önlemeye gerek yok	
2 Tabakalı, klivajlı sağlam kaya		∞ - 24		Püskürtme beton ankraj beton kaplama
3 Çok çatlaklı, kırıklı kaya		24-1	Çelik ankraj	
4 Tümüyle parçalanmış kaya		0	-	Madenci tahkimati çelik bağ veya ağaç
5 Psödo (Yalancı) sağlam kaya		Jeolo-jik ko-şullara	Püskürtme be-ton,ankraj ge-lik hasır ma-ve su denci tahki-gelişi matına yardım ne bağ-cı olmak üze-li ola-re ek püskürt-rak birme beton ve kaç günankrajlar birkaç saat	Madenci tahkimati-nin ge-rektiği hallerde çelik ve Beton veya ağaç bağlar
6 Yüzeye yakın az baskılı kaya				
7 Derindeki çok baskılı kaya				
8 Kabarma-şişme basınçlı kaya				
9 Silt, kil			Henüz yeterin-ce tecrübe yok	
10 Kum, çakıl, mojoz kohezyonsuz ayrık kayaç	Kimya-sal olarak sağlam	0	-	Madenci tahkimati beton çelik bağ kaplama veya ağaç

TABLO-27-LAUFFER'E GÖRE KAYA SINIFLAMASI VE KENDİNİ TUTMA SÜRESİ  
Lauffer's rock mass classification and stand-up time.

Kaya Kalitesi	Kaya sınıfıflaması	Kendini tutma süresi	Atım Mesafesi(m)
AA	Sağlam	İstenildiği kadar uzun süre	-
B	Zamanla kırılınan	6 ay	4.0
C	Hafif kırılınan zamanla çok kırılınan	1 hafta	3.0
D	Kırılınan	5 saat	1.5
E	Çok kırılınan	20 dakika	0.8
F	Baskılı	2 dakika	0.4
G	Çok baskılı	10 saniye	0.15

görülebilir. Lauffer üzerinde durduğu bu iki kavramın farklı kaya sınıfları ile olan ilişkilerini bir diyagramda vermiştir (Şekil-24). Ayrıca iksasız açıklık ile kendini tutma süresinin tünel eksenine gidişi, kesit biçimini, kazı yöntemi ve iksa önlemi gibi faktörler tarafından da kontrol edildiğini belirtmiştir (Şekil-25).

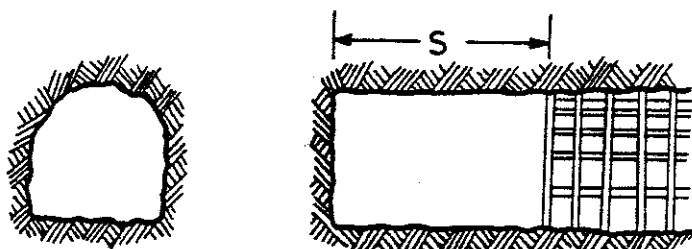


Şekil-25-Tünel açma sırasında kaya stabilitesini etkileyen faktörler.

Factors influencing rock mass stability during tunneling.

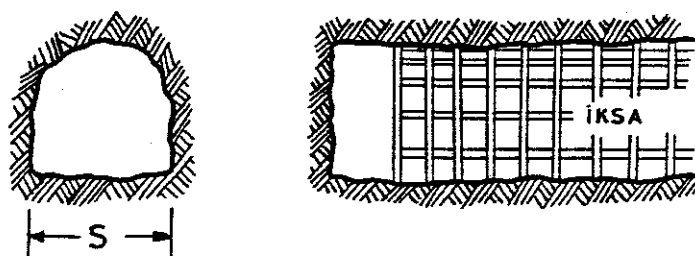
Şekil-23- Lauffer'e göre aktif iksasız açıklık S.

Lauffer's definition of active span S.



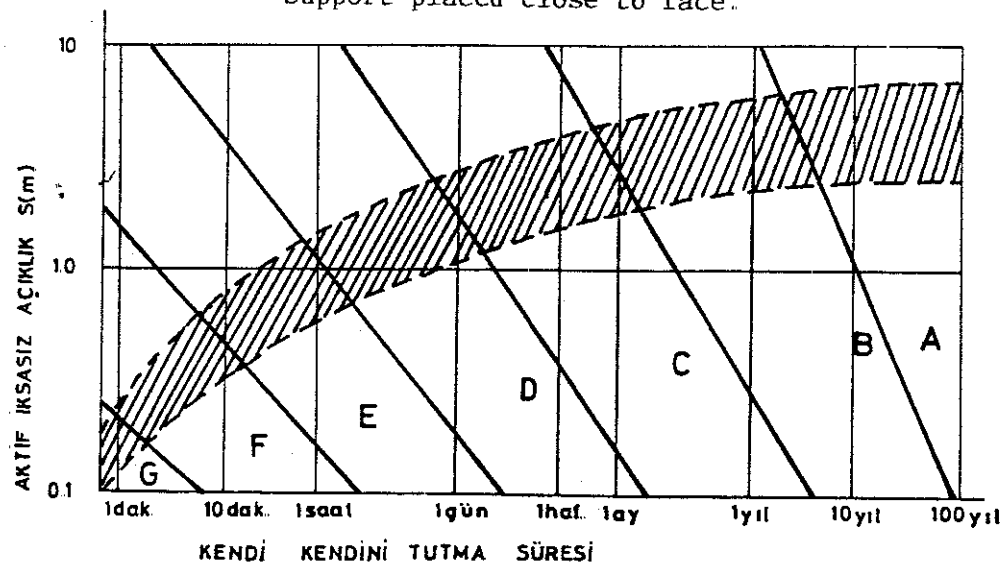
a- Tünel genişliğinin iksadan aynaya kadar olan mesafeden küçük olması durumu.

Support lagging behind face position



b- Tünel genişliğinin iksadan aynaya kadar olan mesafeden büyük olması durumu.

Support placed close to face.



Şekil-24-Farklı kaya sınıflarının aktif iksasız açıklık ve kendi kendini tutma süresi arasındaki ilişkisi.(Lauffer,1958)

Relationship between active span and stand-up time for different classes of rock mass.

Zanoskar (1964), Lauffer'in sınıflamasındaki tüm kaya sınıflarında ne tipte bir iksa önlemi alınması gerektiğini kaya kalitesi ile iksa türü arasındaki ilişkiyi göstermiştir. (Tablo-28).

Deere(1964), elmas uçlu sondajlardan elde edilen karotlarin uzunluklarına göre kaya kalitesini kantitatif olarak değerlendiren bir sınıflama sistemi geliştirmiştir. Bu kaya kalitesi tanımlaması (RQD) tünelerde iksa seçimi için yapılan sınıflamalarda çok geniş bir şekilde kullanılır. Kaya kalitesi tanımlaması (RQD) 10 cm ve daha uzun olan karotların ilerleme boyuna oranının % cinsinden ifadesidir.

$$RQD (\%) = \frac{\text{Karot parçasının boyu} \geq 10 \text{ cm}}{\text{Sondaj ilerleme boyu}} \times 100$$

RQD tanımlamalarında karot çapının en az 50 mm, kariyerin çift tüplü, elmas uçlu olması ve RQD tanımlamalarının her 2 m'de bir yapılması gereklidir. (Uluslararası Kaya Mekanığı Derneği (ISRM) RQD tanımlamalarının T tipi elmas uçla yapılan sondajlardan elde edilen karotun en az NX çaplı (2.16.inç=54mm), olmasını önermiştir.)

Deere'in geliştirdiği RQD değeri ile kaya kalitesi arasındaki ilişki aşağıdaki gibidir;

<u>RQD (%)</u>	<u>Kaya kalitesi</u>
<25	Çok fena
25-50	fena
50-75	orta
75-90	iyi
90-100	Pekiyi

Grob (1967), bir yeraltı kazısı sırasında metredeki çatlak sayısına göre kayaçları sağlam-baskılı arasında 4 sınıfa ayırmıştır. Ayırdığı her sınıfta kazı sırasında meydana gelen deformasyon ve yükler ile gerekli iksa önlemlerini açıklamışlardır (Tablo-29).

Tablo-28- Zanoskar'a göre destek önlemleri  
Zanoskar's support determination.

Kaya kalitesi (Lauffer'e göre)	Eski iksa Türü	Püskürtme beton	Kaya Ankrajı	Açıklamalar
A	-	Gerekli değil	Gerekli değil	-
B	Kavlanmaları tutan önlemler.	Kalot kısmında 2-3cm kalınlığında	Gerektiği takdirde	-
C	Ön süren veya sürme kaya	Kalotta 3-5 cm. kalınlığında çelik hasır gerekli	Ankraj aralık 1-1.5 cmank-rajlar hasırı taşımaktadır- lar.	Ankraj etkisi çok az. Çünkü hasırı taşımak için kaya civi-leri kullanılmaktadır.
D	Hafif tahkimat	Genellikle kalotta 5-7cm kalınlıkta çelik hasır zorunlu	Kalotta 0.7-1 m. aralık- larla	C'deki gibi
E	Ağır tahkimat	7-15 cm tavanda ve genişliğinde yanarda çelik hasır	Ankraj başla- rının tutması halinde kali- ci sağlamlaş- tırma önlemi olarak ank- rajlar, tavanı alttan destek- leme	Püskürtme beton ile tavanda ta- şiyıcı bir kubbe oluşunu çelik beton direkler kaplamadan içinde bırakılır
F	Arın tahkimati yapılmaksızın ön süren veya sürme kama	15-20cm veya daha kalın püskürtme beton, çelik bağ ve hasırlar. Arada gerektiğin- de püskürtme beton	Mümkün değil	Kaliplar dahil olmak üzere tüm bağlar ve iksa beton içinde bırakılır.
G	Domuz damlı	Mümkün değil	Mümkün değil	Bir önceki gibi madenci tahki- matı yerine kalkan kullanılması uygun olur

Tablo-29- Grob'a göre 4 kaya sınıfının tünel açımı esnasındaki belli başlı davranışları  
Grob's dominant behawier of 4 rock mass during tunneling.

	Sağlam	Hafif Kırılınan	Kırılınan	Baskılı
Tahkimat	Gereksiz en çok metreye 5 civata	Tel örgü veya püskürtme beton gereklili. 5 civatadan fazla. Arının 20 m. gerisinde çelik bağlı tahkimat gerekli olabilir.	İler atımdan sonra çelik taliimat, bağların arasında hazır beton levhalar veya gunit. Püskürtme beton	Ağır çepçevre kapalı taliimat (hemen atımdan sonra)
Kazi sırasında dikkati çeken hususlar	Pek az sayıda uyumsuz çatlaklar ayrışmaya temayül yok.	Uyumsuz çatlaklar ayrışmaya temayül yok.	Kopmalar, ayrılmalar, nemlenme ve kayganlaşma, kohezyon azalır, tavanda çekme çatlakları.	Çatlaklar boyunca kayma ve kopmaların devarlarında hızlı ve büyük deformasyonlar
Çatlak sayısı (m. başına)	1-5	1-10	50-100	-
Yapı çevresindeki gerilmeler	Çevredeki tegetsel gerilmeler kayacın ve taşın çekme ve basınç mukavemetinden daha küçük.	İegetsel gerilmeler kayacın basınç mukavemetinden ve taşın çekme ve basınç mukavemetinden daha küçük, fakat yaklaşık olarak kayacın çekme mukavemetine eşit.	İegetsel gerilmeler kayacın çekme ve basınç mukavemetinden ve taşın çekme mukavemetinden büyük fakat taşın basınç mukavemetinden büyük.	İegetsel gerilmeler hem taşın hemde kayacın çekme ve basınç mukavemetlerinden büyük.
Kazi profilindeki deformasyon	Birkaç mm'lik elasto-plastik deformasyon atımdan hemen sonra sükünet bulur.	Atımdan sonra bütünüyle sönen birkaç mm ile cm arasında elasto-plastik veya plastik deformasyon	Birkaç cm'yi aşmayan plastik deformasyon Atımdan kısa bir süre sonra hareketlerde durma görülür.	Tahkimatın hizina ve sağlamlığına bağlı olarak uzun süre devam eden plastik deformasyonlar
Tünel duvarına binen yük	Yok	Tahkimatin mükemmel yapıldığı hallerde yok	Basarılı taliimata yok	Örtü tabakasının kalınlığını, taliimatın cins ve sağlamlığı ile kaynakların özelliğine bağlı olarak değişen yük.

Cording, Hendron ve Deere(1972), Terzaghi'nin kaya yükü faktörünü geliştirmiş ve çelik iksali tüneller için RQD ile arasındaki ilişkiyi araştırmışlardır (Şekil-26).

Merit (1972), RQD'nin önemli bir tanım olduğunu söylemiş, eklemeleri ince kil dolgu ve ayırmış malzeme kapsayan kayaçlarda RQD tanımlamasının sınırlı kaldığını işaret etmiştir. Merit RQD'nin kullanım aralığını genişleterek, tünel genişliğine bağlı destek önlemlerini bir grafikte göstermiştir (Şekil-27).

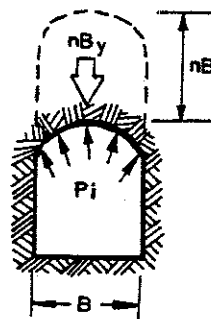
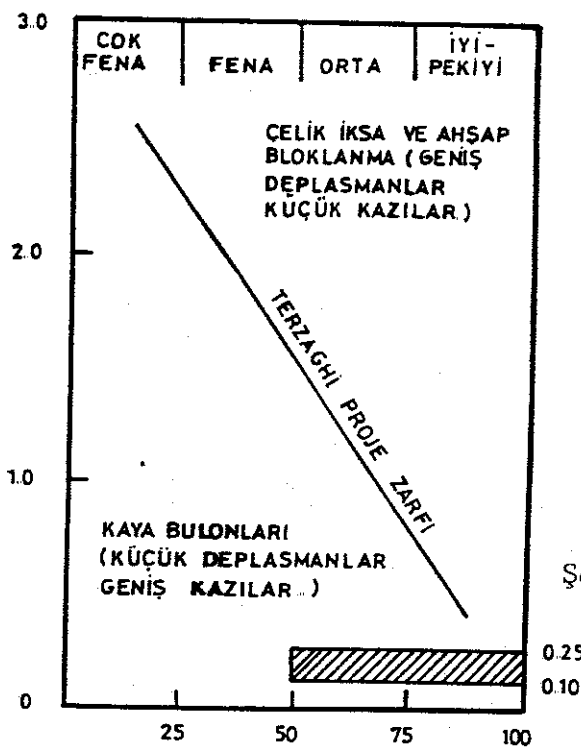
Brekke ve Howard (1972), çatlakları kil ve ayırmış malzeme kapsayan kayalarda RQD tanımlamasının yetersiz olduğunu ve bu dolgu malzemesinin kaya kütlesi tanımlamasında pek önemli olduğunu belirtmişler, dolgu malzemesini sınıflandırarak bunların tünel davranışına etkilerini açıklamaya çalışmışlardır.(Tablo-30).

Wickham, Tiedemann ve Skinner (1972), RSR kavramını ortayaatarak, kantitatif ilk ayrıntılı sınıflama sistemini sunmuş, Bieniawski (1973, 1974, 1976) RMR yada jeomekanik sınıflama sistemiyle, Barton, Lien ve Lunde (1974), ise Q sınıflama sistemiyle tünelerde kaya kütlesi ile destek önlemlerini saptamaya çalışmışlardır. Bu incelemede RSR, RMR ve Q sınıflama sistemleri esas alındığından ayrı bir bölüm halinde anlatılmıştır.

#### IV.3.2. KOPDAĞI 1 VE KOPDAĞI 2 TÜNEL GÜZERGAHLARI İÇİN YAPILAN KAYA KÜTLESİ SINIFLAMALARININ AYRINTILI TANITIMI

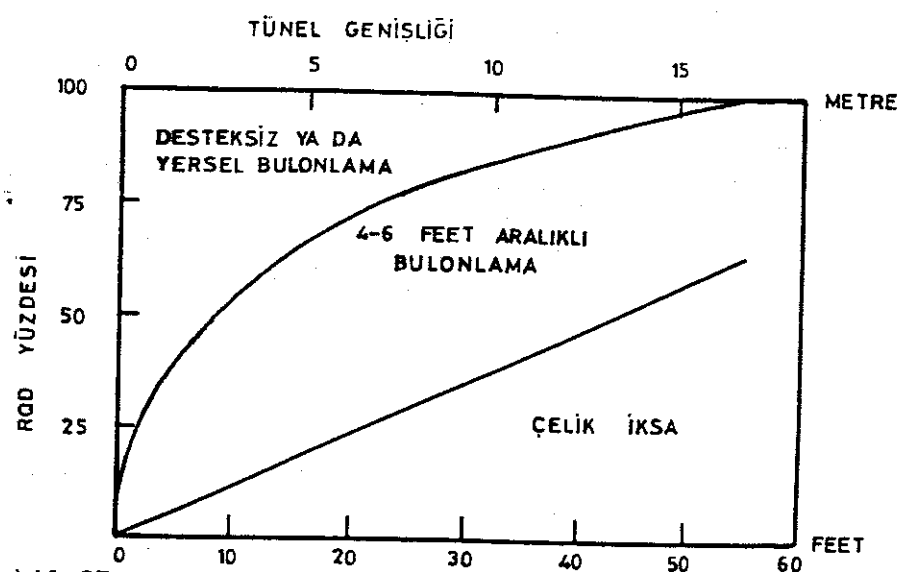
##### IV. 3.2.1. RSR

RSR kavramı Wickham, Tiedemann ve Skinner (1974) tarafından ortaya konmuş tünelerde kayanın yapısal değerini



Şekil-26- Terzaghi'ningeliştirilmiş kaya yükü faktörü ile RQD arasındaki yaklaşık ilişki. (Cording,Hendron ve Deere 1972).

Approximate relationship between Terzaghi's Rock load factor(modified)and RQD.



Şekil-27- Tunel genişliği ve RQD'ye bağlı destek seçimi (Merit,1972). Proposed use of RQD for choice of rock support system.

Tablo-30- Brekke ve Howard'a göre Süreksizlik dolgusunun tünel davranışının üzerindeki etkisi

Influence of discontinuity infilling upon the behaviour of Tunnels.

Hakim Dolgu Malzemesi	Dolgu Malzemesi'nin Muhtemel Davranışı	
	Kazı sonrası desteklemeden önce yüzeyde	Destekleme'den sonra
Şişen Kil	Serbest şişme ve çamurlaşma koruyucu iksa üzerine şişme basıncı ve baskı	Destek veya kaplamaya karşı şişme basıncı ve baskı, kaplama yetersiz ise şişme basıncı ile yıkılma yada yıkanma olur.
Aktif olmayan kil	Baskının neden olduğu çamurlaşma ve tünel duvarlarında ufalanma. Ağır baskı altında özel durumlar	İyi korunmamış yerlerde destek yada kaplamaya baskı, çamurlaşma yada duvarlarda ufalanma nedeniyle çevresel değişim.
Klorit, Talk, Grafit, Serpentin*	Kaya düşmesi	Ortam(taneler) nemli ise, düşük gerilmeler aşırı yük gelişimine neden olabilir.
Parcalanmış kaya yada kum gibi dolgu**	Kaya düşmesi yada zemin akması kendi kendini tutma süresi çok kısa olabilir.	Eğer düşme ve akmalar iyi desteklenmemişse serbestse kaplamada yük kayipları olabilir.
Gözenekli veya taneli kalsit, jips	Uygun durumlar	Çözülmeler, kaya kütlesinin duraysızlığına yol açabilir.

\* Bu grup bloklu dolgu malzemesini içerir.

\*\* Bu gruptaki dolgu malzemeleri tipik kohezyonsuz davranış gösterirler.

(Rock Structure Rating-RSR) belirlenilen bir destek tahmin sistemidir. Tüneller için yapılan daha önceki tüm kaya kütlesi sınıflama sistemleri jeolojik gözlemler yada sondaj karotları esas alınarak yapılmakta idi, RSR sisteminde ise kaya kütlesinde yapılan jeolojik gözlemlerle kaya kütlesine çeşitli puanlar verilmekte ve bunların tümünün birleşmesi RSR değerini oluşturmaktadır. Bulunan RSR değerine göre bir tablo yardımıyla uygun destek önlemide seçilmektedir. Böylece RSR sisteminin tünelcilikte kullanılan kaya sınıflama sistemlerinden kantitatif olan ilk ayrıntılı kaya sınıflama sistemi olduğu söylenebilir.

RSR sistemi kendinden önceki sınıflama sistemlerinden farklı üç temel özelliği vardır. İlk; Terzaghi (1946)'nin sınıflama sisteminden sonra ilk ayrıntılı sınıflama sistemi olmasıdır, ikincisi; sadece karot kalitesine bağlı RQD indeksinden farklı çeşitli sınıflama parametreleri içermesidir. Üçüncü; Lauffer (1958)'in sınıflamasında, kaya sınıfına basit bir şekilde karar verilir ve kendi kendini tutma süresi, aktif iksasız açıklık gibi çıktı terimleri verilir, RSR'de ise fark girdi ve çıktı terimleri sınıflamada bir bütün olarak değerlendirilir.

Wickham, Tiedemann ve Skinner kaya kütlesinin destek ihtiyacının tayininde iki parametrenin etken olduğunu ve yapılacak bir sınıflamada bu parametrelerin gözönüne alınması gerektiğini vurgulamışlardır. Bunlar jeolojik parametreler ve yapı parametreleridir. Jeolojik parametreler: a) Kaya tipi b) Eklem örneği (eklemelerin ortalaması aralığı), c) Eklemelerin yönlenimi (doğrultu ve eğim), d) Süreksizliklerin tipi, e) Büyük faylar, makaslamlar ve kıvrımlar, f) Kaya malzeme özellikleri, g) Ayırışma ve bozuşma. Yapı parametreleri: a) Tünel boyutu, b) Tunelin kazı yönü, c) Kazı metodu. Bu faktörlerin tümü birbirleriyle ilişkilidir, bir kısmı arasında doğru bir şekilde tanımlanıldığı gibi bir kısmı ancak

genel yaklaşımalar, yardımıyla tanımlanabilir.

Wickham, Tiedemann ve Skinner tüm bu faktörleri göz- önünde bulundurarak çeşitli durumlar için üç temel parametre oluşturmuşlardır. Bunlardan ilk, RSR A parametresi, kayanın genel jeolojik tanımlamasını (Tablo-31), ikincisi, RSR B parametresi şüreksizliklerin tünel açma yönüne etkilerini (Tablo-32) ve üçüncüsü RSR C parametresi yeraltısuyu akımı etkisini içerir (Tablo-33). Bu parametreleri maddeler haliinde şöyle gösterebiliriz;

#### RSR.A

- 1- Kayanın kökeni (magmatik, metamorfit, sedimanter),
- 2- Kayanın sertliği (sert, orta, yumuşak, ayrılmış),
- 3- Jeolojik yapı (masif, az faylı yada kıvrımlı, orta derecede faylı yada kıvrımlı, çok faylı yada kıvrımlı).

#### RSR.B

- 1- Eklem aralığı,
- 2- Eklem yönlenimi (doğrultu ve eğim),
- 3- Tünel açma yönü.

#### RSR.C

- 1- Birleştirilmiş A ve B'ye göre tüm kaya kütlesi niteliği,
- 2- Eklem durumu (iyi, orta, zayıf),
- 3- Su akım miktarı (bir ayak boyundaki tünelde, dakika kada galon olarak).

Bu saydığımız parametreler içinde RQD tanımlaması yer almaz. Wickham, Tiedemann ve Skinner RQD'nin kaya tipi ile her feet'deki kırık sayısı ile ilgili olduklarını söylemişler ve RQD tanımlamasını kaya tipi içerisinde kullanmışlardır (Tablo-34).

Tablo-31 - RSR A parametresi.

RSR, parameter A.

Ana Kaya Tipi		Kayanın Sertliği				Jeolojik Yapı			Max değer 30
Kayanın Kökeni	Sert	Orta	Yumuşak	Ayrışmış		Masif	Az faylı veya kıvrımlı	Orta derecede faylı veya kıvrımlı	Çok faylı veya kıvrımlı
Magmatik	1	2	3	4					
Metamorfit	1	2	3	4					
Sedimantler	2	3	4	4					
Tip 1					30		22	15	9
Tip 2						27		20	13
Tip 3						24		18	12
Tip 4					19		15	10	6

Tablo-32- RSR B Parametresi.

RSR, Parameter B.

Max değer 45

Doğrultu Eksene Dikkat		Doğrultu, Eksene Paralel	
Açma Yönü		Açma Yönü	
Her ikisi	Eğim Yönünde	Eğimin tersi yönünde	Her ikisi
Önemli eklemelerin eğimi			
$0^{\circ}$ - $20^{\circ}$	$20^{\circ}$ - $50^{\circ}$	Düşey $50^{\circ}$ - $90^{\circ}$	Düşey $50^{\circ}$ - $90^{\circ}$
9	11	13	10
1-Çok sık eklemli	13	16	19
2-Sık eklemli	23	24	28
3-Orta derece eklemli			19
4-Orta-Bloklu	30	32	25
5-Bloklu-Masif	36	38	40
6-Masif	40	43	45
			37
			40
			40
			38
			34

Tablo-33-RSR C parametresi.

RSR, parameter C.

Max değer 25

		A ve B Parametrelerinin Toplamı			
Beklenen Su		13-44	45-75		
Akımı	Dakikada galon (1000')	Eklem Durumu*			
		İyi	Orta	Fena	İyi
Hic yok	22	18	12	25	22
Az ( < 200 dakikada galon)	19	15	9	23	19
Orta (200-1000 dakikada galon)	15	11	7	21	16
Çok <td>10</td> <td>8</td> <td>6</td> <td>18</td> <td>14</td>	10	8	6	18	14
					10

\* Eklem Durumu; İyi=Sıkı yada şimentolu, Orta=Az ayrılmış, Fena=Çok ayrılmış yada açık

Tablo-34-Karot analizi.

Core analysis

Kaya Tipi	R Q D				
	0-25 %	25-50 %	50-75 %	75-90 %	90-100 %
	Kırık sayısı (her feet'teki kırık)				
	> 4.5	3-4.5	2-3	1-2	≤ 1
	Çok fena	fena	orta	iyi	Pekiyi
Magmatik	6	16	24	30	35
Sedimanter	4	10	16	24	35
Metamorfit	5	12	18	27	35

RSR A, B, C parametrelerinin toplamı bize RSR değerini verir. Bu değer kaya kalitesi ile destek ihtiyacını yansıtır. Bulunan RSR değeri ile kaya yükü arasında bir ilişki olduğunu belirten Wickham, Tiedemann ve Skinner bu ilişkiye aşağıdaki eşitlikle vermişlerdir;

$$RSR = \left[ \frac{6000}{\left( \frac{302 Wr}{D} \right) + 70} \right] - 8 \quad Wr = \frac{D}{302} \left( \frac{6000}{RSR+8} - 70 \right)$$

Wr = Kaya yükü (Kips per sq.ft.)(k/ft<sup>2</sup>)

D = Tünel çapı (ft)

Bu iki eşitlik kullanılarak kaya yükü ve tünel çaplarıının çeşitli durumlarına karşılık gelen RSR değerleri Tablo-35 de verilmiştir.

Wickham, Tiedemann ve Skinner kaya bulonu ve püskürme beton için aşağıdaki eşitlikleri vermiştir;

24.000 libre yük taşıyan, 1, 1 1/4, 5/8, 3/4 inç çaplı bulonları için,

Tablo-3-5- Tünel çapına bağlı RSR değeri ile kaya yükünün karşılaştırması.

$$1 \text{ inç çaplı kaya bulonu için } s = \sqrt{\frac{24}{Wr}}$$

$$1 \frac{1}{4} \text{ inç çaplı kaya bulonu için } s = \sqrt{\frac{37.5}{Wr}}$$

$$\frac{5}{8} \text{ inç çaplı kaya bulonu için } s = \sqrt{\frac{9.2}{Wr}}$$

$$\frac{3}{4} \text{ inç çaplı kaya bulonu için } s = \sqrt{\frac{13.5}{Wr}}$$

Püskürtme beton için,

$$t = 1'' + \frac{Wr}{1.25} \quad t = \frac{D}{150} (65-RSR)$$

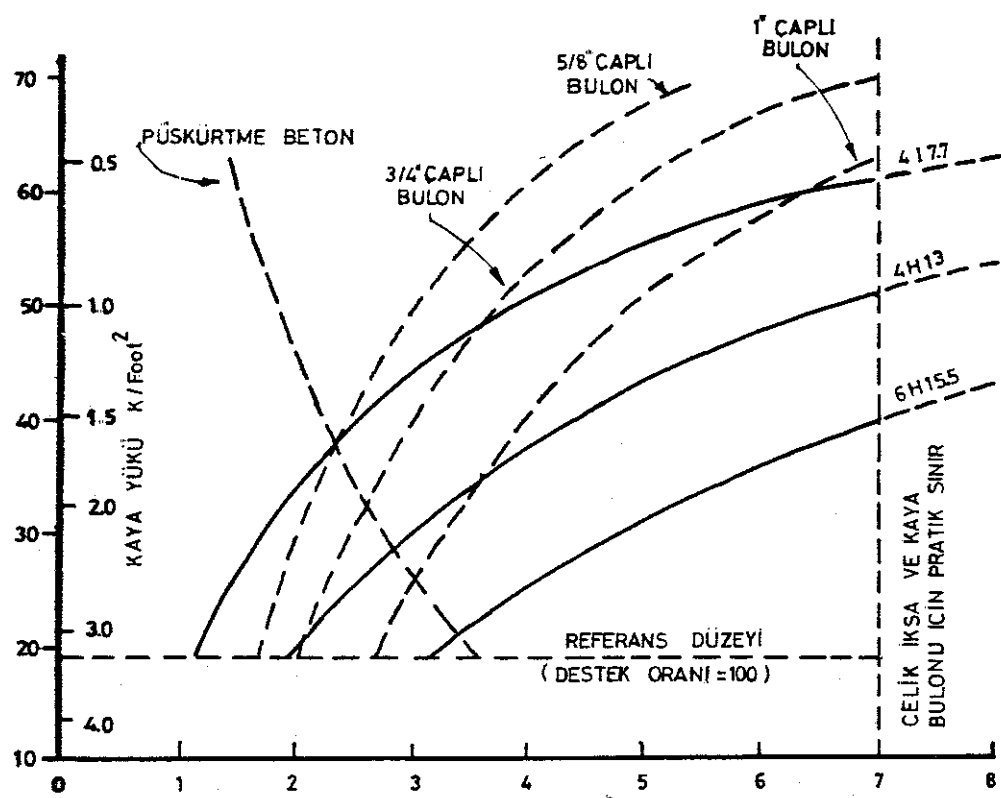
s= Bulon aralığı (feet)

t= Püskürtme beton kalınlığı (inç)

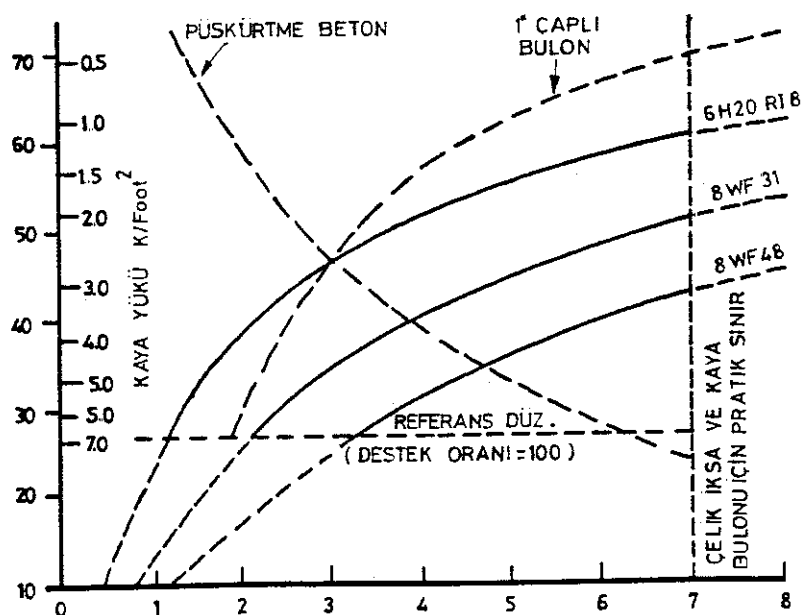
Verilen tüm bu değerler (RSR, Wr, s, t) Wickham, Tiedemann ve Skinner tarafından aynı bir şekil üzerinde birleştirilmiş ve 10,20 ve 24 ft. çaplı tüneller için destek tabloları hazırlanmıştır (Şekil-28,29,30). Destek tablolalarını incelediğimizde RSR değeri 19'dan küçük olan kaya-larda kuvvetli iksa 80 ve daha fazla olanlarda ise iksa gerekmediği söylenebilir. Destek tabloları delme patlatma ile tünel açıldığı zamanki destek durumlarını yansıtır. Ancak makine ile tünel açma delme ve patlatma ile tünel açmadan daha az destek gerektirdiğinden, makine ile tünel açıldığı zaman kullanılmak için bir indirgeme faktörü gereklidir. Bu faktör Wickham, Tiedemann ve Skinner tarafından tünel şapına bağlı RSR düzeltme faktörü olarak Şekil-31 de verilmiştir.

#### IV.3.2.2. RMR

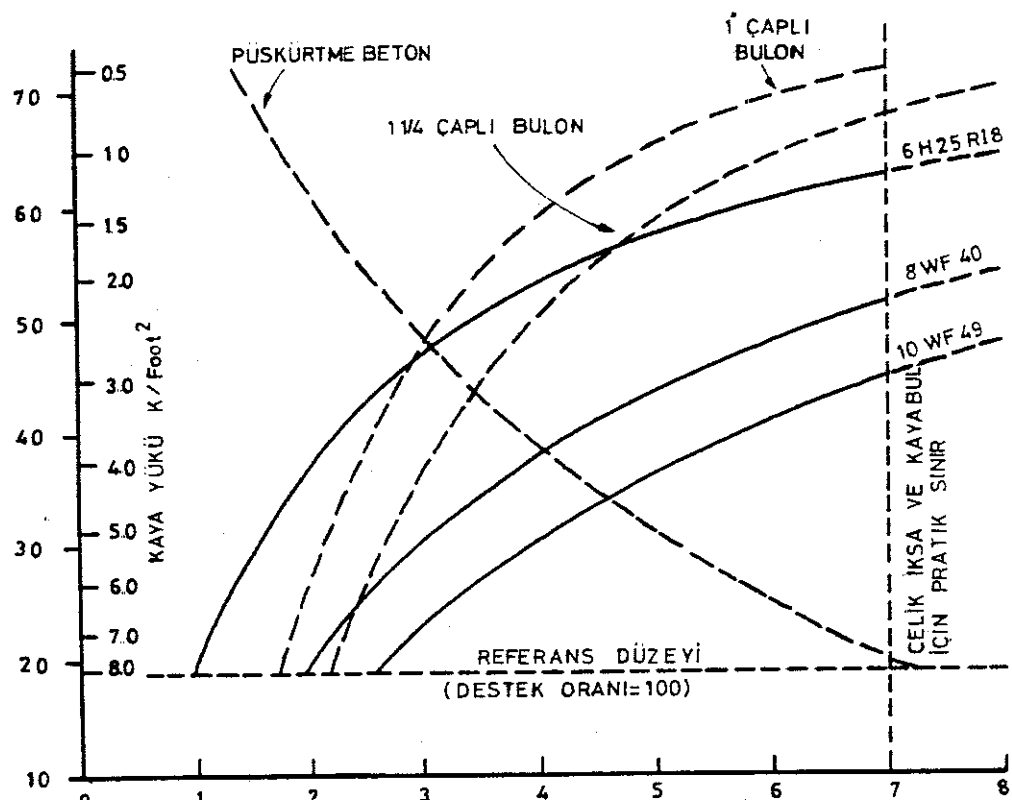
RMR Bieniawski (1973) tarafından ortaya konmuş bir sınıflama sistemidir. Jeomekanik sınıflama olarak da bilinen bu sınıflama sistemi, Kaya Külesi Değeri (Rock Mass Rating= RMR)'nin bulunması ve uygun destek önlemlerin seçilmesini belirler.



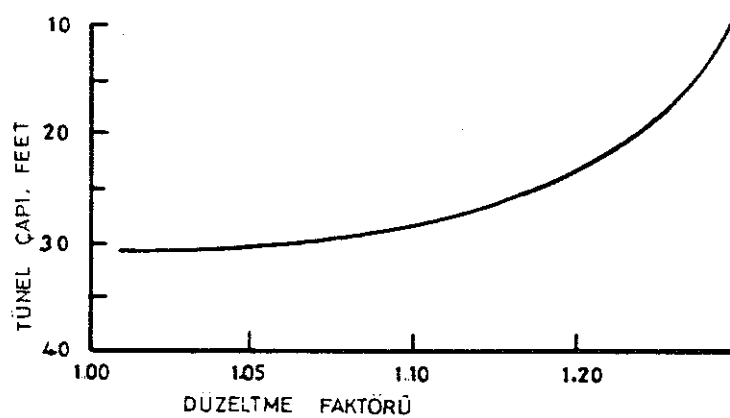
İksa aralığı; FT, Bulon aralığı;FT<sup>2</sup>, Püskürtme beton kalınlığı;İNÇ.  
Şekil-28-10 feet çaplı tünel için destek tablosu (Wickham vd. 1974).  
Support chart for 10-ft-diam tunnel.



İksa aralığı;FT, Bulon aralığı;FT<sup>2</sup>, Püskürtme beton kalınlığı;İNÇ  
Şekil-29- 20 feet çaplı tünel için destek tablosu (Wickham vd. 1974).  
Support chart for 20-ft-diam tunnel.



İksa aralığı; FT, Bulon aralığı; FT<sup>2</sup>, Püskürtme beton kalınlığı; İNÇ.  
 Şekil-30-24 feet çaplı tünel için destek tablosu (Wickham vd.1974).  
 Support chart for 24-ft-diam tunnel.



Şekil-31- Makina ile tünel açmada RSR düzeltme faktörü (Wickham vd.1974)  
 RSR adjustment factor for machine tunneling.

Bieniawski'nin ilk önerdiği sınıflamada şu parametreler yer almıştır;

- a-Kaya kalitesi tanımlaması (RQD),
- b-Ayrışma durumu,
- c-Kayanın tek eksenli basınç direnci,
- d-Eklem sıklığı ve tabakalanma,
- e-Doğrultu ve eğim düzeltmesi,
- f-Eklemlerin ayrılması,
- g-Eklemlerin devamlılığı,
- h-Yeraltısu akımı.

Bu önerilen sınıflama parametreleri, Bieniawski (1976) tarafından, bazı deney ve pratikteki uygulamalar sonucu değiştirilerek geliştirilmiştir. Ayrışma durumunu, tek eksenli basınç direncini direkt etkilediğinden, elimine eder. Eklemlerin ayrılması ve devamlılığını, eklemlerin durumu adı altında yeniden değerlendirir. Doğrultu ve eğim düzeltmesini temel sınıflama parametrelerinden ayırır ve düzeltme etkisini temel parametrelerin hesabından sonra değerlendirir. Bieniawski'nin beş temel parametresi şöyledir;

- a-Kayanın tek eksenli basınç direnci,
- b-Kaya kalitesi tanımlaması(RQD),
- c-Eklem sıklığı,
- d-Eklemlerin durumu,
- e-Yeraltısu durumu.

Kayanın tek eksenli basınç direnci, Deere ve Miller (1966)'in geliştirdiği sınıflama sisteminden alınmıştır (Tablo-36). Sondaj karotlarından yada araziden getirilen blok numunelerden alınan karot örnekleri üzerinde standart laboratuvar deneyleriyle kayanın tek eksenli basınç direnci belirlenebilir. Ancak Bieniavski kaya sınıflamaları için nokta yük direncini önermiştir. Basit ve kolay taşınabilir bir ekipmanla arazide çabuk bir şekilde tayin edilebilir, ayrıca deneyin karot numunedede yapılmasını gerektirir bir şartta yoktur.

RQD tayini tünelerde destek seçiminde çok faydalıdır. Deere(1964) tarafından ortaya konan bu tanımlama sondajlardan elde edilen karotlar yardımıyla basit bir şekilde tanımlanır.

Eklem sıklığı, teriminde yer alan eklemin anlamı, eklem, tabaka düzlemi, küçük faylar ve diğer kusurlu yüzeyler gibi süreksizliklerdir. Bu süreksizlikler, kaya kütlesinin tüm davranışını kontrol ederler, süreksizliklerin artması kaya kütlesinin direncini azaltır. RQD indeksi kaya kütlesinin eklem sıklığını tanımlayamaz, çünkü RQD sadece karot üzerindeki eklem sıklığını gösterir. Eklem sıklığı parametresi Deere (1968) tarafından yapılan sınıflamadan alınmıştır (Tablo-37).

Tablo-36- Sağlam kayanın direncine göre sınıflaması (Deere, Miller, 1966)  
Deere and Miller's classification of intact rock strength.

Tanımlama	Tek eksenli basınç direnci lbf/in <sup>2</sup>	kgf/cm <sup>2</sup>	MPa	Örnek kaya tipi
Çok düşük dirençli	150-3500	10-250	1-25	Tebeşir, kayatuzu
Düşük dirençli	3500-7500	250-500	25-50	Kömür, silttaşısı, sist
Orta dirençli	7500-15000	500-1000	50-100	Kumtaşısı, sleyt, şeyl
Yüksek dirençli	15000-30000	1000-2000	100-200	Mermel, granit, gnays
Çok yüksek dirençli	>3000	>2000	>200	Kuvarsit, dolerit, gabro, bazalt.

Tablo-37- Eklem sıklığına göre sınıflama (Deere, 1968)  
Deere's classification for joint spacing.

Tanımlama	Eklemelerin Sıklığı		Kaya kütlesi sınıfı
Çok geniş	>3 m	>10 ft.	Katı
Geniş	1 m-3 m	3ft- 10 ft	Masif
Orta kapalı	0.3 m-1 m	1 ft- 3 ft	Bloklu-Biçimsiz
Kapalı	50 mm-300 mm	2 in-1 ft	Kırıklı
Çok kapalı	<50 mm	<2 in	Kırılmış ve Parçalanmış

Eklemelerin durumu, eklem yüzeyinin pürüzlülüğünü, devamlılığını, açıklığını yada ayırmasını (iki yüzey arasındaki), dolgu malzemesini ve kaya duvarlarındaki ayrışmayı kapsar. Pürüzlülük, eklem yüzeyinin durumunu karakterize

eden en önemli özelliktir. Uygulamalarda aşağıdaki şekilde tanımlanır;

- a- Çok pürüzlü: Süreksizlik yüzeyi düşey basamak ve sırtlar kapsar,
- b- Pürüzlü: Bazı sırt ve yay şeklinde basamaklar, yüzeye elle dokunulduğunda çok aşındırıcıdır,
- c- Az pürüzlü: Yüzey keçe gibidir,
- d- Pürüzsüz: Yüzeyin temizliği elle dokunulduğunda ve gözle bakıldığında görülür,
- e- Kayma yüzeyli: Sürtünme izleri ve parlak yüzeyler görülebilir.

Eklemlerin devamlılığının etkisi genişstir ve kaya kütlesinin davranışını süreksizlikler ayırrı. Tünellerde süreksızlığın devamlılığı tünel genişliğinden büyük ve tamamen devamlı olduğu düşünülmekle beraber bu devamlılık tanımlanmalıdır. Ayrılma yada iki süreksizlik yüzeyi arasındaki mesafe süreksizliğe akabilecek su miktarını kontrol eder. Eğer bir engel yoksa süreksizlik yüzeyleri arasındaki eklem dolgusu süreksızlığın kesme direncini direkt olarak etkiler. Çatlak boyunca kesmi direnci ayrılma derecesi, dolgu malzemesinin varlığı yada yokluğu, süreksizlik yüzeyinin pürüzlüğü ve dolgu malzemesinin cinsine bağlıdır. Süreksizlik yüzeyinde ayrılma aşağıdaki gibi tanımlanır;

- a- Çok sıkı: <0.1 mm.
- b- Sıkı : 0.1-0.5 mm.
- c- Orta açık : 0.5-2.5 mm.
- d- Açık : 2.5-10mm.
- e- Geniş : 10-25 mm.

(Eğer iki süreksizlik arasındaki mesafe 25 mm. den fazla ise ana süreksizlik olarak tanımlanır.)

Dolgu malzemesi iki özelliği ile belirlenir;

- a- Dolgu kalınlığı,
- b- Dolgunun kesme direnci, permeabilite ve deformasyon gibi karakteristikleri.

Kaya duvarındaki ayrışma, Amerikan İnşaat Mühendisleri Birliği'nin Hizmet Komitesi (American Society of Civil Engineers (ASCE) Task Committee) tarafından önerilen ayrışma sınıflaması ile aşağıdaki gibi belirlenir;

- a- Ayrışmamış: Temiz kaya, parlak kristaller gibi ayrışma ile ilgili, açık olmayan işaretler belirtilir,
- b- Az ayrılmış kaya: Süreksizlik lekeli yada boyanmıştır ve ince bir dolgu bulunabilir. Boyanma süreksizlik açıklığının %20'si kadar kaya içine ilerleyebilir,
- c- Orta ayrılmış kaya: Süreksizlik altere malzemeden bir dolgu kapsayabilir ve boyanma kaya içine süreksizlik açıklığının %20'sinden fazla bir mesafede gelişebilir,
- d- Aşırı ayrılmış kaya: Kayanın orjinal dokusu korunmakla beraber, taneler ayrılabilir. Boyanma kaya içine doğru gelişir ve kayada parçalanma görülür,
- e- Tamamen ayrılmış kaya: Kaya tamamen boyanır ve parçalanır, dış görünüş zemine benzer, kayanın dokusu bazı yerlerde korunmakla beraber taneler tamamen ayrılmıştır.

Yeraltısuyu durumu, tünelde her 1000 ft'te dakikada galon olarak yeraltı suyu akımı olarak tanımlanır, yada kuru nemli, ıslak, damlayan ve akıcı gibi genel durumlar tanımlanmalıdır. Ayrıca suyun basınçlı olup olmadığı gözlenmelidir.

Açıklamaya çalışılan bu beş temel sınıflama parametresi bir bölge için belirlendikten sonra Tablo-38 A bölümündeki yardımcı ile her parametrenin derecelendirmesi yapılır ve bulunan değerler toplanır. Bu işlemden sonra önemli bir adım doğrultu, eğim yönü ve eğim miktarına göre yapılacak düzeltmedir. Doğrultu, eğim düzeltmesinin tünel durayılılığı üzerine etkili olduğu Wickham, Tiedemann ve Skinner (1974) tarafından ortaya konmuştur. Bieniawski bu değerleri kullanmış ve uygunluklarına göre derecelendirmiştir. (Tablo 38 B bölüm). Uygunluk terimi Tablo-39'da açıklanmıştır. Bu düzeltme derecesini, beş temel parametreden elde ettiği dereceye ilave etmiştir (Düzeltme derecesi negatif (-) olduğundan, temel parametrelerin derecesine ilavesi toplama değil,

Tablo-3-8-RMR sınıflama sistemi (Bieniawski, 1976)  
RMR classification system.

A. SINIFLAMA PARAMETRELERİ VE DERECELERİ						Yegelenen tek ek senli basinc de neyint kullan 10-25 MPa   3-10 MPa   1-3 MPa
	Sağlam kaynları 1 direnci	Nokta yük Tek eksenli basinc dir.	>8 MPa >200 MPa	4-8 MPa 100-200 MPa	2-4 MPa 50-100 MPa	25-50 MPa
Derecelendirme		15	12	7	4	2 1 0
Sondaj Karot Kalitesi RQD	%90-%100	%75-%90	%50-%75	%25-%50	< %25	
Derecelendirme	20	17	13	8	3	
Eklemlerin sıklığı	>3m.	1-3 m.	0.3-1 m.	50-300 mm.	< 50 mm.	
Derecelendirme	30	25	20	10	5	
Eklemlerin durumu	Çok kaba yüzler Sürekli değil Ayrılma yok Eklemli sert duvar kayası	Az kaba yüzler Ayırırm <1 mm. Eklemli sert duvar kayası	Az kaba yüzler Ayırırm <1 mm. Eklemli yumuşak duvar kayası	Sürtünme izli yüzler veya fay kili<5mm. veya 1-5mm. açık ek- lemler sürekli li eklemler	Yumuşak fay kili >5mm. kalınlık veya açık ekle- mler >5mm. süre- kli eklemler	
	25	20	12	6	0	
Derecelendirme	Tünelin 10m.lik kısından gelen su veya Eklemdeki su basinci Oran Ana asal gerilme Genel koşullar	Yok 0 veya Tamamen kuru (kırıklardakisi)	<25 litre/dak veya 0.0-0.2 veya Yalnızca kuru (kırıklardakisi)	25-125 litre/dak veya 0.2-0.5 veya Orta basinc altinda su	>125 litre/dak veya > 0.5 veya Önemli su problemleri	
Derecelendirme	10	7	4	0		

Tablo-38' in devamı

B. EKLEM YÖNLENİMİNE GÖRE DÜZELTME		
Eklemelerin doğrultu ve eğim yönlenimi		Çok uygun
Tüneller	0	-2
Temeller	0	-2
Yamaçlar	0	-5

C. KAYA SINIFLAMALARI VE DERECELERI

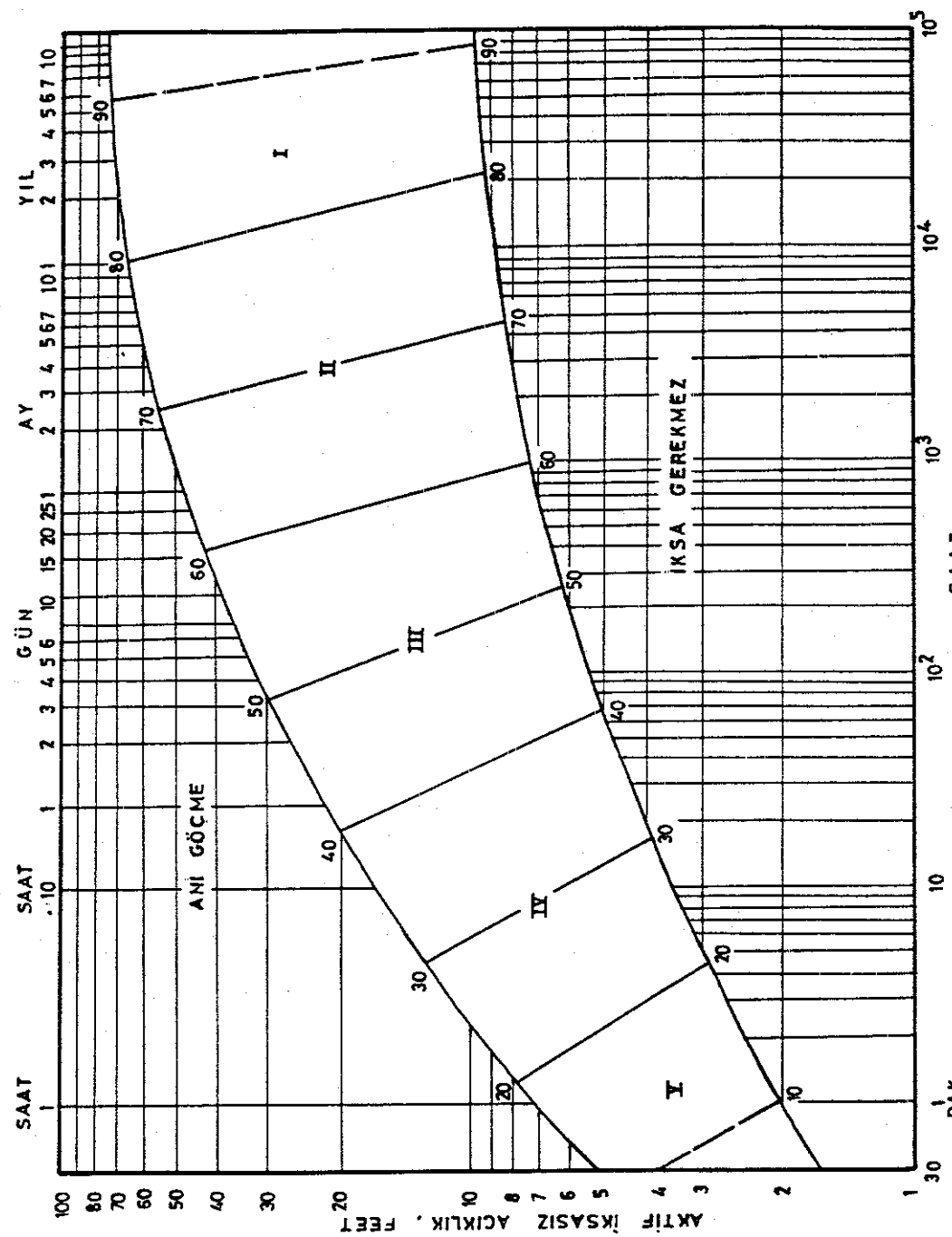
Sınıflama No	I	II	III	IV	V
Tanımlama	Çok iyi kaya	İyi kaya	Orta kaya	Zayıf kaya	Çok zayıf kaya
Derecelendirme	100-81	80-61	60-41	40-21	<20

D. KAYA SINIFLAMA YORUMLARI

Sınıflama No	I	II	III	IV	V
Ortalama dayanma süresi	5m. açılıklıkta	4m. açılıklıkta	2m. açılıklıkta	1.5m. açılıklıkta	0.5m. açılıklıkta
	10 yıl	6 ay	1 hafta	5 saat	10 dakika
Kaya kütleşinin kohez.	>300 kPa	200-300 kPa	150-200 kPa	100-150 kPa	<100 kPa
Kaya kütleşinin sürt.ası.	>45°	40°-45°	35°-40°	30°-35°	<30°
Cevherin kazılabilirliği	Çok zayıf	Kolaylıkla büyülük	Orta	Kolaylıkla kazılır	Çok iyi
		parçalar çökmez		iyi parçalanma	

Tablo-39- Eklem doğrultu, eğimine göre uygunluğunun belirlenmesi (Bieniawski, 1976)  
The effect of joint strike and dip orientations in tunnelling

Tünel eksenine dik doğrultu		Tünel eksenine paralel doğrultu		Doğrultuya bakılmaksızın	
Eğim yönünde açım	Eğime dik açım				
Eğim $45^{\circ}$ - $90^{\circ}$	Eğim $20^{\circ}$ - $45^{\circ}$	Eğim $45^{\circ}$ - $90^{\circ}$	Eğim $20^{\circ}$ - $45^{\circ}$	Eğim $20^{\circ}$ - $45^{\circ}$	Eğim $0^{\circ}$ - $20^{\circ}$
Çok uygun	Uygun	Orta	Uygun değil	Hiç uygun değil	Orta



**İKSASIZ KENDİ KENDİNİ TUTMA SÜRESİ**

Şekil-3-2-Aktif iksasız açıklık ile iksasız kendi kendini tutma süresi arasındaki ilişkisi (Bieniański, 1976).  
Geomechanics Classification-output of stand-up time versus unsupported span.

Tablo-40- RMR sınıflama sisteminde kazı ve ikşa önerileri (Bieniański, 1976)  
 RMR classification guide for excavation and support of rock tunnel

KAYA KÜTLESİ SİNİFLA- MASI	KAZI	BİRİNÇİ LİKSİ		
		Kaya bulonları* (10 m. genişlikteki) tünel için uzunluk	Püskürtme beton	Çelik Takımlar
I	Tam kesit 3m. ilerleme	Bazı bulonların haricinde genellikle ikşa gerektirmez		
II	Tam kesit 1.0-1.5m. ilerleme	Kemerin 2-3m. sinde yer yer bulon. Su geçirmezlik için tavan tel kafeslerle 2-2.5m. aralıklı, aynaya 20m.ye kadar gereklidir.	Su geçirmezlik için tavan kemerinde 50mm.	Yok
III	Tavan kemerİ ve tabandan ilerleme,ta- vandan 1.5- 3m.ilerleme	3-4m.uzunlukta sistematisk bulonlar bulonlar, kemerde tel kafesli du- varlar ve kemerde 1.5-2m.aralıklı aynaya 10m.ye kadar gereklidir.	Tavan kemerinde 50-100mm yan duvarlarda 30mm.	Yok
IV	Tavan kemerİ, tabandan iler- leme Tavandan 1.0-1.5m.iler- leme	Tel kafesli duvarlarda ve kemerde 1-1.5m. aralıklı,4-5m.uzunluklu sistematik bulonlar. Aynaya 10m.ye kadar gereklidir	Tavan kemerinde 100-150m. ve yan duvarlarda 100 mm Kazı ilerlediğçe iksa yer- leştirilmelidir.	Gereken yerde 1.5m. aralıklı yeryer hafif traversler (ribs)
V	Tavan ve taban müşterek iler- leme Tavandan 0.5-1m.iler- leme	Tel kafesli duvarlarda ve kemerde 1-1.5m. aralıklı, 5m.uzunluklu sis- tematik bulonlar.Aynaya 5m.ye ka- dar gereklidir.	Tavan kemerinde 150-200mm yan duvarlarda 150mm.Ayna- da 50mm.Patlamadan hemen sonra püskürtme beton uy- gulanmali.	Çelik iksali 0.75m. aralıklı ağır travers- ler.

\*20 mm.çaplı tamamen reçine bağlantılı, uzunluk tünel genişliğinin 1/2-1/3'ü.

Kesit:Atnalı, Genişlik:6-12m., Düşey gerilme:30MPa, İnşaat:Delme ve patlama

çıkarma olarak düşünülmelidir). Son elde edilen derece RMR değeridir. Tablo-38 C bölümü yardımıyla bulunan RMR derecesine karşılık gelen sınıfın tanımlaması yapılır. Bulunan kaya kütlesi sınıfı Lauffer (1958)'in kullandığına benzer kavramları içeren Şekil-32 yardımı ile aktif iksasız açılık ve iksasız kendi kendini tutma süresi kavramları belirlenir, Tablo-38 D bölümü yardımı ile kaya kütlesi sınıfı yorumları yapılır.

Bieniawski bulunan RMR derecesine karşılık gelen kaya sınıfının, atnalı şeklinde, genişlik 5-12 m. düşey gerilme 30 MPa ve delme patlatma ile açılacak bir tünel için, iksa seçimini Tablo-40'da vermiştir.

#### IV.3.2.3. Q

Kaya kütlesi kalitesi (Rock Mass Quality=Q) Barton, Lien ve Lunde (1974) tarafından ortaya konmuş, Q sistemi olarak da bilinen bir kaya kütlesi sınıflama sistemidir. Bu sistemin temeli, Deere (1963) tarafından belirtilen RQD tanımlamasının kaya kütlesini tam olarak tanımlamadığı ve aynı RQD değerine sahip iki kayada açılan tünelde farklı davranışlar görüldüğü (Bjerrum (1970)), RQD tanımlamasının geliştirilmesi gereği esasına dayanır.

Barton, Lien ve Lunde; a) yüksek RQD ve 1'den fazla eklem takımı içeren bir kaya ile düşük RQD ve 1 eklem takımı içeren bir kayanın aynı duraylılığa sahip olabileceğini, eklem takımı sayısının RQD ile ters orantılı olduğunu, b) Kaya kalitesini, ufak veya orta boyutlu eklem pürüzlülüklerinin olumlu, alterasyon ve dolgu malzemelerinin olumsuz etkilediğini, c) Eklem suyu ve buna bağlı su basıncı, ile kaya yükünün, gözünde bulundurulması gerektiğini söylemişler ve kaya kütlesi kalitesi (Q)'ni aşağıdaki gibi tanımlamışlardır.

$$Q = \frac{RQD}{J_n} \cdot \frac{J_r}{J_a} \cdot \frac{J_w}{SRF}$$

RQD= Kaya kalitesi tanımlaması

Jn = Eklem takımı sayısı

Jr = Eklem pürüzlülük sayısı

Ja = Eklem alterasyon sayısı

Jw = Eklem su indirgeme faktörü

SRF= Gerilme indirgeme faktörü

Bu parametreler, Tablo-41'de verilmiştir. kaya kütlesi kalitesi ( $Q$ ) belirlenirken Tablo-41'de verilen değerlerle ilgili göz önüne alınması gereken ek notlar şöyledir;

1- RQD tanımlaması Deere (1963)'den alınmıştır, ancak sondaj karotlarının bulunmaması halinde birim hacimdeki eklem sayısı toplanarak Palmström (1974)'ün verdiği bağıntı ile hesaplanır. Bu bağıntı kıl içermeyen kayalar için geçerlidir.

$$RQD = 115 - 3.3 Jv$$

$$Jv = 1m^3 \text{ teki eklem sayısı}$$

2- Eklem takımı sayısını ( $Jn$ ) şistozite, tabakalanma yüzeyi gibi sürekli etkiler. Bunların belirgin şekilde paralel olarak gelişenleri bir eklem takımı olarak alınmalıdır. Bir paralellik sunmayanlar gelişigüzel eklemeler olarak alınmalıdır.

3-  $Jr$  ve  $Ja$  parametreleri makaslama mukavemetini temsil eder. ( $Jr/Ja$ ) değeri minimum olan sürekli zonu veya eklem takımı duraylılık için uygun doğrultudaysa, bu durumda daha az uygun doğrultulu eklem takımı veya sürekli zonu duraylılık yönünden daha önemli olabilir.  $Q$  hesaplanırken ( $Jr/Ja$ )'nın yüksek değeri kullanılmalıdır.

4- Kıl içeren kayalarda Gerilme İndirgeme Faktörü (Stress Reduction Factor=SRF) hesaplanmalıdır. SRF zayıflık zonlarının kıl yada ayırmış malzeme içermesi halinde gevşeyen yüklerle ilgilidir. Bu durumda kayanın mukavemeti

Tablo-41- Q sistemi sınıflama parametreleri (Barton vd. 1974)  
Classification parameters used in the Q system.

Tanımlama	Değerlendirme	Not
1.Kaya kalitesi tanımlaması	RQD	
A-Çok fena	0-25	1-Q hesaplanırken RQD $\leq$ 10 ise '0'da hil 10 olarak alınır.
B-Fena	25-50	2-RQD 5 aralıklı olarak alınmalıdır
C-Orta	50-75	
D-İyi	75-90	(65,70,75 vb.)
E-Pekiyi	90-100	
2.Eklem takımı sayısı	Jn	
A-Masif, eklem çok az yada hiç yok	0.5-1.0	1-Kesişme yerlerinde(3.0xJn)
B-Bir eklem takımı	2	2-Giriş, çıkış (kapılarda)(2.0xJn) kullanın.
C-Bir eklem takımı ve gelişigüzel eklemeler	3	
D-Iki eklem takımı	4	
E-Iki eklem takımı ve gelişigüzel eklemeler	6	
F-Uç eklem takımı	9	
G-Üç eklem takımı gelişigüzel eklemeler	12	
H-Dört veya daha fazla eklem takımı, gelişigüzel çok sayıda eklemeler, küp şeker şeklinde vb.	15	
J-Paralanmış kaya, toprak görünümünde	20	
3.Eklem pürüzlülük sayısı	Jr	
a)Kaya duvar kontağı ve kesme kuvvetleriyle 10cm. den küçük parçalara ayrıldığında kaya duvar kontağı		1-İlgili eklem türlerinin ortalaması ara mesafesi 3m.den büyükse 1.ilave edilir.
A-Süreksiz eklemeler	4	2-Lineasyon içeren düzlemsel fay aynılık eklemeler için, Lineasyonların uygun olması koşulu ile,Jr=0.5 kullanılabilir.
B-Pürüzlü yada düzensiz,dalgalı	3	
C-Düz, dalgalı	2	
D-Sürtünme izli, dalgalı	1.5	
E-Pürüzlü yada düzensiz, düzlemsel	1.5	
F-Düz düzlemsel	1.0	
G-Sürtünme izli, düzlemsel c)Kaya duvar kontağı yok	0.5	
H-Kaya duvar kontağını önleyebilecek kalınlıkta ki minerali minerali içeren zon	1.0	
J-Kaya duvar kontağını önleyebilecek kalınlıkta kumlu, çakılılı, ezilmiş zon	1.0	

Table-41'in devamı

Tanımlama	Değerlendirme	Not
4.Eklem alterasyon sayısı a)Kaya duvar kontağı	Ja Ø <sub>r</sub> (yaklaşık)	1-Ø <sub>r</sub> , kalıntı iç sür- tünme açısı,eğer varsa alterasyon ürünlerinin mineralojik özellikle- rine yaklaşık bir reh- ber olarak kullanılabilir.
A-Sıkıca bağlanmış,sert,yumuşamaz,geçirimsiz dolgu(Örneğin kuvars,epidot)	0.75 -	
B-Altere olmamış eklem yüzeleri sadece yüzeysel paslanma	1.0 (25°-35°)	
C-Hafifçe altere olmuş eklem yüzeleri, yumuşamayan mineral kaplamaları,kum taneleri,kil içermeyen kaya parçaları	2.0 (25°-35°)	
D-Siltli veya kumlu kil kaplamaları, düşük kil oranı (yumuşamayan)	3.0 (20°-25°)	
E-Yumuşamayan veya düşük sürتünmeli kil mineral kaplamalı, kaolinit,mika gibi. Ayrıca klorit,talk,jips,grafit ve az miktarlarda şişen killer (1-2mm veya daha az kalınlıkta kesikli kaplamalar) b)Kesme kuvvetleriyle 10cm den küçük parçalara ayrıldığında kaya duvar kontağı	4.0 (8°-16°)	
F-Kum taneleri kil içermeyen kaya parçaları	4.0 (25°-30°)	
G-Çok fazla konsolidde olmuş, yumuşamayan kil mineral dolguları (kesiksiz,kalınlığı 5mm.den az)	6.0 (16°-24°)	
H-Orta veya düşük derecede konsolidde olmuş,yumuşamayan kil mineral dolgulu (kesiksiz,kalınlığı 5mm.den az)	8.0 (12°-16°)	
J-Şişen kil dolgulu,örneğin montmorillonit(kesiksiz, kalınlığı 5mm.den az).Ja'nın değeri, şişen kil boyutundaki tanelerin yüzdesine ve su etkisinde kalıp kalmayağına göre değişir. c)Kaya duvar kontağı yok.	8.0-12.0(6°-12°)	
K-Dağılmış kaya ve kil bölge veya bantları	6.0 (16°-24°)	
L-(Kil şartları tanımlaması M-icin G,H, I maddelerine bakın)	8.0 (12°-16°)	
M-için G,H, I maddelerine bakın)	8.0-12.0 (6°-12°)	
N-Siltli veya kumlu kil bölge veya bantları, düşük kil oranı (yumuşamayan)	5.0 -	

Tablo-41'in devamı

Tanımlama	Değerlendirme			Not
O-Kalın sürekli kıl bölge P-veya bantları (kil şart- R-ları tanımlaması içen G,H,I maddelerine bakın)	10.0-13.0 veya $(6^{\circ}-24^{\circ})$ 13.0-20.0			
5.Eklem su indirgeme Faktörü	Jw	Su basıncı (kg/cm <sup>2</sup> )		
A-Kuru kazilar yada 5 lt/dak gelen kazilar	1.0	<1.0		1-C'den F'ye kadar olan maddeler kaba tahminlerdir.Drenaj ölçümüleri yapıldıkça Jw'yi arttırınız.
B-Orta derecede su geliş'i veya basınc, eklem dolgularının yer yer yıkanması	0.66	1.0-2.5		2-Buz oluşması ile meydana gelen özel problemler gözönüne alınmamıştır.
C-Dolqusuz eklemlı dayanımlı kayada çok miktarda su geli- si veya yüksek basınç	0.5	2.5-10.0		
D-Çok miktarda su geliş'i veya yüksek basınç ile eklem dolgularının fazlaca yıkan- ması	0.33	2.5-10.0		
E-Patlatma sırasında çok fazla su geliş'i veya su basıncı, fakat zamanla azalması	0.2-0.1	>10.0		
F-Zamanla azalmayan çok fazla su geliş'i veya su basıncı	0.1-0.05	>10.0		
6.Gerilme Indirgeme Faktörü				
a)Kaziyi kesen zayıflık zon- ları,tünel kazılırken kaya kütlesinin gevşemesine ne- SRF den olabilirler.				
A-Kıl veya kimyasal olarak parça parçalanmış kaya kapsayan birden fazla zayıflık zonu (Herhangibir derinlikte)	10.0			1-Bahsi geçen zayıflık zonları kaziyi kesme- yip sadece etkiliyorsa SRF değerlerini %25-50 oranında azaltınız.
B-Kıl veya kimyasal olarak parçalanmış kaya kapsayan tek bir zayıflık zonu (kazı derinliği ≤50 m.)	5.0			
C-Kıl veya kimyasal olarak parçalanmış kaya kapsayan tek bir zayıflık zonu (kazı derinliği >50 m.)	2.5			
D-Kıl kapsamayan dayanımlı ka- yada birden fazla makaslama zonusu, gevşek çevre kayacı (herhangibir derinlikte)	7.5			
E-Kıl kapsamayan dayanımlı ka- yada tek bir makaslama zonu (kazı derinliği ≤50 m)	5.0			
F-Kıl kapsamayan dayanımlı ka- yada tek bir makaslama zonu (kazı derinliği >50m.)	2.5			
G-Gevsek ve açık eklemler,faz- la eklemlı, küp şekeri görü- nümlü (herhangibir derinlik- te)	5.0			

Tablo-41'in devamı

Tanımlama	Değerlendirme	Not
b) Dayanıklı kaya, kaya gerilmesi sorunları	$\sigma_c/\sigma_1 \quad \sigma_t/\sigma_1$	
H-Düşük gerilme yüzeye yakın	>200 >13 2.5	2-Fazlaca heterojen ortamlarda $5 \leq \sigma_1/\sigma_3 \leq 1.0$
J-Orta derecede gerilme	200-10 13-066 1.0	ise $0.8\sigma_c, 0.8\sigma_t$
K-Yüksek gerilme, çok sıkı yapı (genellikle duraylılık yönünden uygun, fakat duvar duraylılığı yönünden uygun olmayabilir)	$\sigma_1/\sigma_3 > 10^C$ ise $0.6\sigma_c, 0.6\sigma_t$ alınız	
L-Az kaya patlaması (masif kaya)	10-5 066-033 05-20	3-Tünel üzerindeki örtü kalınlığı tünel genişliğinden az ise SRF'yi 2.5 yerine 5 alınız (bak. H)
M-Fazla kaya patlaması (masif kaya)	5-25 033-016 5-10	
	<25 <016 10-20	
c) Yüksek basınç altında dayanımsız kayanın plastik akması		
N-Az sıkışan kaya basıncı	5-10	
O-Fazla sıkışan kaya basıncı	10-20	
d) Suyun varlığına bağlı kimyasal şişme		
P-Az şişen kaya basıncı	5-10	
R-Fazla şişen kaya basıncı	10-15	

gözönüne alınmaz ancak zayıflık zonları minumum ve kil tamamen yoksa SRF hesabında kayanın mukavemeti (basınç ve çekme)'ne bakılır.

5- Genel olarak yerli kayanın basınç ve çekme mukavemetleri ( $\sigma_c$  ve  $\sigma_t$ ) duraylılık yönünden uygun olamayan doğrultuda hesaplanmalıdır. Bu durum özellikle çok fazla anizotropik ortamlar için önemlidir.

Kaya kütlesi kalitesi (Q) hesabında yer alan altı parametre çift olarak değerlendirilirse;

1- (RQD/Jn) kayanın genel yapısını belirler, ve blok boyutunun kabaca ölçüsünü gösterirler. Örneğin RQD ve Jn parametrelerinin üç değerlerini (100-10 ve 0.5-20) ve birimi cm. alırsak, 200cm. ve 0.5 cm. değerlerini elde ederiz. Bu da bize yaklaşık en iri blok boyutu 200 cm. ve en küçük parçada 0.5 cm. olabileceğini gösterir.

2- ( $J_r/J_a$ ) terimi eklem pürüzlülüğü ve eklem dolgusunun derecesini belirler. Bu iki parametrenin çeşitli kombinasyonlarının  $\tan^{-1}(J_r/J_a)$  değerleri, beklenen hakiki makaslama kuvvetine oldukça yakın olduğu belirlenmiştir. Bir şans eseri bulunan bu değerler Tablo-42'de verilmiştir.

3- ( $J_w/SRF$ ) terimi iki gerilme parametresinden oluşur.  $J_w$  eklemelerin mukavemetini ters yönde etkileyen su basıncının ölçüsüdür. SRF toplam gerilmenin bir parametresi olarak nitelendirilebilir. bu terim aktif gerilimi belirleyen bir faktördür.

Bu nedenlerden dolayı Q'nun üç maddenin bir fonksiyonu olduğu görülmektedir.

$$1 - \frac{RQD}{J_n} = \text{Blok boyutu}$$

$$2 - \frac{J_r}{J_a} = \text{Bloklar arası kayma direnci}$$

Tablo-4 2-Jr ve Ja parametrelerinden "Zahiri Makaslama Kuvveti" tahmini  
(Barton vd., 1974)

Estimate of apparent "Shear Strength" from the parameters  
Jr and Ja.

(a) Kaya duvar kontağı	Jr	$\tan^{-1}(Jr/Ja)^{\circ}$				
		Ja=0.75	1.0	2	3	4
A-Süreksiz eklemeler	4	79°	76°	63°	53°	45°
B-Pürüzlü, dalgalı	3	76°	72°	56°	45°	37°
C-Düz, dalgalı	2	69°	63°	45°	34°	27°
D-Sürtünme izli, dalgalı	1.5	63°	56°	37°	27°	21°
E-Pürüzlü, düzlemsel	1.5	63°	56°	37°	27°	21°
F-Düz, düzlemsel	1.0	53°	45°	27°	18°	14°
G-Sürtünme izli, düzlemsel	0.5	34°	27°	14°	9.5°	7.1°

(b) Kesme kuvvetleriyle 10 cm. den Jr küçük parçalara ayrıldığında kaya duvar kontağı	Jr	$\tan^{-1}(Jr/Ja)^{\circ}$			
		Ja=4	6	8	12
A-Süreksiz eklemeler	4	45°	34°	27°	18°
B-Pürüzlü, dalgalı	3	37°	27°	21°	14°
C-Düz, dalgalı	2	27°	18°	14°	9.5°
D-Sürtünme izli, dalgalı	1.5	21°	14°	11°	7.1°
E-Pürüzlü, düzlemsel	1.5	21°	14°	11°	7.1°
F-Düz, düzlemsel	1.0	14°	9.5°	7.1°	4.7°
G-Sürtünme izli, düzlemsel	0.5	7°	4.7°	3.6°	2.4°

(c) Kaya duvar kontağı yok	Jr	$\tan^{-1}(Jr/Ja)^{\circ}$		
		Ja=6	8	12
Ayırışmış yada parçalanmış kaya ve kil	1.0	9.5°	7.1°	4.7°
Siltli yada kumlu kil bandları	1.0	Ja=5 11°		
Sürekli kil bandları	1.0	Ja=10 5.7°	13 4.4°	20 2.9°

$$3 - \frac{J_w}{SRF} = \text{Aktif gerilme}$$

Bütün bu açıklamalardan sonra, diğer sınıflama sistemlerinde yer alan destekleme önlemlerinin, Q sisteminde nasıl bulunduğuna bakalım.

Öncelikle Tablo - 41'in yardımı ile hesapladığımız Q değerinin dokuz sınıfından hangisine dahil olduğuna bakırılır. Bunlar;

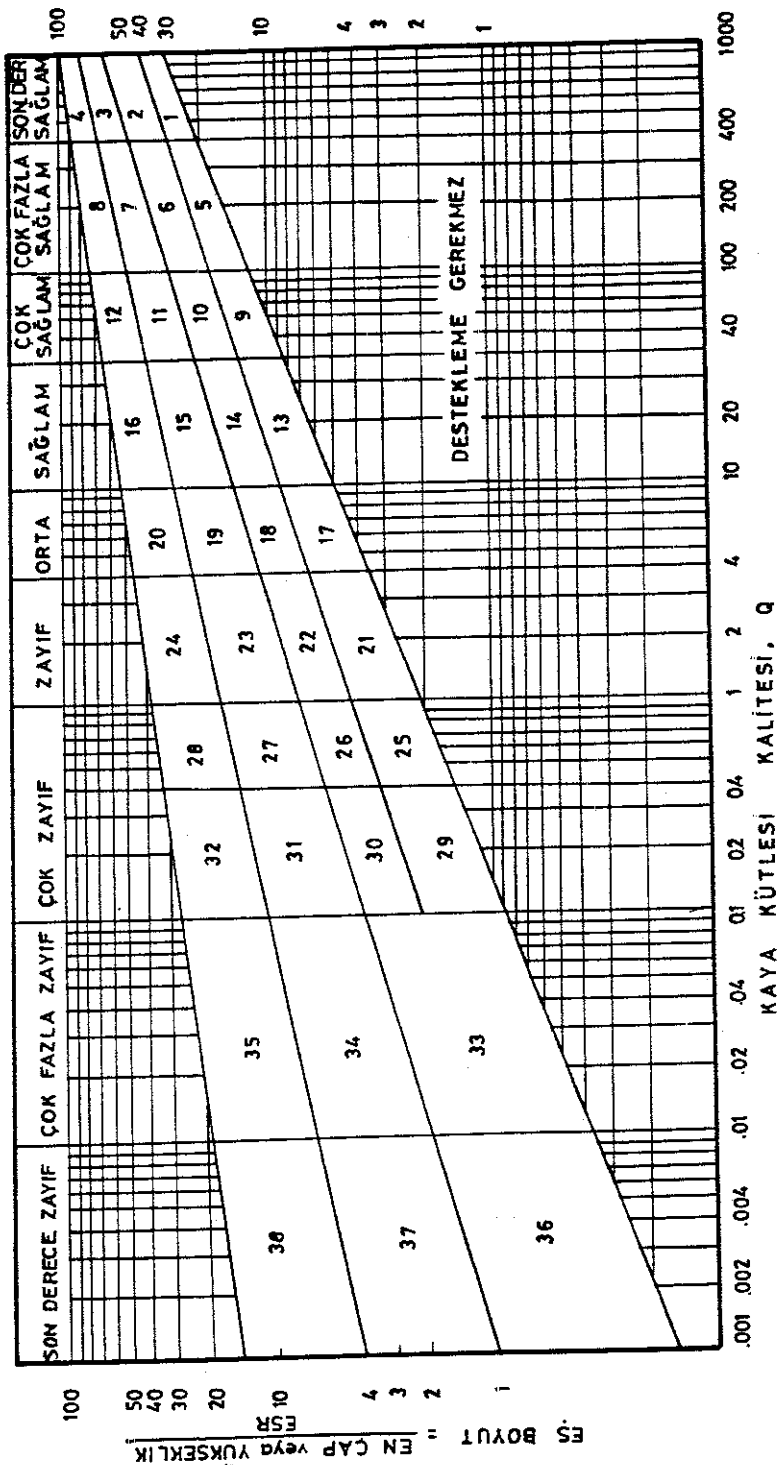
Kaya kütlesi Kalitesi(Q)	1000 400	400 100	100 40	40 10	10 4	4 1	1 0.1	0.1 0.01	0.01 0.001
Kaya kütlesi sınıfı	Son derece sağlam	Çok Fazla sağlam	Çok Sağlam	Sağlam	Orta	Zayıf	Çok zayıf	Çok Fazla zayıf	Son derece zayıf

Q sistemi<sup>nin</sup> destek hesabı için temel özelliklerinden biri, destek hesabında kaya kütlesi kalitesi (Q)'nin kazı boyutları ve kazı amacına bağlı olduğunu. Kazı boyutları (en, çap veya yükseklik)'nın, kazı amacı (ESR)'na oranı Eş Boyut olarak tanımlanmış ve kaya kütlesi kalitesi (Q) ile eş boyuta bağlı 38 destek sınıfı Şekil-33'de verilmiştir.

Destek sınıfı belirlenirken tavan desteği için kazı eni veya çapı, duvar desteği için kazı yüksekliği veya çapı kullanılır. Kazı Destek Oranı (Excavation Support Ratio=ESR) kazı amacını belirleyen bir faktördür. ESR değerleri deneme yanılma ile belirlenmiş ve destek seçimine yardımcı önemli faktörlerdir. Tablo-43'de, ESR değerleri ve belirlenmesine yardımcı olan uygulama örneklerinin sayısı verilmiştir.

Tavan ve duvar için ayrı ayrı belirlenen destek sınıfları için destek önlemleri Tablo-44 yardımını ile belirlenir. Duvar destek önlemleri belirlenirken,  $Q > 10$  için  $5 \cdot Q$ ,  $0.1 < Q < 10$  için  $2.5 \cdot Q$ ,  $Q < 0.1$  için aynı Q değeri kullanılır.

Barton, Lien ve Lunde sadece kaya kütlesi kalitesi (Q) ve destek önlemlerini belirtmekle kalmayıp, destek basıncı, Bulonlama ve Ankraj, Beton kaplama hesapları ile



Şekil 1-33-Q sistemi, eş boyut ve kaya kalitesine bağlı destek sınıfları (Barton, 1974)

Q-System-equivalent dimension versus rock mass quality .

Tablo-43- Yeraltı kazılarına uygun ESR oranları ve uygulama örnekleri-  
nin sayısı (Barton vd.,1974)

The ESR appropriate to a variety of underground excavation.

Kazı Cinsi	ESR	Örnek Sayısı
A. Geçici maden kazıları	3-5	2
B. Dikey bacalar 1.Dairesel kesit 2.Dikdörtgen/kare kesit	2-5 2-0	0 0
C.Kalıcı maden kazıları, HES için su tüneleri (yüksek basınçlı cebri borular hariç) pilot tüneleri ve maden galerileri	1-6	83
D.Depolar, su tasfiye odaları, ufak yol ve demiryolu tüneleri, denge bacaları yaklaşım tüneleri vb.	1-3	25
E.Santral binaları, ana karayolu ve demiryolu tüneleri, sivil savunma sığınakları, giriş-cıkış ağızları ve kesişme noktaları	1-0	79
F.Yeraltı nükleer santralları, metro istasyonları, fabrikalar ve sosyal tesisler.	0-8	2

Tablo-44- Q sistemine göre önerilen destek önlemleri (Barton vd.1974)  
Recommended support based upon Q system.

Destek Kategorisi		Q		Açıklık/ESR (m.)		RQD/Jn		Jr/Ja		$P$ (yaklaşık) $\text{kg/cm}^2$		Lokal gerdirmesiz bulon		Gerdimesiz bulon (m.)		Gerdirmeli bulon (m.)		Zincir takviye		Püskürtme beton (cm.)		Çelik hasır takviyeli püskürtme beton (cm.)		Beton tıpkımat (cm.)		Çelik takviyeli beton tıpkımat		Not	
1-4	1000 -400	20- 100								<001	/																		
5-8	400 -100	12- 88								005	/																		
9	100 -40	8.5 -19	$\geq 20$							0.25	/																		
10	100 -40	8.5 -19	$< 20$							0.25		2.5 -3																	
10	100 -40	14 -30	$\geq 30$							0.25		2 -3																	
10	100 -40	14 -30	$< 30$							0.25		1.5 -2																	
11- 12	100 -40	23 -72	$\geq 30$							0.25		2- 3																	
11- 12	100 -40	23 -72	$< 30$							0.25		1.5 -2																	
13	40 -10	5- 14	$\geq 10$	$\geq 15$	0.5	/																				I	I		
13	40 -10	5- 14	$\geq 10$	$< 15$	0.5						1.5 -2															I	I		
13	40 -10	5- 14	$< 10$	$\geq 15$	0.5						1.5 -2															I	I		
13	40 -10	5- 14	$< 10$	$< 15$	0.5						1.5 -2															I	I		
14	40 -10	15- 23	$\geq 10$							0.5			1.5 -2													I,II	I,II		
14	40 -10	15- 23	$< 10$							0.5			1.5 -2													I,II	I,II		
14	40 -10	9- 15								0.5		1.5 -2														I,III	I,III		

Tablo-44'ün devamı

		Destek Kategorisi											
		Q		Açıklık/ESR (m.)									
15	40-10	15-40	>10	RQD/Jn	Jr/Ja	0.5	P (yaklaşık) kg/cm <sup>2</sup>	Lokal gerdirmesiz bulon	Gerdirmesiz bulon (m.)	1.5-2	✓	I, II, IV	I, II, IV
	40-10	15-40	≤10			0.5			Gedirmeli bulon (m.)	1.5-2		I, V, VI	I, V, VI
16	40-10	30-65	>15						Zincir takviye	5-10		I, II, IV	I, II, IV
	40-10	30-65	≤15						Püskürtme beton (cm.)	10-15			
17	10-4	3.5-9	>30			1.0	✓		Çelik hasır takviyeli püskürtme beton (cm.)			I	I
	10-4	3.5-9	≤10			1.0		1-1.5				I	I
	10-4	6-9	<10			1.0		1-1.5				I	I
	10-4	<6	<10			1.0			Beton tıkanım (cm.)			I	I
18	10-4	10-15	>5			1.0		1-1.5	✓			I, III	I, III
	10-4	7-10	>5			1.0		1-1.5	✓			I	I
	10-4	10-15	≤5			1.0		1-1.5				I, III	I, III
	10-4	7-10	≤5			1.0		1-1.5				I	I
19	10-4	20-29				1.0		1-2		10-15		I, II, IV	I, II, IV
	10-4	12-20				1.0		1-1.5		5-10		I, II	I, II
20	10-4	35-52				1.0		1-2		20-25		I, V, VI	I, V, VI
									Not				

Table-44'ün devamı

		Destek Kategorisi		Açıklık/ESR (m.)	RQD/Jn	Jr/Ja	P (yaklaşık) kg/cm <sup>2</sup>	Lokal gerdimesiz bulon	Gerdimesiz bulon (m.)	Gerdirmeli bulon (m.)	Zincir takviye	Püskürtme beton (cm.)	Çelik hasır takviyeli püskürtme beton (cm.)	Beton tahlimat (cm.)	Çelik takviyeli beton tahlimat	Not
20	10-4	24-35	Q				1.0		1-2							I, II IV
	4-1	2.1-6.5		$\geq 125$	$\leq 0.75$		1.5	1				2-3	10-20		I	I
21	4-1	2.1-6.5		$< 125$	$\leq 0.75$		1.5					2-3				I
	4-1	2.1-6.5			$> 0.75$		1.5	1								I
22	4-1	4.5-11.5		$> 10$	$\geq 30$	$\geq 1$	1.5	1			✓					I
	4-1	4.5-11.5		$\leq 10$	$> 1$		1.5					2.5-7.5				I
	4-1	4.5-11.5		$< 30$	$\leq 1$		1.5	1					25-50			I
	4-1	4.5-11.5		$\geq 30$			1.5	1								I
23	4-1	15-24					1.5		1-1.5				10-15			I, II IV, VII
	4-1	8-15					1.5		1-1.5				5-10			I
24	4-1	30-46					1.5		1-1.5				15-30			I, V IV
	4-1	18-30					1.5		1-1.5				10-15			I, II IV
25	1-0.4	1.5-4.2		$> 10$	$> 0.5$	2.25		1			✓					I
	1-0.4	1.5-4.2		$\leq 10$	$> 0.5$	2.25		1					5			I
	1-0.4	1.5-4.2		$\leq 0.5$	2.25			1					5			I

Tablo-44'ün devamı

Destek Kategorisi		Açıklık/ESR (m.)		RQD/Jn		Jr/Ja		P (yaklaşık) kg/cm <sup>2</sup>		Lokal gerdirmesiz bulon		Gerdirmesiz bulon (m.)		Gerdirmeli bulon (m.)		Zincir takviye		Pişikirtme beton (cm.)		Çelik hasır takviyeli pişikirtme beton (cm.)		Beton tıhkimat (cm.)		Çelik takviyeli beton tıhkimat		Not	
26	1-0.4	3.2-7.5						2.25																VIII X,XI			
	1-0.4	3.2-7.5						2.25																I,IX			
27	1-0.4	12-18						2.25																I,IX			
	1-0.4	6-12						2.25																I,IX			
28	1-0.4	12-18						2.25																VIII X,XI			
	1-0.4	6-12						2.25																VIII X,XI			
29	1-0.4	30-38						2.25																I,IV V,IX			
	1-0.4	20-30						2.25																I,II IV,IX			
30	1-0.4	15-20						2.25																I,II IX			
	1-0.4	15-38						2.25																0.3-1m IV,VIII X,XI			
31	0.4-0.1	1-3.1	> 5	>0.25	3.0					1								2-3						-			
	0.4-0.1	1-3.1	≤ 5	>0.25	3.0					1									5						-		
	0.4-0.1	1-3.1		≤0.25	3.0					1									5						-		
32	0.4-0.1	2.2-6	≥ 5		3.0					1								2.5-5						IX			
	0.4-0.1	2.2-6	< 5		3.0														5-7.5						IX		

Tablo-44'ün devamı

		Destek Kategorisi															
		Q	Açıklık/ESR (m.)	RQD/Jn	Jr/Ja	P (yaklaşık) kg/cm <sup>2</sup>	Lokal gerdirmesiz bulon	Gerdirmesiz bulon (m.)	1	Gerdirmeli bulon (m.)	Zincir takviye	Püskürtme beton (cm.)	Çelik hasır takviyeli püskürtme beton (cm.)	Beton tahlkimat (cm.)	Çelik takviyeli beton tahlkimat	Not	
30	0.4-0.1	2.2-6				0.3						5-7.5				VIII X,XI	
	0.4-0.1	4-14.5	>4			0.3			1			5-12.5				IX	
	0.4-0.1	4-14.5	$\leq 4$	$\geq 15$		0.3						7.5-25				IX	
	0.4-0.1	4-14.5	$\leq 1.5$			0.3			1				20-40			IX,XI	
31	0.4-0.1	20-34				0.3			1			40-60				II,IV IX,XI	
	0.4-0.1	11-20				0.3			1			20-40				III,IV IX,XI	
	0.4-0.1	11-34				0.3			1						0.4-1.2m	IV,VII X,XI	
	0.1-0.01	1-3.9	$\geq 2$			0.6			1			2.5-5				IX	
32	0.1-0.01	1-3.9	$\leq 2$			0.6						5-10				IX	
	0.1-0.01	1-3.9				0.6						7.5-15				VIII X	
	0.1-0.01	2-11	$\geq 2$	$\geq 0.25$	0.6				1			5-7.5				IX	
	0.1-0.01	2-11		$< 0.25$	0.6							15-25				IX	
33	0.1-0.01	2-11				0.6			1						0.2-0.6m	VIII X,XI	
34	0.1-0.01	2-11	$\geq 2$	$\geq 0.25$	0.6											XIII	
	0.1-0.01	2-11		$< 0.25$	0.6											XII	
	0.1-0.01	2-11				0.6			1							XI	
	0.1-0.01	15-28				0.6			1			30-100				X	

Tablo-44'ün devamı

Destek Kategorisi		Açıklık/ESR (m.)	RQD/Jn	Jr/Ja	$P$ (yaklaşık) $\text{kg/cm}^2$	Lokal gerdirmesiz bulon	Gerdirmesiz bulon (m.)	Gerdirmeli bulon (m.)	Zincir takviye	Püskürtme beton (cm.)	Çelik hasır takviyeli püskürtme beton (cm.)	Beton tıhkimat (cm.)	Çelik takviyeli beton tıhkimat	Not
Destek Kodu	Destek Tipi													
35	0.1-0.01	15-28			0.6			1					0.6-2m	VIII,X XII
	0.1-0.01	6.5-15			0.6			1			20-75			IX,XI III
	0.1-0.01	6.5-15			0.6			1					0.4-1.5m	VIII,X XII
36	0.01-0.001	1-2			12					10-20				IX
	0.01-0.001	1-2			12		0.5-1			10-20				VIII,X,XI
37	0.01-0.001	1-6.5			12					20-60				IX
	0.01-0.001	1-6.5			12		0.5-1			20-60				VIII,X,XI
38	0.01-0.001	10-20			12							1-3m	IX	
	0.01-0.001	10-20			12			1				1-3m	VIII,X II,XI	
	0.01-0.001	4-10			12					70-200				VIII,X
	0.01-0.001	4-10			12			1		70-200				III,XI

### DESTEKLEME TABLOLARI İÇİN EK NOTLAR

I- Kaya patlamaları veya kavlaklanma halinde genellikle genişletilmiş taşıma plakalı gerilmeli bulonlar yaklaşık 1m. aralıkla (bazen 0.8 m.) kullanılmaktadır. Nihai destekleme kavlaklanma sona erdiğinde yapılmalıdır.

II- Aynı kazıda çeşitli uzunlukta bulonlar kullanılır (3.5 ve 7 m.).

III- Aynı kazıda çeşitli uzunlukta bulonlar kullanılır (2.3 ve 4 m.).

IV- Bulon destek basıncını takviye için genellikle gerilmeli tel ankrajlar kullanılır. Tipik aralık 2-4 m.

V- Bazı kazılarda çeşitli uzunlukta bulonlar kullanılır (6.8 ve 10 m.).

VI- Bulon destek basıncını takviye için genellikle gerilmeli tel ankrajlar kullanılır. Tipik aralık 4-6 m.

VII- Bu kategorideki eski tip santralların kazılarda tel kafesli ve serbest açıklıklı beton kemer tavanlı (25-40 cm) sistematik veya noktasal bulonlama kalıcı destek olarak kullanılmıştır.

VIII- Şişen killerin, örneğin montmorillonitik killerin varlığı halinde (fazla su bulunan ortamda) fazla şisme halinde destek arkasına genişleme için yer bırakılır. Mممكün olduğu takdirde drenaj önlemleri alınır.

IX- Şişen veya sıkışan kayaçların olmaması halinde

X- Sıkışan kayaçların varlığı halinde kalıcı destek

olarak çok sağlam ve rıjit destek kullanılır.

XI- Yazarın tecrübelerine göre, şişen veya sıkışan kayaçların varlığı halinde, beton (veya şatkrit) kemerlenmeden önce gerekli olan geçici destekleme eğer RQD/Jn yeterli derecede yüksekse (1.5) genleşen tip bulon ve şatkrit kullanarak sağlanabilir. Eğer kayaç fazla eklemli ise (RQD/Jn < 1.5) örneğin kuvarsit içinde küp biçiminde bir makaslama zonunda geçici destek birkaç kat şatkritle sağlanabilir. Beton veya şatkritin tatbikinden sonra beton üzerinde düzensiz dağılabilecek yükü azaltmak için gerilmeli sistematik bulon bunada kullanılabilir. Ancak fazla miktarda kil mevcutsa veya RQD/Jn < 1.5 ise, gerilmeden önce bulonlar enjekte edilmedikçe bu yöntem etkili olmayabilir. Bu tip çok zayıf zeminlerde, bulonun yeterli bir kısmının ankrajı, çabuk katılışan reçineli ankrajlar kullanılarak da sağlanabilir. Fazla miktarda şişen veya sıkışan kayaçların varlığı halinde beton kemerlerin aynaya kadar uzatılması gerekebilir. Bu gibi hallerde, ayrıca çalışılan aynanında geçici desteklenmesi gereklidir.

XII- Güvenlik nedeniyle, kazı ve tavan kemeri desteklemesi sırasında çoğulukla işinsal bulonlama yöntemi kullanılır. 16,20,24,28,32,35'inci kategoriler (sadece kazı eni/ESR >15 m. )

XIII- Fazla sıkışan kayaçlarda, kazı ve tavan duvar ve taban desleklemesi sırasında işinsal bulonlama yöntemi gereklidir. Kategori 38 (Sadece kazı eni/ESR>10m.).

sürekli iksasız maksimum proje açıklığı ve kendi kendini tutma süresi, kavramlarına ayrıntılı olarak dephinmiştir.

Destek basıncı bulunan  $Q$  değeri ile doğrudan ilişkilidir. Tavan ve duvar desteği basıncı olarak iki şekilde sunulmuştur.

$P_{tavan} = \text{Tavan desteği basıncı } (\text{kg/cm}^2) \text{ olmak üzere}$

$$P_{tavan} = \frac{2.0}{J_r} \cdot Q^{-1/3}$$

şeklinde hesaplanır, ancak eklem takımı sayısı 3'ten azsa

$$P_{tavan} = \frac{2}{3} J_n^{1/2} J_r^{-1} Q^{-1/3}$$

olarak ilk formül geliştirilmiştir. Destek basıncı ile  $Q$  arasındaki ilişki Şekil-34'de daha iyi görülmektedir. Duvar desteği basıncı duvar destek önlemlerinde de olduğu gibi  $Q > 10$  için  $5 \cdot Q$ ,  $0.1 < Q < 10$  için  $2.5 \cdot Q$  ve  $Q < 0.1$  için aynı  $Q$  değeri kullanılarak Şekil-34'dan değeri okunabilir.

Bulonlama için destek basıncı kapasitesinin, bulonun gerilme kapasitesinin bulon açığlığının karesine bölünmesine eşit olduğu belirtilmiş ve 20 mm. çaplı bir bulon için 10 tonluk aktif yük kabul edildiğinde bulonun destek basıncı kapasitesi ( $P$ );

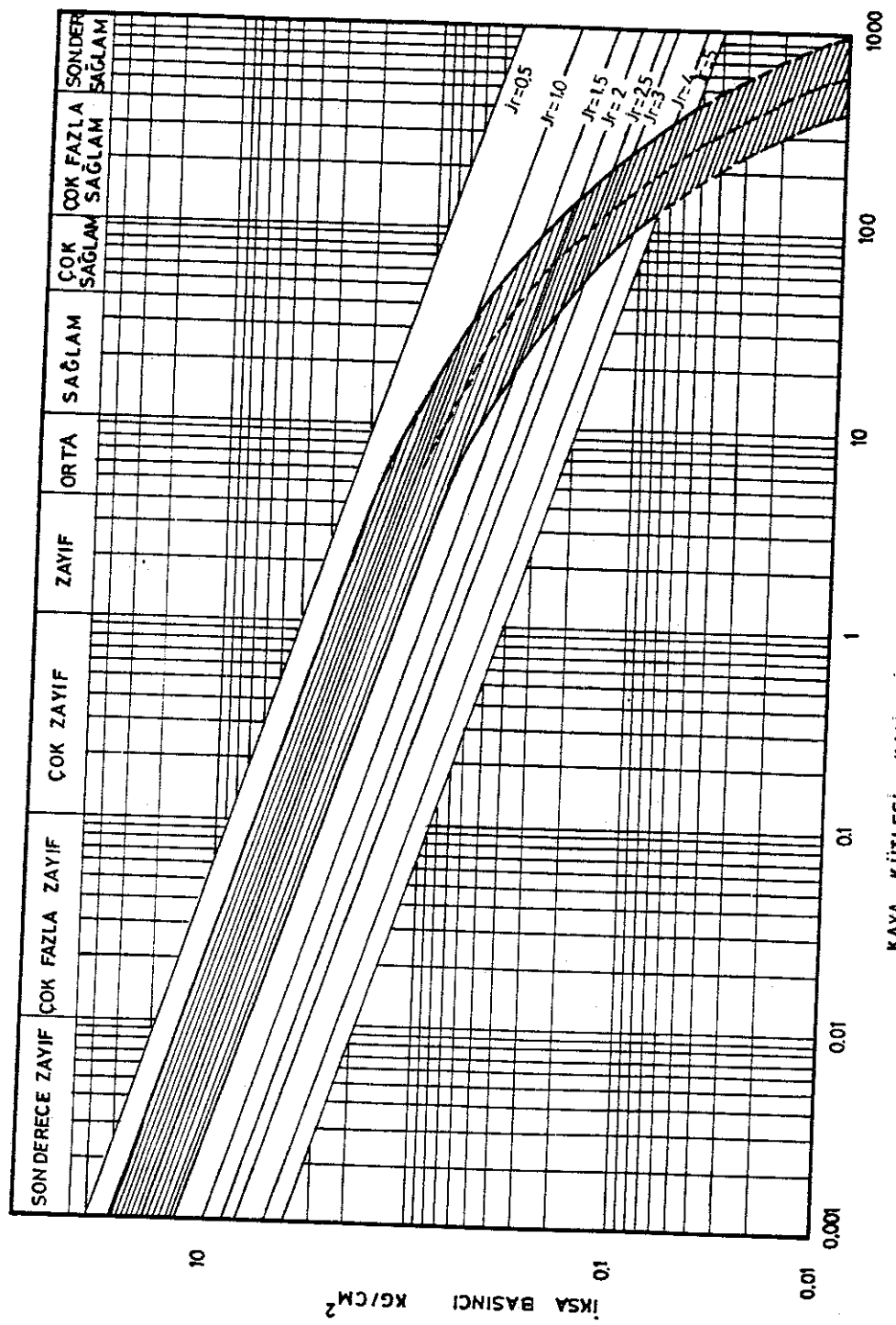
$$P = \frac{1}{a^2} \text{ dir.}$$

$a = \text{Bulon açıklığı}$

$P = \text{Destek basıncı kapasitesi } (\text{kg/cm}^2)$

Bulon ve ankrat uzunlukları kazı boyutları ile ilgidir. Tavanda kullanılanlar kazı enine, duvarda kullanılanlar ise kazı yüksekliğine bağlıdır.

Tavan için  $L = 2 + 0.15 B/ESR$   
 $L' = 0.40 B/ESR$



Şekil-34-Qsistemi, destek basıncı ile kaya kalitesi arasındaki ilişki.

Q-system-support pressure versus rock mass quality.

Duvarlar için  $L = 2 + 0.15 H/ESR$

$L' = 0.35 H/ESR$

$L$  = Bulon uzunluğu (m)

$L'$  = Ankraj uzunluğu (m)

$B$  = Kazı eni (m)

$H$  = Kazı yüksekliği (m)

Beton kaplama sistematik bulonlama ile beraber uygulandığında, eşit dağılmayan yükler veya kesiti dairesel olmayan kaplama nedeniyle oluşan gerilmeler en aza indirebilir. Fakat düzensiz dağılmış gerilmelerin etkisini azaltmak için beton içine çelik takviyede gereklidir. Beton kaplamanın kalınlığı aşağıdaki formülle verilmiştir;

$$t = \frac{P \cdot R}{b}$$

$P$  = Dış basınç  $\text{kg/cm}^2$ )

$b$  = Kaplama içindeki basınç gerilimi ( $\text{kg/cm}^2$ )

$R$  = Kaplamanın iç yarıçapı (cm)

$t$  = Denge hali için duvar kalınlığı

Bunlara ilaveten püskürtme beton tek veya çift kat olarak sistematik bulonlama ile beraber uygulandığında bulonlar arası zemin gevşemesini önler.

Lauffer (1958) tarafından ortaya atılan, sürekli iksasız maksimum açıklık ile, iksasız kendi kendini tutma süresi kavramları Barton, Lien ve Lunde tarafından 200'e yakın gözlem sonucunda yeniden düzenlenmiştir. Şekil-35'de iksasız açıklık ile  $Q$  arasındaki ilişki ESR değerine bağlı olarak verilmiştir. İksasız açıklık aynı zamanda,

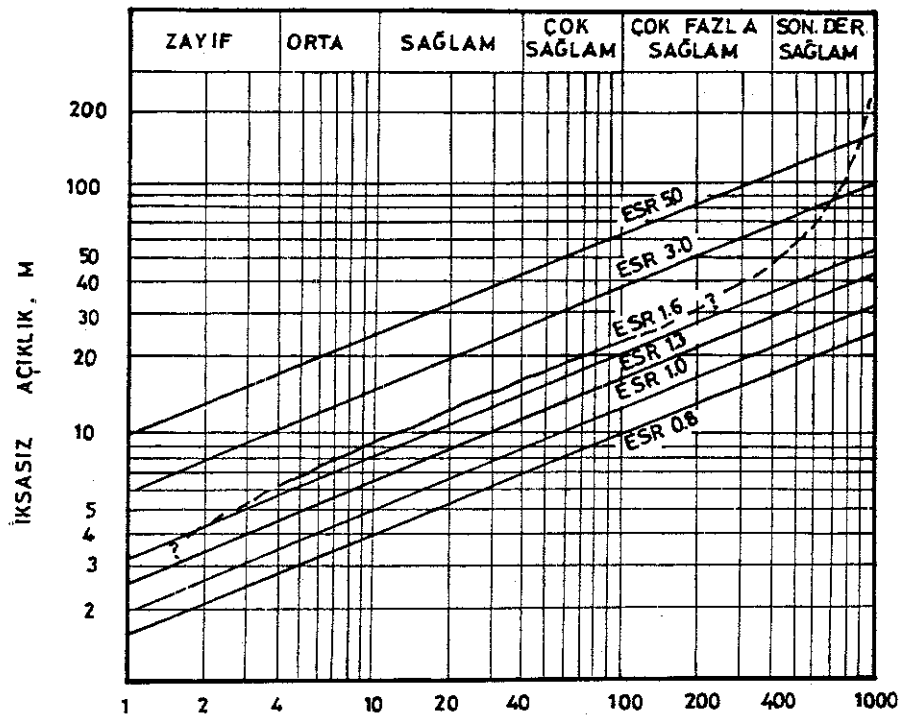
$$\text{Açıklık} = 2 \cdot \text{ESR} \cdot Q^{0.4}$$

bağıntısıyla bulunabilir. Aynı bağıntıdan yararlanarak,

$$Q = \left( \frac{\text{Açıklık}}{2 \cdot \text{ESR}} \right)^{2.5}$$

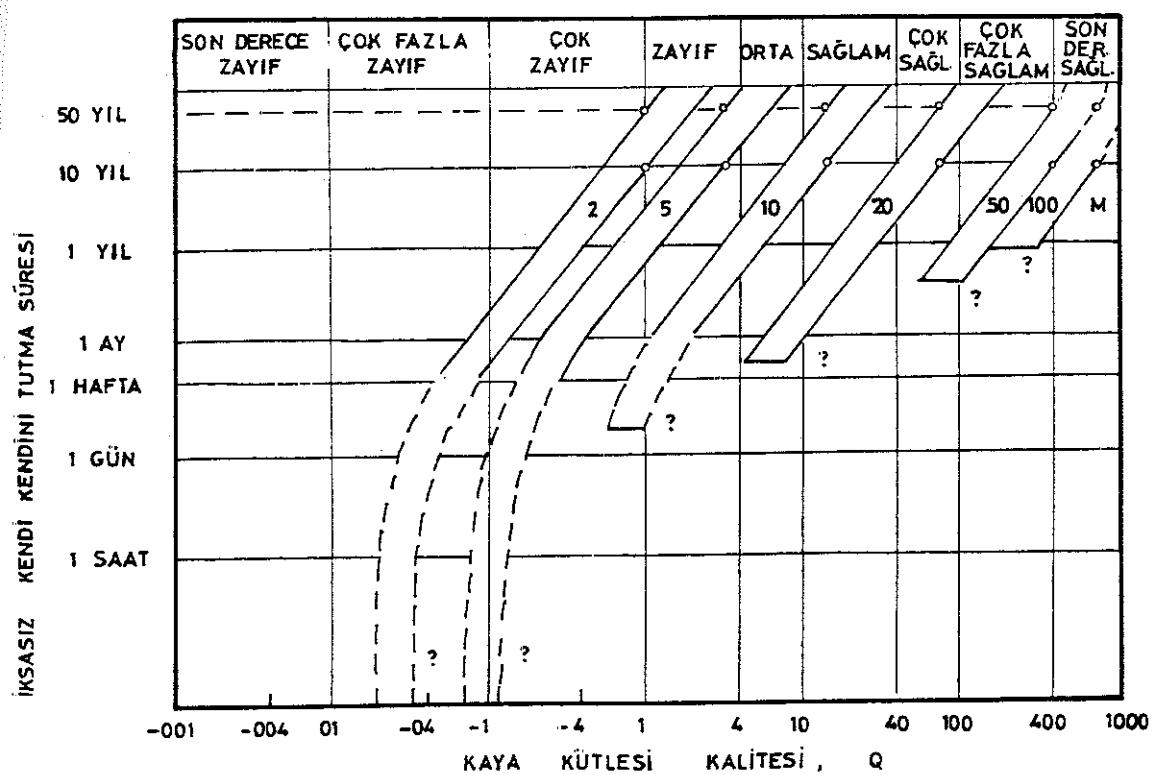
bağıntısında geliştirilebilir.

İksasız kendi kendini tutma süresi ile  $Q$  arasındaki ilişkide Şekil-36'de verilmiştir.



Şekil-35-Q sistemi, iksasız açıklık ile kaya kalitesi arasındaki ilişki.  
(Barton vd. 1974).

Q-system-unsupported span versus rock mass quality.



Şekil-36-Q sistemi, iksasız kendini tutma süresi ile kaya kalitesi arasındaki ilişki (Barton vd. 1974)

Q-System-stand-up time versus rock mass quality.

#### IV.3.2.4. RSR,RMR ve Q Sistemlerinin Karşılaştırılması

RSR, RMR ve Q sınıflama sistemlerini karşılaştırabilmek için öncelikle benzer parametrelerin incelenmesi gereklidir. Üç sistemin temelde ortak parametresi olan RQD, RMR ve Q sistemlerinde direkt olarak, RSR sisteminde kaya tipi içerisinde değerlendirilir. Eklemler RSR sisteminde sıklık ve ayırtma durumuna, RMR sisteminde sıklık ve genel özelliklerine göre, Q sisteminde ise pürüzlülüğü, alterasyon durumuna göre ayrıntılı olarak değerlendirilir. Q sisteminde eklemlerin ayrıntılı değerlendirilmesine karşın eklem sıklığı yer almaz. Eklemlerin yönlenimlerinin tünel açma yönüne göre etkileri RSR ve RMR sistemlerinde ele alınır. RSR sisteminde ayrıca fay ve kıvrım durumlarında incelenir. Süreksizlikleri ayrıntılı olarak inceleyen Q sisteminde eklemlerin yönlenimine göre düzeltme bulunmaz. Yeraltısu durumu üç sistemde de yeralır. RSR sisteminde tek eksenli basınç direnci veya nokta yük direnci, Q sisteminde serbest basınç, çekme direnci ile büyük ve küçük asal gerilmeler kullanılır.

Üç sistemi iksa seçimi yönünden incelediğimizde en ayrıntılı yaklaşım Q sisteminde gözlenir. Q sisteminde B/ESR ve H/ESR faktörleri yardımıyla tavan ve duvar için ayrı iksa tipleri önerilir ve 38 iksa sınıfı vardır. RSR sisteminde, dairesel kesit için iksa önerilir ve çelik iksaya daha çok önem verilmiştir. RMR sisteminde 5-12 m. genişliğindeki tüneller için iksa önerilir ve bu sisteme 5 kaya kütlesi sınıfı için 4 iksa sınıfı bulunur.

Karşılaştırma yapılan üç sınıflama sisteminin birbirlerine göre üstün olan ve olmayan yönleri vardır. Q sisteminin, RSR ve RMR sistemine göre eklemleri ayrıntılı incelemesi olumlu, eklem yönlenimini gözönünde bulundurmaması olumsuzdur. RSR sisteminin kaya tipi ve jeolojik yapı gibi parametreleri kullanması olumlu bir yaklaşımdır. İksa seçiminde Q sisteminin ayrıntılı yaklaşımı tavan ve duvar

için farklı iksa tipi önermesi çok önemlidir. RMR sisteminin önerdiği iksa tipi 5m. genişlikteki bir tünel için fazla olabilir. RSR sistemi ise çelik iksali tüneller için daha kullanışlıdır.

Birbirlerinden benzer ve farklı yönleri olan bu üç sistemin hangisinin kullanılması gereğine kesin karar vermek zordur. Bunun yanısıra bir tünelde tek sınıflama sistemi kullanma zorunluğu da yoktur. Bu incelemede RSR, RMR ve Q sınıflama sistemleri kullanılmış ve bulunan iksa önlemleri karşılaştırılmıştır. Yapılan karşılaştırma sonucu yazar iksa önlemlerini tek tabloda toplamıştır.

Bieniawski (1976) Q ve RMR sınıflama sistemlerinin kullanıldığı 111 çalışmayı bir grafikte toplamış (Şekil-37) ve RMR ile Q arasında aşağıdaki eşitliğin bulunduğu söylenmiştir.

$$RMR = 91nQ + 44$$

Ayrıca Rutlege (1978) üç sınıflama sistemi arasında aşağıdaki ilişkiden bahsetmiştir.

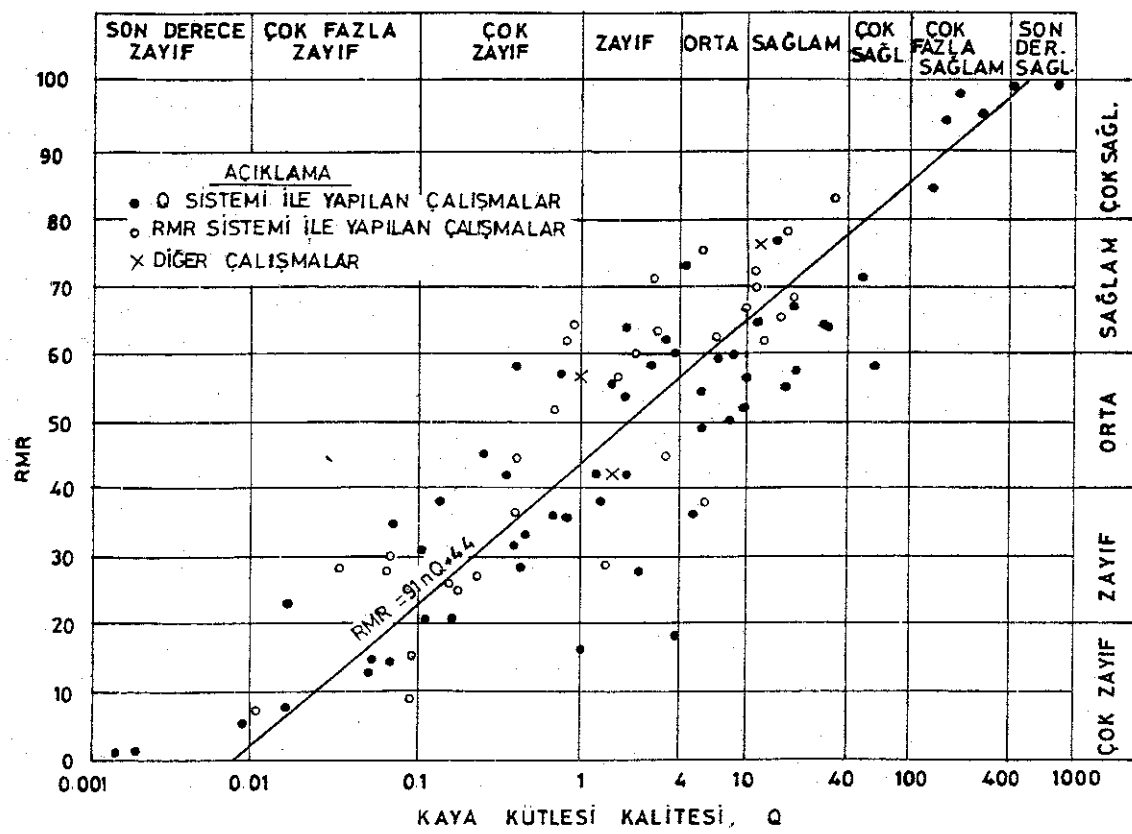
$$RMR = 13.5 \log Q + 43 \quad (\text{Standart sapma} = 9.4)$$

$$RSR = 0.77 RMR + 12.4 \quad (\text{Standart sapma} = 8.9)$$

$$RSR = 13.3 \log Q + 46.5 \quad (\text{Standart sapma} = 7.0)$$

#### IV.3.3. KOPDAĞI 1 KOPDAĞI 2 TÜNEL GÜZERGAHLARINDA YAPILAN KAYA KÜTLESİ SINIFLAMALARI İÇİN VERİ TOPLAMA YÖNTEMİ

Tünel güzergahında yapılan jeoteknik çalışmalarla amaç kaya kütlesini sınıflayarak iksa tipini belirlemektir. Çeşitli formasyonlardan geçen bir tünel güzergahının tamamı için aynı tip iksa önerilmez. İksa tipi; benzer litolojik ve yapısal özellik gösteren bölgeler için aynı seçilir. Bu nün amaca, bir bölgedeki iksanın diğerine fazla veya az gelmesinin önlenmesidir. Ayrıca bölgelerin çok fazla ve iksanın



Şekil-37-RMR ve Q sistemleri ile yapılan çalışmaların karşılaştırılması (Bieniawski, 1976).

Correlation between Geomechanics Classification and Q-System.

çok sık değişmesinden de kaçınmak gereklidir.

Kopdağı 1 ve Kopdağı 2 tünel güzergahlarında da jeolojik profilden yararlanarak benzer litolojik ve yapışal özellik gösteren "Yapısal Bölge"ler belirlenmiştir. Bunlar;

Litoloji	Yapısal Bölge	Km
Çamurtaşılı-şeyl	II1B	0.060-0.150
Çakıltaşılı	II1A	0.150-0.364
Fay zonu	III	0.364-0.380
Kireçtaşılı-şeyl	I2	0.380-1.480
Fay zonu	III	1.480-1.510
Ultramafit	I3	1.510-3.060

Kopdağı 1 Tünel Güzergahı

Litoloji	Yapısal Bölge	Km
Çamurtaşılı-şeyl	III1B	2.030-2.250
Çakıltaşılı	III1A	2.250-2.420
Kireçtaşılı-şeyl	II2	2.420-2.810
Fay zonu	III	2.810-2.814
Çamurtaşılı-şeyl	III1B	2.814-3.032
Çakıltaşılı	III1A	3.032-3.272
Kireçtaşılı-şeyl	II2	3.272-3.610
Fay zonu	III	3.610-3.630
Kireçtaşılı-şeyl	II2	3.630-4.540
Fay zonu	III	4.540-4.555
Ultramafit	II3	4.555-6.018

Kopdağı 2 Tünel Güzergahı

Bu yapısal bölgelerin her birinde RSR, RMR ve Q sistemleri ile sınıflama yapabilmek için Şekil- 38, 39, 40'de verilen veri toplama formlarından yararlanılmıştır.

Tünel Güzergahı:  
Formasyon :  
Litoloji :  
Yapısal Bölge :  
Kilometre :

Hazırlayan:  
Tarih :

Kayanın kökeni: Magmatik  Metamorfik  Sedimanter

Sertlik: Sert  Orta  Yumuşak  Ayrlışmış

Jeolojik yapı: Masif  Az faylı veya kıvrımlı   
Orta faylı yada kıvrımlı  Çok faylı yada kıvrımlı

Eklem Durumu:

Sıkı yada çimentolu  
Az ayrılmış  
Çok ayrılmış yada açık

Eklem Takımı		
1	2	3
<input type="checkbox"/>	<input type="checkbox"/>	<input type="checkbox"/>
<input type="checkbox"/>	<input type="checkbox"/>	<input type="checkbox"/>
<input type="checkbox"/>	<input type="checkbox"/>	<input type="checkbox"/>

Eklem Sıklığı:

Çok sık eklemli <5 cm  
Sık eklemli 5-13 cm  
Orta eklemli 13-30 cm  
Orta-Bloklu 30-60 cm  
Bloklu-masif 60-120 cm  
Masif >120 cm

Eklem Takımı		
1	2	3
<input type="checkbox"/>	<input type="checkbox"/>	<input type="checkbox"/>
<input type="checkbox"/>	<input type="checkbox"/>	<input type="checkbox"/>
<input type="checkbox"/>	<input type="checkbox"/>	<input type="checkbox"/>
<input type="checkbox"/>	<input type="checkbox"/>	<input type="checkbox"/>
<input type="checkbox"/>	<input type="checkbox"/>	<input type="checkbox"/>

Tünelin 1000 feet'inden gelen su akımı: ..... gal/dak

Eklem Düzeltmesi:

E.tak1 E.tak2 E.tak3

Doğultu

..... ..... .....

Doğrultu tünel eksenine dik

E.tak....

Doğrultu tünel eksenine paralel

E.tak....

Eğim Düzeltmesi

Eklem Takımı

Eğim 0-20°

1 2 3

20°-50°

50°-90°

Eğim yönü

... ... ...

Tünel açma yönü:

Eğim yönünde

Eğim tersi yönünde

Genel açıklamalar:

Şekil-38-RSR sistemi veri toplama formu

Classification input data worksheet RSR-system

Tünel Güzergahı:  
 Formasyon :  
 Litoloji :  
 Yapısal bölge :  
 Kilometre :

Hazırlayan:  
 Tarih :

Sağlam Kayanın Mukavemeti	$\sigma_c$ kg/cm <sup>2</sup>	Sondaj Karotu Kalitesi	RQD%
Çok yüksek	>2000	Pekiyi	90-100
Yüksek	1000-2000	İyi	75-90
Orta	500-1000	Orta	50-75
Düşük	250-500	Fena	25-50
Çok düşük	10-250	Çok fena	<25
		Değişim aralığı .....	

Eklemlerin Sıklığı	Eklemlerin takımı	Süreksizlik Duvarı
Çok geniş	>3m.	Ayrışmamış
Geniş	1-3m.	Az ayrılmış
Orta	30cm-1m.	Orta ayrılmış
Kapalı	5-30cm.	Fazla ayrılmış
Çok kapalı	<5cm.	Tamamen ayrılmış

#### Doğrultu Eğim Düzeltmesi

E.tak	Doğrultu	Eğim	Eğim yönü
1	..... (.....)	....	....
2	..... (.....)	....	....
3	..... (.....)	....	....

Yeraltı suyu: Tünelin 10m.lik kısmından gelen su lt/dak;  
 Yok  <25  25-125  >125

Genel durum; Tamamen kuru Nemli Islak  
 Basınçlı su akışı; Az  Orta  Yüksek

#### Eklemlerin Durumu

Devamlılık(m.)	Eklemlerin takımı	Ayrılma(mm.)	Eklemlerin takımı
Çok düşük	1	2	3
<1	<input type="checkbox"/>	<input type="checkbox"/>	<input type="checkbox"/>
Düşük	1-3	<input type="checkbox"/>	<input type="checkbox"/>
Orta	3-10	<input type="checkbox"/>	<input type="checkbox"/>
Yüksek	>10	<input type="checkbox"/>	<input type="checkbox"/>

#### Pürüzlülük

Eklemlerin takımı	Dolgu	Eklemlerin takımı
1	2	3
<input type="checkbox"/>	<input type="checkbox"/>	<input type="checkbox"/>
Çok pürüzlü	<input type="checkbox"/>	<input type="checkbox"/>
Pürüzlü	<input type="checkbox"/>	<input type="checkbox"/>
Az pürüzlü	<input type="checkbox"/>	<input type="checkbox"/>
Düz	<input type="checkbox"/>	<input type="checkbox"/>
Sürtünme izli	<input type="checkbox"/>	<input type="checkbox"/>

#### Genel açıklamalar:

Şekil-39-RMR sistemi veri toplama formu  
 Classification input data worksheet RMR-system

Tünel Güzergahı:  
Formasyon :  
Litoloji :  
Yapısal Bölge :  
Kilometre :

Hazırlayan:  
Tarih :

Sondaj Karot Kalitesi RQD %

Pekiyi	90-100	<input type="checkbox"/>
İyi	75-90	<input type="checkbox"/>
Orta	50-75	<input type="checkbox"/>
Fena	25-50	<input type="checkbox"/>
Çok fena	0-25	<input type="checkbox"/>

Değişim aralığı .....

Eklem Takımı

Masif eklem çok az yada hiç yok	<input type="checkbox"/>
Eklem takımı sayısı	...
Gelişigüzel eklemeler	<input type="checkbox"/>
Çok sayıda eklemeler	<input type="checkbox"/>
Parçalanmış kaya	<input type="checkbox"/>

Pürüzlülük

Pürüzlü yada düzensiz	<input type="checkbox"/>
Düz	<input type="checkbox"/>
Sürtünme izli	<input type="checkbox"/>
Dalgalı	<input type="checkbox"/>
Düzlemsel	<input type="checkbox"/>
Süreksiz	<input type="checkbox"/>
kaya duvar dokanağı	<input type="checkbox"/>
Kaya duvar dokanağı yok	<input type="checkbox"/>

Dolgu ve Alterasyon

Sıkıca bağlı eklem	<input type="checkbox"/>
Altere olmamış, yüzeysel boyanma	<input type="checkbox"/>
Hafifçe altere	<input type="checkbox"/>
Silt veya kumlu kaplama	<input type="checkbox"/>
Kil kaplama	<input type="checkbox"/>
Kum veya parçalanmış kaya	<input type="checkbox"/>
Sert kil <5mm. <input type="checkbox"/> >5mm. <input type="checkbox"/>	
Yumuşak kil<5mm. <input type="checkbox"/> >5mm. <input type="checkbox"/>	
Şişen kil <5mm. <input type="checkbox"/> >5mm. <input type="checkbox"/>	

Su Durumu

Kuru veya az akış	<input type="checkbox"/>
Orta akış	<input type="checkbox"/>
Dolgusuz eklemden fazla akış	<input type="checkbox"/>
Dolgusuz yıkaması fazla akış	<input type="checkbox"/>
Aşırı su gelişimi zamanla azalma	<input type="checkbox"/>
Aşırı su gelişimi zamanla artma	<input type="checkbox"/>
Yaklaşık su basıncı.....kg/cm <sup>2</sup>	

Gerilme Durumu

Düşük gerilme yüzeye yakın	
Orta gerilme $\sigma_c / \sigma_1 = 10-200$	
Yüksek gerilme $\sigma_c / \sigma_1 = 5-10$	
Kil dolgulu zayıflık zonu	
Kesme zonu	
Sıkışan kaya	
Şişen kaya	
Gerilme değerinin tanımlaması	

$$\sigma_{\text{düşey}} = \dots \quad \sigma_{\text{yatay}} = \dots$$

Genel Özellikler:

$$\sigma_c = \dots \quad \sigma_t = \dots$$

Şekil-40- Q sistemi veri toplama formu.

Classification input data worksheet Q-system.

#### IV.4. KAYA KÜTLESİ SINIFLAMALARININ KOPDAĞI 1 ve KOPDAĞI 2 TÜNEL GÜZERGAHLARINA UYGULANMALARI

Kaya kütlesi sınıflamalarında önce sınıflama yapılan yer belirtilmiş, daha sonra sınıflama parametreleri tanımlanarak sınıflama değeri bulunmuştur. Sınıflama değerleri en iyi ve en kötü koşullar için tanımlanarak, her iki koşulda ki iksa önlemleri belirlenmiştir. Sınıflama yapılarken en genel koşullar gözönüne alınmıştır. Örneğin; eklem sıklığı 60-120 cm arasında olan bir yapısal bölgede çok azda olsa 60 cm altında veya 120 cm üstünde eklem sıklığı olan yerler bulunabilmektedir. Ancak bunlar yapısal bölgenin genel değerlendirmesinde yaniltıcı sonuçları doğurabileceğinden yazar tarafından kullanılmamıştır. Tünel açma yönü iki ağızdan başlayarak ortada kesişcek şekilde hesaplamalara katılmıştır.

RSR sisteminde, tünel çapı 30 ft'den büyük olduğu için düzeltme faktörü kullanılmamıştır, kaya bulonu hesaplamaları 1 inç çaplı bulon için yapılmıştır, kaya bulonu ve püskürtme beton kombinasyonlarının modern bir şekilde kullanıldığı günümüz teknolojisinde çelik iksa çok az kullanıldığından yazar tarafından önerilmemiştir.

Q sisteminde; ESR=1 seçilmiştir, bulon boyu tavan için 3.77 m. duvar için 3.57 m., ankrat boyu tavan için 4.72 m. duvar için 3.67 bulunmuştur.

Kopdağı 1 ve Kopdağı 2 tünel güzergahları için RSR, RMR ve Q sistemlerine göre ayrı ayrı sınıflamalar yapılmış ve iksa önlemleri belirlenmiştir. Üç sistemle bulunan iksa önlemleri her iki tünel güzergahı için ayrı tablolarda karşılaştırılmıştır.

#### IV.4.1. KOPDAĞI I TÜNEL GÜZERGAHI

##### IV.4.1.1. RSR Sistemiyle Sınıflama

Yapısal Bölge: II B, Litoloji: Çamurtaşısı-seyl km:0.060-0.150  
Sedimanter, yumuşak, az kıvrımlı A=15

Doğrultu eksene dik, açma eğimin tersi yönünde, eğim  $40^{\circ}$ ,  
orta derece eklemli B=19

A+B=34, Su akımı az, eklem durumu orta C=15

$$RSR=15+19+15=49$$

Kaya yükü:  $Wr=2.05 \text{ kg/cm}^2$

İksa: 47.2 cm aralıklı sistematik bulon, 10.9 cm kalınlığında  
püskürtme beton

Yapısal Bölge: II A, Litoloji: Çakıltaşısı, km:0.150-0.364

Sedimanter, orta sert, az kıvrımlı A=18

Doğrultu eksene dik, açma eğim ve eğim tersi yönünde, eğim  
 $70^{\circ}-85^{\circ}$ , orta-bloklu B=36 en iyi koşullarda

B=28 en kötü koşullarda

A+B=54 su akımı az, eklem durumu iyi C=23

A+B=46 su akımı az, eklem durumu iyi C=23

$$RSR= 18+36+23= 77, \text{En iyi koşullarda}$$

Kaya yükü:  $Wr=0.03 \text{ kg/cm}^2$

$$RSR= 18+46+23= 69, \text{En kötü koşullarda}$$

Kaya yükü:  $Wr=0.46 \text{ kg/cm}^2$

İksa: En iyi koşullarda, 131.2 cm. aralıklı sistematik bulon,  
2.7cm kalınlığında püskürtme beton

En kötü koşullarda, 69.3 cm. aralıklı sistematik bulon,  
4.4cm. kalınlığında püskürtme beton

Yapısal Bölge: I 2, Litoloji: Kireçtaşısı-seyl, km:0.380-1.480

Sedimanter, orta sert, çok kıvrımlı A=7

Doğrultu eksene dik ve paralel, açma eğim ve tersi yönünde,  
eğim  $38^{\circ}-84^{\circ}$

Sık eklemli B=19 en iyi koşullarda

B=11 en kötü koşullarda

A+B=26 Su akımı az, eklem durumu iyi C=19

A+B=18 Su akımı az, eklem durumu iyi C=19

RSR= 7+19+19=45, En iyi koşullarda

Kaya yükü: Wr=2.51 kg/cm<sup>2</sup>

RSR= 7+11+19=37, En kötü koşullarda

Kaya yükü: Wr= 3.68 kg/cm<sup>2</sup>

İksa: En iyi koşullarda, 44.7 cm. aralıklı sistematik bulon  
17.8cm. kalınlığında püskürtme  
beton

En kötü koşullarda, 40.8 cm. aralıklı sistematik bulon  
17.8 cm. kalınlığında püskürtme  
beton

Yapısal Bölge: I3, Litoloji: Ultramafit, serpentin, km:1.510-3.060

Magmasal, yumuşak-orta sert, orta faylı A=13 en iyi koşullarda

A=12 en kötü koşullarda

Doğrultu eksene dik ve paralel, açma eğim ve tersi yönünde,  
eğim 52°-85°

Orta-sık eklemeli B=28, en iyi koşullarda

B=11, en kötü koşullarda

A+B=41 su akımı az, eklem durumu orta C=15

A+B=23 su akımı az, eklem durumu orta C=15

RSR=13+28+15=56 En iyi koşullarda

Kaya yükü: Wr=1.38 kg/cm<sup>2</sup>

RSR=12+11+15=38 En kötü koşullarda

Kaya yükü: Wr= 3.52 kg/cm<sup>2</sup>

İksa: En iyi koşullarda, 52.2 cm. aralıklı sistematik bulon,

8.2 cm. kalınlığında püskürtme beton

En kötü koşullarda, 41.2 cm. aralıklı sistematik bulon,

17.2 cm. kalınlığında püskürtme beton

Yapısal Bölge: III, fay zonu, km:0.364-0.380, 1.480-1.510

Fay zonu için sınıflamadaki en kötü koşullar gözönüne

alınmıştır. A=6, B=10, C=6

RSR=6+10+6=22

Kaya yükü: Wr=7.56 kg/cm<sup>2</sup>

İksa: Kaya bulonu ve püskürtme beton bulunan RSR değerine göre bu sistemde uygulanamaz. Çok ağır çelik iksa gereklidir.

#### IV.4.1.2. RMR Sistemiyle Sınıflama

Yapısal Bölge: II B Litoloji: Çamurtaşısı-şeyl km: 0.060-0.150

Tek eksenli direnci  $148 \text{ kg/cm}^2$  2

RQD 85% 17

Eklem sıklığı 70 cm. 20

Eklem durumu Eklemli yumuşak duvar kayası  
ayrım <1mm. 12

Yeraltı suyu <25 lt/dak 7

Eğim yönüne göre düzeltme -10

$$\text{RMR}=2+17+20+12+7-10=48 \quad \text{Orta kaya (III)}$$

İksasız kendi kendini tutma süresi: Ani göçme olabilir.

Maksimum iksasız açıklık: 1.8 m.

İksa: -3-4 m. uzunlığında, 1.5-2.0m. aralıklı sistematik bulon.

-Tavanda çelik hasır

-Tavanda 50-100 mm. yan duvarlarda 30 mm. püskürtme beton

Yapısal Bölge: II A, Litoloji: Çakıltaşısı, km: 0.150-0.364

Tek eksenli basınç direnci  $460 \text{ kg/cm}^2$  en iyi 4 en kötü 4

RQD 85% 17 17

Eklem sıklığı 76 cm. 20 20

Eklem durumu Az kaba yüzler, eklemli sert duvar  
kayası ayrılm 1 mm. 20 20

Yeraltı suyu <25 lt/dak. 7 7

Eğim yönüne göre düzeltme 0 -5

$\text{RMR}=4+17+20+20+7-0=68$  iyi kaya (II), En iyi koşullarda

İksasız kendi kendini tutma süresi 2 ay

Maksimum iksasız açıklık: 2.5 m.

$\text{RMR}=4+17+20+20+7-5=63$  iyi kaya (II) En kötü koşullarda

İksasız kendi kendini tutma süresi 1 ay

Maksimum iksasız açıklık 2.4m.

İksa: -Tavanın 2-3m.sinde 2-2.5m. aralıklı yeryer bulon

-Tavanda çelik hasır

-Tavanda geçirmezlik için 50 mm. püskürtme beton

Yapısal Bölge: I2, Litoloji:Kireçtaşısı-şeyl, km:0.380-1.480

		en iyi	en kötü
Tek eksenli basınç direnci	554-282 kg/cm <sup>2</sup>	7	4
RQD	60%	13	13
Eklem sıklığı	20 cm	10	10
Eklem durumu	Az kaba yüzler, eklemli sert-yumuşak duvar kayası ayrılm <1 mm.-2 mm	18	10
Yeraltı suyu	<25 lt/dak	7	7
Eğim yönüne göre düzeltme		0	-12

RMR=7+13+10+18+7+0=55 orta kaya (III) En iyi koşullarda  
İksasız kendi kendini tutma süresi: 6 gün  
Maksimum iksasız açıklık: 2m.

RMR=4+13+10+10+7-12=32 Zayıf kaya(IV)En kötü koşullarda  
İksasız kendi kendini tutma süresi: Ani geçme olabilir.  
Maksimum iksasız açıklık : 1.2m.

İksa: En iyi koşullarda ,

- 3-4m. uzunluğunda, 1.5-2.0m. aralıklı sistematik bulon
- Tavanda çelik hasır
- Tavanda 50-100mm., yan duvarlarda 30 mm. püskürtme beton  
En kötü koşullarda,
- 4-5m. uzunluğunda 1-1.5m. aralıklı sistematik bulon
- Tavan ve duvarlarda çelik hasır
- Tavanda 100-150 mm. yan duvarlarda 100 mm. püskürtme  
beton
- Yeryer 1.5m. aralıklı hafif çelik traversler

Yapısal Bölge: I3, Litoloji:Ultramafit, serpentin, km:1.510-3.060

		en iyi	en kötü
Tek eksenli basınç direnci	542-180 kg/cm <sup>2</sup>	7	2
RQD	45%	8	8
Eklem sıklığı	50-20 cm.	20	10
Eklem durumu	Düz yüzeyler, eklemli sert duvar kayası ayrım <1mm.-2.5mm.	18	10
Yeraltısuyu	<25 lt/dak	7	7
Eğim yönüne göre düzeltme		0	-12

RMR=7+8+20+18+7-0=60 Orta kaya (III) En iyi koşullarda  
İksasız kendi kendini tutma süresi 15 gün  
Maksimum iksasız açıklık:2.2m.

RMR=2+8+10+10+7-12=25 Zayıf kaya (IV) En kötü koşullarda iksasız kendi kendini tutma süresi Ani göçme olabilir.

Maksimum iksasız açıklık:1m.

İksa: En iyi koşullarda,

- 3-4m. uzunluğunda 1.5-2.0 m. aralıklı sistematik bulon
- Tavanda çelik hasır
- Tavanda 50-100mm., yan duvarlarda 30 mm püskürtme beton

En kötü koşullarda,

- 4-5m. uzunluğunda, 1-1.5m. aralıklı sistematik bulon
- Tavan ve duvarlarda çelik hasır
- Tavanda 100-150 mm. yan duvarlarda 100 mm. püskürtme beton
- Yeryer 1.5m. aralıklı hafif çelik traversler.

Yapısal Bölge:III, fay zonu, km:0.364-0.380,1.480-1.510

Tek eksenli basınç direnci  $30-100 \text{ kg/cm}^2$  1

RQD < 25 % 3

Eklem sıklığı < 50 mm. 5

Eklem durumu yumuşak fay kili sürekli açık eklemeler 6

Yeraltısuyu <25-125 lt/dak. 4

Eğim yönüne göre düzeltme -10

RMR=1+3+5+6+4-10=9 Çok zayıf kaya (IV)

İksasız kendi kendini tutma süresi:Ani göçmeler olabilir.

Maksimum iksasız açıklık: 0.60m.

İksa: -5m. uzunluğunda, 1-1.5m. aralıklı sistematik bulon.

-Tavan ve duvarlarda çelik hasır

-Tavanda 150-200 mm., yan duvarlarda 150mm., aynada 50 mm. püskürtme beton

-Çelik iksali 0.75 m. aralıklı ağır traversler

#### IV.4.1.3. Q Sistemi ile Sınıflama

Yapısal Bölge: II B, Litoloji:Çamurtaşısı-şeyl, km:0.060-0.150

RQD 85 % 85

Jn 1 eklem takımı gelişmiş güzel eklemeler 3, giriş ağzı için JnX2 6.0

Jr Pürüzlü, düzensiz 3.0

Ja siltli ve kumlu kil kaplamaları	3.0
Jw <5lt/dak.	1.0
SRF	10.0

$$Q = \frac{85}{6.0} \cdot \frac{3.0}{3.0} \cdot \frac{1.0}{10.0} = 1.4 \quad \text{Zayıf}$$

Tavan iksa sınıfı: 23

$$\text{Tavan iksa basıncı: } P_{\text{tavan}} = 0.49 \text{ kg/cm}^2$$

Duvar iksası:  $0.1 < Q < 10$  olduğundan  $2.5Q=3.5$

Duvar iksa sınıfı: 19

$$\text{Duvar iksa basıncı: } P_{\text{duvar}} = 0.36 \text{ kg/cm}^2$$

Maksimum iksasız açıklık: 2.29 m.

İksasız kendi kendini tutma süresi: 1-2 hafta

İksa: Tavan için, 3.77m. uzunluğunda, 1-1.5m. aralıklı gerdirmesiz sistematik bulon, 15-30 cm. kalınlığında çelik hasır takviyeli püskürtme beton.

Duvarlar için, 3.57m. uzunluğunda 1-1.5 m. aralıklı gerdirmeli sistematik bulon, 5-10cm. kalınlığında çelik hasır takviyeli püskürtme beton.

Yapısal Bölge: II A, Litoloji: Çakıltaşısı, km: 0.150-0.364

RQD	85%	85
Jn	2 eklem takımı, gelişmiş güzel eklemeler	6
Jr	pürüzlü, dalgalı	3
Ja	sıkıca bağlı eklemeler	0.75
Jw	< 5 lt/dak.	1.0
SRF		1.0

$$Q = \frac{85}{6} \cdot \frac{3}{0.75} \cdot \frac{1.0}{1.0} = 56.6 \quad \text{Çok sağlam}$$

Tavan iksa sınıfı: 9

$$\text{Tavan iksa basıncı: } P_{\text{tavan}} = 0.14 \text{ kg/cm}^2$$

Duvar iksası:  $Q > 10$  olduğundan  $5Q=283.0$

Duvar iksası: Gerekmez.

$$\text{Duvar iksa basıncı: } P_{\text{duvar}} = 0.08 \text{ kg/cm}^2$$

Maksimum iksasız açıklık: 10.04 m.

İksasız kendi kendini tutma süresi: 10 yıldan fazla

İksa: Tavan için, 3.77m. uzunluğunda 2.5-3m. aralıklı, gerdirmesiz, sistematik bulon.  
Duvar için, iksa gerekmez.

Yapısal Bölge: I2, Litoloji: Kireçtaşısı-şeyl, km:0.380-1.480

RQD	60 %	60
Jn	3 eklem takımı, gelişigüzel eklemeler	12
Jr	Pürüzlü, düzensiz düzlemsel	1.5
Ja	Sıkıca bağlı eklemeler	0.75
Jw	< 5 lt/dak	1.0
SRF	En iyi 0.5	En kötü 1.0

$$Q = \frac{6.0}{12} \cdot \frac{1.5}{0.75} \cdot \frac{1.0}{0.5} = 20 \text{ Sağlam En iyi koşullarda}$$

Tavan iksa sınıfı: 14

$$\text{Tavan iksa basıncı: } P_{\text{tavan}} = 0.49 \text{ kg/cm}^2$$

Duvar iksası:  $Q > 10$  olduğundan  $5Q=100$

Duvar iksası gerekmez.

$$\text{Duvar iksa basıncı: } P_{\text{duvar}} = 0.29 \text{ kg/cm}^2$$

Maksimum iksasız açıklık: 6.6 m.

İksasız kendi kendini tutma süresi: 15 yıl

$$Q = \frac{6.0}{12} \cdot \frac{1.5}{0.75} \cdot \frac{1.0}{1.0} = 10 \text{ orta En kötü koşullarda}$$

Tavan iksa sınıfı: 18

$$\text{Tavan iksa basıncı: } P_{\text{tavan}} = 0.62 \text{ kg/cm}^2$$

Duvar iksası:  $Q=10$  olduğundan  $Q3.75=37.5$

Duvar iksa sınıfı: 13

$$\text{Duvar iksa basıncı: } P_{\text{duvar}} = 0.40 \text{ kg/cm}^2$$

Maksimum iksasız açıklık: 5.02 m.

İksasız kendi kendini tutma süresi: 2 yıl

İksa: En iyi koşullarda,

Tavan için, 3.77m. uzunluğunda 1.5-2 m. aralıklı gerdirmesiz sistematik bulon, zincir takviyeli.

Duvar iksası gerekmez.

En kötü koşullarda,  
Tavan için, 3.77m. uzunluğunda 1-1.5 m. aralıklı  
gerdirmesiz sistematik bulon, 2-3cm. püskürtme beton.  
Duvar için, 3.57m. uzunluğunda 1.5-2m. aralıklı  
gerdirmeli bulon, 2-3cm. püskürtme beton.

Yapısal Bölge:I3, Litoloji: Ultramafit-serpantin, km:1.510-3.60

RQD	45%	45
Jn	En iyi: 2 eklem takımı gelişigüzel eklemler	6
	En kötü:3 eklem takımı gelişigüzel eklemler	12
	Çıkış ağızı için 2.0XJn	24
Jr	En iyi: Pürüzlü düzlemsel	1.5
	En kötü:Düz, düzlemsel	1.0
Ja	En iyi: Altere olmamış, sadece yüzeysel paslanma	1.0
	En kötü:Az altere olmuş, düşük killi kaplamalar	3.0
Jw	< 5 lt/dak	1.0
SRF	En iyi: En kötü:	1.0 2.0

$$Q = \frac{45}{6} \cdot \frac{1.5}{1.0} \cdot \frac{1.0}{1.0} = 11.25 \text{ Sağlam En iyi koşullarda}$$

Tavan iksa sınıfı: 14

$$\text{Tavan iksa basıncı: } P_{\text{tavan}} = 0.49 \text{ kg/cm}^2$$

Duvar iksası:  $Q > 10$  olduğundan  $5Q=56.25$

Duvar iksa sınıfı: 9

$$\text{Duvar iksa basıncı: } P_{\text{duvar}} = 0.29 \text{ kg/cm}^2$$

Maksimum iksasız açıklık: 5.27 m.

İksasız kendi kendini tutma süresi: 6 yıl

$$Q = \frac{45}{12} \cdot \frac{1.0}{3.0} \cdot \frac{1.0}{2.0} = 0.63 \text{ Çok zayıf En kötü koşullarda}$$

Tavan iksa sınıfı: 27

$$\text{Tavan iksa basıncı: } P_{\text{tavan}} = 2.33 \text{ kg/cm}^2$$

Duvar iksası:  $0.1 < Q < 10$  olduğundan  $2.5Q=1.58$

Duvar iksa sınıfı: 23

Duvar iksa basıncı:  $P_{duvar} = 1.72 \text{ kg/cm}^2$

Maksimum iksasız açıklik: 1.66 m.

İksasız kendi kendini tutma süresi: Ani göçme olabilir.

$$Q = \frac{45}{24} \cdot \frac{1.5}{1.0} \cdot \frac{1.0}{1.0} = 2.81 \text{ Zayıf sıkış ağızı}$$

Tavan iksa sınıfı: 23

Tavan iksa basıncı:  $P_{tavan} = 1.42 \text{ kg/cm}^2$

Duvar iksası:  $0.1 < Q < 10$  olduğundan  $2.5Q=7.02$  Orta

Duvar iksa sınıfı: 18

Duvar iksa basıncı:  $P_{duvar} = 1.05 \text{ kg/cm}^2$

Maksimum iksasız açıklik: 3.02

İksasız kendi kendini tutma süresi: 2 yıl

İksa: En iyi koşullarda,

Tavan için, 3.77m. uzunluğunda, 1.5-2 m. aralıklı gerdirmesiz sistematik bulon, zincir takviyeli.

Duvar için, 3.57m. uzunluğunda 2.5-3m. aralıklı gerdirmesiz bulon.

En kötü koşullarda,

Tavan için, 3.77m. uzunluğunda 1m. aralıklı genleşen tip gerdirmeli bulon ve 4.72m. uzunluğunda ankrat, 10-20cm kalınlığında çelik hasır takviyeli püskürtme beton

Duvar için, 3.57m. uzunluğunda 1-1.5m. aralıklı gerdirmesiz bulon, 5-10cm. kalınlığında çelik hasır takviyeli püskürtme beton.

Çıkış ağızında, Tavan için, 3.77m. uzunluğunda, 1-1.5 m. aralıklı gerdirmesiz bulon, 5-10cm. kalınlığında çelik hasır takviyeli püskürtme beton.

Duvar için, 3.57m. uzunluğunda 1-1.5m. aralıklı gerdirmesiz bulon 2-3cm. püskürtme beton.

Yapısal Bölge: III, Fay zonu, km: 0.364-0.380, 1.480-1.510

Jn gelişigüzel çok sayıda eklemler	15
Jr Ezik, killi-çakıllı zon	1.0
Ja Kumlu killi zon	5.0
Jw Orta derecede su gelişisi	0.66
SRF	10

$$Q = \frac{25}{15} \cdot \frac{1.0}{5.0} \cdot \frac{0.66}{10} = 0.022 \text{ Çok fazla zayıf}$$

$Q < 0.1$  olduğundan tavan ve duvarlarda aynı  $Q$  değeri kullanılmıştır.

Tavan iksa sınıfı: 35

Duvar iksa sınıfı: 35

İksa basıncı:  $P = 7.05 \text{ kg/cm}^2$

maksimum iksasız açıklık: 0.44 m.

İksasız kendi kendini tutma süresi: Ani göçme olabilir.

İksa: Tavanda, 3.77m. duvarlarda 3.57 m. uzunlığında 1m.

aralıklı gerdirmeli bulon ve tavanda 4.72m. duvarlar-  
da 3.67m. uzunlığında ankraj, 40-150 cm. kalınlığında  
çelik takviyeli beton kemer.

#### IV.4.2. KOPDAĞI 2 TÜNEL GÜZERGAHI

##### IV.4.2.1. RSR Sistemiyle Sınıflama

Yapısal Bölge: IIIB, Litoloji: Çamurtaşısı-şeyl km:2.030-2.250,  
2.814-3.032

Sedimanter, yumuşak, az kıvrımlı A=15

Doğrultu eksene dik ve paralel, açma eğim tersi yönünde,  
eğim  $47^\circ$ , orta derece eklemlı B= 23 en iyi koşullarda  
 $B=19$  en kötü koşullarda

A+B=38 su akımı az, eklemler durumu orta C=15

A+B=34 su akımı az eklemler durumu orta C=15

RSR=  $15+23+w_5=53$ , En iyi koşullarda  
kaya yükü:  $Wr= 1.65 \text{ kg/cm}^2$

RSR=  $15+19+15=49$ , En kötü koşullarda  
Kaya yükü:  $Wr= 2.05 \text{ kg/cm}^2$

İksa: En iyi koşullarda, 81.2cm aralıklı sistematik bulon,  
9.5cm.kalınlığında püskürtme beton.

En kötü koşullarda, 47.1cm aralıklı sistematik bulon,  
11.1cm. kalınlığında püskürtme  
beton.

Yapısal Bölge: IIIA, Litoloji: Çakıltaşısı, km: 2.250-2.420,  
3.032-3.272

Sedimanter, ortasert, az kıvrımlı A=18  
Doğrultu eksene dik ve paralel, açma eğim ve eğim tersi yönünde, eğim  $23^{\circ}$ - $85^{\circ}$ , orta-bloklu, orta derece eklemli  
B=36 En iyi koşullarda  
B=19 En kötü koşullarda  
A+B=51 su akımı az eklem durumu iyi C=23 en iyi koşullarda  
A+B=34 su akımı az eklem durumu iyi C=19 en kötü koşullarda  
RSR=18+36+23=77 En iyi koşullarda  
Kaya yükü: Wr=0.03 kg/cm<sup>2</sup>  
RSR=18+19+19=56 En kötü koşullarda  
Kaya yükü: Wr=1.38 kg/cm<sup>2</sup>  
İksa: En iyi koşullarda, 131.2cm. aralıklı sistematik bulon,  
2.7cm. kalınlığında püskürtme beton.  
En kötü koşullarda, 52.0cm. aralıklı sistematik bulon,  
8.3cm. kalınlığında püskürtme beton.

Yapısal Bölge: II2, litoloji: Kireçtaşısı - şeyl, km: 2.420-2.810  
3.272-3.610, 3.630-4.540

Sedimanter, orta sert, çok kıvrımlı A=7  
Doğrultu eksene dik ve paralel, açma eğim ve eğim tersi yönünde, eğim  $53^{\circ}$ - $87^{\circ}$  sık eklemli B=19 En iyi koşullarda  
B=11 En kötü koşullarda  
A+B=26 su akımı az, eklem durumu orta C=15  
A+B=18 su akımı az, eklem durumu orta C=15  
RSR=7+19+15=41 En iyi koşullarda  
Kaya yükü: Wr=3.05 kg/cm<sup>2</sup>  
RSR=7+11+15=33 En kötü koşullarda  
Kaya yükü: Wr=4.14 kg/cm<sup>2</sup>  
İksa: En iyi koşullarda, 42.6 cm. aralıklı sistematik bulon,  
15.3 cm. kalınlığında püskürtme beton.

En kötü koşullarda, 38.8cm. aralıklı sistematik bulon,  
21.0cm.kalınlığında püskürtme  
beton.

Yapısal Bölge:II3, Litoloji: Ultramafit-serpantin, km:4.555-6.018

Magmasal, yumuşak-orta sert, orta faylı

A=13 En iyi koşullarda

A=12 En kötü koşullarda

Doğrultu eksene dik ve paralel, açma eğim ve tersi yönünde  
eğim 52°-85° orta-sık eklemli B=28 en iyi koşullarda

B=11 en kötü koşullarda

A+B=41 su akımı az, eklem durumu orta C=15

A+B=23 su akımı az, eklem durumu orta C=15

RSR=13+28+15=56 En iyi koşullarda

Kaya yükü: Wr=1.38 kg/cm<sup>2</sup>

RSR=12+11+15=38 En kötü koşullarda

Kaya yükü: Wr=3.52 kg/cm<sup>2</sup>

İksa: En iyi koşullarda, 52.2 cm. aralıklı sistematik bulon,  
8.2 cm. kalınlığında püskürtme  
beton.

En kötü koşullarda, 41.2 cm. aralıklı sistematik bulon,  
17.2 cm. kalınlığında püskürtme  
beton.

Yapısal Bölge: III, fay zonu, km: 2.810-2.814, 3.610-3.630,  
4.540-4.555

Fay zonu için sınıflamadaki en kötü koşullar gözönüne alın-  
mıştır. A=6 B=10 C=6

RSR=6+10+6=22

Kaya yükü: Wr=7.56 kg/cm<sup>2</sup>

İksa: Kaya bulonu ve püskürtme beton, bulunan RSR değerine  
göre, bu sistemde uygulanamaz. Çok ağır çelik iksa  
gereklidir.

#### IV.4.2.2. RMR Sistemiyle Sınıflama

Yapısal Bölge: IIIB, Litoloji:Çamurtaşısı-şeyl,km:2.030-2.250,  
2.814-3.032

		en iyi	en kötü
Tek eksenli basınç direnci	148 kg/cm <sup>2</sup>	2	2
RQD	85 %	17	17
Eklem sıklığı	70 cm	20	20
Eklem durumu	Eklem yumuşak duvar kayası, ayrim <1mm.	12	12
Yeraltısuyu	< 25 lt/dak.	7	7
Eğim yönüne göre düzeltme		-5	-12

RMR=2+17+20+12+7-5= 53 Orta kaya (III) En iyi koşullarda İksasız kendi kendini tutma süresi: Ani göçme olabilir.

Maksimum iksasız açıklık: 2.3 m.

RMR=2+17+20+12+7-12=46 Orta kaya(III) En kötü koşullarda İksasız kendi kendini tutma süresi: Ani göçme olabilir.

Maksimum iksasız açıklık: 1.9 m.

İksa: -3-4m. uzunluğunda, 1.5-2.0m. aralıklı sistematik bulon.

-Tavanda çelik hasır

-Tavanda 50-100mm. yan duvarlarda 30 mm. püskürtme beton

Yapısal Bölge:IIIA, litoloji:Çakıltaşısı, km: 2.250-2.420,  
3.032-3.272

		en iyi	en kötü
Tek eksenli basınç direnci	460 kg/cm <sup>2</sup>	4	4
RQD	85 %	17	17
Eklem sıklığı	76-25 cm.	20	10
Eklem durumu	Az kaba yüzler, eklemli sert duvar kayası ayrim <1mm	20	20
Yeraltısuyu	<25lt/dak.	7	7
Eğim yönüne göre düzeltme		0	-5

RMR=4+17+20+20+7-0=68 İyi kaya (II) En iyi koşullarda İksasız kendi kenidni tutma süresi: 2 ay

Maksimum iksasız açıklık: 2.6m.

RMR=4+17+10+20+7-5=53 Orta kaya (III) En kötü koşullarda İksasız kendi kenidni tutma süresi: Ani göçmeler olabilir.  
Maksimum iksasız açıklık: 2.3m.

İksa: En iyi koşullarda,

- Tavanın 2-3m.inde, 2-2.5m. aralıklı yeryer bulon
- Tavanda çelik hasır
- Tavanda geçirmezlik için 50mm.püskürtme beton.

En kötü koşullarda,

-3-4m. uzunluğunda, 1.5-2.0m. aralıklı sistematik bulon.

-Tavanda çelik hasır

-Tavanda 50-100mm., yan duvarlarda 30mm. püskürtme beton

Yapısal Bölge: II2, Litoloji: Kireçtaşı-şeyl, km: 2.420-2.810,  
3.272-3.610, 3.630-4.540

	en iyi	en kötü
Tek eksenli basınç direnci $282 \text{ kg/cm}^2$	4	4
RQD 60 %	13	13
Eklem sıklığı 35-20cm.	20	10
Eklemlerin durumu Az kaba yüzler, eklemler sert yumuşak duvar kayası, ayrılm 1mm-2mm.	18	10
Yeraltısısu < 25 lt/dak.	7	7
Eğim yönüne göre düzeltme	0	-12

$\text{RMR}=4+13+20+18+7-0=62$  İyi kaya (II) En iyi koşullarda  
İksasız kendi kendini tutma süresi: 25 gün

Maksimum iksasız açılık: 2.4m.

$\text{RMR}=4+13+10+10+7-12=32$  Zayıf kaya (IV) En kötü koşullarda  
İksasız kendi kendini tutma süresi: Ani göçme olabilir.

Maksimum iksasız açılık: 1.2 m.

İksa: En iyi koşullarda,

-Tavanın 2-3m.sinde, 2-2.5m. aralıklı yeryer bulon

-Tavanda çelik hasır

-Tavanda geçirmezlik için 50mm. püskürtme beton

En kötü koşullarda,

-4-5m. uzunluğunda, 1-1.5m. aralıklı sistematik bulon

-Tavan ve duvarlarda çelik hasır

-Tavanda 100-150mm., yan duvarlarda 100mm. püskürtme beton

-Yeryer 1.5m. aralıklı hafif çelik traversler

Yapısal Bölge: III3, Litoloji: Ultramafit-serpantin, km: 4.555-6.018

	en iyi	en kötü
Tek eksenli basınç direnci $542-180 \text{ kg/cm}^2$	7	2
RQD <45 %	8	8
Eklem sıklığı 50-20 cm.	20	10
Eklem durumu Düz yüzeyler, eklemli sert duvar kayası ayrılm $<1\text{mm.}-2.5\text{mm.}$	18	10
Yeraltısuu $<25 \text{ lt/dak.}$	7	7
Eğim yönüne göre düzeltme	0	-12

$\text{RMR}=7+8+20+18+7-0=60$  Orta kaya (III) En iyi koşullarda İksasız kendi kendini tutma süresi: 15 gün  
Maksimum iksasız açıklık: 2.2m.

$\text{RMR}=7+8+10+7-12=25$  Zayıf kaya (IV) En kötü koşullarda İksasız kendi kendini tutma süresi: Ani göçme olabilir.  
Maksimum iksasız açıklık: 1m.

İksa: En iyi koşullarda,

-3-4m. uzunlığında 1.5-2.0m. aralıklı sistematik bulon.

-Tavanda çelik hasır

-Tavanda 50-100 mm., yan duvarlarda 30mm. püskürtme beton

En kötü koşullarda,

-4-5m. uzunlığında, 1-1.5m. aralıklı sistematik bulon

-Tavan ve duvarlarda çelik hasır

-Tavanda 100-150mm., yan duvarlarda 100 mm. püskürtme beton

-Yer yer 1.5m. aralıklı hafif çelik traversler

Yapısal Bölge: III, fay zonu, km: 2.810-2.814, 3.610-3.630,  
4.540-4.555

Tek eksenli basınç direnci  $30-100 \text{ kg/cm}^2$

RQD  $<25 \%$

Eklem sıklığı  $<50\text{mm.}$

Eklem durumu Yumuşak fay kili, sürekli aşikeklemler

Yeraltısuu 25-125 lt/dak.

Eğim yönüne göre düzeltme

$\text{RMR}=1+3+5+6+4-10=9$  Çok zayıf kaya (V)

İksasız kendi kendini tutma süresi: Ani göçmeler olabilir.

Maksimum iksasız açıklık: 0.60 m.

- İksa: -5m. uzunluğunda, 1-1.5m. aralıklı sistematik bulon.  
-Tavan ve duvarlarda çelik hasır.  
-Tavanda 150-200 mm., yan duvarlarda 150 mm., aynada  
50mm. püskürtme beton.  
-Çelik iksali, 0.75m. aralıklı ağır traversler.

#### IV.4.2.3. Q Sistemiyle Sınıflama

Yapısal Bölge: III B, Litoloji: Çamurtaşısı-seyl, km: 2.030-2.250,  
2.814-3.032

RQD	85 %	85
Jn	1 eklem takımı gelişigüzel eklemeler	3.0
Jr	Pürüzlü, düzensiz	3.0
Ja	Siltli ve kumlu, kil kaplamaları	3.0
Jw	<5 lt/dak.	1.0
SRF		10.0

$$Q = \frac{85}{3.0} \cdot \frac{3.0}{3.0} \cdot \frac{1.0}{10.0} = 2.8 \text{ Zayıf}$$

Tavan iksa sınıfı: 23

$$\text{Tavan iksa basıncı: } P_{\text{tavan}} = 0.27 \text{ kg/cm}^2$$

Duvar iksası:  $0.1 < Q < 10$  olduğundan  $2.5Q = 7$  Orta

Duvar iksa sınıfı: 18

$$\text{Duvar iksa basıncı: } P_{\text{duvar}} = 0.20 \text{ kg/cm}^2$$

Maksimum iksasız açıklık: 3.02 m.

İksasız kendi kendini tutma süresi: 1-2 hafta

İksa: Tavan için, 3.77m. uzunluğunda, 1-1.5m. aralıklı gerdirmesiz sistematik bulon, 5-10cm. kalınlığında çelik hasır takviyeli püskürtme beton.

Duvar için, 3.57 m. uzunluğunda 1-1.5m. aralıklı, gerdirmesiz sistematik bulon, zincir takviyeli.

Yapısal Bölge: III A, Litoloji: Çakıltaşısı, km: 2.250-2.420,  
3.032-3.272

RQD 85 %

85

Jn en iyi: 2 eklem takımı gelişigüzel eklemler	6
en kötü: 3 eklem takımı gelişigüzel eklemler	12
Jr Pürüzlü, dalgalı	3.0
Ja Sıkıca bağlı eklemler	0.75
Jw < 5 lt/dak	1.0
SRF	1.0

$$Q = \frac{85}{6} \cdot \frac{3}{0.75} \cdot \frac{1.0}{1.0} = 56.6 \text{ Çok sağlam En iyi koşullarda}$$

Tavan iksa sınıfı: 9

$$\text{Tavan iksa basıncı: } P_{\text{tavan}} = 0.14 \text{ kg/cm}^2$$

Duvar iksası: Q>10 olduğundan  $5Q=283.0$

Duvar iksası: Gerekmez.

$$\text{Duvar iksa basıncı: } P_{\text{duvar}} = 0.08 \text{ kg/cm}^2$$

Maksimum iksasız açıklık: 10.04 m.

İksasız kendi kendini tutma süresi: 10 yıldan fazla

$$Q = \frac{85}{12} \cdot \frac{3}{0.75} \cdot \frac{1.0}{1.0} = 28.3 \text{ Sağlam En kötü}$$

Tavan iksa sınıfı: 14

$$\text{Tavan iksa basıncı: } P_{\text{tavan}} = 0.22 \text{ kg/cm}^2$$

Duvar iksası: Q>10 olduğundan  $5Q=141.5$

Duvar iksası: Gerekmez.

$$\text{Duvar iksa basıncı: } P_{\text{duvar}} = 0.13 \text{ kg/cm}^2$$

Maksimum iksasız açıklık: 7.62 m.

İksasız kendi kendini tutma süresi: 10 yıldan fazla

İksa: En iyi koşullarda,

Tavan için, 3.77m. uzunluğunda, 2.5-3m. aralıklı, gerdirmesiz sistematik bulon.

Duvar için, iksa gerekmez.

En kötü koşullarda,

Tavan için, 3.77m. uzunluğunda, 1.5-2m. aralıklı, gerdirmesiz sistematik bulon, zincir takviyeli

Duvar için iksa gerekmez.

Yapısal Bölge: II2, Litoloji: Kireçtaşısı-şeyl, km:2.420-2.810,  
3.272-3.610, 3.630-4.540

RQD	60 %	60
Jn	en iyi 3 eklem takımı gelişigüzel eklemeler en kötü 4 eklem takımı gelişigüzel eklemeler	12 15
Jr	Pürüzlü, düzensiz, düzlemsel	1.5
Ja	Sıkıca bağlı eklemeler	0.75
Jw	<5 lt/dak	1.0
SRF	En iyi	0.5
	En kötü	1.0

$$Q = \frac{60}{12} \cdot \frac{1.5}{0.75} \cdot \frac{1.0}{0.5} = 20 \text{ Sağlam En iyi koşullarda}$$

Tavan iksa sınıfı: 14

$$\text{Tavan iksa basıncı: } P_{\text{tavan}} = 0.49 \text{ kg/cm}^2$$

Duvar iksası:  $Q > 10$  olduğundan  $5Q=100$

Duvar iksası gerekmez.

$$\text{Duvar iksa basıncı: } P_{\text{duvar}} = 0.29 \text{ kg/cm}^2$$

Maksimum iksasız açıklık: 6.6 m.

İksasız kendi kendini tutma süresi: 15 yıl

$$Q = \frac{60}{15} \cdot \frac{1.5}{0.75} \cdot \frac{1.0}{1.0} = 8.0 \text{ Orta En kötü koşularda}$$

Tavan iksa sınıfı: 18

$$\text{Tavan iksa basıncı: } P_{\text{tavan}} = 0.67 \text{ kg/cm}^2$$

Duvar iksası:  $0.1 < Q < 10$  olduğundan  $2.5Q=20$

Duvar iksa sınıfı: 13

$$\text{Duvar iksa basıncı: } P_{\text{duvar}} = 0.49 \text{ kg/cm}^2$$

Maksimum iksasız açıklık: 4.60 m.

İksasız kendi kendini tutma süresi: 1-2 yıl

İksa: En iyi koşullarda,

Tavan için, 3.77m. uzunluğunda 1.5-2.0m. aralıklı,  
gerdirmesiz sistematik bulon, zincir takviyeli  
duvar için, iksa gerekmez.

En kötü koşullarda,

Tavan için, 3.77m. uzunluğunda 1-1.5m. aralıklı

gerdirmesiz sistematik bulon, 2-3m. kalınlığında  
püskürtme beton

Duvar için, 3.57m. uzunluğunda, gerdirmesiz lokal  
bulonlama, 2-3cm. kalınlığında püskürtmebeton.

Yapısal Bölge: II3, Litoloji:Ultramafit-serpantin, km 4.555-6.018

RQD	45 %	45
Jn en iyi 2 eklem takımı gelişigüzel eklemeler	6	
en kötü 3 eklem takımı gelişigüzel eklemeler	12	
Çıkış ağızı için 2.0 x Jn	24	
Jr en iyi: pürüzlü, düzlemsel	1.5	
en kötü: düz, düzlemsel	1.0	
Ja en iyi: altere olmamış, sadece yüzeysel paslanma	1.0	
en kötü: az altere olmuş, düşük kil kaplamalar	3.0	
Jw <5 lt/dak	1.0	
SRF en iyi	1.0	
en kötü	2.0	

$$Q = \frac{45}{6} \cdot \frac{1.5}{1.0} \cdot \frac{1.0}{1.0} = 11.25 \text{ Sağlam En iyi koşullarda}$$

Tavan iksa sınıfı: 14

$$\text{Tavan iksa basıncı: } P_{\text{tavan}} = 0.49 \text{ kg/cm}^2$$

Duvar iksası:  $Q > 10$  olduğundan  $5Q=56.25$

Duvar iksa sınıfı: 9

$$\text{Duvar iksa basıncı: } P_{\text{duvar}} = 0.29 \text{ kg/cm}^2$$

Maksimum iksasız açıklık: 5.27 m.

İksasız kendi kendini tutma süresi: 6 yıl

$$Q = \frac{45}{12} \cdot \frac{1.0}{3.0} \cdot \frac{1.0}{2.0} = 0.63 \text{ Çok zayıf en kötü koşullarda}$$

Tavan iksa sınıfı: 27

$$\text{Tavan iksa basıncı: } P_{\text{tavan}} = 2.33 \text{ kg/cm}^2$$

Duvar iksası:  $0.1 < Q < 10$  olduğundan  $2.5Q=1.58$

Duvar iksa sınıfı: 23

Duvar iksa basıncı:  $P_{duvar} = 1.72 \text{ kg/cm}^2$

Maksimum iksasız açıklık: 1.66m.

İksasız kendi kendini tutma süresi: Ani göçme olabilir.

$$Q = \frac{45}{24} \cdot \frac{1.5}{1.0} \cdot \frac{1.0}{1.0} = 2.81 \text{ Zayıf Çıkış ağızı}$$

Tavan iksa sınıfı: 23

Tavan iksa basıncı:  $P_{tavan} = 1.42 \text{ kg/cm}^2$

Duvar iksası:  $0.1 < Q < 10$  olduğundan  $2.5Q = 7.02$

Duvar iksa sınıfı: 18

Duvar iksa basıncı:  $P_{duvar} = 1.05 \text{ kg/cm}^2$

Maksimum iksasız açıklık: 4.36 m.

İksasız kendi kendini tutma süresi: 2 yıl

İksa: En iyi koşullarda,

Tavan için, 3.77m. uzunluğunda, 1.5-2m. aralıklı, gerdirmesiz sistematik bulon, zincir takviyeli

Duvar için, 3.57m. uzunluğunda, 2.5-3m. aralıklı, gerdirmesiz bulon.

En kötü koşullarda,

Tavan için, 3.77m. uzunluğunda 1m. aralıklı genleşen tip gerdirmeli bulon ve 4.72m. uzunluğunda ankraj

10-20 cm kalınlığında çelik hasır takviyeli püskürtme beton.

Çıkış ağızında, Tavan için, 3.77m. uzunluğundan, 1-1.5m. aralıklı gerdirmesiz bulon, 5-10 cm. kalınlığında çelik hasır takviyeli püskürtme beton

Duvar için, 3.57 cm. uzunluğunda, 1-1.5m. aralıklı gerdirmesiz bulon 2-3 cm. püskürtme beton.

Yapısal Bölge: III, Fay zonu, km:2.810-2.814, 3.610-3.630, 4.540-4.555

RQD	25%	25
Jn	gelişigüzel çok sayıda eklemeler	15
Jr	ezikli, killi-çakıllı zon	1.0
Ja	kumlu, killi zon	5.0
Jw	orta derecede su gelişisi	0.66

SRF

10

$$Q = \frac{25}{15} \cdot \frac{1.0}{5.0} \cdot \frac{0.66}{10} = 0.022 \text{ Çok fazla zayıf}$$

$Q < 0.1$  olduğundan tavan ve duvarlarda aynı Q değeri kullanılmıştır.

Tavan iksa sınıfı: 35

Duvar iksa sınıfı: 35

İksa basıncı:  $P = 9.09 \text{ kg/cm}^2$

Maksimum iksasız açıklık: 0.44m.

İksasız kendi kendini tutma süresi: Ani göçme olabilir.

İksa: Tavanda, 3.77m. duvarlarda 3.57m. uzunluğunda 1m.

aralıklı gerdirmeli bulon ve tavanda 4.72m. duvarlar-  
da 3.67m. uzunluğunda ankraj, 40-150cm. kalınlığında  
çelik takviyeli beton kemeri.

#### IV.4.3. RSR, RMR ve Q SINIFLAMA SİSTEMLERİ İLE BULUNAN İKSA ÖNLEMLERİNİN KARŞILAŞTIRILMASI

Bu bölümde RSR, RMR ve Q sistemleri ile bulunan iksa önlemleri Kopdağı 1 ve Kopdağı 2 tünel güzergahları için iki ayrı tablo halinde karşılaştırılmıştır (Tablo-45-46).

Tablolar incelendiğinde Q sisteminin, iksa seçimine ne kadar ayrıntılı bir yaklaşım bulunduğu görülür. RMR ve Q sistemleri ile bulunan iksa yaklaşık benzerlik sunar. Ancak RMR sisteminin iksa seçimine çok genel bir yaklaşım bulunduğu gözlenmiştir. Örneğin; I1B, I2, I3 yapısal bölgeleri sırasıyla 48, 55 ve 60 gibi farklı RMR değerlerine sahip olmalarına rağmen Orta Kaya sınıfına girdikleri için aynı tip iksa seçilmektedir. RSR sisteminin ise iksa seçiminde yetersiz kaldığı gözlenmiştir.

Yazar bu üç sınıflama sistemi yardımı ile bulunan iksa önlemlerinin jeolojik ve jeoteknik koşullarda gözönünde bulundurularak birleştirilmesi sonucuna varmıştır. Üç sınıflama sistemiyle bulunan iksa önlemleri her yapısal bölge için birleştirilerek Tablo-47,48'de sunulmuştur.

Tabelo-45-- RSR, RMR ve Q sistemleri ile bulunan ikse önlemcilerin korsaj lastirimi (Kopdaglı Tünel güz.)  
Comparsion of Rock Mass Classification system with RSR, RMR and Q system (Kopdaglı tunnel line)

Yapısal Bölge	RSR	RMR	Q
I1B	Kaya yükü $2.05 \text{ kg/cm}^2$ 0.47 m. aralıklı sist.bul. 10.9cm. püskürtme beton	3-4m.uzunluğunda,1.5-2m. aralıklı sist. bul.,tavanda çelik hasır takviyeli 5-10cm.,duvarlarda 3cm. püskürtme beton	Kaya yükü 0.49 kg/cm <sup>2</sup> tavanda 3.77m.,gerdirmesiz, duvarlarda 3.57m.uzunluğunda aralıklı sist.bul.,, tavanda 15-30cm.duvarlarda 5-30cm.çelik hasır takviyeli püskürtme beton
I1A	*Kaya yükü $0.03 \text{ kg/cm}^2$ 1.31m. aralıklı sist.bul. 2.7cm. püskürtme beton **Kaya yükü $0.46 \text{ kg/cm}^2$ 0.69m. aralıklı sist.bul. 4.4cm. püskürtme beton	Tavanın 2-3m.sindede 2-2.5m. aralıklı bul.,tavanda 5cm.püskürtme beton ve çelik hasır	Kaya yükü 0.14kg/cm <sup>2</sup> tavanda 3.77m.,uzunlugunda 2.5-3m. aralıklı gerdirmesiz ,sist. bul.
I2	*Kaya yükü $2.51 \text{ kg/cm}^2$ 0.41 m. aralıklı sist.bul. 13.1 cm. püskürtme beton **Kaya yükü $3.68 \text{ kg/cm}^2$ 0.41m. aralıklı sist.bul. 17.8cm. püskürtme beton	*3-4m.uzunluğunda,1.5-2m.aralıklı sist. bul.,tavanda çelik hasır takviyeli 5-10cm.,duvarlarda 3cm. püskürtme beton **4-5m.uzunluğunda,1-1.5m.aralıklı sist.bul.tavanda 10-15cm.duvarlarda 10cm.çelik hasır takviyeli püskürtme beton,yeryer 1.5m.aralıklı hafif çelik traversler	*Kaya yükü 0.49 kg/cm <sup>2</sup> tavanda 3.77m.uzunluğundal-1.5m.aralıklı sist.gerdirmesiz, duvarlarda 3.57m.uzunluğunda 1.5-2m.aralıklı gerdirmeli bul.,tavan ve duvarlarda 2-3cm.püskürtme beton *Kaya yükü 0.49 kg/cm <sup>2</sup> tavanda 3.77m.uzunluğunda zincir takviyeli 1.5-2m.ara liklı sist.,duvarlarda 3.57m.uzunluğunda 2.5-3m. aralıklı gerdirmesiz bul.
I3	*Kaya yükü $1.38 \text{ kg/cm}^2$ 0.52cm.aralıklı sist.bul. 8.2cm.püskürtme beton **Kaya yükü $3.52 \text{ kg/cm}^2$ 0.41m.aralıklı sist.bul. 17.2cm. püskürtme beton	*3-4m.uzunluğunda,1.5-2m.aralıklı sist. bul.,tavanda çelik hasır takviyeli 5-10cm.duvarlarda 3cm. püskürtme beton **4-5m.uzunluğunda,1-1.5m.aralıklı sist.bul.tavanda 10-15cm.duvarlarda 10cm.çelik hasır takviyeli püskürtme beton,yeryer 1.5m.aralıklı hafif çelik traversler	**Kaya yükü 2.33 kg/cm <sup>2</sup> tavanda 3.77m.uzunluğunda 1m.aralıklı genleşen tip gerdirmeli bul.ve 4.72m.ankraj,duvarlar da 3.57m.uzunluğunda 1-1.5m.aralıklı gerdirmesiz bul.,tavanda 10-20cm.duvarlarda 5-10cm.çelik hasır takviyeli pbet.
III	Kaya yükü $7.56 \text{ kg/cm}^2$ Uygulanamaz	5m.uzunluğunda 1-1.5m.aralıklı sist. bul.,tavanda 15-20cm.,duvarlarda 15cm.çelik hasır takviyeli,aynada 5cm. püskürtme beton,0.75m.aralıklı çelik iksali ağır traversler	Kaya yükü $7.05 \text{ kg/cm}^2$ tavanda 3.77m.,duvarlarda 3.57m.uzunluğunda 1m.aralıklı gerdirmeli bul.ve tavanda 4.72m.'duvarlarda 3.67m.uzunluğunda ankraj,40-150cm çelik takviyeli beton kemeri

\*En iyi koşullarda, \*\*En kötü koşullarda

Tablo-46- RSR, RMR ve Q sistemleri ile bulunan iksa önlemlerinin karşılaştırılması (Kopdağı 2 tünel güz.)  
Comparison of Rock Mass Classification system with RSR, RMR and Q system (Kopdağı 2 tunnel line)

Yapısal Bölge	RSR	RMR	Q
	*Kaya yükü $1.65 \text{ kg/cm}^2$ 0.81 m. aralıklı sist. bul. • 0.5 cm. püskürtme beton **Kaya yükü $2.05 \text{ kg/cm}^2$ 0.47 m. aralıklı sist. bul. 11.1 cm. püskürtme beton	3-4m.uzunluğunda 1.5-2m. aralıklı sist. bul.,tavanda çelik hasır takviyeli 5-10cm.,duvarlarda 3cm. püskürtme beton	Kaya yükü 0.27 $\text{kg/cm}^2$ tavanda 3.77m., duvarlarda zincir takviyeli 3.57m. uzunluğunda 1-1.5m. aralıklı gerdirmesiz sist. bul.,tavanda 5-10cm. çelik hasır takviyeli pişkiirtme beton
IIIIB	*Kaya yükü $0.03 \text{ kg/cm}^2$ 1.31 m. aralıklı sist. bul. 2.7 cm. püskürtme beton	*Tavanın 2-3m.sinde 2-2.5m. aralıklı bul.,tavanda 5cm. püskürtme beton uzunluğunda 1.5-2m. aralıklı zincir takviyeli gerdirmesiz sist. bul.	*Kaya yükü 0.14 $\text{kg/cm}^2$ tavanda 3.77m. uzunluğunda 2.5-3m aralıklı gerdirmesiz sist. bul.
IIIA	**Kaya yükü $1.38 \text{ kg/cm}^2$ 0.52 m. aralıklı sist. bul. 8.3 cm. püskürtme beton	**3-4m. uzunluğunda 1.5-2m. aralıklı sist. bul.,tavanda çelik hasır takviyeli 5-10cm.,duvarlarda 3cm. pişkiirtme beton	**Kaya yükü 0.22 $\text{kg/cm}^2$ tavanda 3.77m. uzunluğunda 1.5-2m. aralıklı zincir takviyeli gerdirmesiz sist. bul.
	*Kaya yükü $3.05 \text{ kg/cm}^2$ 0.43 m. aralıklı sist.nul. 15.3 cm. püskürtme beton	*Tavanın 2-3m. sinde 2-2.5m aralıklı bul.,tavanda 5cm. pişkiirtme beton ve çelik hasır	*Kaya yükü 0.49 $\text{kg/cm}^2$ tavanda 3.77m. uzunluğunda 1.5-2m. aralıklı zincir takviyeli gerdirmesiz sist. bul.
IIIB	**Kaya yükü $4.14 \text{ kg/cm}^2$ 0.39 m. aralıklı sist. bul. 21.0 cm. püskürtme beton	**4-5m.uzunluğunda,1-1.5m aralıklı sist. bul.tavanda 10-15cm duvarlarda 10cm çelik hasır takviyeli pişkiirtme beton,yeryer 1.5m. aralıklı hafif çelik traversler	**Kaya yükü 0.67 $\text{kg/cm}^2$ tavanda 3.77m. uzunluğunda 1-1.5m. aralıklı sist. duvarlarda 3.57m.uzunluğunda lokal gerdirmesiz bul.,2-3cm. kalınlığında pişkiirtme beton
	*Kaya yükü $1.38 \text{ kg/cm}^2$ 0.52 cm.aralıklı sist. bul 8.2 cm.püskürtme beton	*3-4m uzunluğunda 1-1.5m aralıklı sist. bul.,tavanda çelik hasır takviyeli 5-10cm.,duvarlarda 3cm. pişkiirtme beton	*Kaya yükü 0.49 $\text{kg/cm}^2$ tavanda 3.77m. uzunluğunda zincir takviyeli 1.5-2m aralıklı sist.,duvarlarda 3.57m.uzunluğunda 25-3m.aralıklı gerdirmesiz bul.
IIIC	0.41 m. aralıklı sist. bul 17.2 cm. püskürtme beton	**4-5m.uzunluğunda 1-1.5cm. duvarlarda 10-15cm. çelik hasır takviyeli pişkiirtme beton,veryer 1.5m. aralıklı çelik traversler	**Kaya yükü 2.33 $\text{kg/cm}^2$ tavanda 3.77m. uzunluğunda zincir takviyeli 1m.aralıklı 10cm.çelik hasır takviyeli pişkiirtme beton ve 4.72m.ankraj,duvarlar da 3.57m.uzunluğunda 1-1.5m.aralıklı çelik traversler
III	Kaya yükü $7.56 \text{ kg/cm}^2$ Uygunlanamaz	Kaya yükü 1-1.5m.aralıklı sist. bul.,tavanda 15-20cm.,duvarlarda 15cm varlarda 5cm pişkiirtme beton,aynado 5cm çelik hasır takviyeli,aynado 5cm çelik hasır takviyeli 0.75m.aralıklı çelik kemer ikinci ağır traversler	Kaya yükü 7.05 $\text{kg/cm}^2$ tavanda 3.77m.,duvarlarda 3.57m.uzunluğunda 1m.aralıklı çelik hasır takviyeli,aynado 5cm pişkiirtme beton 0.72m.uzunluğunda ankraj,40-150 cm. çelik takviyeli beton kemer

Tablo-47- RSR, RMR ve Q sistemlerinin birleştirilmesi ile elde edilen iksa önlemleri, KOPDAĞI 1 tünel güzergahı  
 Recommended support based upon RSR, RMR and Q systems which are composed. (Kopdağı 1 tunnel line)

Yapısal Bölge	İ K S A			
	En iyi koşullarda		En kötü koşullarda	
	T a v a n	D u v a r	T a v a n	D u v a r
I 1B	3.77m. uzunluğunda 1.5m. aralıklı gerdirmesiz sistematik bulon, 15cm püskürtme beton, çelik hasır takviyeli	3.57 m.uzunluğunda 1.5 m. aralıklı gerdirmesiz sistematik bulon 5cm püskürtme beton,çelik hasır takviyeli	Aynı	Aynı
I 1A	3.77m.uzunluğunda 2.5m.aralıklı gerdirmesiz, sistematik bulon 3cm.püskürtme beton	Gerekmez	3.77m.uzunluğunda 2m.aralıklı, gerdirmesiz sistematik bulon, 5cm püskürtme beton çelik hasır takviyeli	Gerekmez
I 2	3.77m.uzunluğunda 2m.aralıklı,gerdirmesiz sistematik bulon, 5cm püskürtme beton, çelik hasır takviyeli	3 cm. püskürtme beton	3.77m.uzunluğunda 1.5m.aralıklı gerdirmesiz sistematik bulon,10cm. püskürtme beton, çelik hasır takviyeli	3.57m.uzunluğunda 2m.aralıklı gerdirmeli bulon,5cm püskürtme beton..
I 3	3.77m.uzunluğunda 2m.aralıklı gerdirmesiz sistematik bulon, 5cm püskürtme beton çelik hasır takviyeli	3.57m. uzunluğunda 3 m. aralıklı lokal bulon	3.77m.uzunluğunda 1 m.aralıklı genleşen tip gerdirmeli bulon ve 4.72 m.uzunluğunda ankraj. 15cm püskürtme beton çelik hasır takviyeli,yeryer 1.5m.aralıklı hafif çelik travers.	3.57m.uzunluğunda 1.5m.aralıklı gerdirmesiz bulon 10cm püskürtme beton çelik hasır takviyeli
III	5 m uzunluğunda 1 m.aralıklı gerdirmeli bulon tavanda 4.72m.duvarlarda 3.67 m. uzunluğunda ankraj tavan, duvar ve ayanda 5 cm. püskürtme beton,10cm.çelik takviyeli beton kemer.			

Tablo-48 -RSR, RMR ve Q sistemlerinin birleştirilmesi ile elde edilen iksa önləmeleri, KOPDAĞI 2 tünel güzergahı  
 Recommended support based upon RSR,RMR and Q systems which are composed.. (Kopdağı 2 tunnel line)

Yapışal Bölge	İ K S A			
	En iyi koşullarda		En kötü koşullarda	
	T a v a n	D u v a r	T a v a n	D u v a r
II 1B	3.77 m. uzunluğunda 1.5m aralıklı gerdirmesiz sistematik bulon, 10cm püskürtme beton çelik hasır takviyeli	3.57 m. uzunluğunda 1.5m aralıklı, gerdirmesiz sistematik bulon, 3cm püskürtme beton	Aynı	Aynı
II 1A	3.77m.uzunluğunda 2.5m. aralıklı gerdirmesiz sistematik bulon 3cm püskürtme beton	Gerekmez	3.77m.uzunluğunda 2 m.aralıklı,gerdirmesiz sistematik bulon, 5 cm püskürtme beton çelik hasır takviyeli	3cm püskürtme beton
I 2	3.77m.uzunluğunda 2m.aralıklı gerdirmesiz sistematik bulon, 5 cm. kürtme beton çelik hasır takviyeli	Gerekmez	3.77m.uzunluğunda 1.5m.aralıklı gerdirmesiz sistematik bulon 10 cm. püskürtme beton, çelik hasır takviyeli	3.57m.uzunluğunda lokal gerdirmesiz bulon,5cm.püskürtme beton
I 3	3.77 m.uzunluğunda 2m.aralıklı gerdirmesiz sistematik bulon,5cm.püskürtme beton, çelik hasır takviyeli	3.57m.uzunluğunda 3m.aralıklı lokal bulon	3.77m.uzunluğunda 1m.aralıklı,genleşen tip gerdirmeли bulon ve 4.72 m.uzunluğunda ankraj.15cm.püskürtme beton,çelik hasır takviyeli,yeryerl.5m. aralıklı hafif travers.	3.57m.uzunluğunda 1.5 aralıklı gerdirmesiz bulon, 10cm püskürtme beton,çelik hasır takviyeli
III	5 m uzunluğunda 1m. aralıklı gerdirmeli bulon tavanda 4.72m. duvarlarda 3.67 m. uzunluğunda ankraj tavan, duvar ve aynada 5 cm püskürtme beton, 100cm çelik takviyeli beton kemer.			

#### IV.5. HİDROJELOJİ

Yaklaşık Erzurum ve Gümüşhane il sınırlarında yer alan Kop Dağları'nda kış mevsimi sert gezer ve bölge uzun süre karlar altında kalır. Bölge bu özelliğinden dolayı yeraltı tısları bakımından zengindir. İnceleme sahasında yer alan birimler hidrojeolojik yönden incelendiğinde:

Kop ultramafiti; Ofiyolitler genel anlamda geçirimsizdir, ancak kırık ve çatlak düzlemleri boyunca yeraltı suyunun hareketine izin verirler. Arazi gözlemlerinde birimde 0.1 lt/sn ve sizıntılarından başka büyük kaynak gözlenmez.

Gurri formasyonu; Bu formasyondaki kireçtaşı ve kumtaşı seviyeleri geçirimsizdir, marn, kilit taşı seviyeleri geçirimsizdir. Geçirimli ve geçirimsiz seviyelerin ardalanması çeşitli yerlerde tabaka kaynaklarının oluşmasına neden olur. Bunların debileri 0.1-3 lt/sn arasında değişir. Formasyonun kıvrımlı ve kırıklı olması yeraltı suyunun hareket serbestliğini oluşturur ve yeraltı suyu bakımından zengin hale getirir. Formasyon içinde Gurri Tepe batısında yer alan derede Haziran ayında ölçülen debi yaklaşık 15 lt/sn'dır.

Göller Deresi formasyonu; Bu formasyonun çakıltaşı seviyeleri sıkı karbonat çimentoludur, ancak bazı yerlerde 2-7 cm. çapında çatlak düzlemleri boyunca gelişmiş çözünme boşlukları gözlenmiştir. Az geçirimsiz kabul edilebilir. Çakıltaşlarının üstünde yer alan kumtaşı kilit taşı ardalanmasından oluşan kesim, kumtaşı seviyeleri hariç tamamen geçirimsizdir. Bu formasyonda herhangi bir kaynak gözlenmemiştir.

Heyelan bölgelerinde debileri 0.1-5 lt/sn arasında değişen 20 kadar kaynak gözlenmiştir.\*

\* Kaynaklarda yapılan gözlemler 1987 Eylül ayına aittir.

#### IV.6. HEYELANLAR

Kopdağı 1 ve Kopdağı 2 tünel güzergahları ve çevrelerinde yapılan arazi gözlemleri ile heyelanlı olan 7 bölge belirlenmiştir. Bu heyelanlı bölgelerden Kopdağı 1 ve Kopdağı 2 tünel güzergahlarına etkisi olabilecek 3 bölgede gözlemler yoğunlaştırılmış ve bu 3 bölgedeki heyelanların: özellikleri, oluş mekanizması aktifliği ile tünel güzergahına etkisi incelenmiştir.

Birinci heyelan bölgesi; Kopdağı 2 tünel güzergahının giriş ağzı (Gümüşhane tarafı)'ndan başlayarak Kandıltas Tepe'nin NW'sına kadar uzanan, SW sınırı Kışkançlı Dere'de sonuçlanan kesimdir. Kopdağı 2 tünel güzergahının 2.030 kmlik kesimi bu heyelan bölgesi içinde kalır.

Heyelanın kopma bölgesi Kopdağı (Bakdülü T.) W-SW yamacı boyunca uzanır ve kopma bölgesinde yaklaşık 150m. yüksekliğinde ayna oluşmuştur. Heyelan kütlesi üzerinde tansiyon çatlakları ve küçük heyelan gölleri ile debileri 0.1 - 5 lt/sn arasında değişen 10 adet kaynak gözlenmiştir. Yeryer çamur akması şeklinde olan bazı kesimlerde yer almaktadır. Heyelanın topuk bölgesi ise Kışkançlı Dere ile sınırlanır.

Bu heyelan bölgesinde, Gurri formasyonu kireçtaşları ile Gölber Deresi formasyonu çamurtaşları yer almır ve aralarındaki dokanak faylıdır. Fay düzlemi kireçtaşları önünde bir set oluşturur ve yeraltılarının yüzeye çıkışını kolaylaştırır. Suya karşı hassas olan çamurtaşları topografyada yardım ile SW'ya doğru hareket ederek bu heyelan bölgesini oluşturur.

Bu bölgedeki ana heyelan kütlesinin aktifliğini kanıtlayacak bir veri yoktur. Ancak heyelan üzerinden geçen kara yolunda 1987 Temmuz ayında 20 cm'ye ulaşan çökмелere ile bazı tansiyon çatlakları görülmeye heyelanın kısmende olsa aktif

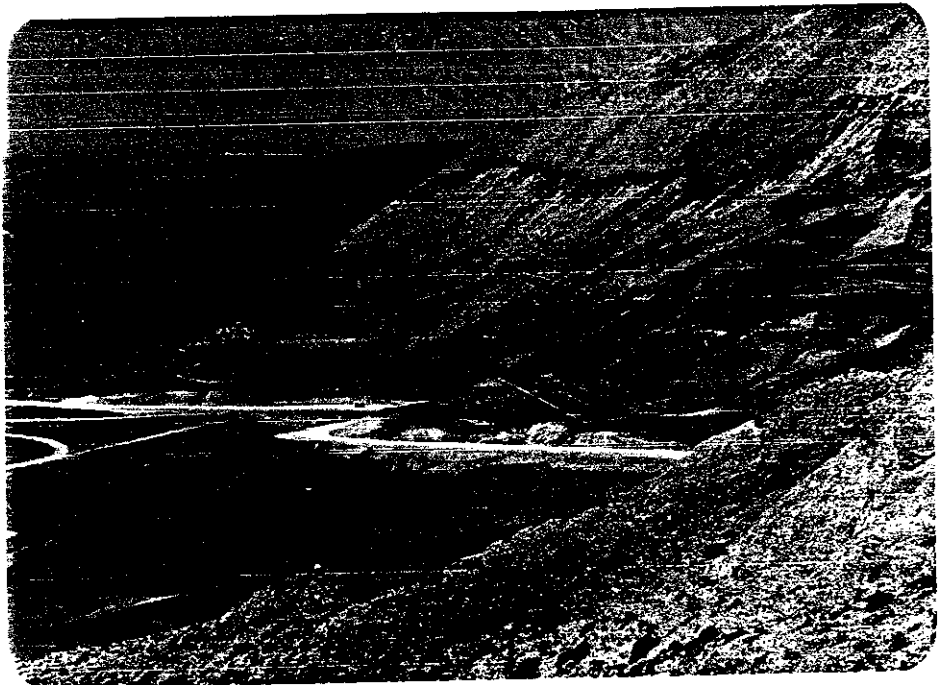


Foto 21- Kopdağı 2 tünel güzergahı giriş ağzı (Gümüşhane tarafı) üzerindeki birinci heyelan bölgesinin genel görünüşü.  
J-Kg :Gurri formasyonu.

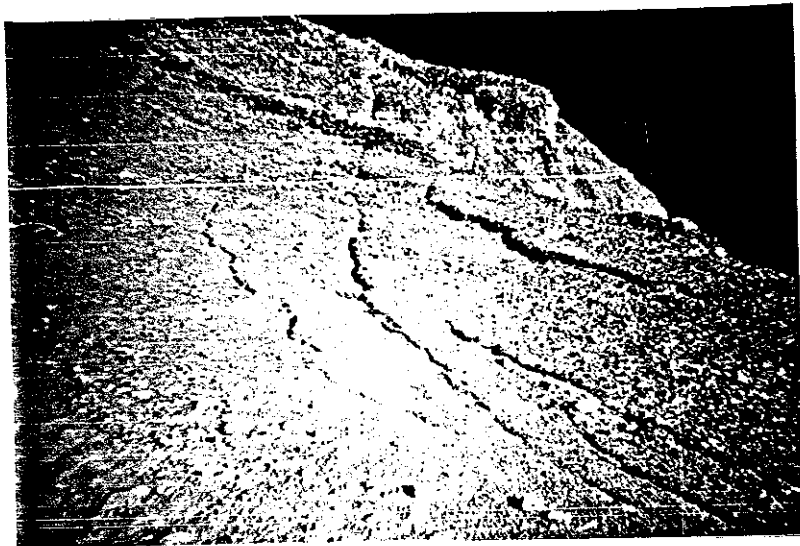


Foto 22- Birinci heyelan bölgesinde Temmuz 1987'de karayolunda gözlenen tansiyon çatıtlakları ve oturmalar.



Foto 23- Birinci heyelan bölgesinde tansiyon çatıtları, oturma ve akmalar.



Foto 24- Birinci heyelan bölgesinde gelişmiş heyelan gölü.

olabileceğini göstermektedir. Ayrıca bu heyelan kütlesi üzerinde özel bir şirket tarafından yapılan jeofizik ve sondaj çalışmaları kayma yüzeyinin tünel kotundan daha derinde olduğunu göstermiştir. Heyelanın topuk kısmını sınırlayan Kışkançlı Dere, bu kısımda sürekli aşındırma ile heyelan hareketine yardımcı olmaktadır. Eski bir heyelan olmasına rağmen hala aktifliğini korumaktadır.

İkinci heyelan bölgesi; Kopdağı 1 tünel güzergahının giriş ağzının (Gümüşhane tarafı) 500m. güneyinden başlar. Her iki tarafında dere ile sınırlı olan bu heyelanın topuk bölgesi tünelin giriş ağzının 60 m.lik bir kısmında içine alır.

Heyelanın kopma bölgesi gözlenmez, tipik heyelan topoğrafyası ile (deve hörgücü topoğrafyası) hemen tanınır. Topuk bölgesi ise Gölßer Deresi alüvyonları ile karışmış durumdadır.

Heyelan Gölßer Deresi formasyonu üzerinde gelişmiştir, Kop ultramafiti içindeki uyrişmiş serpantinlerde kaymaya eşlik etmişlerdir. Kaymada esas etken yamaç eğiminin fazla olması ve Gölßer Deresi formasyonuna ait çamurtaşlarının eğimlerinin uygunlugudur. N'e eğimli olan bu formasyondaki çamurtaşı tabakaları yeraltısuyunda yardımı ile heyelana sebep olmuşlardır.

Bu heyelan her iki tarafının ve topuk kısmının sulu derelerle sınırlı olması heyelanın yavaş ve sürekli hareetine yardımcı olmaktadır. Genç ve aktif bir heyelandır.

Üçüncü heyelan bölgesi; Gurri Tepe S'inden başlayarak Kopdağı 1 ve Kopdağı 2 tünel güzergahlarının çıkış ağzlarına (Erzurum tarafı) kadar uzanarak devam eder. Kopdağı 1 tünel güzergahını kesmez. Kopdağı 2 tünel güzergahının 112 m. lik bir kesimi bu heyelan bölgesi içinde kalır.



Foto 25- Birinci heyelan bölgesi, ana heyelan kütlesi ve  
üzerinde gelişen çamur akması.  
J-Kg :Gurri formasyonu, Tg :Göllerderesi formasyonu  
Hy :Heyelan.

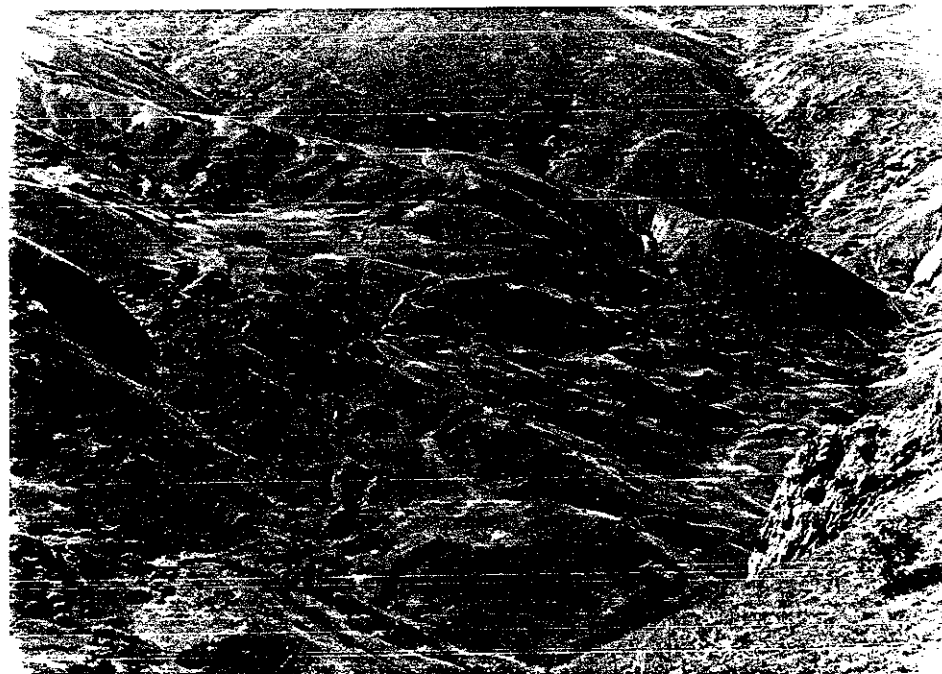


Foto 26- Kopdağı 1 tünel güzergahı giriş ağzı üzerinde  
(Gümüşhane tarafı) ikinci heyelan bölgesinin  
genel görünüsü.  
Mk :Kop ultramafiti, J-Kg :Gurri formasyonu,  
Tg :Göllerderesi formasyonu, Hy :Heyelan.

Heyelanın kopma bölgesi belirgin değildir, ancak tabaka eğimlerindeki anormal değişimeler yardımı ile kopma bölgesinin sınırı belirlenmiştir. Heyelan kütlesindeki kaymalar büyük basamaklar şeklinde gelişmiştir ve her basamaktaki sınırlar haritalanmıştır. Heyelan üzerinde debileri  $0.1-5$  lt/sn arasında değişen  $10^{'}$ a yakın kaynak bulunur. 1987 yılında, yaklaşık 80 cm. genişliğinde ve 8 m. uzunluğunda tek bir tonsiyon çatlığı ölçülmüştür, başka çatlak gözlenmemiştir. Heyelan kütlesinin her iki tarafını sınırlayan iki sulu dere, heyelanın topuk bölgesinde kesişerek heyelani sınırlarlar.

Heyelan kütlesinin tamamı Gurri formasyonuna ait birimlerden oluşmuştur. Bu bölgede Kop Ultramatifi üzerinde diskordan olarak Gurri formasyonu yer almır. Suya karşı hassas olan serpentinitler, dokanak zonunda killeşerek geçirimsiz bir seviye oluşturmuş ve bu seviye üzerinde heyelan gelişmiştir. Heyelan kütlesi üzerinde yapılan sondajlardan elde edilen bu dokanak zonuna ait serpentinit örneklerinin petrografik incelemelerinde ofiksit\* oluşumları gözlenmiştir. Bu da dokanak zonunda serpentinitte ayırtmanının gelişliğini ve dolayısıyla kaymanın bu zon üzerinde gelişibileceğini göstermektedir.

Bu heyelan bölgesinin, topuk kısmında büyük olmasada bazı hareketleri gözlenir, kısmen duraylılığını kazanmıştır. Ancak 1987 yılında, gözlenen tek bir tonsiyon çatlığı heyelan kütlesinin aktif olabileceğini gösterir. Heyelan kütlesi üzerinde özel bir şirket tarafından yapılan jeofizik ve sondaj çalışmaları kayma yüzeyinin tünel kotunun üzerinde olduğunu  $2.000 - 3.000$  km.ler arasında tünel kotuna çok yaklaştığını göstermiştir. Kopdağı 2 tünel güzergahının çıkış ağzının (Erzurum tarafı) 112 m.lik kesimi heyelan içinde kalmaktadır.

\*Ofiksit, serpentin, kireçtaşlı dokanaklarında görülür. Serpentinit yeraltısuyunun yardımı ile kireçtaşındaki  $\text{CaCO}_3$ 'ı bünyesine alır ve kaya kalsit kristallerinin egemen olduğu bir hal alır. Kayacın bu andaki adı ofiksittir.

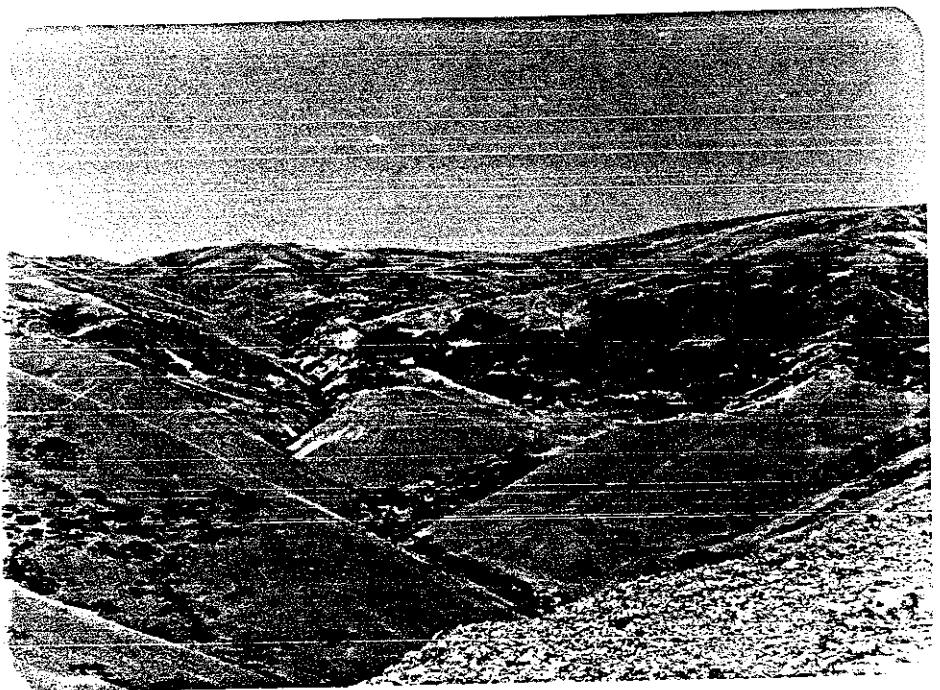


Foto 27- Kopdağı 1 ve 2 tünel güzergahları çıkış ağızı (Erzurum tarafı) üzerindeki üçüncü heyelan bölgesinin genel görünüsü.  
Mk :Kop ultramafiti, J-Kg :Gurri formasyonu,  
Hy :Heyelan.



Foto 28- Üçüncü heyelan bölgesinde Temmuz 1987'de gözlemlenen tansiyon çatlağı.

Yazar, bu 3 heyelan bölgesinde, yeterli sondaj, jeofizik ve topografik veri bulunmadığı için sadece arazi gözlemleri ve bazı sondaj, jeofizik verilerini kullanarak yorumlar getirmiştir. Bu heyelan bölgelerinde, heyelan araştırmak için sondaj, jeofizik ve topografik çalışmalar yapılması ile kesin bir sonuca varılabilir.

#### IV.7. KOPDAĞI 1 TÜNEL GÜZERGAHININ JEOLOJİK VE JEOTEKNİK DEĞERLENDİRMESİ

0.000-0.060 km.

Heyelan; bu kesimde tünel heyelanının topuk kısmından geçmektedir. Heyelan moloz akması şeklinde ve sıgdır. Aktif olan bu heyelanın tünel güzergahı çevresindeki malzemesi tamamen temizlenmeli ve önüne istinat duvarı şekelelidir. Tünel bu kesimde açık kazı ile geçilmeli ve aynı zamanda yan dereerde ıslah edilmelidir.

0.060-0.150 km.

Göllerderesi formasyonu, çamurtaşısı; az sayıda, devamlı olmayan, kum ve kıl dolgulu, sıkışık eklemeler. Jeoteknik özelliklerini:

$$\gamma_n = 2.46 \text{ gr/cm}^3$$

$$\sigma_c = 148 \text{ kg/cm}^2$$

$$G_s = 2.81 \text{ gr/cm}^3$$

$$\sigma_t = 18 \text{ kg/cm}^2$$

$$w = 3.71 \%$$

$$I_s = 4.7 \text{ kg/cm}^2$$

$$S_w = 5.92 \%$$

$$E_s = 23.4 \cdot 10^3 \text{ kg/cm}^2$$

$$S_v = 13.49 \%$$

$$C = 45 \text{ kg/cm}^2$$

$$n_a = 13.49 \%$$

$$\phi = 44^\circ - 18^\circ$$

$$n = 13.57 \%$$

$$e = 15.33 \%$$

Su emme deneyleri sırasında bazı numunelerin dağıldığı gözlenmiştir. Birim suya karşı hassas olduğu için kazı sırasında uzun süre su ile temasta kalması

önlenmelidir. Kazılabilirliği, orta, maksimum iksasız açıklık yaklaşık 2m. ani göçmeler olabilir.

0.150-0.364 km.

Göllelerderesi formasyonu, çakıltaşlı; az sayıda, devamlı, kalsit dolgulu, sıkıcı bağlı eklemlidir. Serpantin, bazalt, şist, kireçtaşı, kumtaşı çakılılı, karbonat yeryer kil çimentolu, kalın katmanlı iyi boylanmalıdır. Jeoteknik özelliklerini:

$$\gamma_n = 2.51 \text{ gr/cm}^3$$

$$\sigma_c = 460 \text{ kg/cm}^2$$

$$G_s = 2.68 \text{ gr/cm}^3$$

$$\sigma_t = 40 \text{ kg/cm}^2$$

$$w = 3.46 \%$$

$$I_s = 22.7 \text{ kg/cm}^2$$

$$S_w = 1.04 \%$$

$$E_s = 157.7 \cdot 10^3 \text{ kg/cm}^3$$

$$S_v = 2.58 \%$$

$$C = 89 \text{ kg/cm}$$

$$n_a = 2.58 \%$$

$$\phi = 61^\circ - 33^\circ$$

$$n = 7.51 \%$$

$$e = 8.14 \%$$

Kazılabilirliği, kolaylıkla büyük parçalar çıkarılmaz, maksimum iksasız açıklık, yaklaşık 10 m., iksasız kendi kendini tutma süresi yaklaşık 10 yılı eklemeler boyunca birkaç sızıntı haricinde önemli su problemi beklenmemelidir.

0.364-0.380 km.

Fay zonu; Gurri formasyonu kireçtaşları, bindirme fayı ile Gölleler Deresi çakıltaşlarının üzerine gelmiştir. Fayın eğimi yaklaşık  $40^\circ$  dir. Sondaj bulunmadığı için jeoteknik özellikleri belirlenmemiştir. Fay zonu boyunca önemli sayılabilecek kaynak gözlenmemiştir. Fay zonunu NE ve SW'da kesen iki dere önemli su boşalmalarına neden olabilir, kireçtaşlarına girildiğinde de su boşalmaları olabilir. Kolay kazılabilir,

maksimum iksasız açıklık yaklaşık 0.50m.  
ve ani göçmeler olabilir.

0.380-1.480 km.

Gurri formasyonu, kireçtaşları; üç yönde gelişmiş eklem takımı, çok düşük devamlı, eklem yüzeyleri kaba, kalsit yeryer kil dolgulu, sıkışık eklemeler. Jeoteknik özellikler:

$\gamma_n$ = 2.65 gr/cm <sup>3</sup>	$\sigma_c$ = 282 kg/cm <sup>2</sup>
$G_s$ = 2.71 gr/cm <sup>3</sup>	$\sigma_t$ = 20 kg/cm <sup>2</sup>
w = 4.65 %	$I_s$ = 12.5 kg/cm <sup>2</sup>
$S_w$ = 0.44 %	$E_s$ = 618.2 • 10 <sup>3</sup> kg/cm <sup>2</sup>
$S_v$ = 1.48 %	C = 47 kg/cm <sup>2</sup>
$n_a$ = 1.48 %	$\phi$ = 60° - 17°
n = 6.87 %	
e = 7.38 %	

Kireçtaşlarının bol kırıklı olması serbest basınç mukavemetinde olumsuz yönde etkilemektedir. Kireçtaşları içinde yer yer marn ve şeyl seviyeleri de gözlenir. Kazılabilirliği orta, maksimum iksasız açıklık yaklaşık 5 m., iksasız kendi kendini tutma süresi birkaç yıldır, ancak kaya düşmeleri ile ani göçmeler, açık ve fazla sayıda eklem bulunan bölgelerde beklenmelidir. Tünel güzergahının sağ ve solunda bulunan iki kaynak ve bu kaynakların beslediği dere yatakları yaz, kış suludur. Bu kesimde tünel, yeraltısu seviyesinin altında açılacaktır, kireçtaşlarında bol kırıklı ve porozitesinin fazla olması nedeni ile su problem olacaktır. Su gelişisi basınçlı ani su patlamaları şeklinde değil, eklemelerden devamlı su gelişisi şeklinde beklenmelidir. Kireçtaşlarında karstlaşma gelişmemiştir.

1.480-1510 km. Fay zonu; Kop ultramafiti, bindirme fayı ile Gurri formasyonu üzerine gelmiştir. Fayın eğimi yaklaşık  $45^{\circ}$  dir. Sondaj bulunmadığı için jeoteknik özellikler belirlenmemiştir. Fay zonu üzerinde, 0.1 lt/sn debili üç kaynak ve moloz akması şeklinde iki heyelan gözlenir. Heyelanlar fay zonunu oluşturan bloklu ve çakıllı ayrılmış malzemenin yamaç eğiminin fazla olduğu yerlerde gelişmiştir. Heyelanların tünele herhangi bir etkisi yoktur, ancak fay zonunun bloklu, çakıllı, ayrılmış malzemeden olduğunu ve su problemi olabileceğini gösterir. Fay zonu daha kalın olabilir. Kolay kazılabilir, maksimum iksasız açıklık yaklaşık 0.50m. ve ani göçmeler olabilir.

1.510-3.060 km. Kop ultramafiti, ultramafit; tünel güzergahının bu kesiminde ultramafitler, faylanma, kırık ve yeraltısuyu etkisi ile ayrılmış seviyeler içerir. Bu ayrılmış seviyeler serpentinit olarak tanımlanmıştır (Ultramafit serpentinit arasında kesin bir sınır belirlemek zordur. Değerlendirmede, ilki serpentinit ikincisi ultramafit olarak tanımlamalarda birlikte kullanılmıştır.). İki-üç yönde gelişmiş eklem takımı ve gelişigüzel eklemler, düşük devamlı, kaygan yüzeyli, aşırı dar yeryer kil dolgulu eklemler. Jeoteknik özellikler:

$$\begin{array}{ll} \gamma_n = 2.41, 2.51 \text{ gr/cm}^3 & \sigma_c = 180, 542 \text{ kg/cm}^2 \\ G_s = 2.76, 2.73 \text{ gr/cm}^3 & \sigma_t = 28,45 \text{ kg/cm}^2 \\ w = 4.33, 1.21 \% & I_s = 28.45 \text{ kg/cm}^2 \\ S_w = 10.74, 0.55 \% & E_s = 37.1, 371.4-51.4 \cdot 10^3 \text{ kg/cm}^2 \\ S_v = 22.29, 1.30 \% & C = 50,95 \text{ kg/cm}^2 \\ n_a = 22.29, 1.30 \% & \phi = 40^{\circ}-10^{\circ}, 57^{\circ}-16^{\circ} \end{array}$$

n= 22.29, 7.23 %

e= 29.02, 7.92 %

Kazılabilirlik; kolay, orta, maksimum iksasız açıklık yaklaşık 1m., 5m. iksasız kendi kendini tutma süresi birkaç yıl ayrılmış zonlarda ani göçmeler olabilir. 2.000-3.000 km.ler arası heyelanın kayma düzlemi tünel kotuna oldukça yaklaşmaktadır, bu kesimde ani su patlamaları beklenmelidir. Diğer kesimlerde, özellikle fay zonuna yakın yerler, bol miktarda su gelişisi beklenmelidir. Serpantinitlerin yeraltısuyu etkisi ile bozusup kile dönüşen seviyelerinde, taban kabarması gibi, şışme ve kabarma olayları beklenmelidir.

#### IV.8. KOPDAĞI 2 TÜNEL GÜZERGAHININ JEOLOJİK VE JEOTEKNİK DEĞERLENDİRMESİ

0.000-2.030 km. Heyelan; bu kesimde yapılan, yüzey jeolojisi, jeofizik ve bir kısım sondajlar tünelin tamamının heyelan içinden geçeceğini göstermektedir. Tunelin bu kesiminde göçmeler, basınçlı su gelişisi gibi önemli tehlikeler beklenmektedir. Heyelan bölgesinde yeterli sondaj bulunmadığı için jeoteknik özellikler belirlenmemiştir. Yapılan sondajlarda sürekli takım sıkışması ve kayalarda sapmalar gözlenmesi, yolda 15 cm. ye varan oturmalar gelişmesi heyelanın aktifliğini destekleyen verildir. Heyelan altında kalan Kışkançlı ve Kandıltas fayları da gözardı edilmemelidir. Özette bu kesimde tünelin açılması çok zor ve çok tehlikeli olacaktır.

2.030-2.250 km. Göllerderesi formasyonu, çamurtaşısı; az sayıda, devamlı olmayan, kum ve kıl dolgulu sıkışık eklemeler. Jeoteknik özellikler;

$$\begin{array}{ll} \gamma_n = 2.46 \text{ gr/cm}^3 & \sigma_c = 148 \text{ kg/cm}^2 \\ G_s = 2.81 \text{ gr/cm}^3 & \sigma_t = 18 \text{ kg/cm}^2 \\ w = 3.71 \% & I_s = 4.7 \text{ kg/cm}^2 \\ S_w = 5.92 \% & E_s = 23.4 \cdot 10^3 \text{ kg/cm}^2 \\ S_v = 13.49 \% & C = 45 \text{ kg/cm}^2 \\ n_a = 13.49 \% & \phi = 44^\circ - 18^\circ \\ n = 13.57 \% & \\ e = 15.33 \% & \end{array}$$

Birim suya karşı hassas olduğu için, kazı sırasında uzun süre su ile temasta kalması önlenmelidir. Ancak önemli su problemi bu kesimde beklenmemelidir. Kazılabilirliği orta, maksimum iksasız açıklık yaklaşık 2m., ani göçmeler olabilir.

2.250-2.420 km. Göllerderesi formasyonu, çakıltası; az sayıda, düşük devamlı, kalsit dolgulu, aşırı dar-sıkışık eklemeli, serpentin, bazalt, şist, kireçtaşı, kumtaşı çakıllı, karbonat yeryer kıl çimentolu kalın katmanlı, iyi boylanmalıdır. Bu kesimde tabandan yaklaşık 7m. den sonra, çakıltalarında tedrici bir değişiklik görülür, elemanlarının tamama yakın bir kısmını kireçtaşı çakılları oluşturur. Jeoteknik özellikleri:

$$\begin{array}{ll} \gamma_n = 2.51 \text{ gr/cm}^3 & \sigma_c = 460 \text{ kg/cm}^2 \\ G_s = 2.68 \text{ gr/cm}^3 & \sigma_t = 40 \text{ kg/cm}^2 \\ w = 3.46 \% & I_s = 22.7 \text{ kg/cm}^2 \\ S_w = 1.04 \% & E_s = 157.7 \cdot 10^3 \text{ kg/cm}^2 \\ S_v = 2.58 \% & C = 89 \text{ kg/cm}^2 \\ n_a = 2.58 \% & \phi = 61^\circ - 33^\circ \\ n = 7.51 \% & \\ e = 8.14 \% & \end{array}$$

Kazılabilirliği, kolaylıkla büyük parçalar çıkarılamaz, maksimum iksasız açıklık, yaklaşık 10m., iksasız kendi kendini tutma süresi yaklaşık 10 yıl. Bu birimde önemli su problemleri beklenmemelidir. Ancak bazı çatlaklar boyunca gelişmiş çapları yaklaşık 30 cm.ye varan erime boşlukları önemlidir. Bunlar suyun kolaylıkla hareket etmesine yardımcı olurlar. Kazı esnasında rastlanıldığında bu boşluklar dikkatli bir şekilde kapatılmalıdır.

2.420-2.810 km.

Gurri formasyonu, kireçtaşısı; Dört yönde gelişmiş eklem takımı, çok düşük devamlı eklem yüzeyleri kaba, kalsit yeryer kil dolgulu, aşırı dar eklemler. Jeoteknik özellikler:

$$\begin{array}{ll} \gamma_n = 2.65 \text{ gr/cm}^3 & \sigma_c = 282 \text{ kg/cm}^2 \\ G_s = 2.71 \text{ gr/cm}^3 & \sigma_t = 20 \text{ kg/cm}^2 \\ w = 4.65 \% & I_s = 12.5 \text{ kg/cm}^2 \\ S_w = 0.44 \% & E_s = 618.2 \cdot 10^3 \text{ kg/cm}^2 \\ S_v = 1.48 \% & C = 47 \text{ kg/cm}^2 \\ n_a = 1.48 \% & \phi = 60^\circ - 17^\circ \\ n = 6.87 \% & \\ e = 7.38 \% & \end{array}$$

Kireçtaşlarının bol kırıklı ve kıvrımlı olması serbest basınç mukavemetini olumsuz yönde etkilemektedir. Kireçtaşları içinde yeryer marn ve seyl seviyeleride gözlenir. Kazılabilirliği orta, maksimum iksasız açıklık yaklaşık 5m., iksasız kendi kendini tutma süresi birkaç yıldır, ancak kaya düşmeleri ile anı göçmeler, açık ve fazla sayıda eklem bulunan bölgelerde beklenmelidir. Bu bölge de kireçtaşları tamamen kurudur, güneyde

bulunan Gölßer Deresi kireçtaşlarını besleyebilir, ayrıca kireçtaşları faylı olan güney sınırından da dereeler yolu ile beslenebilir. Buna göre kireçtaşlarında önemli su problemleri ile karşılaşılabilir. Fay zonuna yakın yerlerde ani su boşalmaları, diğer yerlerde eklemeler boyunca devamlı su gelişisi beklenmelidir. Kireçtaşlarında karstlaşma gelişmemiştir.

2.810-2.814 km.

Fay zonu: Faylanma, Gurri formasyonunun kireçtaşları ile Gölßer deresi formasyonunun çakıltaşı ve çamurtaşları arasında gelişmiştir. Doğrultu atımlı sağ yönlü bir faydır. Sondaj bulunmadığı için jeoteknik özellikleri belirlenememiştir. Gölßer Deresi fayı dik bir açı ile keser, bu da fay zonunun önemli derecede su bulundurabileceğini gösterir. Fay zonuna yaklaşıldığında su patlamaları beklenmelidir. Fay zonu, kolay kazılabilir, maksimum iksasız açıklık, yaklaşık 0.50m. ve ani göçmeler olabilir.

2.814-3.032 km.

Gölßerderesi formasyonu, çamurtaşısı; az sayıda, devamlı olmayan, kum ve kıl dolgulu, sıkışık eklemeler. Jeoteknik özelikleri:

$$\begin{array}{ll} \gamma_n = 2.46 \text{ gr/cm}^3 & \sigma_c = 148 \text{ kg/cm}^2 \\ G_s = 2.81 \text{ gr/cm}^3 & \sigma_t = 18 \text{ kg/cm}^2 \\ w = 3.71 \% & I_s = 4.7 \text{ kg/cm}^2 \\ S_w = 5.92 \% & E_s = 23.4 \cdot 10^3 \text{ kg/cm}^2 \\ S_v = 13.49 \% & C = 45 \text{ kg/cm}^2 \\ n_a = 13.49 \% & \phi = 44^\circ - 18^\circ \\ n = 13.57 \% & \\ e = 15.33 \% & \end{array}$$

Birim suya karşı hassas olduğu için kazı sırasında uzun süre su ile temasta kalması önlenmelidir. Kazılabilirliği orta, maksimum iksasız açıklık yaklaşık 2m., ani göçmeler olabilir. Bu bölgede Gölßer Deresi çamurtaşlarının doğrultusuna paralel akar ancak birim geçirimsiz olduğundan suların tünel kotuna kadar ulaşması beklenmez. Esas tehlikeyi fay zonundan gelecek sular oluşturacaktır.

3.032-3.272 km.

Gölßerderesi formasyonu, çakıltası; az sayıda, kalsit dolgulu, sıkıca bağlı eklemlidir. Serpentin, bazalt, şist, kireçtaşı, kumtaşı çakıllı, karbonat yer yer kil çimentolu, kalın katmanlı iyi boyanmalıdır. Jeoteknik özellikler:

$$\begin{array}{ll} \gamma_n = 2.51 \text{ gr/cm}^3 & \sigma_c = 460 \text{ kg/cm}^2 \\ G_s = 2.68 \text{ gr/cm}^3 & \sigma_t = 40 \text{ kg/cm}^2 \\ w = 3.46 \% & I_s = 22.7 \text{ kg/cm}^2 \\ S_w = 1.04 \% & E_s = 157.7 \cdot 10^3 \text{ kg/cm}^2 \\ S_v = 2.58 \% & C = 89 \text{ kg/cm}^2 \\ n_a = 2.58 \% & \phi = 61^\circ - 33^\circ \\ n = 7.51 \% & \\ e = 8.14 \% & \end{array}$$

Kazılabilirliği, kolaylıkla büyük parçalar çıkarılamaz, maksimum iksasız açıklık, yaklaşık 10 m., iksasız kendi kendini tutma süresi yaklaşık 10 yılı. Eklemler boyunca birkaç sızıntı haricinde önemli su problemi beklenmemelidir.

3.272-3.610 km.

Gurri formasyonu, kireçtaşı; Bu birim yüzeyde mostra vermez, ancak çakıltası altında yer almazı gerekmektedir. Bu birimi kesen sondaj bulunmaması nedeni ile jeoteknik özellikler belirlenmemiştir.

diğer kireçtaşları ile özelliklerinin aynı olması gerekmektedir. Kireçtaşları bol kıvrımlı ve kırıkçı olmalıdır, önemli su problemleri ile karşılaşılabilir.

3.610-3.630 km.

Fay zonu; Gurri formasyonu kireçtaşları bindirme fayı ile Göller Deresi çakıltaşlarının üzerine gelmiştir. Fayın eğimi yaklaşık  $40^{\circ}$  dir. Sondaj bulunmadığı için jeoteknik özellikleri belirlenmemiştir. Fay zonu boyunca önemli sayılabilecek kaynak gözlenmemiştir. Fay zonunu NE ve SW'da kesen iki dere önemli su boşalmalarına neden olabilir, kireçtaşlarına girildiğinde de su boşalmaları olabilir. Kolay kazılabilir, maksimum iksasız açıklık yaklaşık 0.50m. ve ani göçmeler olabilir.

3.630-4.540 km.

Gurri formasyonu, kireçtaşı; üç yönde gelişmiş eklem takımı, çok düşük devamlı, eklem yüzeyleri kaba, kalsit yeryer kil dolgulu, sıkışık eklemeler. Jeoteknik özellikleri:

$$\begin{array}{ll} \gamma_n = 2.65 \text{ gr/cm}^3 & \sigma_c = 282 \text{ kg/cm}^2 \\ G_s = 2.71 \text{ gr/cm}^3 & \sigma_t = 20 \text{ kg/cm}^2 \\ w = 4.65 \% & I_s = 12.5 \text{ kg/cm}^2 \\ S_w = 0.44 \% & E_s = 618.2 \cdot 10^3 \text{ kg/cm}^2 \\ S_v = 1.48 \% & C = 47 \text{ kg/cm}^2 \\ n_a = 1.48 \% & \phi = 60^{\circ} - 17^{\circ} \\ n = 6.87 \% & \\ e = 7.38 \% & \end{array}$$

Kireçtaşlarının bol kırıkçı olması serbest basınç mukavemetinde olumsuz yönde etkilemektedir. Kireçtaşları içinde yeryer marn ve şeYL seviyeleride gözlenir.

Kazılabilirliği orta, maksimum iksasız açıklık yaklaşık 5 m., iksasız kendi kendini tutma süresi birkaç yıldır, ancak kaya düşmeleri ile ani göçmeler, açık ve fazla sayıda eklem bulunan bölgelerde beklenmelidir. tünel güzergahının sağ ve solunda bulunan iki kaynak ve bu kaynakların beslediği dere yatakları yaz, kış suludur. Bu kesimde tünel, yeraltısu seviyesinin altında açılacaktır, kireçtaşlarınınında bol kırıklı ve porozitesinin fazla olması nedeniyle su problem olacaktır. Su gelişî basınçlı ani su patlamaları şeklinde değil, eklemlerden devamlı su gelişî şeklinde beklenmelidir. Kireçtaşlarında karstlaşmada gelişmemiştir.

4.540-4.555 km.

Fay zonu; Kop ultramafiti, bindirme fayı ile Gurri formasyonu üzerine gelmiştir. Fayın eğimi yaklaşık  $45^{\circ}$ dir. Sondaj bulunmadığı için jeoteknik özellikler belirlenmemiştir. Fay zonu üzerinde, 0.1 lt/sn debili üç kaynak ve moloz akması şeklinde iki heyelan gözlenir. Heyelanlar fay zonunu oluşturan bloklu ve çakılı ayırmış malzemenin yamaç eğiminin fazla olduğu yerlerde gelişmiştir. Heyelanların tünele herhangi bir etkisi yoktur, ancak fay zonunun bloklu, çakılı, ayırmış malzemeden oluştuğunu ve su problemi olabileceğini gösterir. Fay zonu daha kalın olabilir. Kolay kazılabilir, maksimum iksasız açıklık yaklaşık 0.50m. ve ani göçmeler olabilir.

4.555-6.018 km.

Kop ultramafiti, ultramafit; tünel güzergahının bu kesiminde ultramafitler, faylanma, kırık ve yeraltısuyu etkisi ile ayrılmış seviyeler içerir. Bu ayrılmış seviyeler serpentinit olarak tanımlanmıştır (Ultramafit serpentinit arasında kesin bir sınır belirlemek zordur. Değerlendirmede, ilki serpentinit ikincisi ultramafit olarak tanımlamalarda birlikte kullanılmıştır.). İki-üç yönde gelişmiş eklem takımı ve gelişigüzel eklemeler, düşük devamlı, kaygan yüzeyli, aşırı dar yeryer kil dolgulu eklemeler, Jeoteknik özellikler:

$$\begin{array}{ll} \gamma_n = 2.41, 2.51 \text{ gr/cm}^3 & \sigma_c = 180.542 \text{ kg/cm}^2 \\ G_s = 2.76, 2.73 \text{ gr/cm}^3 & \sigma_t = 28.45 \text{ kg/cm}^2 \\ w = 4.33, 1.21 \% & I_s = 28.45 \text{ kg/cm}^2 \\ S_w = 4.33, 1.21 \% & E_s = 37.1, 371.4 - 51.4 \cdot 10^3 \text{ kg/cm}^2 \\ S_v = 22.29, 1.30 \% & C = 50.95 \text{ kg/cm}^2 \\ n_a = 22.29, 1.30 \% & \phi = 40^\circ - 10^\circ, 57^\circ - 16^\circ \\ n = 22.29, 7.23 \% & \\ e = 29.02, 7.92 \% & \end{array}$$

Kazılabilirlik; kolay, orta, maksimum iksasız açıklık yaklaşık 1m, 5m, iksasız kendi kendini tutma süresi birkaç yıl ayrılmış zonlarda ani göçmeler olabilir. Fay zonuna yakın yerler ve ayrılmış zonlardan bol miktarda su gelişisi beklenmelidir. Serpentitlerin yeraltısuyu etkisi ile bozuşup kile dönüşen seviyelerinde, taban kabarması gibi şişme ve kabarma olayları beklenmelidir.

6.018-6.130 km.

Heyelan; Gurri Tepe S'inden başlayan heyelanın topuk bölgesi tünel güzergahının bu kesimini içine alır. Heyelanın topuk bölgesi aktif olduğundan tünelin bu kesimi çok problemlidir. Bu bölgedeki heyelan malzemesi tamamen temizlenip önüne istinat duvarı çekilmeden ilerleme yapılamaz. Aynı zamanda bu kesimde tünel açık kazı ile geçilmelidir.

## V. BETON AGREGA ARAŞTIRMALARI

Bu bölümde Kopdağı 1 veya Kopdağı 2 tünelinin açılması halinde betonda kullanılabilecek kum-çakıl ocağı yer ve nitelik özellikleri araştırılmıştır. Bu amaçla Karasu çayı (Erzurum-Aşkale) üzerinde agrega gereç alanı olabilecek nitelikte iki bölge tespit edilmiştir (Bölge A,Bölge B). A bölgesinde: 14 numune, 13 gözlem, B bölgesinde: 10 numune 8 gözlem kuyusu açılmıştır. Ayrıca Aşkale-Trabzon karayolu üzerinde Aşkale'nin 4 km. batısında mostra veren eski dere alüvyonlarının uygunluğunu araştırmak amacıyla 3 yarma ve açılan 3 gözlem kuyusunda (Bölge C) gerekli gözlemler yapılmıştır (Ek-5 Gözlem ve numune kuyuları ile gereç alanı sınırlarını gösterir harita). Açılan numune ve gözlem kuyularının derinlikleri ortalama 2m. seçilmiştir. Numune ve gözlem kuyularının kesitleri hazırlanmış gereçlerin devamlılıkları ile yeraltı su seviyesi gözlenmiştir. Numune kuyularından alınan gereçler fiziksel deneylere tabii tutulmuş ve tüm sonuçlar bilgisayarda değerlendirilmiş ve her bölgenin genel ortalamaları hazırlanmıştır. Tüm deney sonuçları ile ortalamalar bölüm sonunda üç bölge için ayrı ayrı tablolar halinde sunulmuştur.

Bulunan sonuçların genel bir değerlendirmesi yapılarak agrega için fiziksel özellikler yönünden en uygun bölge belirlenmiştir. Belirlenen en uygun bölge ile ilgili beton karışım hesabı yapılmış ve bir fikir vermesi açısından 16 adet silindirik beton imal edilerek sonuçlar değerlendirilmiştir.

## V.1. KARASU ÇAYI A BÖLGESİ AGREGA OCAĞININ ÖZELLİKLERİ

### FİZİKSEL ÖZELLİKLER

Dane Özellikleri:

Dane şekli; Kusurlu danelerin miktarı, toplam agrega ağırlığının %7'sini oluşturmaktadır.

Dane yüzeyi; düz %80, pürüzlü %20

Bünye Özellikleri:

Su emme; kum  $1.18 \pm 0.45\%$ , çakıl  $1.79 \pm 0.28\%$

Birim ağırlık; kum  $1.70 \text{ gr/cm}^3$ , çakıl  $1.67 \text{ gr/cm}^3$

Özgül ağırlık; kum  $2.53 \text{ gr/cm}^3$ , çakıl  $2.57 \text{ gr/cm}^3$

$\text{Na}_2\text{SO}_4$  don kaybı; kum  $20.66 \pm 2.33\%$ , çakıl  $23.08 \pm 1.09\%$

Elek analizi; çakıl ve kumun ideal granulometriye göre derecelenmiş ortalama katsayıları ( $C_u$  uniformluk,  $C_c$  eğrilik)

$$\text{Çakıl: } C_u = D_{60}/D_{10} = 3.72 < 4$$

$$C_c = (D_{30})^2 / D_{10} \cdot D_{60} = 0.81 < 1$$

$$\text{Kum : } C_u = D_{60}/D_{10} = 5.81 < 6$$

$$C_c = (D_{30})^2 / D_{10} \cdot D_{60} = 0.88 < 1$$

Bu verilere göre çakıl ve kumun  $C_u$  ve  $C_c$ 'nin limitte olması agreganın dane dağılımının iyi derecelenmiş ve GW-SW grup simgesinde olduğunu göstermektedir.

Agreganın ağırlıkça % dağılımı:

$D > 50.8 \text{ mm.}$	Blok	%5
$50.8 > D > 19.1 \text{ mm.}$	İri çakıl	%28
$19.1 > D > 4.76 \text{ mm.}$	İnce çakıl	%28
$4.76 > D > 2.00 \text{ mm.}$	İri kum	%14
$2.00 > D > 0.42 \text{ mm.}$	Orta kum	%14

0.42>D>0.076 mm.	İnce kum	%7
0.076>D mm.	İnce malzeme	%4

Burada çakıl iyi derecelenmiş olup ince çakılın toplam çakıla oranının %50 olması dane çapı dağılımının ideal eğrinin içerisinde olduğunu göstermektedir. Kumun granülometrisi ise eğrinin alt sınırlarında ve incelik modülü  $4.25 \pm 0.15$  değerleri arasında değişmesi kumun iri daneli olduğunu gösterir. Agreganın dane dağılımına göre çakıl %60 ve kum %40 tır.

#### MEKANİK ÖZELLİKLER

Aşınma dayanımı (Los Angeles); 100 dv  $3.53 \pm 0.31$  %,  
500 dv  $18.71 \pm 0.43$  %

#### ZARARLI MADDELER

Organik madde; hiç yok veya çok az var.  
İnce gereç miktarı(200 no.lu elekten geçen); $3.86 \pm 0.56$  %  
Sağlam olmayan elemanlar; ayrılmış serpentinit ve volkanik kayaç parçaları  
Agreganın jeolojik kökeni;%95 kireçtaşı, %5 ultramafit  
Volkanik (dasit)+Kumtaşısı

#### V.2.KARASU ÇAYI B BÖLGESİ AGREGA OCAĞININ ÖZELLİKLERİ

#### FİZİKSEL ÖZELLİKLER

Dane Özellikleri:

Dane şekli; Kusurlu danelerin miktarı toplam aggrega ağırlığının %7'sini oluşturmaktadır.

Dane yüzeyi; düz %80, pürüzlü %20

Bünye Özellikleri:

Suemme; kum  $1.28 \pm 0.07$  %, çakıl  $1.81 \pm 0.29$

Birim ağırlık; kum  $1.65 \text{ gr/cm}^3$ , çakıl  $1.61 \text{ gr/cm}^3$   
Özgül ağırlık; kum  $2.54 \text{ gr/cm}^3$ , çakıl  $2.64 \text{ gr/cm}^3$   
 $\text{Na}_2\text{SO}_4$  don kaybı; kum  $12.02 \pm 0.56\%$ , çakıl  $22.95 \pm 2.14\%$   
Elek Analizi; Çakıl ve kumun ideal granülometriye  
derecelenmiş katsayıları ( $C_u$  uniformluk,  $C_c$  eğrilik)

$$\text{Çakıl: } C_u = D_{60} / D_{10} = 3.93 < 4$$

$$C_c = (D_{30})^2 / D_{10} \cdot D_{60} = 0.80 < 1$$

$$\text{Kum : } C_u = D_{60} / D_{10} = 5.33 < 6$$

$$C_c = (D_{30})^2 / D_{10} \cdot D_{60} = 0.92 < 1$$

Bu verilere göre çakıl ve kumun  $C_u$  ve  $C_c$ 'nin limitte olması agreganın dane dağılımının iyi derecelenmiş ve GW-SW grup simgesinde olduğunu göstermektedir.

#### Agreganın ağırlıkça % dağılımı

$D > 50.8 \text{ mm.}$	Blok	%6.9
$50.8 > D > 19.1 \text{ mm.}$	İri çakıl	%27.1
$19.1 > D > 4.76 \text{ mm.}$	İnce çakıl	%28
$4.76 > D > 2.00 \text{ mm.}$	İri kum	%9
$2.00 > D > 0.42 \text{ mm.}$	Orta kum	%15
$0.42 > D > 0.076 \text{ mm.}$	İnce kum	%10
$0.076 > D \text{ mm.}$	İnce malzeme	%4

Burada çakıl iyi derecelenmiş olup ince çakılın toplam çakıla oranının %50 olması dane çapı dağılımının ideal eğrinin içerisinde olduğunu göstermektedir. Kumun granülometrisi ise eğrinin alt sınırlarında ve incelik modülü  $3.9 \pm 0.13$  değerleri arasında değişmesi kumun iyi daneli olduğunu gösterir. Agreganın dane dağılımına göre çakıl %60 ve kum %60 tır.

#### MEKANİK ÖZELLİKLER

Aşınma dayanımı (Los Angeles); 100dv.  $3.02 \pm 0.30\%$   
500 dv  $17.10 \pm 0.40\%$

## ZARARLI MADDELER

Organik madde; hiç yok yada çok az var.

İnce gereç miktarı (200 nolu elekten geçen);  
 $3.86 \pm 0.56\%$

Sağlam olmayan elemanlar; ayrılmış serpantinit ve volkanik kayaç parçaları

Agreganın jeolojik kökeni; %95 kireçtaşı, %5 ultra-mafit+volkanik(Dasit)+kumtaşı

## V.3.KARASU ÇAYI C BÖLGESİ AGREGA OCAĞININ ÖZELLİKLERİ

### FİZİKSEL ÖZELLİKLER

#### Dane Özellikleri:

Dane şekli; kusurlu danelerin miktarı toplam aggrega ağırlığının %20'sini oluşturmaktadır.

Dane yüzeyi; düz %90, pürüzlü %10.

#### Bünye Özellikleri:

Su emme; kum  $1.12 \pm 0.66\%$ , çakıl  $1.89 \pm 0.16\%$

Birim ağırlık; kum  $1.59 \text{ gr/cm}^3$ , çakıl  $1.53 \text{ gr/cm}^3$

Özgül ağırlık; kum  $2.52 \text{ gr/cm}^3$ , çakıl  $2.53 \text{ gr/cm}^3$

$\text{Na}_2\text{SO}_4$  don kaybı; kum  $37.2 \pm 1.01\%$ , çakıl  $32.09 \pm 0.58\%$

Elek analizi; çakıl ve kumun ideal granülometriye göre derecelenmiş ortalama katsayıları ( $C_u$  uniformluk,  $C_c$  eğrilik)

$$\text{Çakıl: } C_u = D_{60}/D_{10} = 2.84 < 4$$

$$C_c = (D_{30})^2/D_{10} \cdot D_{60} = 0.76 < 1$$

$$\text{Kum : } C_u = D_{60}/D_{10} = 8.3 > 6$$

$$C_c = (D_{30})^2/D_{10} \cdot D_{60} = 0.83 < 1$$

Bu verilere göre çakılın ve kumun  $C_u$  ve  $C_c$ 'nin limit değerlerin altında olması 200 nolu elekten geçen malzemenin

oranının %12'den fazla olması nedeniyle, agreganın dane dağılımının kötü derecelenmiş GM-SM yada GC-SC grup simgesinde olduğunu göstermektedir.

Agreganın ağırlıkça % dağılımı:

D>50.8 mm.	Blok	%6
50.8>D>19.1 mm.	İri çakıl	%30
19.1>D>4.76 mm.	İnce çakıl	%33
4.76>D>2.00 mm.	İri kum	%12
2.00>D>0.42 mm.	Orta kum	%8
0.42>D>0.076mm.	İnce kum	%7
0.076>D mm.	İnce malzeme	%15

Burada çakıl kötü derecelenmiş olup ince çakılın toplam çakıla oranının %66 olması dane çapı dağılımının ideal eğirin üzerinde olduğunu göstermektedir. Kumun granülometrisi ise eğrinin alt sınırlarında ve incelik modülünün  $4.13 \pm 0.15$  değerleri arasında değişmesi kumun iri daneli olduğunu gösterir. Agreganın dane dağılımına göre çakıl %60 kum %40 tır.

#### MEKANİK ÖZELLİKLER

Aşınma dayanımı (Los Angeles); 100 dv  $4.86 \pm 0.67$  %,  
500 dv  $12.86 \pm 1.94$  %

#### ZARARLI MADDELER

Organik madde; Çok az var.

İnce gereç miktarı (200 nolu elekten geçen);  $14.58 \pm 0.43$  %

Sağlam olmayan elemanlar; ayrılmış serpantinit, volkanik kayaç ve kumtaşı parçaları

Agreganın jeolojik kökeni; %85 kireçtaşısı, %15 ultra-mafit+volkanik(dasit)+kumtaşı

#### V.4.KARASU ÇAYI A,B ve C BÖLGESİ AGREGA OCAKLARININ ÖZELLİKLERİNİN DEĞERLENDİRİLMESİ

A ve B bölgesi aggrega ocakları fiziksel özellik yönünden aggrega elverişlilik durumuna göre; kum ve çakılda su emme

ve don kayıplarının yüzdesi limit değerlerin üzerinde, özgül ağırlıkları ise limit değerlerin altındadır. C bölge si ise; kum ve çakilla su emme, don kayıpları ve 200 nolu elekten geçen ince gereç miktarı limit değerler üzerinde, özgül ağırlıkları ise limit değerlerin altındadır.

A ve B gereç olanları iyi derecelenmiş çakıl kum karışımıları (GW-SW) karakterinde, C gereç alanı ise kötü derecelenmiş çakıl-kum-silt-kil karışımıları (GM-SM,GC-SC) karakterindedir. A ve B bölgelerindeki agreganın don kayıplarının fazla olması nedeniyle soğuk bölgelerde beton agregası olarak kullanılması uygun değildir. Ancak, don kayıplarının limit değerlere çok yakın olması nedeniyle, iklim şartlarına uygun koruma önlemleri alınarak betonda aggrega olarak kullanılabilir. C bölgesinde de don kayıpları fazla ve limit değerlerin çok üstündedir. Don kayıpları giderilecek önlemler alınması durumunda bile, kirliliğin de (200 nolu elekten geçen ince gereç miktarı) limitlerin çok üzerinde olmasından ilave yıkama tesisi gerektirmektedir. Bu durumda C bölgesinin beton agregası olarak kullanılması uygun değildir.

Bu değerlendirmelere göre, tünel açılması durumunda, inşaata yakınılığından dolayı B bölgesi aggrega ocağını en uygun bölge olarak saptanmış ve yapılan beton karışım hesaplamalarında B bölgesine ait deney sonuçları kullanılmıştır.

#### V.5. BETON KARIŞIM HESABI\*

Beton karışım hesabında kullanılan veriler:

Çimento K.P.Ç. 325

Çimento özgül ağırlığı,  $\gamma_c = 3.15 \text{ kg/dm}^3$

Çakılın özgül ağırlığı,  $\gamma_{çak} = 2.61 \text{ kg/dm}^3$

Kumun özgül ağırlığı  $\gamma_{kum} = 2.53 \text{ kg/dm}^3$

Maksimum dane çapı,  $D_{max} = 1.1/2" (=38100mm.)$

Kumun incelik modülü, 3.9

\*Beton karışım hesabı "TS 802, Beton karışım hesap esasları"na göre yapılmıştır.

Beton sınıfı; BS 16, BS 20 (Yüksel Proje A.Ş den)  
Agreganın dane dağılımı; B bölgesi ortalaması kullanılmıştır.

Beton dökümü sırasında hava katkı kullanılmayacağı varsayılmıştır.

#### Hesaplama:

Dane dağılımı; Agreganın dane dağılımı TS 206 da belirtilen uygun bölgeye düşmektedir. Buna göre agreganın %60'ı çakıl, %40'ı kumdur (Şekil-41). Agreganın dane dağılımına göre çakılın %50'si ince, %50'si iri çakıldır.

Su-çimento oranı(w); BS 16 için karakteristik basınç dayanımı ( $f_{ck}$ )  $160 \text{ kg/cm}^2$ , BS 20 için  $200 \text{ kg/cm}^2$  ve bu beton sınıflarının karışım hesabında temel alınacak ortalama basınç dayanımları ( $f_{cm}$ )  $200 \text{ kg/cm}^2$  ve  $260 \text{ kg/cm}^2$  dir (Tablo-49). Bu dayanımı elde edebilmek için gerekli su-çimento oranı(W/C) 0.70 ve 0.62 dir (Tablo-50).

Çökme değeri; max10-min5, ortalama 7.5cm (Tablo-51).

Karışım suyu miktarı(W);  $180 \text{ lt/m}^3$  (Tablo-52)

Hava miktarı ( $V_h$ ); %1 (Tablo-52) ( $1000 \text{ dm}^3$  beton için  $10 \text{ dm}^3$  hava)

Çimento (C);  $C = \frac{W}{W/C}$  (kg) bağıntısından 257kg ve 290kg.

Çimento hacmi( $V_c$ );  $V_c = \frac{C}{\gamma_c}$  bağıntısından  $82 \text{ dm}^3$  ve  $92 \text{ dm}^3$ .

Agrega hacmi;  $1000 - (V_c + W + V_h)$  bağıntısından  $728 \text{ dm}^3$  ve  $718 \text{ dm}^3$

#### Agrega miktarı;

BS 16

Agrega Sınıfı	Karışım Oranı(%)	Agrega hacmi ( $\text{dm}^3$ )	Agrega ağırlığı(kg)
Kum	%40	292	739
İnce çakıl	%30	218	569
İri çakıl	%30	218	569

BS 20

Agrega Sınıflı	Karışım oranı (%)	Agrega hacmi ( $dm^3$ )	Agrega ağırlığı(kg)
Kum	%40	288	729
İnce çakıl	%30	215	561
İri çakıl	%30	215	561

1  $m^3$  dökülmüş beton için hesaplanan malzeme miktarı

BS 16

Malzeme	Ağırlık (kg)	Özgül Ağırlık kg/ $dm^3$	Hacim ( $dm^3$ )
Çimento	257	3.15	82
Su	180	1.0	180
Hava	+ <u>—</u>	—	+ <u>10</u>
Çimento+su+hava	437		272
Kum	739	2.53	292
İnce çakıl	569	2.61	218
İri çakıl	569	2.61	218
Toplam Beton	2314		1000

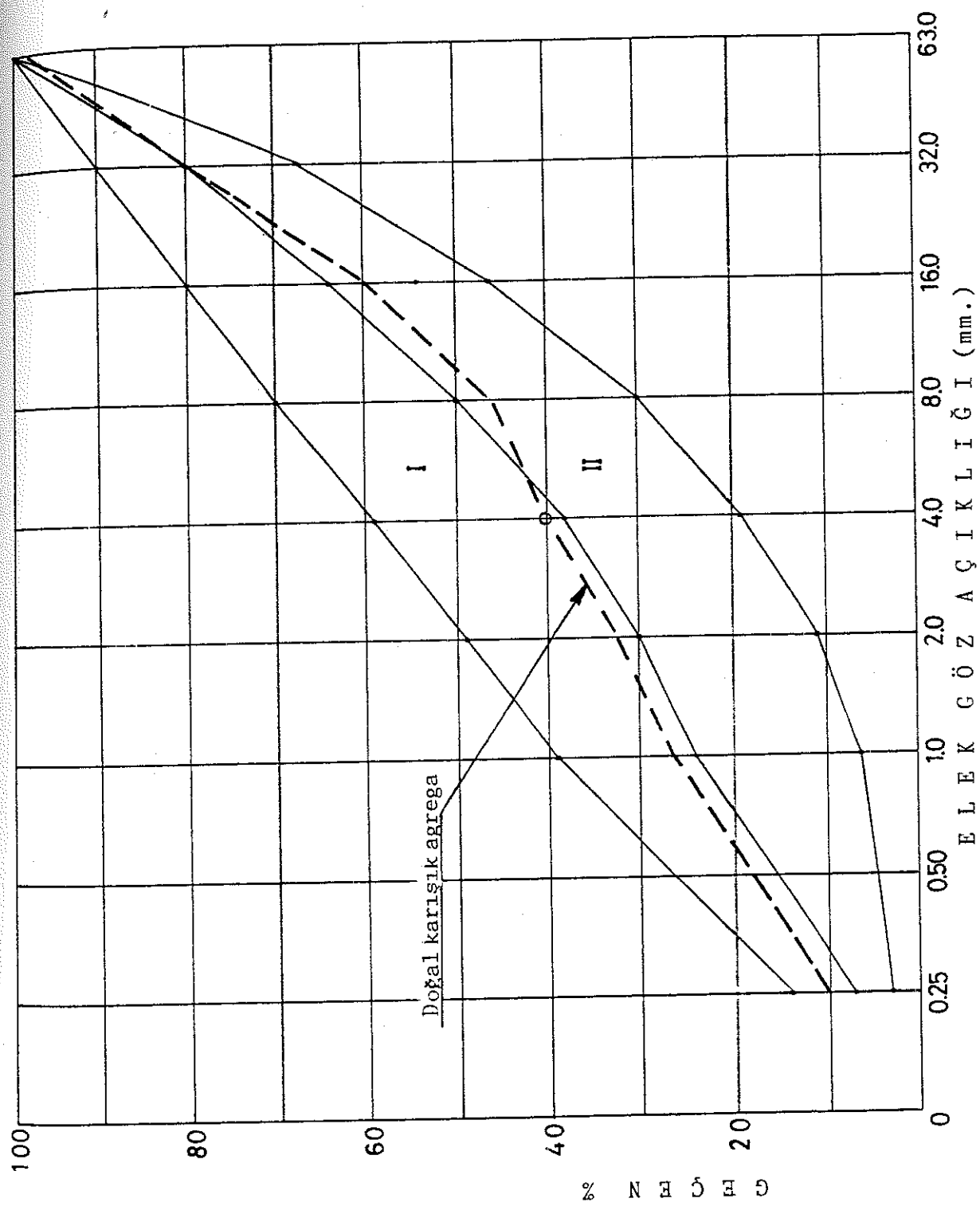
BS 20

Malzeme	Ağırlık (kg)	Özgül Ağırlık kg/ $dm^3$	Hacim ( $dm^3$ )
Çimento	290	3.15	92
Su 180	180	1.0	180
Hava	+ <u>—</u>	—	+ <u>10</u>
Çimento+su+hava	470		282
Kum	729	2.53	288
İnce çakıl	561	2.61	215
İri çakıl	561	2.61	215
Toplam Beton	2321		1000

Yukarıda verilen karışım oranlarına uygun 16 silindirik deney numunesi hazırlanmış ve imal edilen silindirik betonlarin 8 ve 28 günlük basınç dirençleri ölçülmüştür.

Beton sınıfı	8 gün	28 gün	Örnek sayısı
BS 16	94	147	8
BS 20	134	193	8

Bulunan sonuçlara göre istenen mukavemetler elde edilememiştir. Yazar, bunun nedeninin kökeni ofiyolitik ve volkanik kayalardan oluşan çakıllardan olduğu düşünmektedir. Betonun mukavemetinin artırılabilmesi için Gurri formasyona ait tünel kazısından çıkarılacak kireçtaşlarının kırılıp granülometrisi düzeltilerek betona ilave edilmesi gerekmektedir. Kireçtaşlarının kirmataş olarak hangi oranlarda betona katılması gerektiği ayrıca yapılacak deneylerle belirlenebilir.



Şekil-41- Agreganın dene dağılımı  
Granulometry of aggregate.

Tablo-49- Beton sınıflarının basınç dayanımı

Strength of concrete

Beton Sınıfı	Karakteristik basınç dayanımı (silindir) kg/cm <sup>2</sup>	Ortalama basınç dayanımı(silindir) kg/cm <sup>2</sup>
BS 14	140	180
BS 16	160	200
BS 20	200	260
BS 25	250	310
BS 30	300	360
BS 35	350	430
BS 40	400	480
BS 45	450	530
BS 50	500	580

Tablo-50- Basınç dayanımlarına göre su çimento oranı

Water, cement ration according to strength

28 Günlük Beton basınç dayanımı kg/cm <sup>2</sup>	Su çimento oranı (Ağırlık esasına göre) (W/C)	
	Hava katkısız beton	Hava katkılı beton
450	0.38	-
400	0.43	-
350	0.48	0.40
300	0.55	0.46
250	0.62	0.53
200	0.70	0.61
150	0.80	0.71

Tablo-51- Çeşitli yapı elemanları için uygun çökme değerleri  
Slump rate of severe building.

Yapı Elemanları	Çökme değerleri (cm)	
	Max.	Min.
Betonarme temeller	8	3
Donatsız beton temeller, kesonlar ve alt yapı duvarları, kanal kaplama betonları	7	2
Döşeme, kiriş, kolon, betonarme perdeler, tünel yan ve kemer betonları	10	5
Yol kaplama betonları, köprü ayakları	5	3
Tünel taban kaplama betonları	5	2

Tablo-52-Karışım suyu miktarı

Amount of mixed water

	Verilen agregat en büyük dane çapları için karışım suyu miktarı lt/m <sup>3</sup>							
Dane çapı (mm)	9.250	12.700	19.100	25.400	38.100	50.800	76.200	
Çökme Değeri(cm)	(Hava katkısız beton için)							
2- 6	210	220	185	180	165	155	145	
7-12	230	220	205	195	180	170	160	
13-17	245	230	215	205	190	180	170	
Sıkışık hava %si	3.0	2.5	2.0	1.5	1.0	0.5	0.3	

A BÖLGESİ DENEY SONUÇLARI VE GRAFİKLER

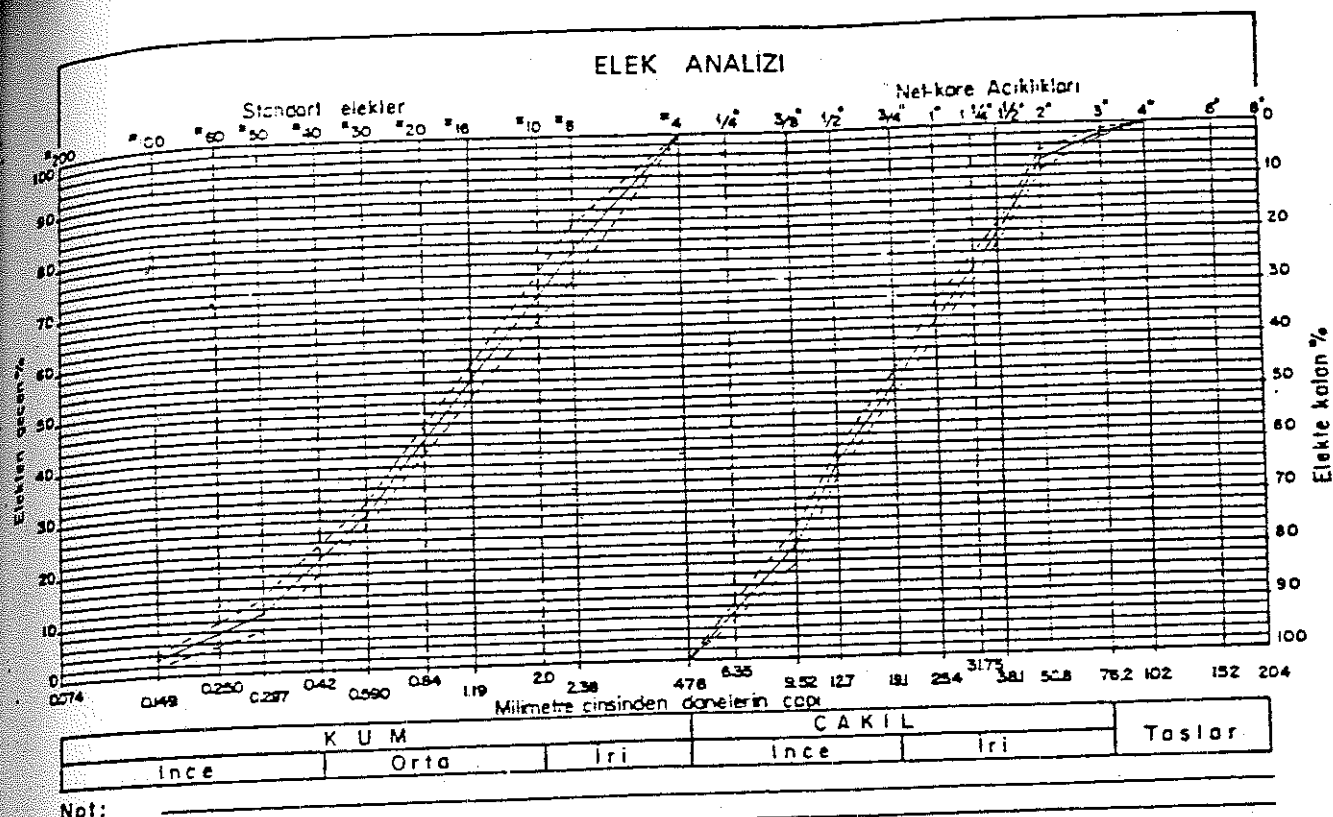
KOP TUNELI PROJESİ  
ORTALAMA AGREGA FİZİKSEL DENYEY SONUCLARI

BOLGE A

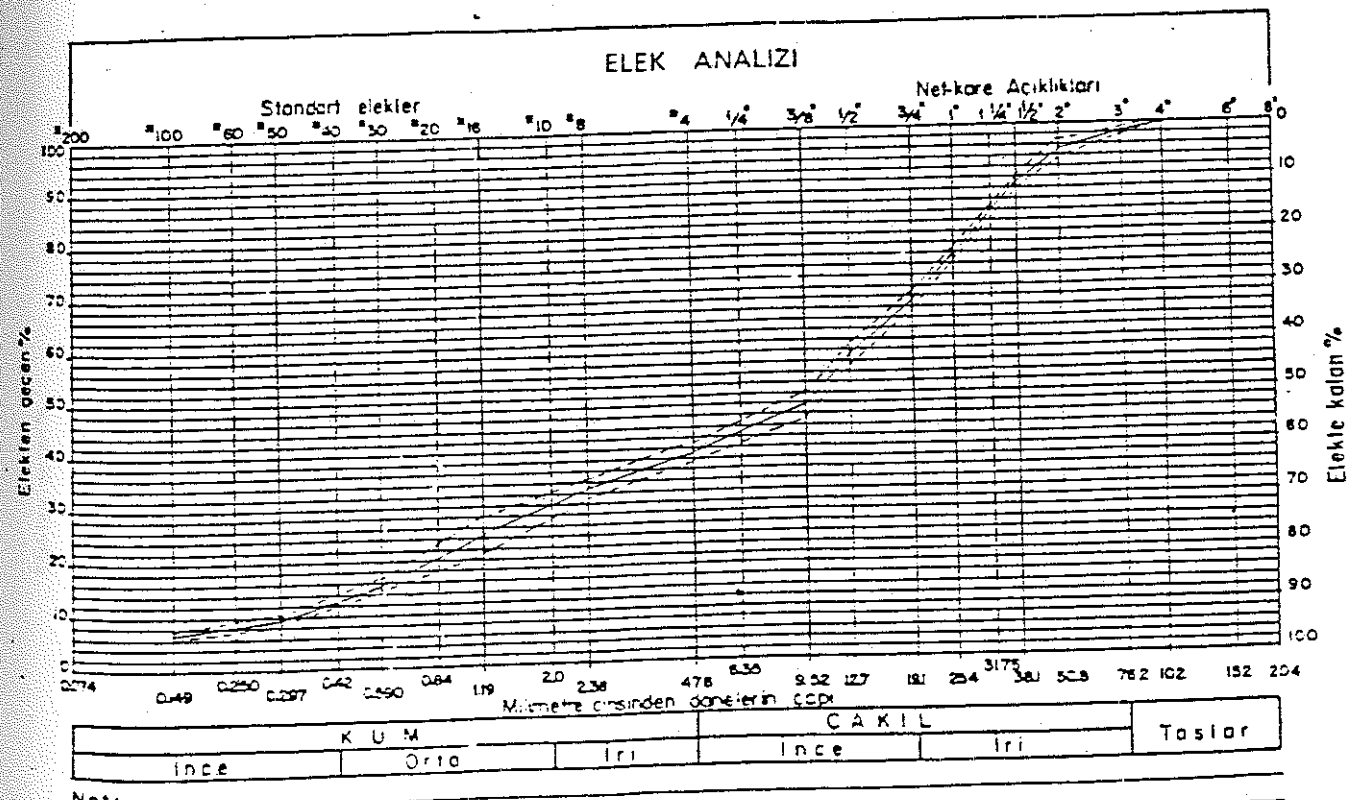
DENEYLER	Limit	X ± E
Eritm Hacim Kum		1.70 ± 0.01
Agrilik		
gr/cm³ Cakil		1.67 ± 0.02
Özgül	Kum	2.53 ± 0.01
Agrilik	Min 2.60	
gr/cm³ Cakil		2.57 ± 0.05
SU	Kum	1.18 ± 0.45
Enme	Max % 1	
%	Cakil	1.79 ± 0.28
200 no elekten geç	Max % 3-5	3.80 ± 0.48
Na2 SO4	Kum	Max 15
Don Kaybisi		20.66 ± 2.33
%	Cakil	Max 18
Los-Angeles 100 dv	Max 30	3.53 ± 0.31
Asitlik kay		
%	500 dv	Max 40-50
Kumun incelik modulu %		4.24 ± 0.15

KOP TUNELI PROJESİ A BOLGESI  
STANDART ELEKLER UZERINDE KALAN ORTALAMA MIKTARLARI %

Elek No	I	C	A	I	I	I	I	K	U	M	...	...
Dene Dayi mm	50.60	38.10	25.45	19.10	12.70	9.57	4.76	2.38	1.19	0.59	0.38	0.15
Elekte Kalan Ortalama %	6.95	13.39	31.37	12.85	14.81	15.82	12.34	21.31	24.24	25.44	16.11	7.25
Standart Sapma %	2.09	1.35	2.55	1.80	2.25	3.10	2.22	4.43	3.66	1.97	2.96	1.64
Ic + E	9.06	14.74	12.14	13.89	17.06	18.12	14.55	25.74	27.12	27.41	21.09	8.29
Ic - E	4.56	12.64	10.94	10.24	12.55	11.52	10.12	16.88	21.35	23.47	15.13	5.21



A- BÖLGESİ KUM VE ÇAKIL ORTALAMA VE STANDART SAPMA DEĞERLERİ



A-BÖLGESİ T. ENİN MALZEME ORTALAMA E STANDART SAPMA DEĞERLERİ

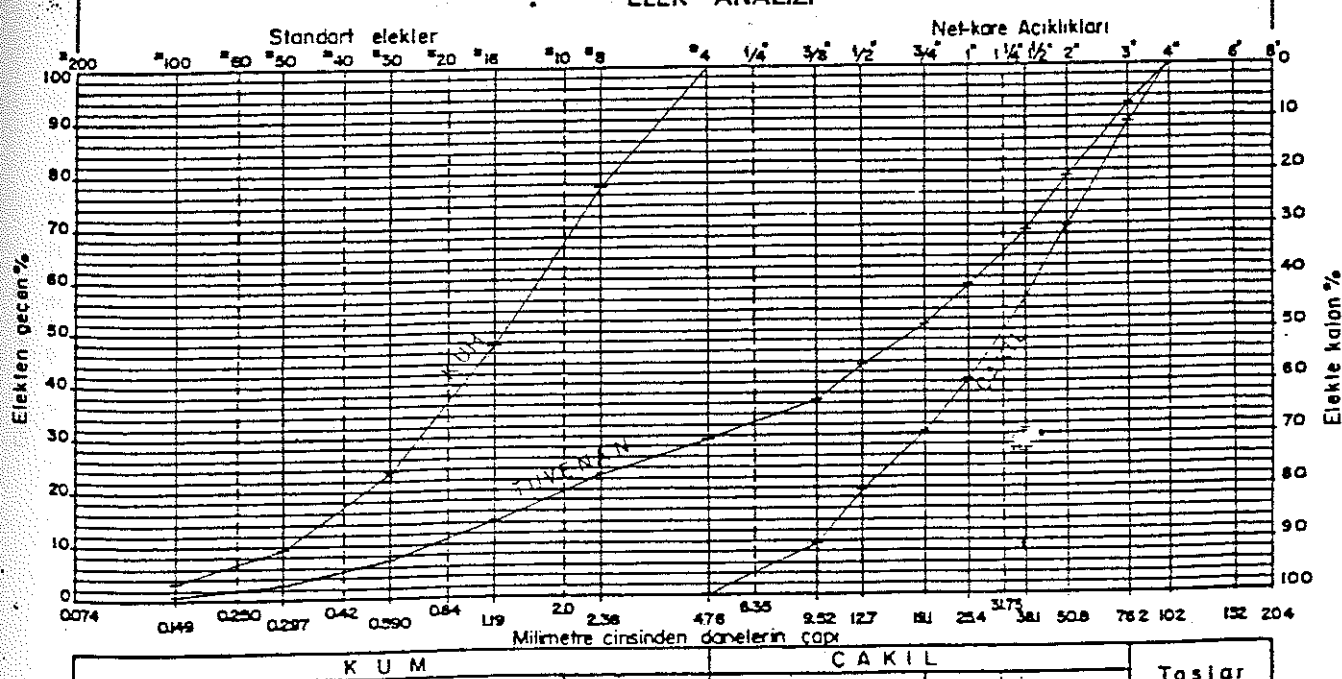
\*\*\* KOP TUNELI PROJESİ \*\*\*  
 \*\* AGRESA FİZİKSEL DENEYLERİ \*\*  
 \*\*\* NUMUNE NUMARASI = 100 \*\*\*

ELEK NO	ELEKTE VAL.	ELEKTE KAL. %	TOPLAM KAL. %	
3	2241	11.0	7.8	11.0 7.3
2 1/2	2257	11.2	7.9	22.2 15.7
2	1627	8.0	5.7	30.2 21.3
1 1/2	2798	13.8	9.7	44.0 31.0
1	3117	15.4	10.8	59.4 41.9
3/4	1995	9.8	6.9	69.2 48.8
1/2	2209	10.9	7.7	80.1 56.5
3/8	2110	10.4	7.3	90.5 63.8
4	1929	9.5	6.7	100.0 70.5
TOP.CAK.	20293			
KUM	6500			
TOP.TUW	28793			
ELEK ANALİZİ İÇİN ALINAN KUM MIKTARI = 1000				

ELEK NO	ELEKTE VAL.	ELEKTE KAL. %	TOPLAM KAL. %	
8	223	22.3	6.6	22.3 77.1
16	301	30.1	8.9	52.3 85.9
30	238	23.8	7.0	76.1 92.9
50	144	14.4	4.3	90.5 97.2
100	58	5.8	1.7	96.4 98.9
PAN	36	3.6	1.0	99.9 100.0

KUMUN BİRİM HACIM AĞIRLIĞI gr/cm<sup>3</sup> = 1.69  
 CAKILIN BİRİM HACIM AĞIRLIĞI gr/cm<sup>3</sup> = 1.65  
 KUMUN İNCELIK MODULU % = 4.38  
 İKİYÜZ NOLU ELEKTEN GEÇEN % = 4.17  
 CAKILIN DİZGÜL AĞIRLIĞI gr/cm<sup>3</sup> = 2.61  
 KUMUN DİZGÜL AĞIRLIĞI gr/cm<sup>3</sup> = 2.53  
 CAKİLDADA SU EMME % = 1.70  
 KUMDA SU EMME % = 1.80  
 LOSANGELES ASIMMA KAYBI 100 DEVİR % = 3.90  
 LOSANGELES ASIMMA KAYBI 500 DEVİR % = 18.96  
 CAKİLDADA SODİYUM SULFAT DON KAYBI % = 24.80  
 KUMDA SODİYUM SULFAT DON KAYBI % = 21.46

### ELEK ANALİZİ



Not:

\*\*\* KOP TUNELI PROJESİ \*\*\*  
 \*\* AGREBA FİZİKSEL DENEYLERİ \*\*  
 \*\*\* NİMÜKE NUMARASI = 100 \*\*\*

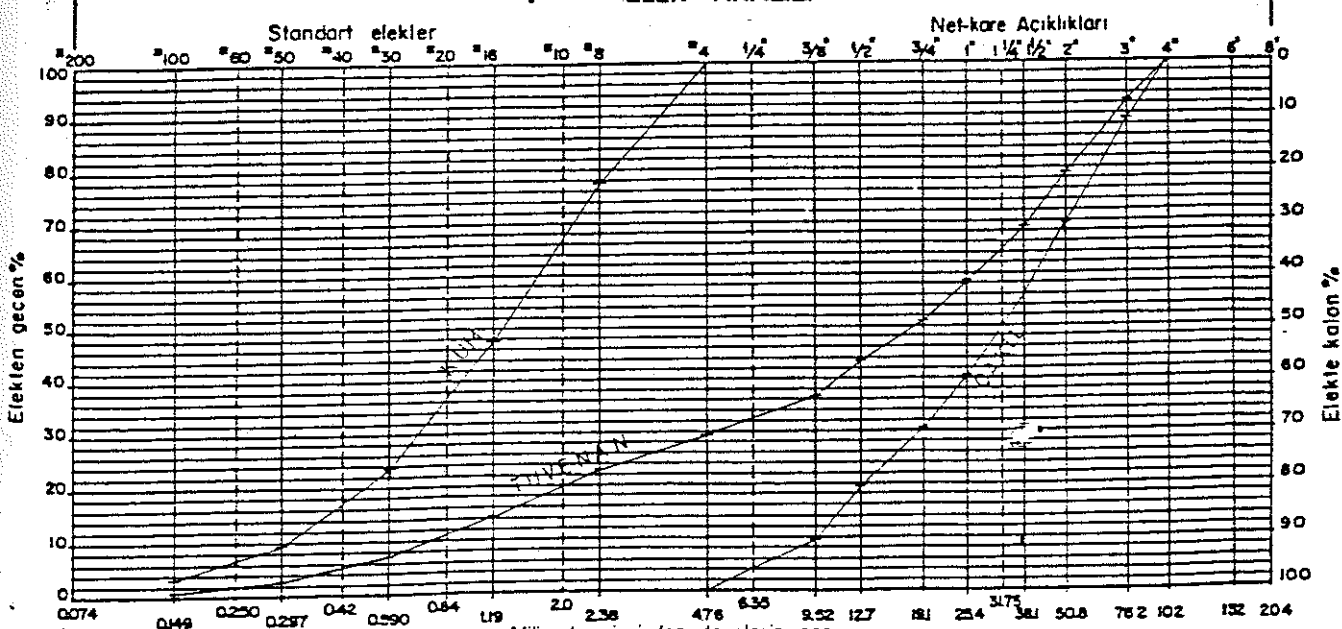
ELEK NO	ELEKTE KAL.	ELEKTE KAL. %	TOPLAM KAL. %
3	2241	11.0	7.8
2 1/2	2247	11.2	7.9
2	1627	8.0	5.7
1 1/2	2798	13.8	9.7
1	3117	15.4	10.8
3/4	1995	9.8	6.9
1/2	2209	10.9	7.7
3/8	2110	10.4	7.3
4	1929	9.5	6.7
TOP.ÇAK.	20293		
KUM	8508		
TOP.TUV	28793		

ELEK ANALİZİ İÇİN ALINAN KUM MIKTARI= 1000

ELEK NO	ELEKTE KAL.	ELEKTE KAL. %	TOPLAM KAL. %
8	223	22.3	6.6
16	301	30.1	8.9
30	238	23.8	7.0
50	144	14.4	4.3
100	58	5.8	1.7
PAN	36	3.6	1.0

KUMUN BİRİM HACİM AĞIRLIĞI gr/cm<sup>3</sup> = 1.69  
 CAKILIN BİRİM HACİM AĞIRLIĞI gr/cm<sup>3</sup> = 1.65  
 KUMUN İNCELIK MODULU Z = 4.38  
 İKİYÜZ NOLU ELEKTEEN GEÇEN % = 4.17  
 CAKILIN DİZGÜL AĞIRLIĞI gr/cm<sup>3</sup> = 2.61  
 KUMUN DİZGÜL AĞIRLIĞI gr/cm<sup>3</sup> = 2.53  
 CAKİLDADA SU EMME % = 1.70  
 KUMDA SU EMME % = 1.80  
 LOSANGELES ASİHMA KAYBI 100 DEVİR % = 3.90  
 LOSANGELES ASİHMA KAYBI 500 DEVİR % = 18.96  
 CAKİLDADA SODİUM SULFAT DÖN KAYBI % = 24.88  
 KİMDA SODİUM SULFAT DÖN KAYBI % = 21.46

### ELEK ANALİZİ



KUM			CAKIL			Taslar
Ince	Orta	Iri	Ince	Iri		

Not:

KOF TUNELI PROJESİ  
AGREGAT FİZİKSEL DENEYLERİ  
NUMUNE NUMARASI = 101

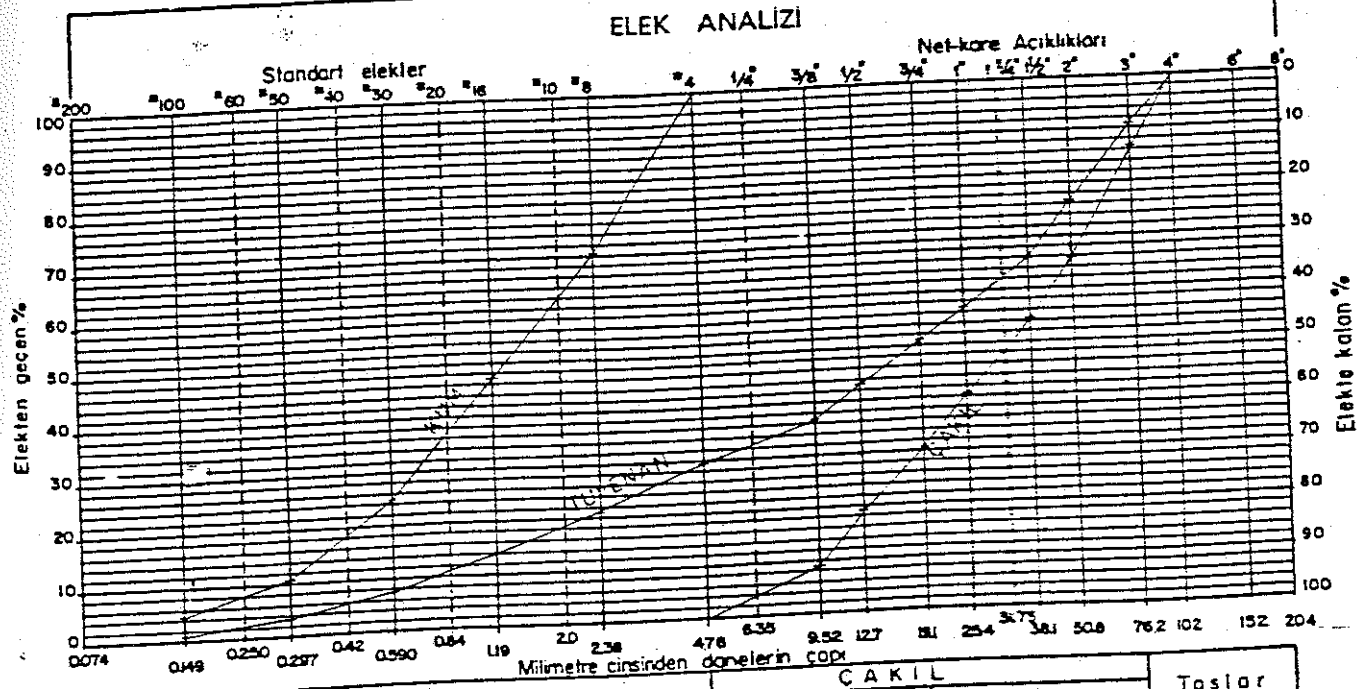
ELEK NO	ELEKTE KAL.	ELEKTE KAL. %	TOPLAM KAL. %
3	2829	13.8	9.6
2 1/2	2346	11.4	8.0
2	1839	8.9	6.3
1 1/2	2394	11.6	8.2
1	2796	13.6	9.5
3/4	2148	10.4	7.3
1/2	2350	11.4	8.6
3/8	1989	9.7	6.8
4	1874	9.1	6.4
TOP.CAK.	20565		100.0
KUM	8790		70.1
TOP.TUV	29355		

ELEK ANALİZİ İÇİN ALINAN KUM MIKTARI= 1000

ELEK NO	ELEKTE KAL.	ELEKTE KAL. %	TOPLAM KAL. %
8	296	29.6	8.9
16	236	23.6	7.1
32	224	22.4	6.7
50	136	13.6	4.1
100	63	6.3	1.9
PAKİ	45	4.5	1.3

KUMUN BİRİM HACİM AĞIRLIĞI gr/cm<sup>3</sup> = 1.70  
 ÇAKILIN BİRİM HACİM AĞIRLIĞI gr/cm<sup>3</sup> = 1.65  
 KUMUN İNCELIK MODÜLÜ = 4.43  
 İKİYÜZ NOLU ELEKTEREN GEÇEN = 3.06  
 ÇAKILIN OZGUL AĞIRLIĞI gr/cm<sup>3</sup> = 2.62  
 KUMUN OZGUL AĞIRLIĞI gr/cm<sup>3</sup> = 2.53  
 ÇAKILDA SU EMME % = 1.11  
 KUMDA SU EMME % = 1.23  
 LOSANGELES ASINMA KAYBI 100 DEVİR % = 4.08  
 LOSANGELES ASINMA KAYBI 500 DEVİR % = 19.20  
 ÇAKILDA SODIUM SULFAT DON KAYBI % = 22.26  
 KUMDA SODIUM SULFAT DON KAYBI % = 20.47

### ELEK ANALİZİ



KUM	ÇAKIL	Toslar
Ince	İri	İri

Not:

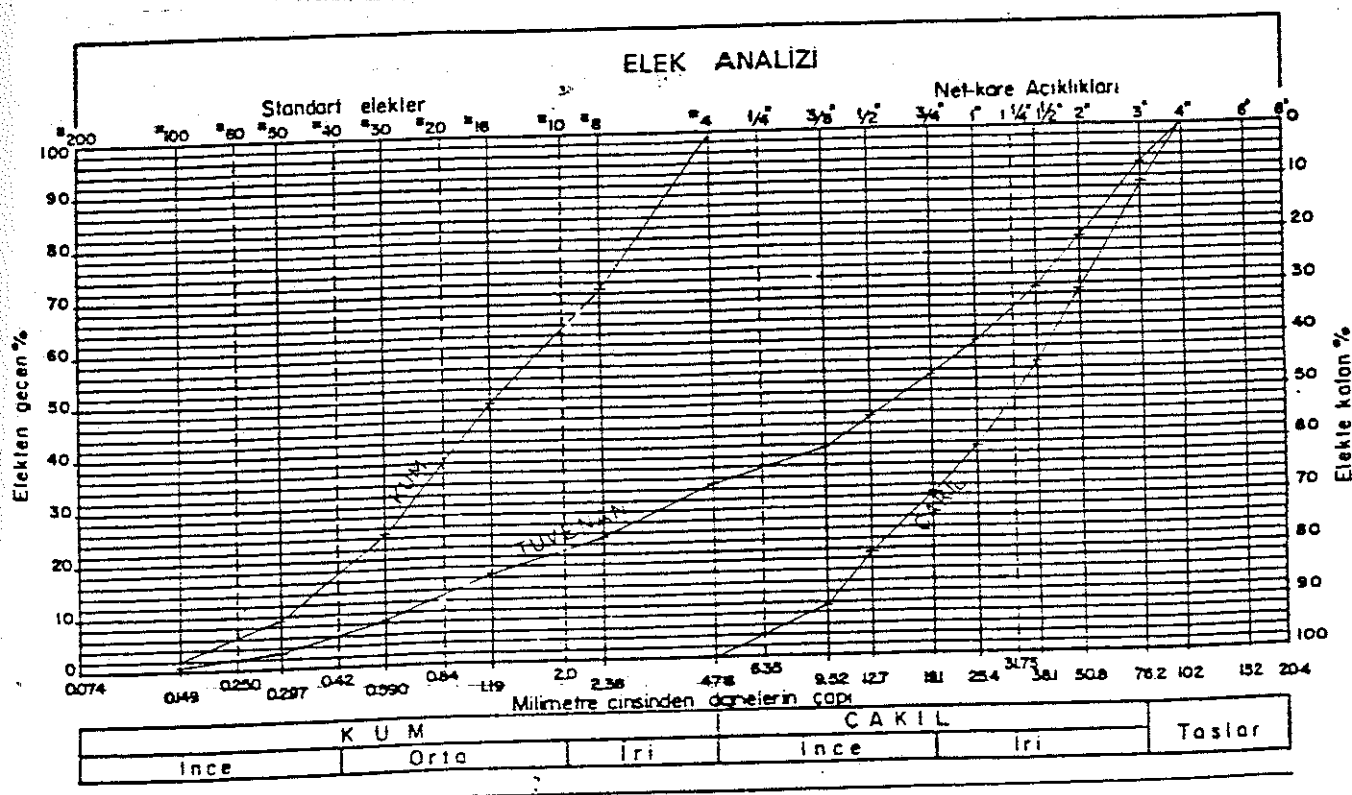
## KOP TUNELI PROJESİ ##  
 ## AGREGA FİZİKSEL DENEYLERİ ##  
 YÜZMÜRE NUMARASI = 103

ELEK NO	ELEKTE KAL.	ELEKTE KAL. %	TOPLAM KAL. %	
3	2235	11.6	7.8	11.6
2 1/2	2246	11.7	7.9	23.4
2	1589	8.3	5.6	31.6
1 1/2	2534	13.2	8.9	44.8
1	2946	15.4	10.3	40.2
3/4	1836	9.6	6.4	69.8
1/2	2117	11.0	7.4	80.8
3/8	1838	9.6	6.4	90.4
4	1847	9.6	6.5	100.0
TOP.CAK.	19188			
KUM	9376			
TOP.TUV	28564			

ELEK ANALİZİ İÇİN ALINAN KUM MIKTARI= 1000

ELEK NO	ELEKTE KAL.	ELEKTE KAL. %	TOPLAM KAL. %	
8	282	28.2	9.3	28.2
16	224	22.4	7.3	30.6
30	248	24.8	8.1	75.4
50	154	15.4	5.0	90.8
100	72	7.2	2.4	98.0
PAS	20	2.0	0.7	100.0

KUMUN BİRİM HACİM AĞIRLIĞI gr/cm<sup>3</sup> = 1.69  
 CAKILIN BİRİM HACİM AĞIRLIĞI gr/cm<sup>3</sup> = 1.66  
 KUMUN İNCELTİK MODULU % = 4.43  
 İKİYÜZ NOLU ELEKTE GECEN % = 4.33  
 CAKILIH DİZGÜL AĞIRLIĞI gr/cm<sup>3</sup> = 2.61  
 KUMLU DİZGÜL AĞIRLIĞI gr/cm<sup>3</sup> = 2.53  
 CAKİLDA SU EMME % = 1.76  
 KUMDA SU EMME % = 1.60  
 LOSANGELES ASIMMA KAYBI 100 DEVİR % = 3.66  
 LOSANGELES ASIMMA KAYBI 500 DEVİR % = 18.64  
 CAKİLDA SODİUM SULFAT DÖN KAYBI % = 24.71  
 KUMDA SODİUM SULFAT DÖN KAYBI % = 20.86

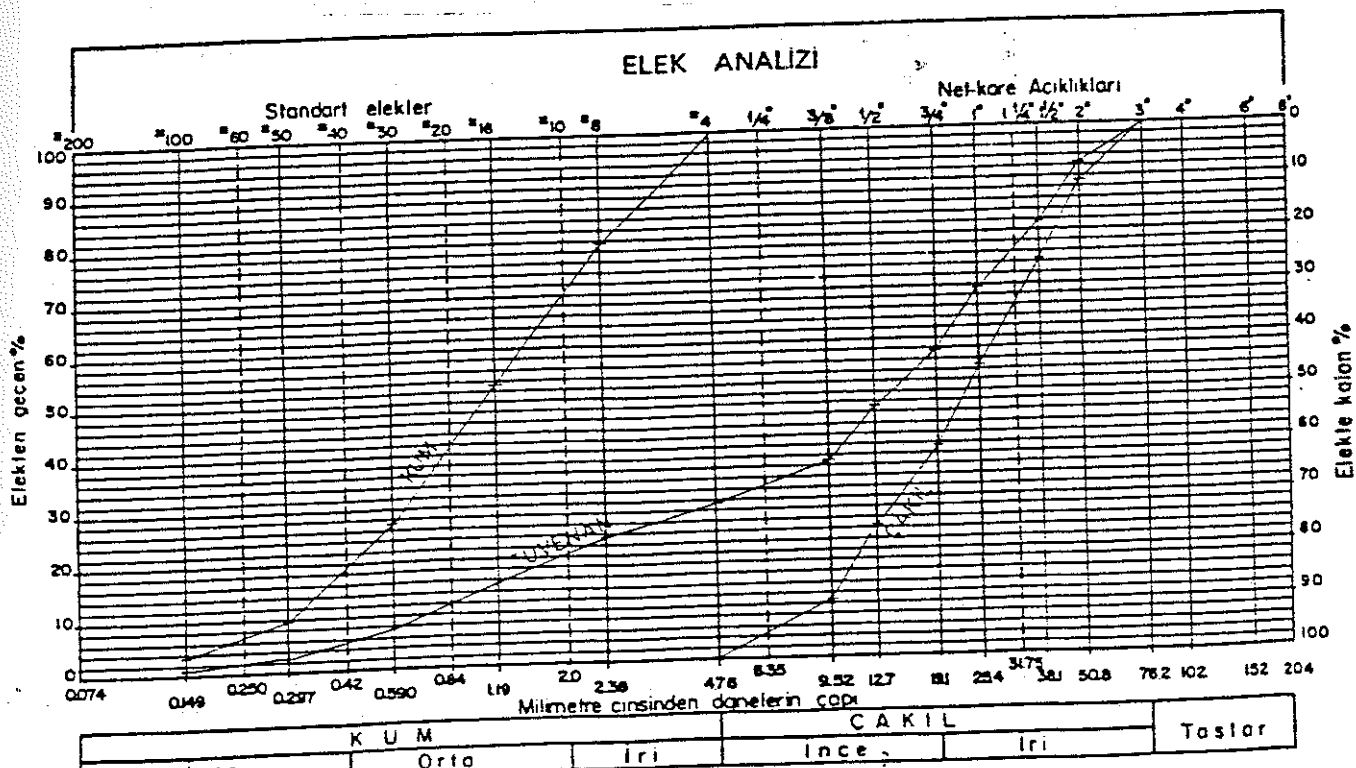


\*\*\*\*\*  
\*\* KOP TUNELI PROJESİ \*\*  
\*\* AGRESA FİZİKSEL DENEYLERİ \*\*  
\*\*\*\*\*  
NUMUNE NUMARASI = 105

ELEK. NO	ELEKTE KAL.	ELEKTE KAL. %	TOPLAM KAL. %
3	0	0.0	0.0
2 1/2	589	2.0	1.4
2	2706	9.0	6.4
1 1/2	4470	14.9	10.5
1	5998	20.0	14.1
3/4	4312	14.4	10.1
1/2	4607	15.3	10.8
3/8	4174	13.9	9.8
4	3176	10.6	7.5
TOP.CAK.	38624		
KUM	12500		
TOP.TUU	42524		

ELEK NO	ELEKTE KAL.	ELEKTE KAL. %	TOPLAM KAL. %
8	162	20.2	76.5
16	212	24.5	84.3
30	211	26.3	92.1
50	137	17.2	97.1
100	53	6.6	99.0
PAN	26	3.2	100.0

KUMUN BIRIM HACIM AGIRLIĞI	gr/cm <sup>3</sup>	1.70
CAKILIN BIRIM HACIM AGIRLIĞI	gr/cm <sup>3</sup>	1.69
KUMUN INCELIK MODÜLÜ	%	4.27
IKIYÜZ NOLU ELEKTREN GEÇEN	%	3.37
CAKILIN OGZUL AGIRLIĞI	gr/cm <sup>3</sup>	2.57
KUMUN OGZUL AGIRLIĞI	gr/cm <sup>3</sup>	2.53
CAKİLDA SU EMME %		1.80
KUMDA SU EMME %		8.70
LOSANGELES ASIMMA KAYBI 100 DEVİR %		3.46
LOSANGELES ASIMMA KAYBI 500 DEVİR %		18.08
EAKILDA SODİUM SULFAT DOKU KAYBI %		22.25
KUMDA SODİUM SULFAT DOKU KAYBI %		22.12



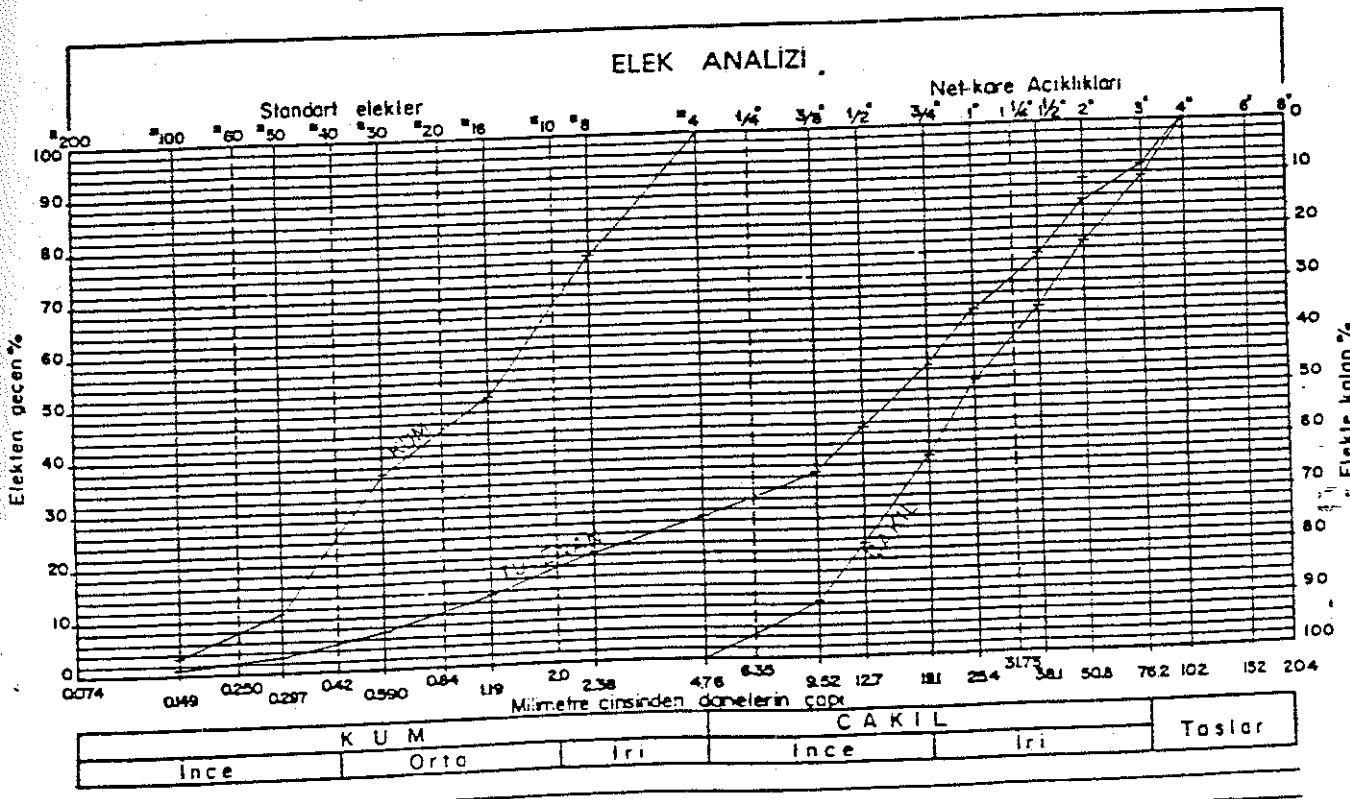
Not:

\*\* KOP TUNELI PROJESİ \*\*  
 \*\* AGREGA FİZİKSEL DENEYLERİ \*\*  
 \*\* NUMUNE NUMARASI = 106  
 \*\*\*\*

ELEK NO	ELEKTE KAL.	ELEKTE KAL. %	TOPLAM KAL.	TOPLAM KAL. %
3	3576	11.0	8.1	11.0 8.1
2 1/2	1389	4.3	3.1	15.3 11.2
2	2512	7.7	5.7	23.0 16.9
1 1/2	3896	12.0	8.8	35.0 25.6
1	4318	13.3	9.7	48.3 35.4
3/4	4672	14.4	10.5	62.6 45.9
1/2	4816	14.8	10.9	77.4 56.8
3/8	3987	12.3	9.0	89.7 65.7
4	3349	10.3	7.5	100.0 73.3
TOP.DAK.	32515			
KUM	11850			
TOP.TUV	44365			
ELEK ANALİZİ İÇİN ALTMINA KUM MIKTARI= 1000				

ELEK NO	ELEKTE KAL.	ELEKTE KAL. %	TOPLAM KAL.	TOPLAM KAL. %
8	230	23.0	6.2	23.0 79.4
16	260	26.0	6.9	49.0 86.4
30	249	24.9	6.6	73.9 93.0
50	148	14.5	4.0	88.7 97.0
100	76	7.6	2.0	96.3 99.0
PAN	37	3.7	1.0	100.0 100.0

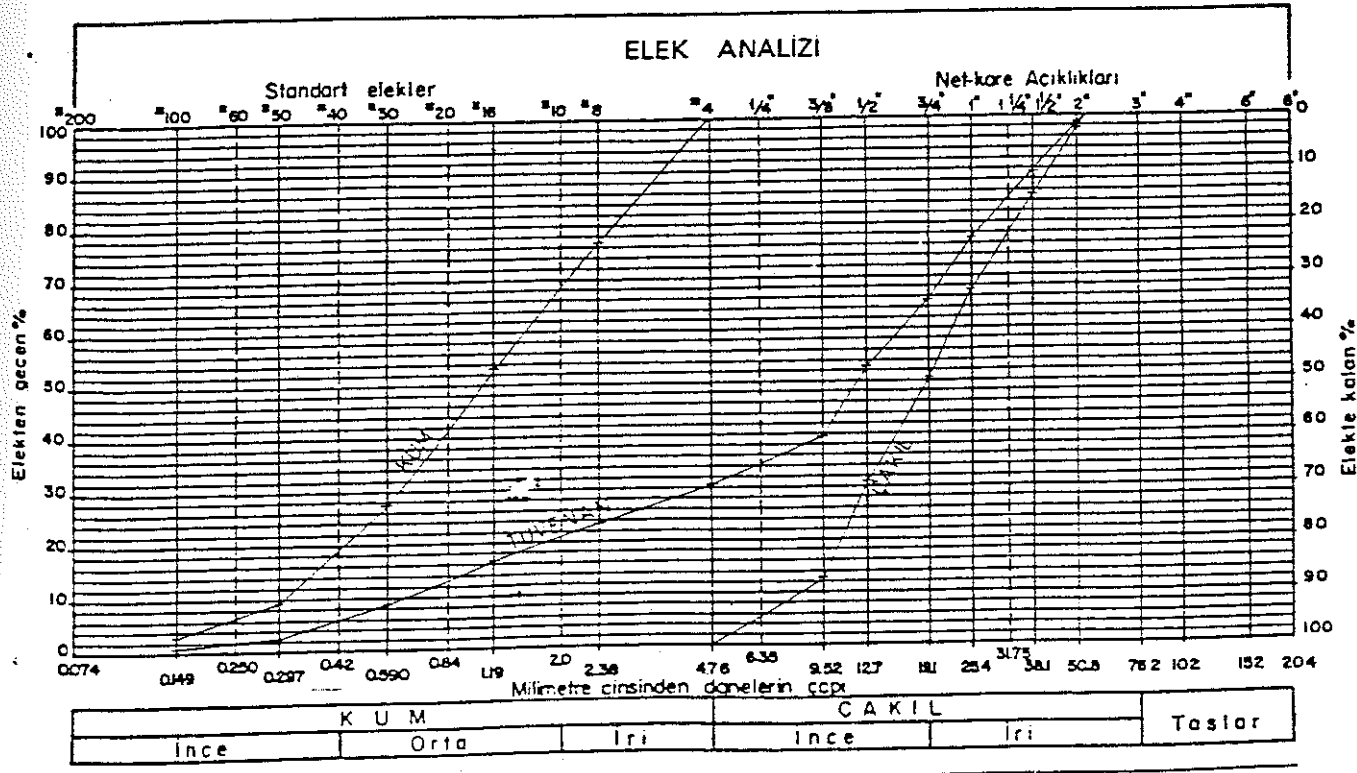
KUMUN BİRİM HACIM AĞIRLIĞI	gr/cm <sup>3</sup>	= 1.70
ÇAKILIN BİRİM HACIM AĞIRLIĞI	gr/cm <sup>3</sup>	= 1.71
KUMUR İNCELİK MODULU	%	= 4.31
İKİYÜZ NOLU ELEKTE GECEN %		= 3.35
ÇAKILIN OZGUR AĞIRLIĞI	gr/cm <sup>3</sup>	= 2.63
KUMUN OZGUR AĞIRLIĞI	gr/cm <sup>3</sup>	= 2.48
ÇAKILDA SU BEME %	%	= 1.83
KUMDA SU BEME %	%	= 1.35
LOSANGELES ASTINMA KAYBI 106 DEVRİ %		= 4.06
LOSANGELES ASTINMA KAYBI 506 DEVRİ %		= 18.44
ÇAKILDA SODİUM SULFAT DÖN KAYBI %	%	= 21.81
KUMDA SODİUM SULFAT DÖN KAYBI %	%	= 20.64



\*\*\*\*\*  
 \*\* KOP TUNEL PROJESİ \*\*  
 \*\* AGREGA FİZİKSEL DEĞİŞKENLERİ \*\*  
 \*\*\*\*\*  
 NUMURU NUMARASI = 111  
 \*\*\*\*\*

ELEK NO	ELEKTE KAL.	ELEKTE KAL. %	TOPLAM KAL. %	
3	0	0.0	0.0	0.0
2 1/2	0	0.0	0.0	0.0
2	605	2.5	1.8	2.5
1 1/2	3053	12.7	8.9	15.3
1	4348	18.1	12.6	33.4
3/4	3868	16.1	11.2	49.6
1/2	4497	18.8	13.1	68.3
3/8	4533	18.9	13.2	87.2
4	3053	12.8	8.9	100.0
TOP.CAK.	23959			
KUM	10497			
TOP.TU	34456			
ELEK ANALİZİ İÇİN ALJMAN KUM MİKTARI= 1000				

ELEK NO	ELEKTE KAL.	ELEKTE KAL. %	TOPLAM KAL. %	
8	231	23.1	7.0	23.1
16	234	23.4	7.1	46.5
30	258	25.8	7.9	72.3
50	186	18.6	5.7	90.9
100	62	6.2	1.9	97.1
PAN	29	2.9	0.9	100.0
KUMUN BİRİM HACİM AĞIRLIĞI	gr/cm <sup>3</sup>			1.70
ÇAKILIN BİRİM HACİM AĞIRLIĞI	gr/cm <sup>3</sup>			1.68
KUMUN İNCELTİK MODULU	%			4.30
İKİYÜZ NOLU ELEKTE GECEN %				3.37
ÇAKILIN ÖZGÜL AĞIRLIĞI	gr/cm <sup>3</sup>			2.57
KUMUN ÖZGÜL AĞIRLIĞI	gr/cm <sup>3</sup>			2.53
ÇAKILDA SU ENME %				1.80
KUMDA SU ENME %				0.80
LOSANGELES ASIMMA KAYBI 100 DEVİR %				3.42
LOSANGELES ASIMMA KAYBI 500 DEVİR %				18.27
ÇAKILDA SODİUM SULFAT DÖN KAYBI %				22.55
KUMDA SODİUM SULFAT DÖN KAYBI %				21.95



Not: \_\_\_\_\_

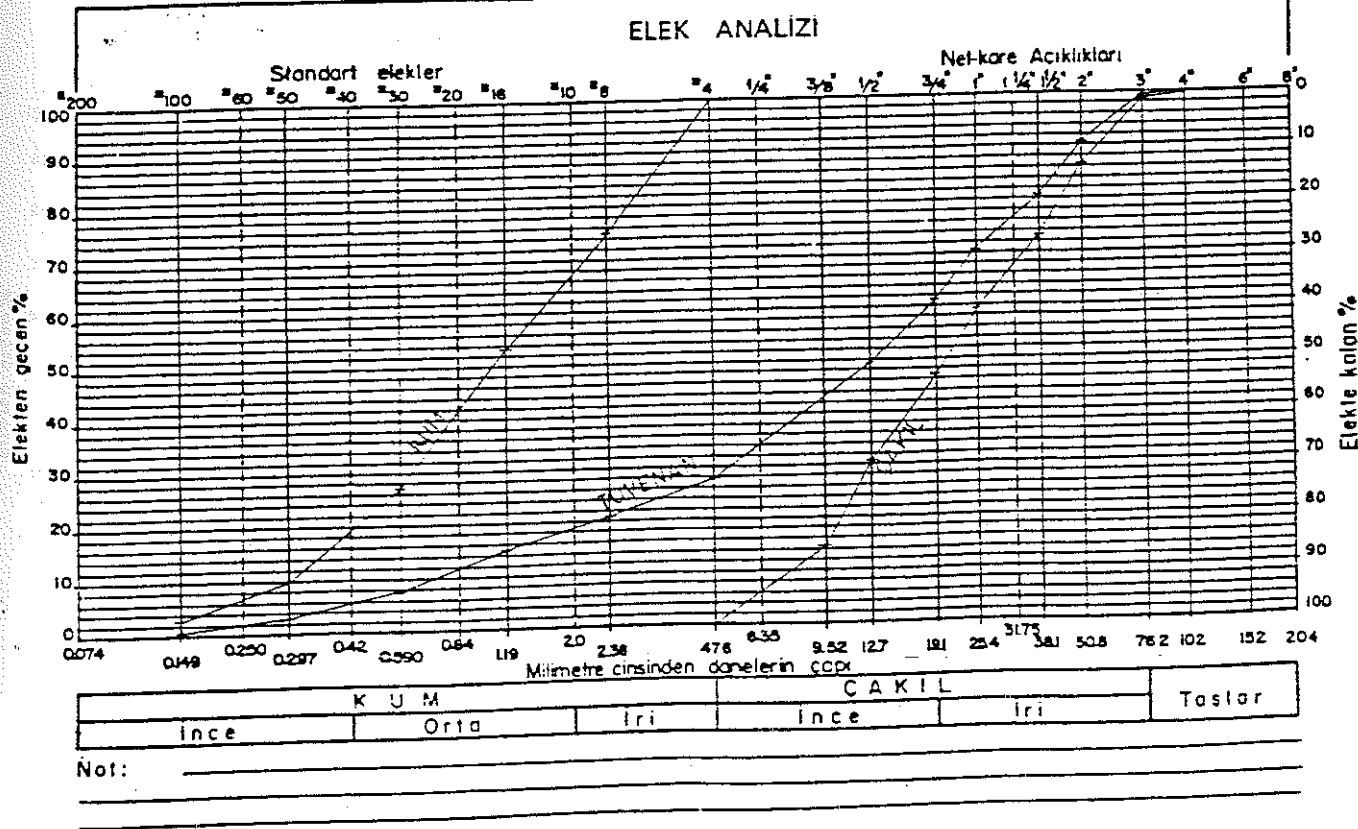
\*\* KOP TUNELİ PROJESİ \*\*  
 \*\* AGREGA FİZİKSEL DEĞİŞKENLERİ \*\*  
 KUMUNU KUMARASI = 114

ELEK NO	ELEKTE KAL.	ELEKTE KAL. %	TOPLAM KAL. %	
3	356	1.2	0.9	1.2
2 1/2	1284	4.4	3.2	5.6
2	2365	8.1	5.8	13.7
1 1/2	8796	13.0	9.4	26.7
1	4238	14.5	10.5	41.2
3/4	3596	12.3	8.9	53.5
1/2	4650	15.9	11.5	69.4
3/8	4784	16.4	11.8	85.8
4	4150	14.2	10.3	100.0
TOP.ÇAK.	29219			
KUM	11236			
TOP.TUV	40455			
ELEK ANALİZİ İÇİN ALJAN KUM MIKTARI= 1000				

ELEK NO	ELEKTE KAL.	ELEKTE KAL. %	TOPLAM KAL. %	
8	253	25.3	7.0	25.3
16	212	21.2	5.9	46.5
36	261	26.1	7.3	72.7
50	174	17.4	4.8	90.0
100	74	7.4	2.0	97.2
PAN	26	2.6	0.7	100.0

KUMUN BİRİM HACİM AĞIRLIĞI gr/cm<sup>3</sup> = 1.69  
 ÇAKILIN BİRİM HACİM AĞIRLIĞI gr/cm<sup>3</sup> = 1.70  
 KUMUN İNCELİK MODÜLÜ % = 4.32  
 İKİYÜZ NOLU ELEKTEM GEEBN % = 3.37  
 ÇAKILIN OZGUL AĞIRLIĞI gr/cm<sup>3</sup> = 2.57  
 KUMUN OZGUL AĞIRLIĞI gr/cm<sup>3</sup> = 2.53  
 ÇAKILDA SU EMME % = 1.80  
 KUMDA SU EMME % = 1.40  
 LOSANGELES ASIMMA KAYBI 100 DEVİR % = 3.70  
 LOSANGELES ASIMMA KAYBI 500 DEVİR % = 18.54  
 ÇAKILDA SODIUM SULFAT DON KAYBI % = 22.72  
 KUMDA SODIUM SULFAT DON KAYBI % = 23.34

### ELEK ANALİZİ

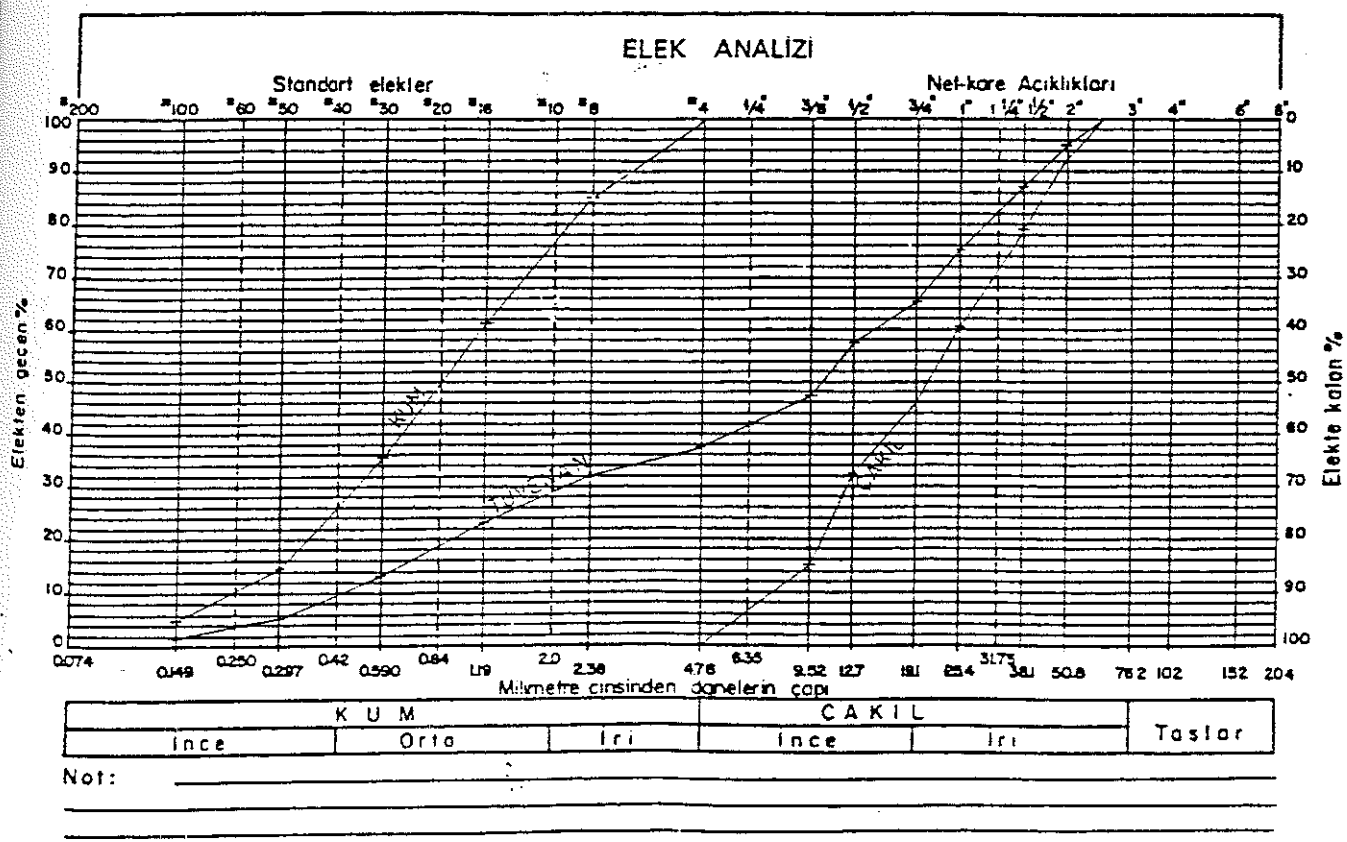


\*\*\* KOP TUNELI PROJESİ \*\*\*  
 \*\* AGREGA FİZİKSEL ÖNEMLERİ \*\*  
 \*\*\* KUM İNCELEME SONUCU \*\*\*  
 NUMUNE NUMARASI = 115

ELEK NO	ELEKTE KAL.	ELEKTE KAL. %	TOPLAM KAL. %	
3	0	0.0	0.0	0.0
2 1/2	0	0.0	0.0	0.0
2	2345	8.0	5.0	8.0
1 1/2	3831	13.1	8.2	13.1
1	5513	18.8	11.7	39.9
3/4	3536	12.1	7.5	32.4
1/2	4670	15.9	9.9	42.3
3/8	4970	17.0	10.6	34.9
4	4430	15.1	9.4	100.0
TOP.DAK.	29295			
KUM	17700			
TOP.TUV	16995			
ELEK ANALİZİ İÇİN ALINAN KUM MİKTARI= 800				

ELEK NO	ELEKTE KAL.	ELEKTE KAL. %	TOPLAM KAL. %	
8	121	15.2	5.7	15.2
16	188	23.5	8.9	38.7
30	207	25.8	9.7	64.5
50	170	21.2	8.0	85.8
100	73	9.1	3.4	94.6
PAS	41	5.2	1.9	100.0

KUMUN BİRİM HACİM AĞIRLIĞI gr/cm<sup>3</sup> = 1.69  
 ÇAKILIN BİRİM HACİM AĞIRLIĞI gr/cm<sup>3</sup> = 1.65  
 KUMUN İNCELİK MODULU % = 3.99  
 JİYÜZ NOLU ELEKTEH GECEN % = 3.46  
 ÇAKILIN OZGUL AĞIRLIĞI gr/cm<sup>3</sup> = 2.50  
 KUMUN OZGUL AĞIRLIĞI gr/cm<sup>3</sup> = 2.53  
 ÇAKILDA SU ENME % = 1.99  
 KUMDA SU ENME % = 0.99  
 LOSANGELES ASIMMA KAYBI 100 DEVRİ % = 3.28  
 LOSANGELES ASIMMA KAYBI 500 DEVRİ % = 18.58  
 ÇAKILDA SODYUM SULFAT DÖN KAYBI % = 22.58  
 KUMDA SODYUM SULFAT DÖN KAYBI % = 21.81

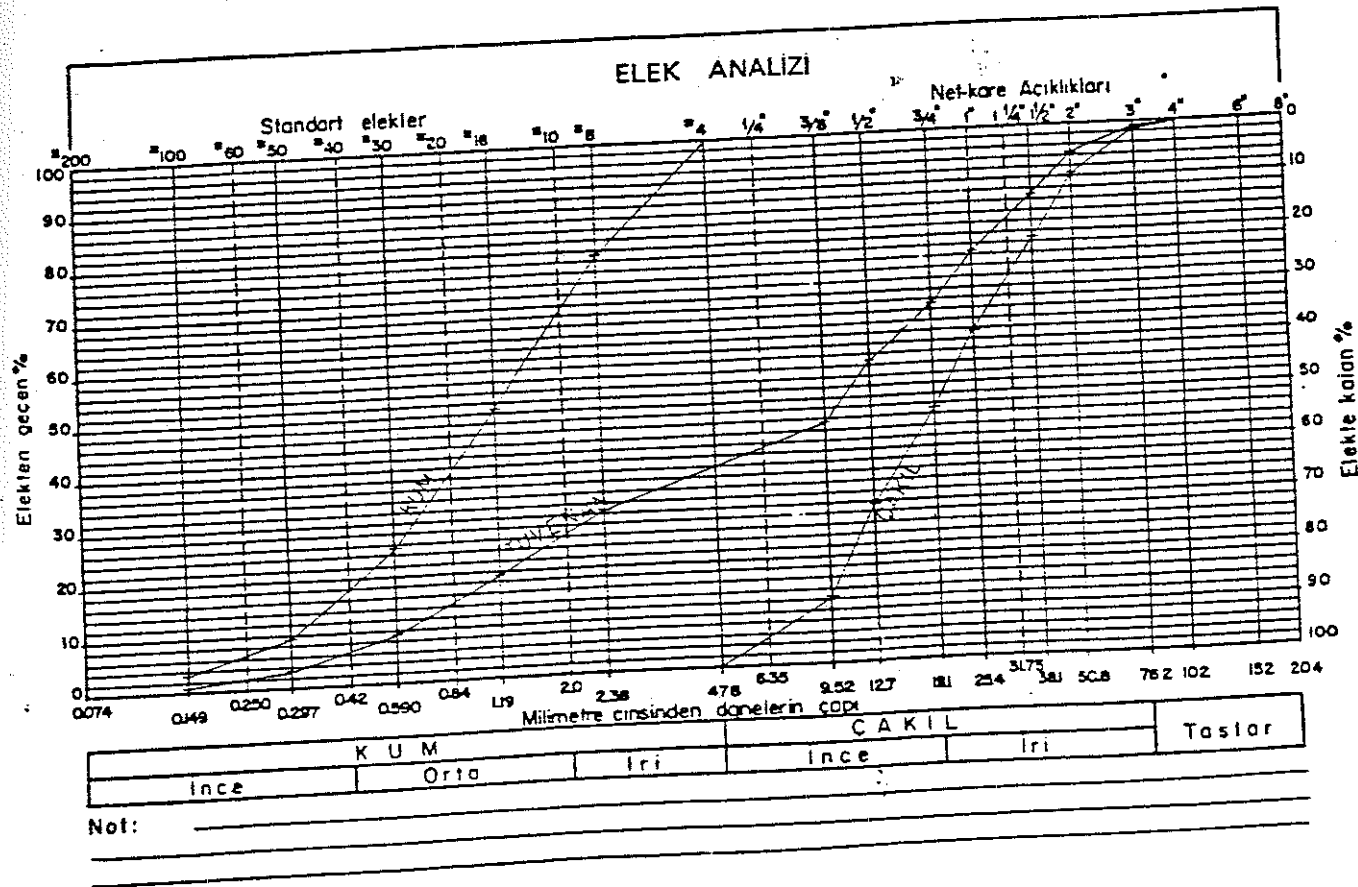


\*\* KOP TUNELI PROJESİ  
\*\* AGREGA FİİZİKSEL DEĞERLERİ  
NUMUNE NUMARASI = 116

ELEK NO	ELEKTE KAL.	ELEKTE KAL. %	TOPLAM KAL. %
3	376	1.5	0.9
2 1/2	1126	4.4	2.7
2	896	3.5	2.1
1 1/2	3112	12.0	7.5
1	4376	16.9	10.5
3/4	3754	14.5	9.0
1/2	4516	17.5	10.8
3/8	4597	17.8	11.0
4	3125	12.1	7.5
TOP.ÇAK.	25878		
KUM	15860		
TOP.TUV	41738		
ELEK ANALİZİ İÇİN ALINAN KUM MIKTARI: 800			

ELEK NO	ELEKTE KAL.	ELEKTE KAL. %	TOPLAM KAL. %
8	164	20.5	69.8
16	233	29.1	80.9
30	197	24.7	90.3
50	130	16.2	96.4
100	48	6.0	98.7
PAN	28	3.5	100.0

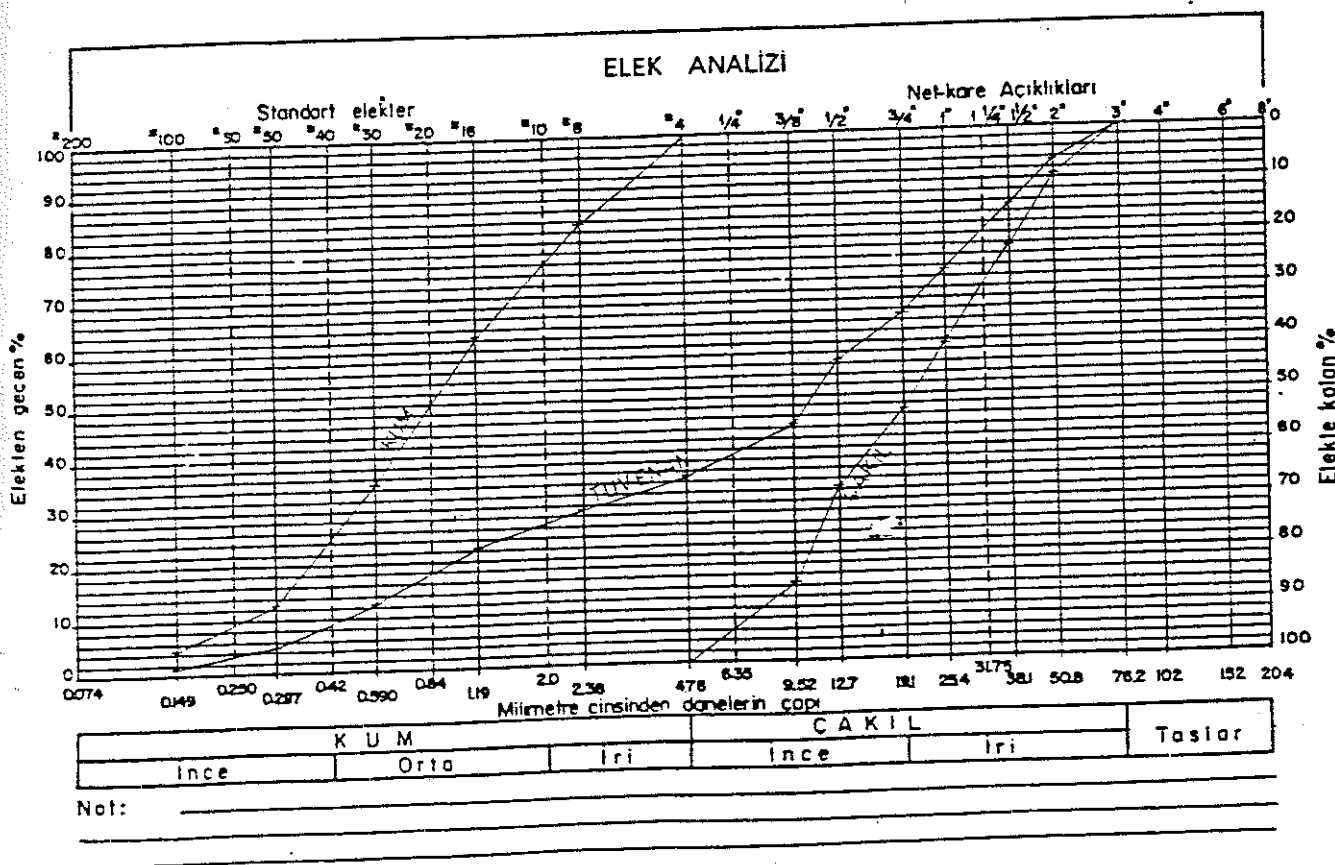
KUMUN BIRIM HACIM AGIRLIĞI	gr/cm <sup>3</sup>	= 1.70
CARKILIN BIRIM HACIM AGIRLIĞI	gr/cm <sup>3</sup>	= 1.68
KUMUN İNCELİM MODÜLÜ	Z	= 4.32
IKİYÜZ NOLU ELEKTRON GEÇEN	Z	= 3.39
CARKILIN DİZGÜL AGIRLIĞI	gr/cm <sup>3</sup>	= 2.61
KUMUN DİZGÜL AGIRLIĞI	gr/cm <sup>3</sup>	= 2.53
CARKILDA SU EMME %		= 1.29
KUMDA SU EMME %		= 1.20
LOSANGELES ASIMMA KAYBI 100 DEVRİ	Z	= 3.70
LOSANGELES ASIMMA KAYBI 500 DEVRİ	Z	= 19.46
CARKILDA SODYUM SULFAT DÖN KAYBI	Z	= 22.19
KUMDA SODYUM SULFAT DÖN KAYBI	Z	= 21.37



\*\* KOP TUNELI PROJESİ \*\*  
 \*\* AGREGA FİZİKSEL DENEYLERİ \*\*  
 NUMUNE NUMARASI = 118

ELEK NO	ELEKTE KAL. %	ELEKTE KAL. %	TOPLAM KAL. %	
3	0	0.0	0.0	0.0
2 1/2	327	1.1	0.7	1.1
2	2451	8.4	5.4	9.5
1 1/2	3727	12.8	8.3	22.3
1	5286	18.1	11.7	40.4
3/4	3717	12.7	8.3	53.1
1/2	4236	14.5	9.4	67.7
3/8	5218	17.9	11.6	85.5
4	4218	14.5	9.4	100.0
TOP.ÇAK.	29180			
KUM	15867			
TOP.TUV	45047			
ELEK ANALİZİ İÇİN ALINAN KUM MIKTARI= 800				

ELEK NO	ELEKTE-KAL. %	ELEKTE KAL. %	TOPLAM KAL. %	
8	133	16.6	5.9	16.6
16	164	20.5	7.2	37.2
30	227	28.4	10.0	65.6
50	173	21.6	7.6	87.9
100	67	8.4	3.0	95.6
PAN	35	4.4	1.6	100.0
KUMUN BİRİM HACİM AĞIRLIĞI gr/cm <sup>3</sup> = 1.68				
CAKILIN BİRİM HACİM AĞIRLIĞI gr/cm <sup>3</sup> = 1.67				
KUMUN İNCELİK MODULU % = 4.02				
1KIYUZ NOLU ELEKTEKİ GECEN % = 3.87				
CAKILIN OZGUL AĞIRLIĞI gr/cm <sup>3</sup> = 2.48				
KUMUN OZBUL AĞIRLIĞI gr/cm <sup>3</sup> = 2.52				
CAKILDA SU EMME % = 2.13				
KUMDA SU EMME % = 1.10				
LOSANGELES ASIMMA KAYBI 100 DEVİR % = 3.18				
LOSANGELES ASIMMA KAYBI 500 DEVİR % = 18.50				
CAKILDA SODIUM SULFAT DON KAYBI % = 22.80				
KUMDA SODIUM SULFAT DON KAYBI % = 21.57				

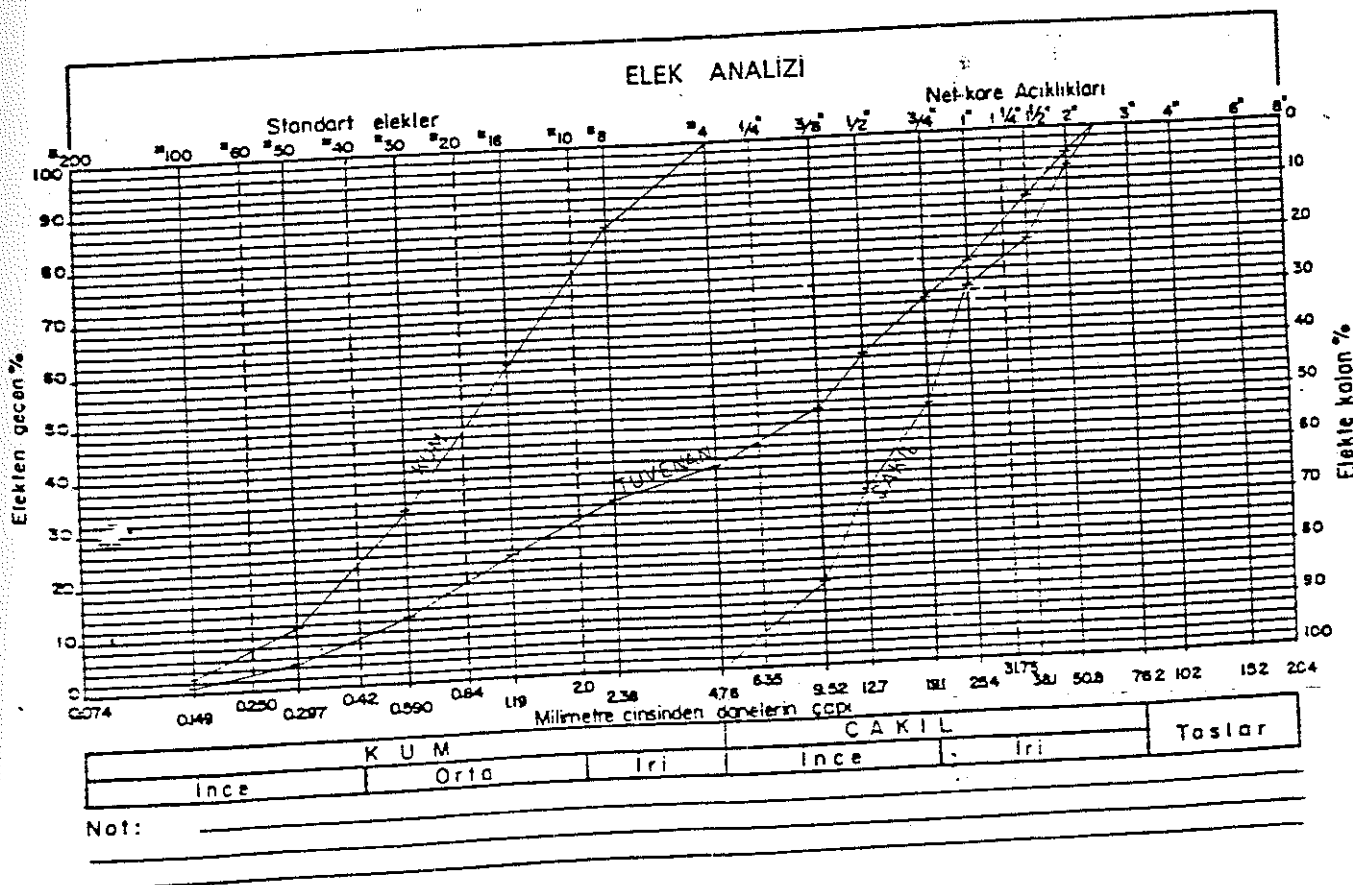


\*\*\* KDP TUNEL PROJESİ \*\*\*  
 \*\* AGREGA FİZİKSEL DEĞERLERİ \*\*  
 HUMUR İLUMARASI = 120

ELEK NO	ELEKTE KAL.	ELEKTE KAL. %	TOPLAM KAL. %	
3	0	0.0	0.0	0.0
2 1/2	0	0.0	0.0	0.0
2	2340	7.8	4.8	7.8
1 1/2	3916	13.1	8.1	21.0
1	5627	18.8	11.6	39.8
3/4	3437	11.5	7.1	51.3
1/2	4781	16.0	9.8	67.3
3/8	5016	16.8	10.3	84.1
4	4737	15.9	9.8	100.0
TOP.DAK.	29854			
KUM	18490			
TOP.TUV	48544			
ELEK ANALİZİ İÇİN ALINAN KUM MİKTARI= 800				

ELEK NO	ELEKTE KAL.	ELEKTE KAL. %	TOPLAM KAL. %	
8	125	15.6	6.0	15.6
16	196	24.5	9.4	40.1
30	217	27.2	10.5	67.3
50	167	20.8	8.8	88.1
100	74	9.2	3.5	97.3
PAN	22	2.7	1.0	100.0

KUMUN BİRİM HACİM AĞIRLIĞI gr/cm<sup>3</sup> = 1.71  
 CAKİLLİN BİRİM HACİM AĞIRLIĞI gr/cm<sup>3</sup> = 1.65  
 KUMUN İNCELIK MODULU % = 4.08  
 İKİYÜZ NOLU ELEKTEBECEN % = 3.45  
 CAKİLLİN ÖZGÜL AĞIRLIĞI gr/cm<sup>3</sup> = 2.49  
 KUMUN ÖZGÜL AĞIRLIĞI gr/cm<sup>3</sup> = 2.53  
 CAKİLLDA SU ENME % = 2.05  
 KUMDA SU ENME % = 2.25  
 LOSANGELES ASIMMA KAYBI 100 DEVİR % = 3.26  
 LOSANGELES ASIMMA KAYBI 500 DEVİR % = 18.58  
 CAKİLLDA SODYUM SULFAT DÖN KAYBI % = 22.57  
 KUMDA SODYUM SULFAT DÖN KAYBI % = 21.74



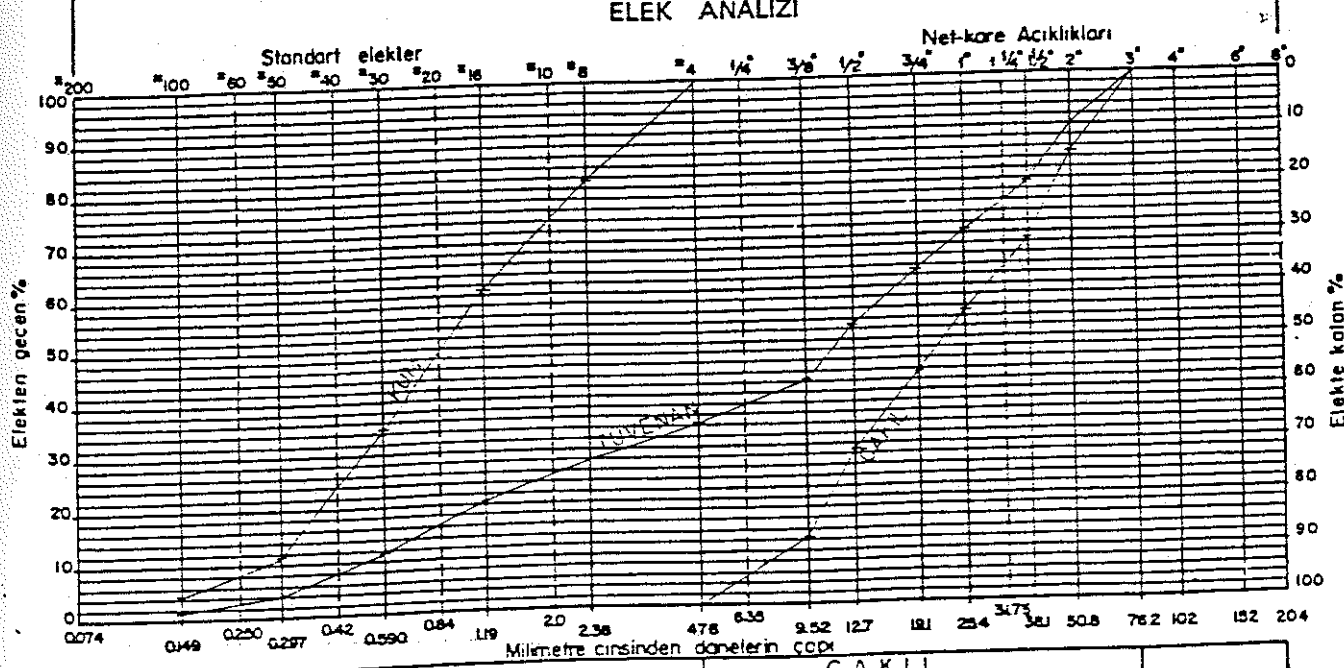
#####
 KDP TÜNELİ PROJESİ ####  
 AGREGA FİZİKSEL ÖNEYLERİ ####  
 NUMERE NUMARASI = 122  
#####

ELEK NO	ELEKTE KAL.	ELEKTE KAL. %	TOPLAM KAL. %	
3	0	0.0	0.0	0.0
2 1/2	3681	18.7	7.1	10.7
2	1526	4.4	2.9	15.2
1 1/2	5539	16.1	10.6	31.3
1	4595	13.4	8.8	44.7
3/4	3941	11.5	7.6	56.1
1/2	5162	15.0	9.9	71.2
3/8	5727	16.7	11.6	87.8
4	4173	12.2	8.0	100.0
TOP.ÇAK.	34344			
KUM	17800			
TOP.TUN	52144			
ELEK ANALİZİ İÇİN ALINAN KUM MIKTARI= 1000				

ELEK NO	ELEKTE KAL.	ELEKTE KAL. %	TOPLAM KAL. %	
8	181	18.1	6.2	18.1
16	209	20.9	7.1	39.0
30	263	26.3	9.0	65.3
50	231	23.1	7.9	88.4
100	74	7.4	2.5	95.7
PAN	43	4.3	1.5	100.0

KUMUN BİRİM HACIM AĞIRLIĞI gr/cm<sup>3</sup> = 1.70  
 ÇAKILIN BİRİM HACIM AĞIRLIĞI gr/cm<sup>3</sup> = 1.65  
 KUMUN İNCELİK MODULU % = 4.07  
 İKİYÜZ NOLU ELEKTEEN GEÇEN % = 5.25  
 ÇAKILIN DÜZÜL AĞIRLIĞI gr/cm<sup>3</sup> = 2.60  
 KUMUN DÜZÜL AĞIRLIĞI gr/cm<sup>3</sup> = 2.34  
 ÇAKILDA SU EMME % = 1.82  
 KUMDA SU EMME % = 0.70  
 LOSANGELES ASIMMA KAYBI 100 DEVİR % = 3.40  
 LOSANGELES ASIMMA KAYBI 500 DEVİR % = 18.86  
 ÇAKILDA SODİUM SULFAT DÖN KAYBI % = 24.79  
 KUMDA SODİUM SULFAT DÖN KAYBI % = 15.22

### ELEK ANALİZİ



KUM CAKIL

Ince	Orta	Iri	Ince	Iri	Taslar

Not:

\*\*\* KOP TUNEL PROJESİ \*\*\*  
 \*\* AGRESA FİZİKSEL DENEYLERİ \*\*  
 NUMUNE NUMARASI = 123

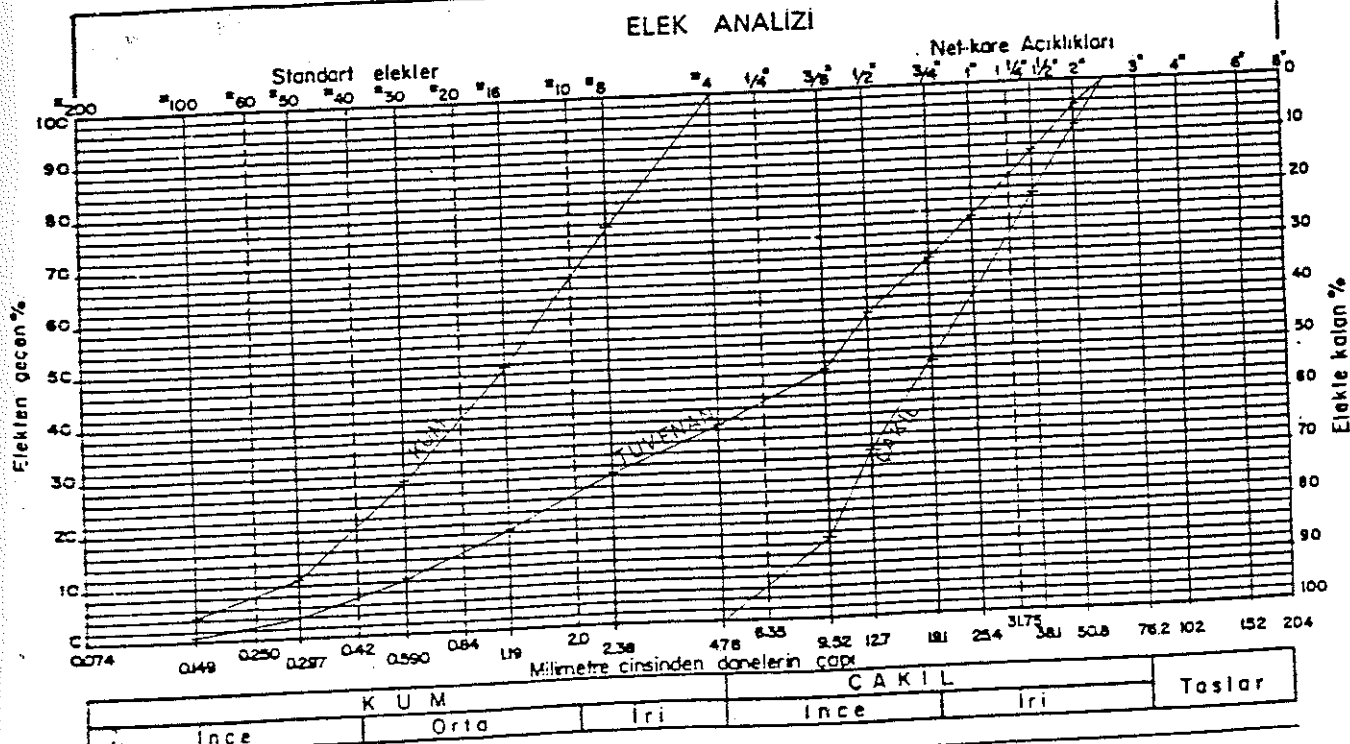
ELEK NO	ELEKTE KAL.	ELEKTE KAL. %	TOPLAM KAL. %	
3	0	0.0	0.0	0.0
2 1/2	0	0.0	0.0	0.0
2	2545	6.4	5.3	8.4
1 1/2	3976	13.1	8.3	21.5
1	5614	18.5	11.6	40.0
3/4	3747	12.4	7.8	52.4
1/2	4891	16.1	10.1	68.6
3/8	4986	16.5	10.3	85.0
4	4541	15.0	9.4	100.0
TOP.DAK.	30300			
KUM	17890			
TOP.TUV	48190			

ELEK ANALİZİ İÇİN ALINAN KUM MIKTARI= 1000

ELEK NO	ELEKTE KAL.	ELEKTE KAL. %	TOPLAM KAL. %	
8	242	24.2	9.0	24.2
16	268	26.0	9.7	50.3
30	212	21.2	7.9	71.5
50	176	17.6	6.5	89.4
100	68	6.8	2.5	96.0
PAN	41	4.1	1.5	100.0

KUMUN BİRİM HACİM AĞIRLIĞI gr/cm<sup>3</sup> = 1.72  
 ÇAKILIN BİRİM HACİM AĞIRLIĞI gr/cm<sup>3</sup> = 1.68  
 KUMUN İNCELIK MODULU % = 4.31  
 İKİYÜZ NOLU ELEKTEM GECEN % = 3.46  
 ÇAKILIN OZGUL AĞIRLIĞI gr/cm<sup>3</sup> = 2.58  
 KUMUN OZGUL AĞIRLIĞI gr/cm<sup>3</sup> = 2.53  
 ÇAKILDA SU DME % = 2.21  
 KUMDA SU DME % = 0.85  
 LOSANGELES ASIMMA KAYBI 100 DEVİR % = 3.26  
 LOSANGELES ASIMMA KAYBI 500 DEVİR % = 18.48  
 ÇAKILDA SODIUM SULFAT DON KAYBI % = 22.31  
 KUMDA SODIUM SULFAT DON KAYBI % = 21.62

### ELEK ANALİZİ



KUM CAKIL

KUM	CAKIL	Taslar
Ince	Ince	
Orta	Iri	

Not:

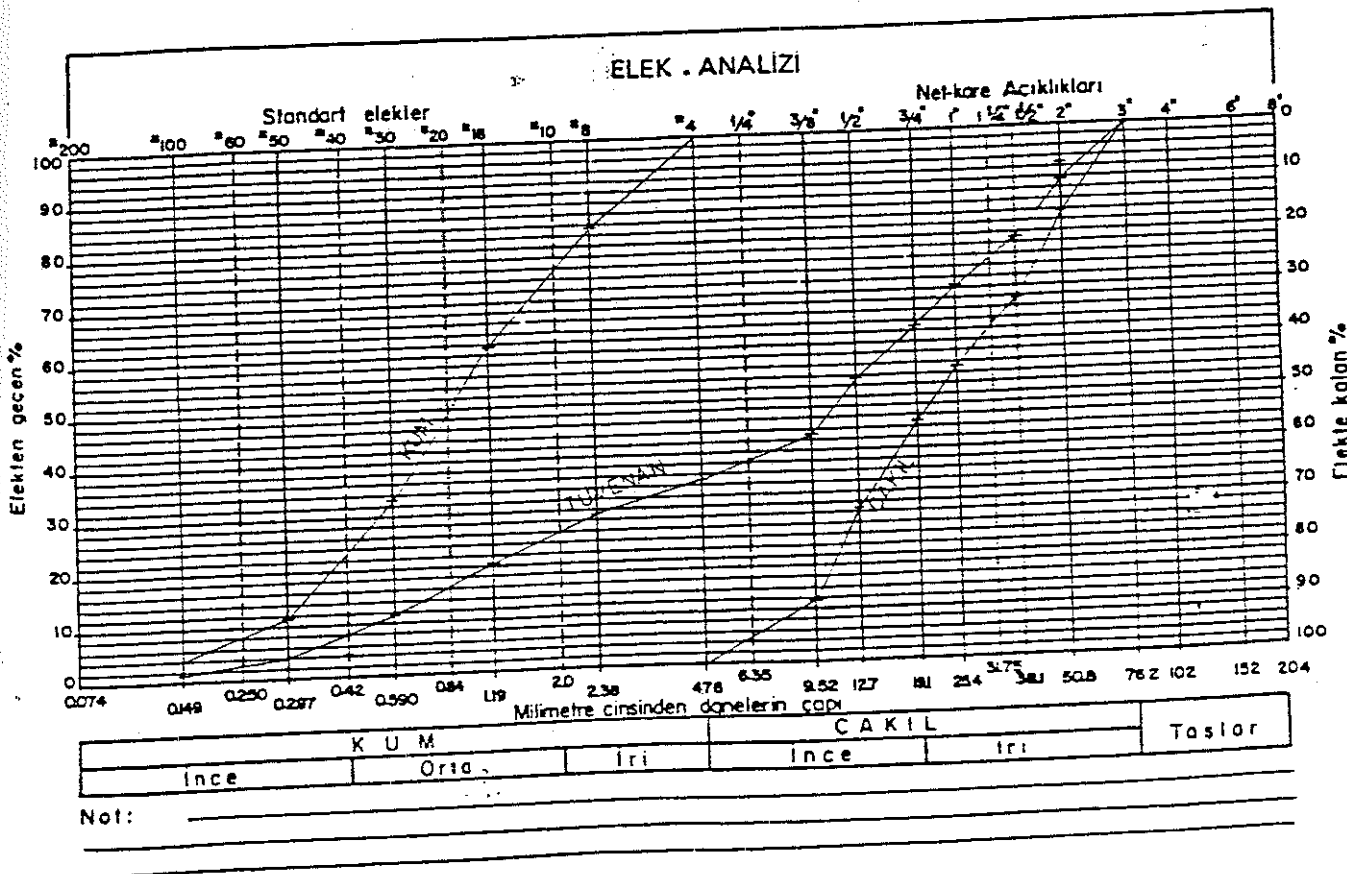
\*\* KOP TUNELI PROJESİ \*\*  
 \*\* AGREKA FİZİKSEL DENEYLERİ \*\*  
 NUMUNE NUMARASI = 124

ELEK NO	ELEKTE KAL.	ELEKTE KAL. %	TOPLAM KAL. %
3	308	0.9	0.6
2 1/2	3574	16.3	6.7
2	1718	4.9	3.2
1 1/2	5617	16.1	10.5
1	4586	13.2	8.6
3/4	4016	11.5	7.5
1/2	5117	14.7	9.6
3/8	5714	16.4	10.7
4	4157	11.9	7.8
TOP. DAK.	34807		
KUM	18600		
TOP. TBU	53407		

ELEK ANALİZİ İÇİN ALINAN KUM MIKTARI= 1000

ELEK NO	ELEKTE KAL.	ELEKTE KAL. %	TOPLAM KAL. %
8	165	16.5	16.5
16	216	21.6	38.2
30	285	28.5	66.7
50	217	21.7	88.5
100	75	7.5	96.0
PAN	40	4.0	100.0

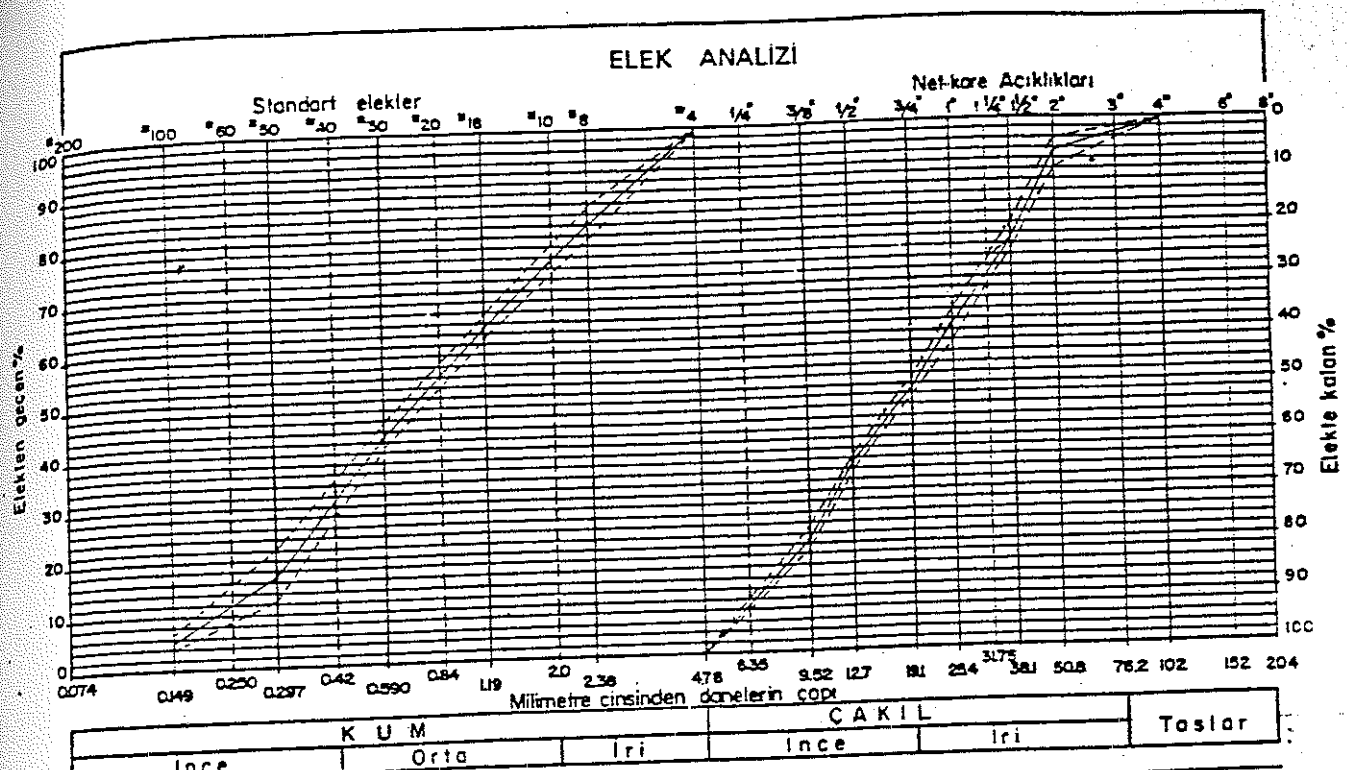
KUMUN BİRİM HACİM AĞIRLIĞI gr/cm<sup>3</sup> = 1.68  
 ÇAKILIN BİRİM HACİM AĞIRLIĞI gr/cm<sup>3</sup> = 1.65  
 KUMUN İNCELİN MODULU % = 4.06  
 İKİYÜZ NOLU ELEKTEM GECEN % = 5.28  
 ÇAKILIN ÖZEL AĞIRLIĞI gr/cm<sup>3</sup> = 2.60  
 KUMUN ÖZEL AĞIRLIĞI gr/cm<sup>3</sup> = 2.54  
 ÇAKILDA SU ENME % = 1.83  
 ÇAKILDA SU ENME % = 0.70  
 KUMDA SU ENME % = 3.08  
 LOSANGELES ASIMMA KAYBI 100 DEVRİ % = 18.70  
 LOSANGELES ASIMMA KAYBI 500 DEVRİ % = 24.78  
 ÇAKILDA SODIUM SULFAT DIN KAYBI % = 15.22



B BÖLGESİ DENEY SONUÇLARI VE GRAFİKLER

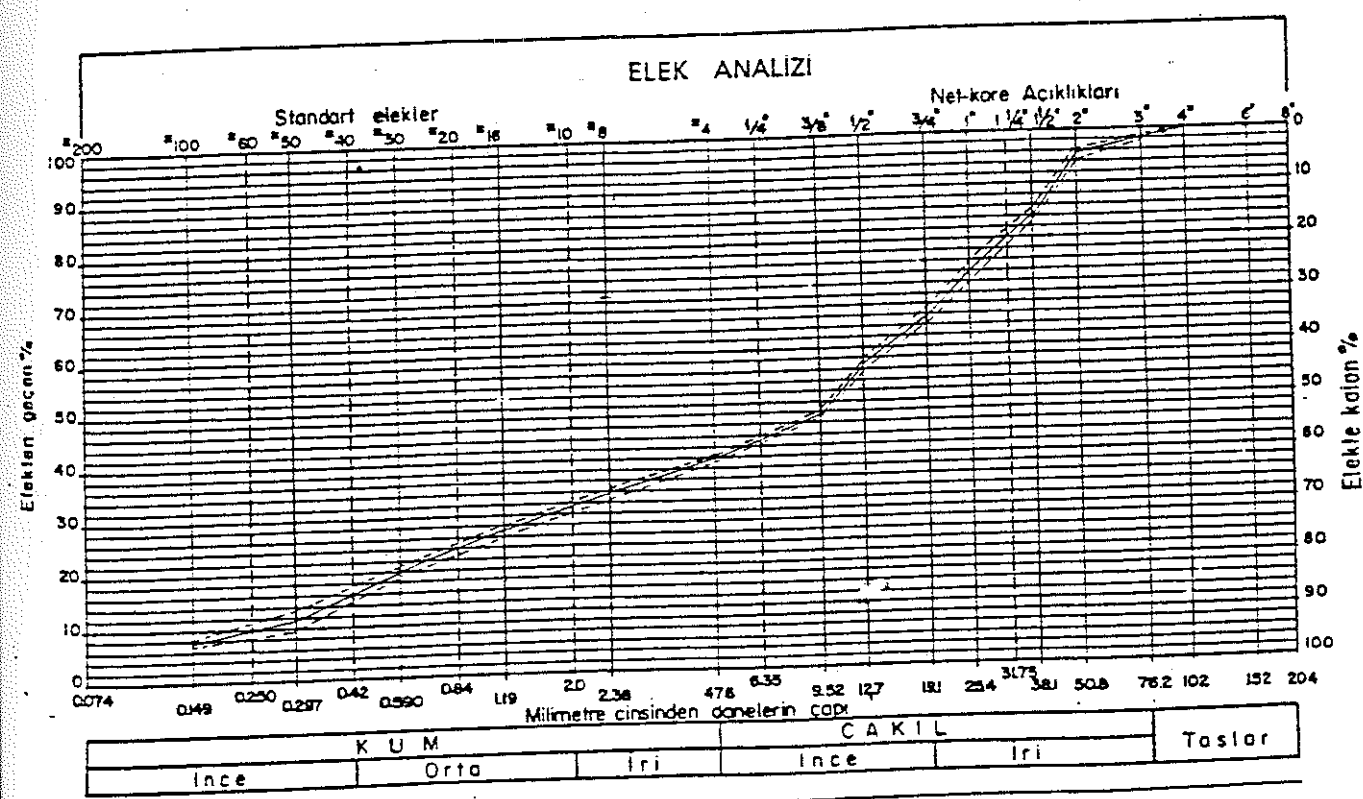
KOP TIRELLİ PROJESİ				
ORTALAMA AGRESA FİZİKSEL DEHİY SONUCLARI				
BOLGE B				
DENEYLER	Limit	X	±	S
Birim Nac : Kun		1.65	± 0.03	
Ağırlık : gr/cm <sup>3</sup>	Cakil	1.51	± 0.06	
Ozgul : Kun		2.54	± 0.02	
Ağırlık : gr/cm <sup>3</sup>	Min 2.60			
	Cakil	2.64	± 0.09	
SU : Emre %	Kun	1.29	± 0.07	
	Max %			
	Cakil	1.81	± 0.29	
100 no.elekten gec : Max % 3-5		3.86	± 0.34	
Na2 SO4 : Kun	Max 15	12.02	± 0.56	
Don kaybi : %	Cakil : Max 18	22.95	± 2.14	
Los-Angeles: 100 dv	Max 10	3.02	± 0.30	
Asinina Kay : %	500 dv : Max 40-50	17.10	± 0.40	
Kumun incelik module %		3.91	± 0.13	

KOP TUNELI PROJESİ & B BÖLGESİ  
STANDART ELEKTRİ UZERİNDE KALAN ORTALAMA MIKTARLAR %



Not:

B-BÖLGESİ KUM VE ÇAKIL ORTALAMA VE STANDART SAPMA DEĞERLERİ



Not:

B-BÖLGESİ TUVENAN MALZEME ORTALAMA VE STANDART SAPMA DEĞERLERİ

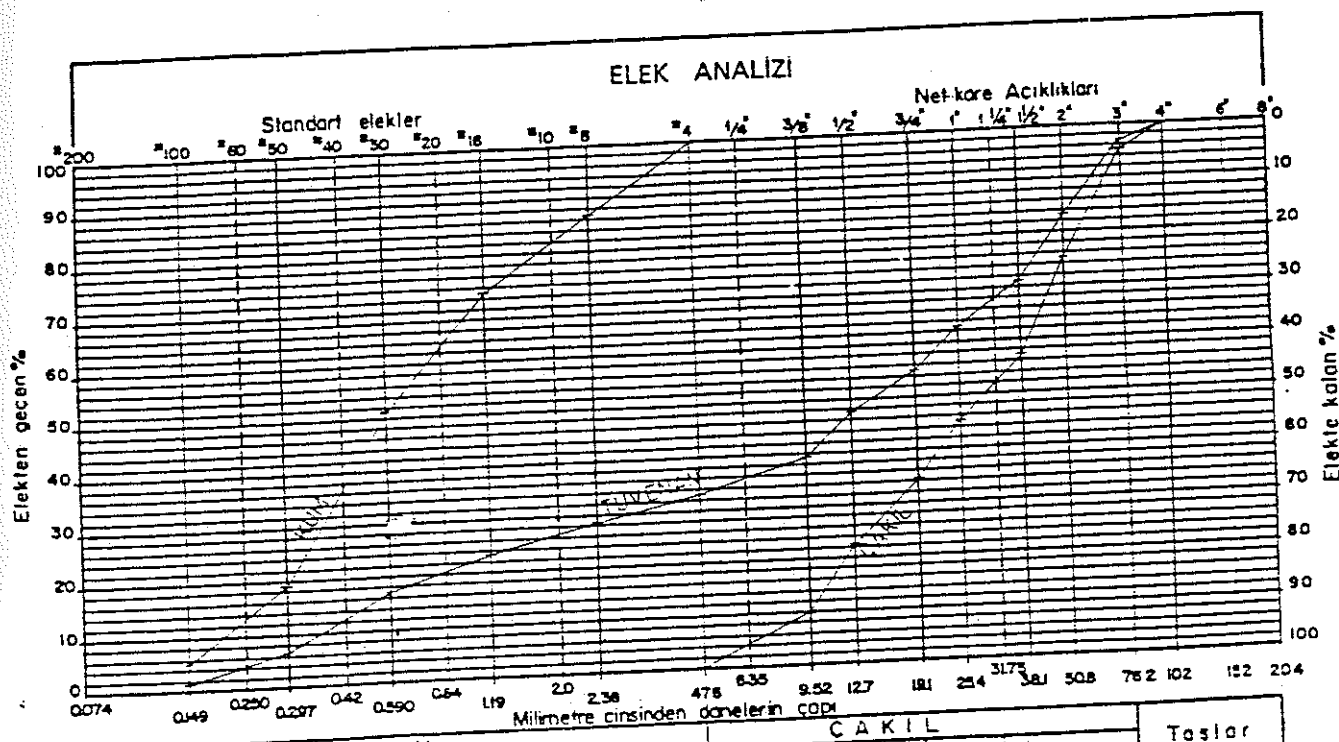
43\*\*\*\*\*5\*\*\*\*\*6\*\*\*\*\*7\*\*\*\*\*8\*\*\*\*\*9  
91 KDP TÜNELİ PROJESİ  
44 AGREGA FİZİKSEL DENEYLERİ  
3\*\*\*\*\*4\*\*\*\*\*5\*\*\*\*\*6\*\*\*\*\*7\*\*\*\*\*8\*\*\*\*\*9  
[NUMURİE NUMARASI] = 201

ELEK. NO.	ELEKTE KAL.	ELEKTE KAL. %	TOPLAM KAL. %
3	1125	4.7	3.2
2 1/2	2546	10.7	7.2
2	2174	9.1	6.2
1 1/2	4325	18.2	12.2
1	2916	12.3	8.2
3/4	2594	10.9	7.3
1/2	2810	11.8	7.9
3/8	2912	12.2	8.2
4	2384	10.0	6.7
TOP.ÇAK.	23786		
KUM	11560		
TOP.YUJ	35346		

ELEK ANALİZİ İÇİN ALINAN KUM MİKTARI = 800

ELEK NO	ELEKTE KAL.	ELEKTE KAL. %	TOPLAM KAL. %
8	110	13.7	4.5
16	105	13.2	4.3
30	174	21.8	7.1
50	256	32.6	10.5
100	107	13.4	4.4
PAN	47	5.9	1.9
		100.0	100.0

KUMUN BIRIM HACIM AGIRLIĞI	gr/cm <sup>3</sup>	1.66
CAKILIN BIRIM HACIM AGIRLIĞI	gr/cm <sup>3</sup>	1.64
KUMUN INCELIK MODULU	%	3.64
IKIYÜZ NOYLU ELEKTRON GECEN	%	4.13
CAKILIN DSGUL AGIRLIĞI	gr/cm <sup>3</sup>	2.59
KUMUN DSGUL AGIRLIĞI	gr/cm <sup>3</sup>	2.54
CAKILDA SU EMME	%	1.89
KUMDA SU BEMME	%	1.27
LOSANGELES ASIMMA KAYBI 100 DEVRİR	%	3.00
LOSANGELES ASIMMA KAYBI 500 DEVRİR	%	17.10
CAKILDA SODIUM SULFAT DON KAYBI	%	24.15
KUMDA SODIUM SULFAT DON KAYBI	%	12.12



KUM		CAKIL	Teslar	
Ince	Ori	Iri	Ince	Iri

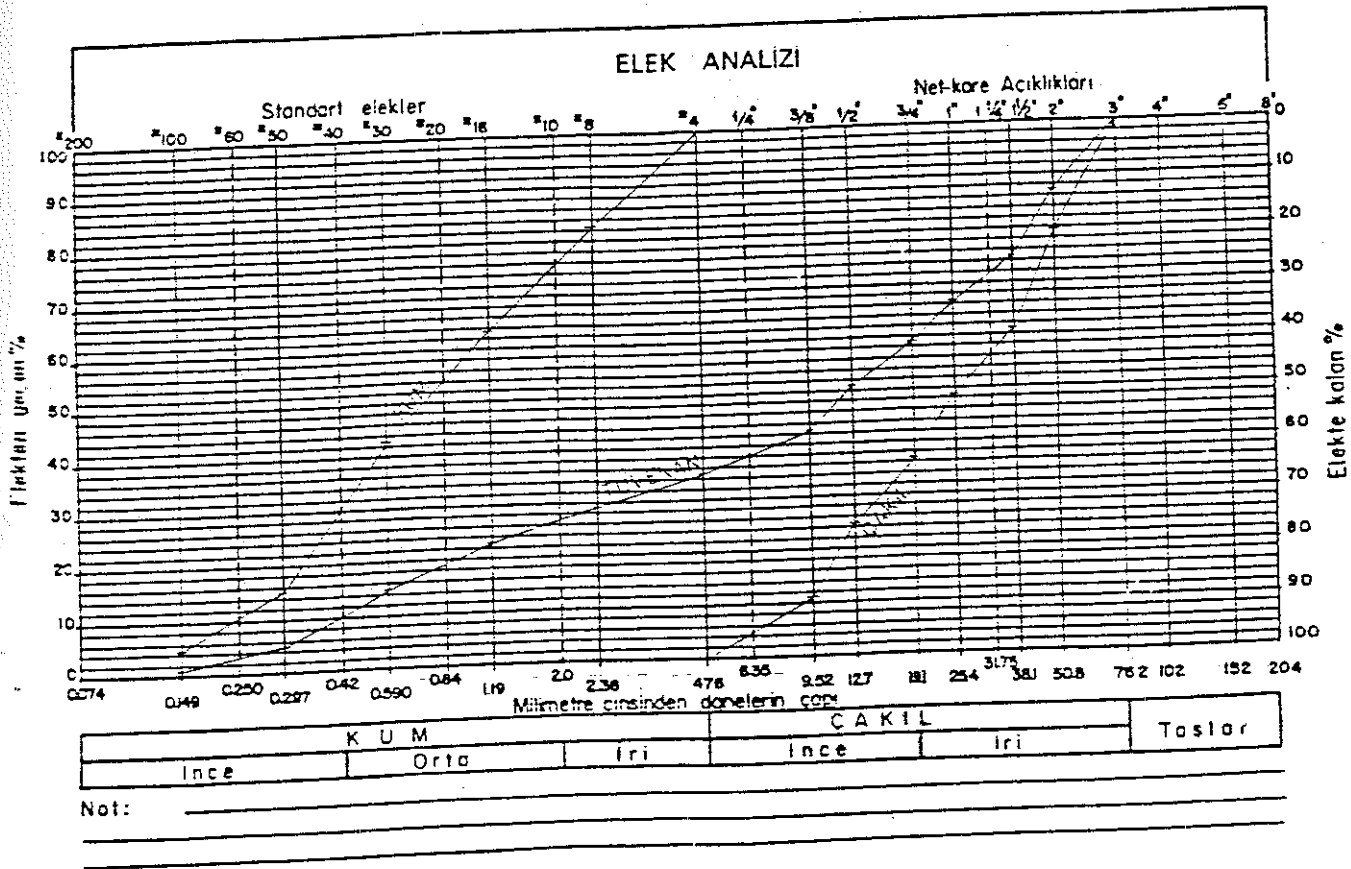
Note

\*\*\*\*\*  
\*\* KOP TÜMELİ PROJESİ \*\*  
\*\* AGREGA FİZİKSEL DENEYLERİ \*\*  
\*\*\*\*\*  
NUMUNE NUMARASI = 202  
\*\*\*\*\*

ELEK NO	ELEKTE KAL.	ELEKTE KAL. %	TOPLAM KAL. %	
3	0	0.0	0.0	0.0
2 1/2	2296	10.3	6.6	10.3
2	2194	9.8	6.2	20.1
1 1/2	4312	19.3	12.5	39.4
1	2716	12.2	7.9	51.5
3/4	2674	12.0	7.7	63.5
1/2	2716	12.2	7.9	75.7
3/8	2921	13.1	8.5	88.7
4	2514	11.3	7.3	100.0
TOP.CAK.	22333			
KUM	12217			
TOP.TUV	34550			
ELEK ANALİZİ İÇİN ALJAN KUM MIKTARI= 1000				

ELEK NO	ELEKTE KAL.	ELEKTE KAL. %	TOPLAM KAL. %	
8	174	17.4	6.2	17.4
16	189	18.9	6.7	36.3
30	202	20.2	7.2	56.6
50	281	28.1	10.0	84.7
100	107	10.7	3.8	95.4
PAH	46	4.6	1.6	100.0

KUMUN BİRİM HACİM AĞIRLIĞI gr/cm<sup>3</sup> = 1.66  
 CAKILIN BİRİM HACİM AĞIRLIĞI gr/cm<sup>3</sup> = 1.66  
 KUMUN İNCELIK MODULU % = 3.90  
 İKİYÜZ NOLU ELEKTEEN GECEN % = 4.03  
 CAKILIN ÖZGÜL AĞIRLIĞI gr/cm<sup>3</sup> = 2.59  
 KUMUN ÖZGÜL AĞIRLIĞI gr/cm<sup>3</sup> = 2.54  
 CAKILDA SU EMME % = 1.60  
 KUMDA SU EMME % = 1.32  
 LOSANGELES ASIMMA KAYBI 100 DEVRİ % = 3.06  
 LOSANGELES ASIMMA KAYBI 500 DEVRİ % = 17.30  
 CAKILDA SODİYUM SULFAT DÖN KAYBI % = 24.10  
 KUMDA SODİYUM SULFAT DÖN KAYBI % = 11.59

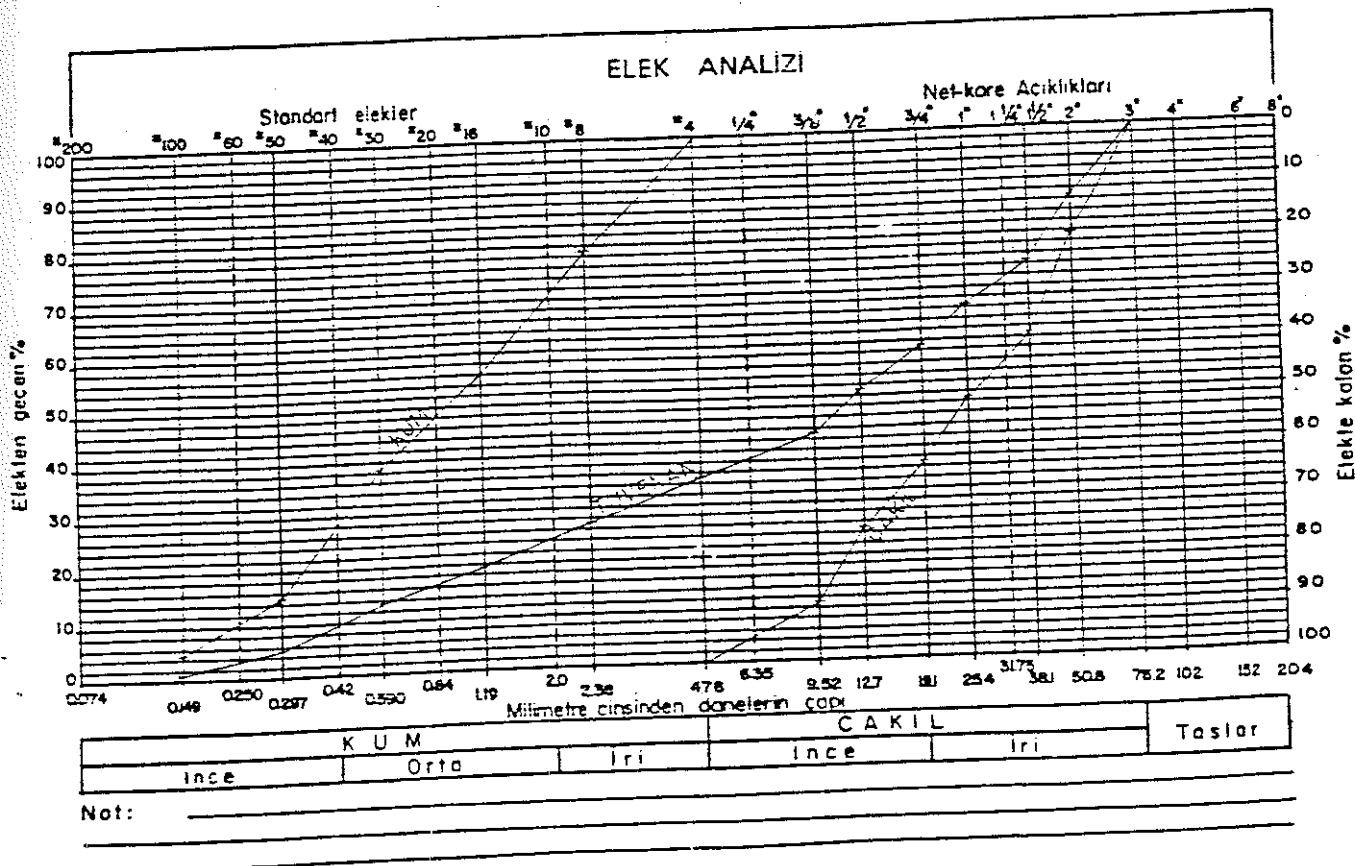


\*\* KOP İNİELİ PROJESİ \*\*  
 \*\* AGREGA FİZİKSEL DENEYLERİ \*\*  
 NUMUNE NUMARASI = 203

ELEK NO	ELEKTE KAL.	ELEKTE KAL. %	TOPLAM KAL.	TOPLAM KAL. %
3	0	0.0	0.0	0.0
2 1/2	2290	10.2	6.6	10.2
2	2271	10.0	4.5	25.2
1 1/2	4317	19.1	12.4	39.3
1	2805	12.4	8.0	51.7
3/4	2614	11.6	7.5	63.3
1/2	2726	12.1	7.8	75.4
3/8	3018	13.4	8.4	88.7
4	2547	11.3	7.3	100.0
TOP.GAK.	22598			
KUM	12300			
TOP.TUV	34898			
ELEK ANALİZİ İÇİN ALJAN KUM MIKTARI= 1000				

ELEK NO	ELEKTE KAL.	ELEKTE KAL. %	TOPLAM KAL.	TOPLAM KAL. %
8	224	22.4	7.9	22.4
16	215	21.5	7.6	44.8
30	176	17.6	6.2	41.6
50	232	23.2	8.2	84.8
100	105	10.5	3.7	95.4
PAN	46	4.6	1.6	100.0

KUMUN BİRİM HACİM AĞIRLIĞI gr/cm<sup>3</sup> = 1.72  
 ÇAKILIN BİRİM HACİM AĞIRLIĞI gr/cm<sup>3</sup> = 1.64  
 KUMUN İNCELIK MODULU % = 4.08  
 İKİYÜZ NOLU ELEKTRON GECEN % = 3.68  
 ÇAKILIN ÖZGÜL AĞIRLIĞI gr/cm<sup>3</sup> = 2.66  
 KUMUN ÖZGÜL AĞIRLIĞI gr/cm<sup>3</sup> = 2.54  
 ÇAKILDA SU EMME % = 1.84  
 KUMDA SU EMME % = 1.29  
 LOSANGELES ASİNMA KAYBI 100 DEVİR % = 3.18  
 LOSANGELES ASİNMA KAYBI 500 DEVİR % = 16.48  
 ÇAKILDA SODİUM SULFAT DON KAYBI % = 24.19  
 KUMDA SODİUM SULFAT DON KAYBI % = 12.09

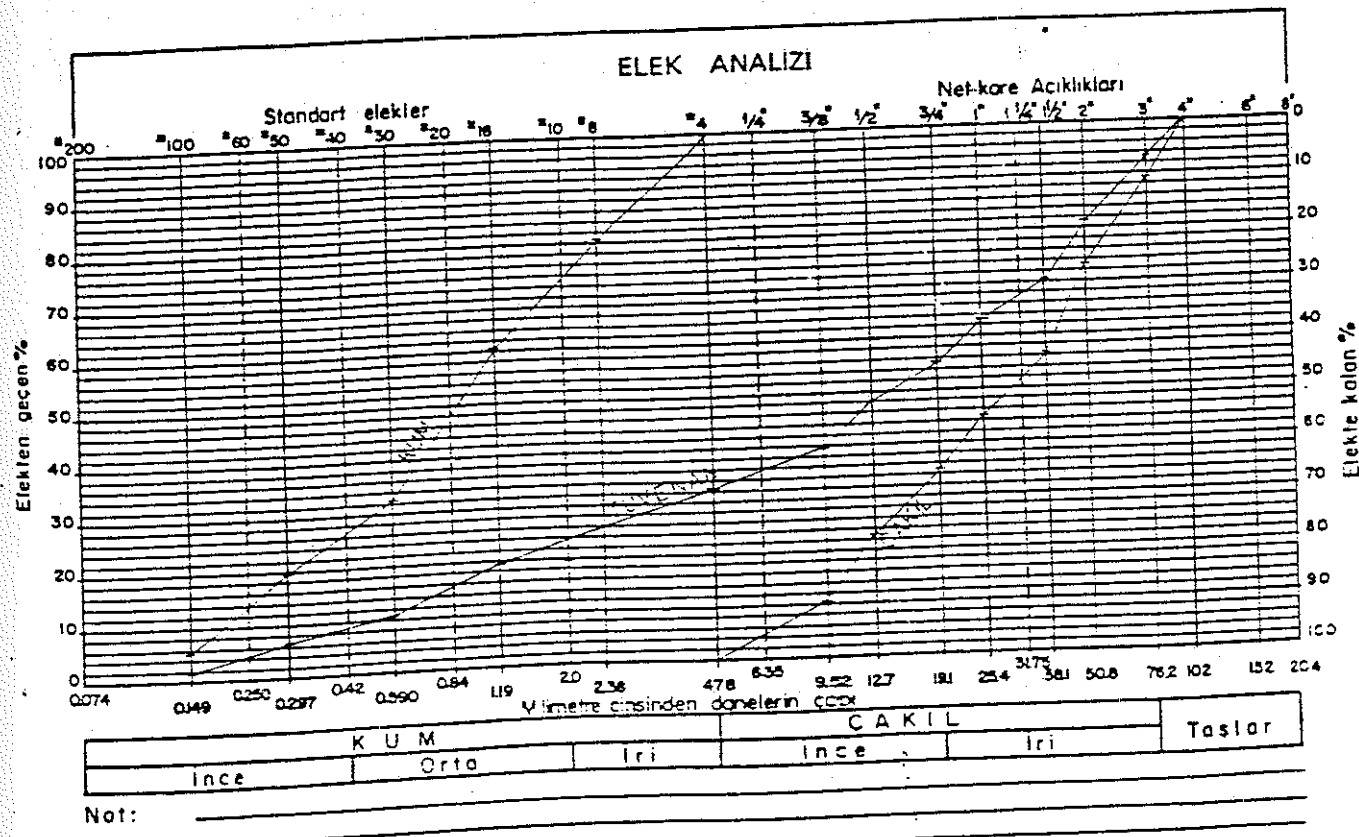


\*\*\*\*\*  
\*\* KOP TURKI PROJESI \*\*  
\*\* AGRESA FIZIKSEL DENEYLERI \*\*  
\*\*\*\*\*  
NUMURE NUMARASI = 205

ELEK NO	ELEKTE KAL.	ELEKTE KAL. %	TOPLAM KAL. %
3	2614	10.7	7.2
2 1/2	2024	8.3	5.6
2	2102	8.6	5.8
1 1/2	3984	16.3	11.0
1	2747	11.2	7.6
3/4	2596	10.6	7.2
1/2	2743	11.2	7.6
3/8	3104	12.7	8.6
4	2547	10.4	7.0
TOP.CAK.	24461		
KUM	11700		
TOP.TUV	36161		
ELEK ANALIZI ICIN ALINAN KUM MIKTARI=			800

ELEK NO	ELEKTE KAL.	ELEKTE KAL. %	TOPLAM KAL. %
8	157	19.6	74.0
14	161	20.2	80.5
30	220	27.5	89.4
50	102	12.8	80.1
100	112	14.0	94.1
PAN	47	5.9	100.0

KUMUN BIRIM HACIM AGIRLIKI	gr/cm <sup>3</sup>	1.65
CARILIN BIRIM HACIM AGIRLIKI	gr/cm <sup>3</sup>	1.66
KUMUR INCELIK MODULU	%	4.81
IKIYUZ NOLU ELEKTRON GECEK	%	3.35
CARILIN OZGUL AGIRLIKI	gr/cm <sup>3</sup>	2.46
KUMUR OZGUL AGIRLIKI	gr/cm <sup>3</sup>	2.54
CARKILDA SU EMME %		1.98
KUMURA SU EMME %		1.36
LOSANGELES ASINMA KAYBI 100 DEVR %		3.86
LOSANGELES ASINMA KAYBI 500 DEVR %		16.38
CARKILDA SODIUM SULFAT M91 KAYBI %		23.83
CARKILDA SODIUM SULFAT DON KAYBI %		12.41

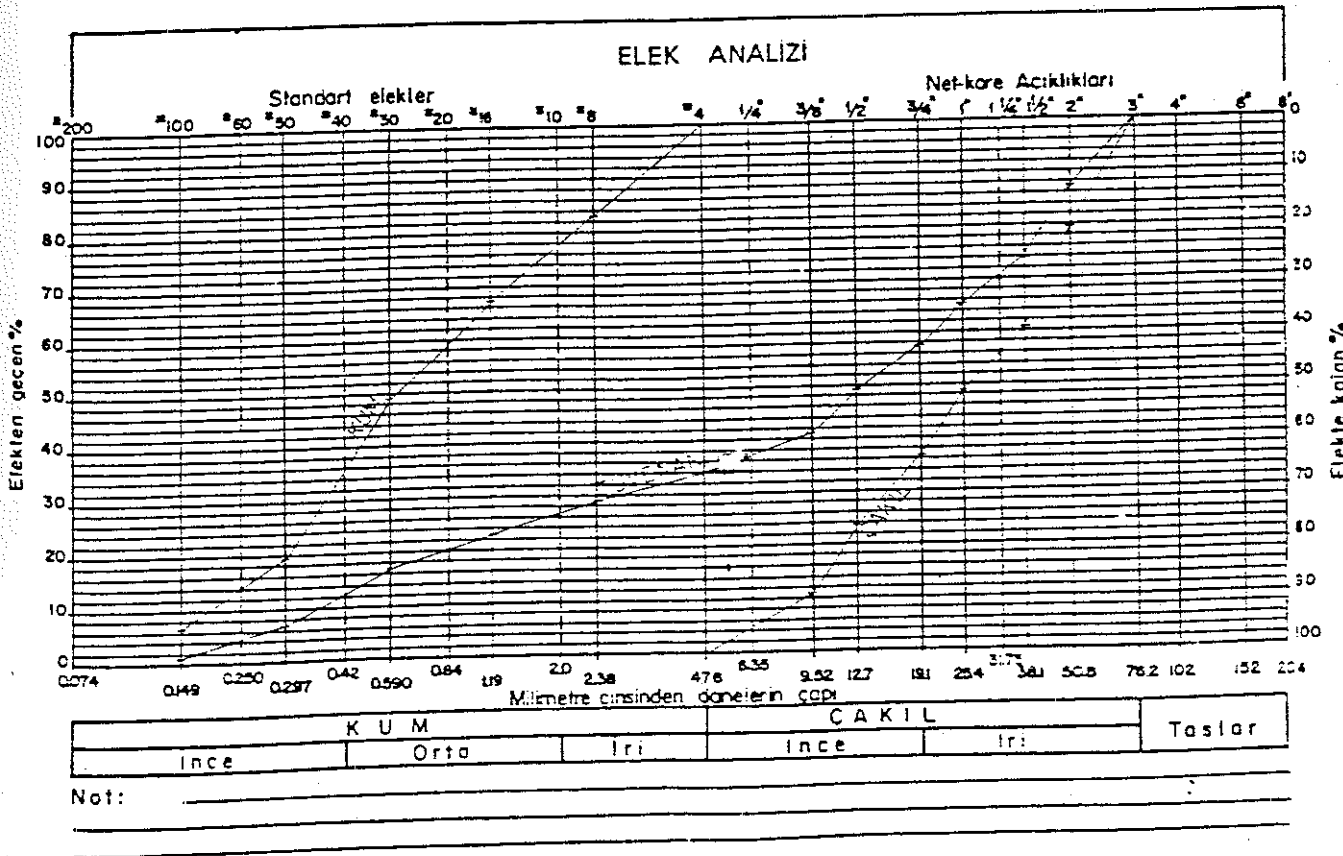


\*\*\* KDF FİNALİ PROJESİ \*\*\*  
 \*\* AGREGA FİZİKSEL DEHİYELERİ \*\*  
 MINIMUM DEHİYELİ = 207  
 \*\*\* \*\*\*\* \*\*\*

ELEK NO	ELEKTE KAL.	ELEKTE KAL. %	TOPLAM	KAL. %
3	0	0.0	0.0	0.0
2 1/2	2330	10.5	6.9	10.5
2	2152	9.7	6.4	20.2
1 1/2	4244	19.2	12.6	39.4
1	2775	12.5	8.3	51.9
3/4	2623	11.8	7.8	63.8
1/2	2758	12.5	8.2	76.2
3/8	2903	13.1	8.7	89.3
4	2365	10.7	7.0	100.0
TOP.EAK.	22150			
KUM	11400			
TOP.TUR	33550			
ELEK ANALİZİ İÇİN ALINAN KUM MIKTARI= 800				

ELEK NO	ELEKTE KAL.	ELEKTE KAL. %	TOPLAM	KAL. %
8	137	17.1	5.8	17.1
16	120	15.0	5.1	32.1
30	163	20.4	6.9	52.5
50	221	27.7	9.4	80.2
100	107	13.4	4.5	93.6
PAS	49	6.1	2.1	99.7

KUMUN BİRİM HACİM AĞIRLIĞI	gr/cm <sup>3</sup>	= 1.65
ÇAKILIN BİRİM HACİM AĞIRLIĞI	gr/cm <sup>3</sup>	= 1.63
KUMUN İNCELIK NODULU	%	= 3.75
İKİYÜZ NOLU ELEKTE GECEN	%	= 3.86
ÇAKILIN ÖZÜM AĞIRLIĞI	gr/cm <sup>3</sup>	= 2.81
KUMUN ÖZÜM AĞIRLIĞI	gr/cm <sup>3</sup>	= 2.53
ÇAKILDA SU EME	%	= 1.74
KUMDA SU EME	%	= 1.32
KUMDA ASİNYA KAYBI 100 DEVİR	%	= 3.32
LOSANGELES ASİNYA KAYBI 500 DEVİR	%	= 17.50
ÇAKILDA SODİUM SULFAT DÖN KAYBI	%	= 24.14
KUMDA SODİUM SULFAT DIN KAYBI	%	= 12.64



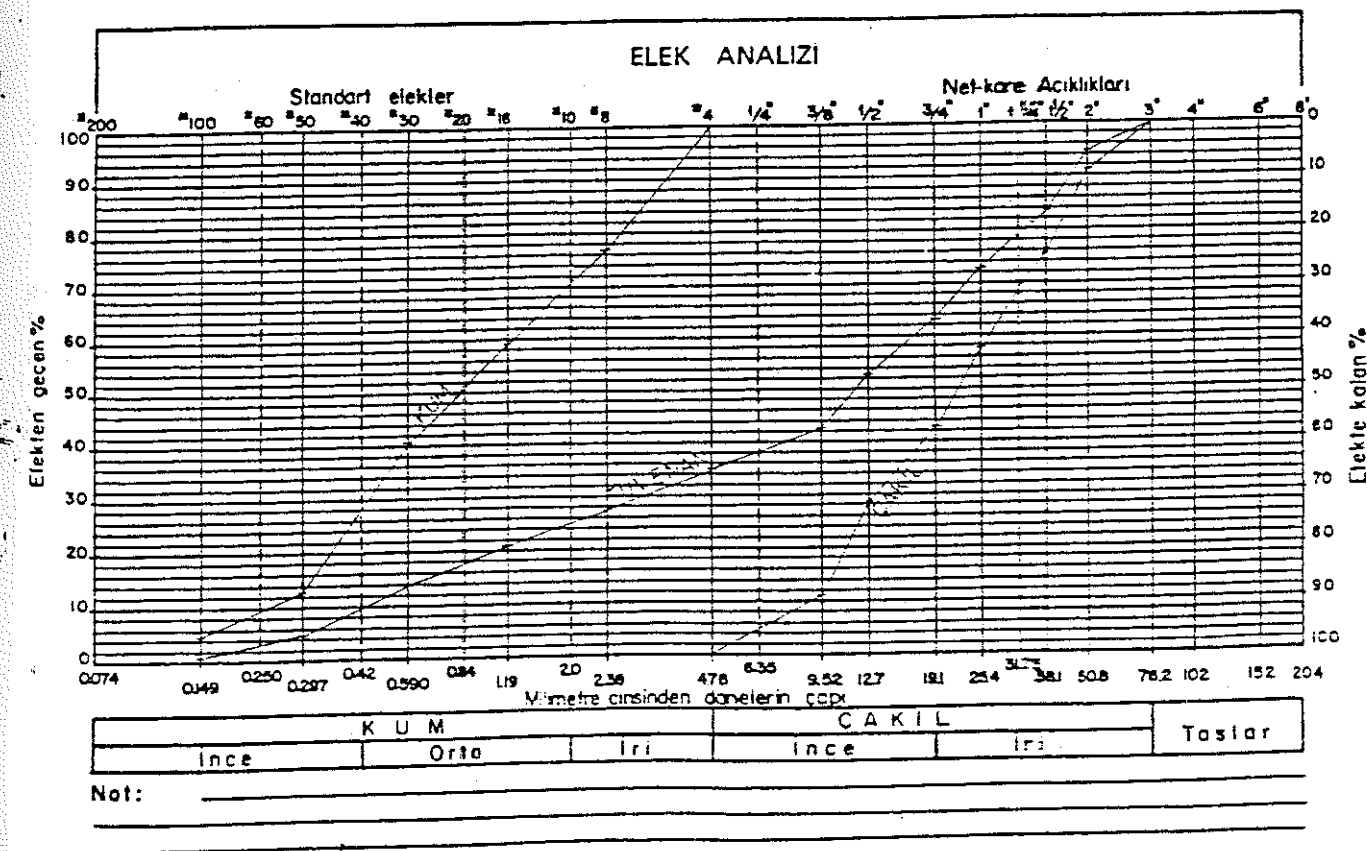
\*\* DIP TİNELİ PROJESİ \*\*  
 \*\* ADRES: FİZİKSEL DENEYLERİ \*\*  
 NUMBE NUMARASI = 210  
 \*\*\*\*

ELEK NO	ELEKTE KAL.	ELEKTE KAL. %	TOPLAM KAL.	TOPLAM KAL. %
3	0	0.0	0.0	0.0
2 1/2	879	3.6	2.4	2.4
2	1316	5.4	3.5	9.0
1 1/2	3792	15.5	10.2	24.5
1	4321	17.7	11.6	42.2
3/4	3546	14.5	9.5	56.7
1/2	3712	15.2	10.0	71.8
3/8	4015	16.4	10.8	88.3
4	2871	11.7	7.7	100.0
TOP.ŞAK.	24452			
KUM	12850			
TOP.ŞIV	37302			
ELEK ANALİZİ İÇİN ALINAN KUM MİKTARI= 1000				

ELEK NO	ELEKTE KAL.	ELEKTE KAL. %	TOPLAM KAL.	TOPLAM KAL. %
8	237	23.7	8.1	23.7
16	174	17.4	6.0	41.0
30	183	18.3	6.3	59.3
50	254	25.4	8.7	84.7
100	112	11.2	3.9	95.9
PAR	41	4.1	1.4	100.0

KUMUN BİRİM HACİM AĞIRLIĞI gr/cm<sup>3</sup> = 1.67  
 ÇAKILIN BİRİM HACİM AĞIRLIĞI gr/cm<sup>3</sup> = 1.66  
 KUMUN İNCELIK MODULU % = 4.85  
 İKİNCİ MOLU ELEKTEEN GEÇEN % = 3.51  
 ÇAKILIN ÖZGÜL AĞIRLIĞI gr/cm<sup>3</sup> = 2.66  
 KUMUN ÖZGÜL AĞIRLIĞI gr/cm<sup>3</sup> = 2.54  
 ÇAKILDA SU EMME % = 1.83  
 KUMDA SU EMME % = 1.25  
 LOSANGELES ASIMMA KAYBI 100 DEVİR % = 3.28  
 LOSANGELES ASIMMA KAYBI 500 DEVİR % = 16.84  
 ÇAKILDA SİDİYUM SULFAT DÖN KAYBI % = 23.00  
 KUMDA SİDİYUM SULFAT DÖN KAYBI % = 12.02

### ELEK ANALİZİ

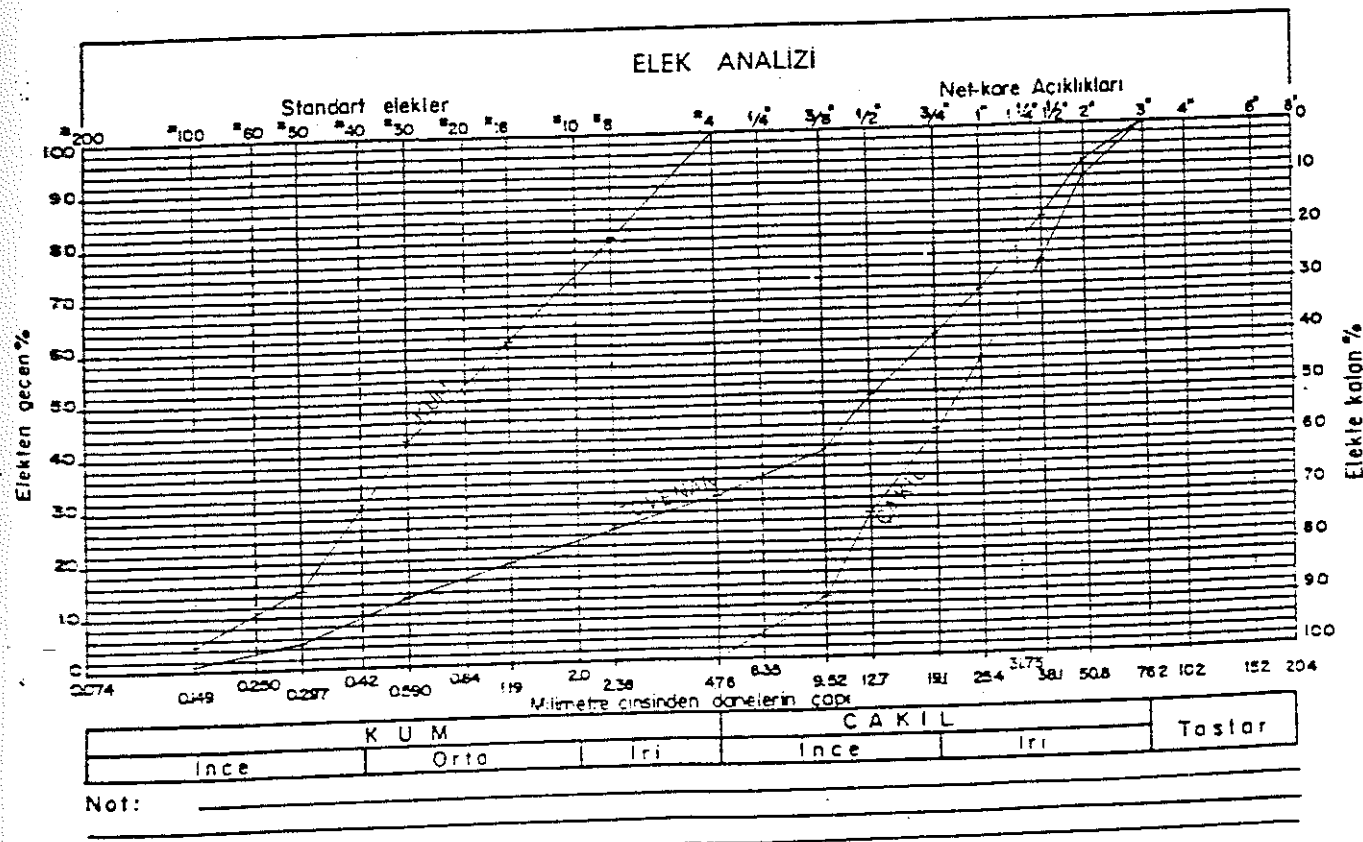


\*\*\* KDP TUWELI PROJESİ \*\*\*  
 \*\* AGREGA FİZİKSİSEL GENELLERİ \*\*  
 NUMUNE NUMARASI = 211

ELEK NO	ELEKTE KAL.	ELEKTE KAL. %	TOPLAM KAL. %	
3	0	0.0	0.0	0.0
2 1/2	1533	4.2	4.3	4.3
2	950	3.8	2.6	10.0
1 1/2	3900	15.8	10.9	25.8
1	4505	18.2	12.5	44.0
3/4	2240	13.1	9.0	57.1
1/2	3875	15.7	10.8	72.8
3/8	3810	15.4	10.6	88.2
4	2908	11.8	8.1	108.0
TOP.CAK.	24721			
KUM	11200			
TOP.TUJ	35921			
ELEK ANALİZİ İÇİN ALINAN KUM MİKTARI= 1000				

ELEK NO	ELEKTE KAL.	ELEKTE KAL. %	TOPLAM KAL. %	
8	198	19.5	6.1	19.5
16	186	18.6	5.8	38.1
30	194	19.4	6.0	57.5
50	272	27.2	8.5	84.7
100	107	10.7	3.3	95.3
PAN	47	4.7	1.5	100.0

KUMUN BİRİM hacim AĞIRLIĞI gr/cm<sup>3</sup> = 1.66  
 CAKILIN BİRİM hacim AĞIRLIĞI gr/cm<sup>3</sup> = 1.56  
 KUMUN İNCELİK MODULU % = 3.95  
 İKİYÜZ NOLU ELEKTEM GECEN % = 3.88  
 CAKILIN DÜZÜL AĞIRLIĞI gr/cm<sup>3</sup> = 2.59  
 KUMUN DÜZÜL AĞIRLIĞI gr/cm<sup>3</sup> = 2.55  
 CAKILDA SU ETTME % = 1.92  
 KUMDA SU ETTME % = 1.25  
 LOSANGELES ASIMMA KAYBI 100 DEVİR % = 2.50  
 LOSANGELES ASIMMA KAYBI 500 DEVİR % = 17.46  
 CAKILDA SODİUM SULFAT DÖN KAYBI % = 16.70  
 KUMDA SODİUM SULFAT DÖN KAYBI % = 12.14



YOP TİRKELİ PROJESİ  
AGRİKA FİZİKSEL ÖNEMLERİ  
NUMUNE NUMARASI = 213

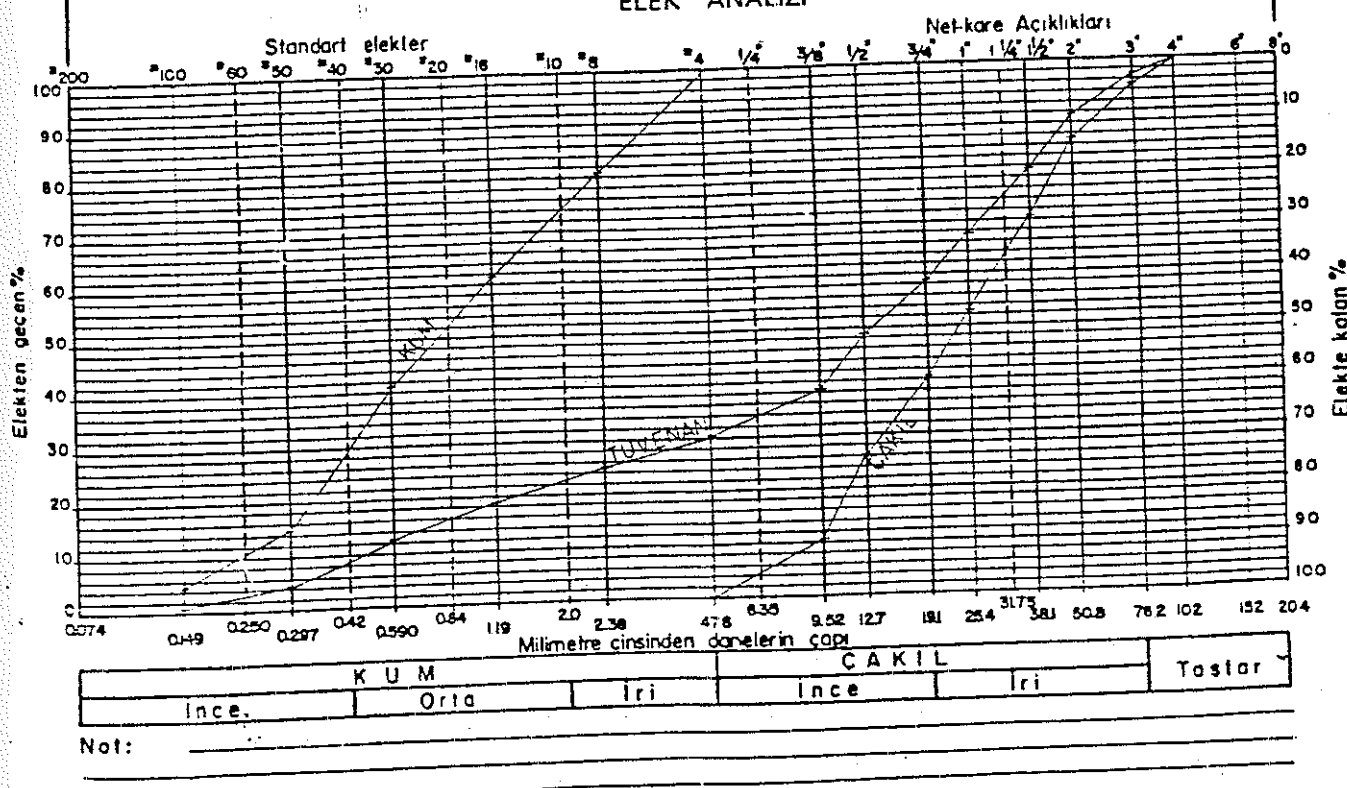
ELEK NO	ELEKTE KAL.	ELEKTE KAL. %	TOPLAM KAL. %
3	1250	4.7	3.3
2 1/2	1638	6.2	4.3
2	937	3.8	2.6
1 1/2	3856	14.5	10.1
1	4617	17.4	12.1
3/4	3516	13.3	9.2
1/2	3748	14.1	9.8
3/8	4012	15.1	10.5
4	2876	10.8	7.5
TOP.CAK.	28510		
KUM	11650		
TOP.TUV	38160		

ELEK AYNI UZU İÇİN ALINMIŞ KUM MIKTARI = 1000

ELEK NO	ELEKTE KAL.	ELEKTE KAL. %	TOPLAM KAL. %
8	188	18.8	5.7
16	194	19.4	5.9
30	201	20.1	6.1
50	270	27.0	8.2
100	104	10.4	3.2
PAN	44	4.4	1.3

KUMUN BİRİM HACİM AĞIRLIĞI gr/cm<sup>3</sup> = 1.60  
 ÇAKILIN BİRİM HACİM AĞIRLIĞI gr/cm<sup>3</sup> = 1.60  
 KUMUN İNCELENİR MODULU % = 3.96  
 İKİYÜZ YOLU ELEKTE GEÇEN % = 3.70  
 ÇAKILIN DİZGÜL AĞIRLIĞI gr/cm<sup>3</sup> = 2.71  
 KUMUN DİZGÜL AĞIRLIĞI gr/cm<sup>3</sup> = 2.57  
 ÇAKILDA SU ETTİME % = 1.00  
 KUMDA SU ETTİME % = 1.18  
 LOSANGELES ASİNMA KAYBI 100 DEVİR % = 2.18  
 LOSANGELES ASİNMA KAYBI 500 DEVİR % = 17.65  
 ÇAKILCA SODYUM SULFAT DÖN KAYBI % = 25.15  
 KUMDA SODYUM SULFAT DÖN KAYBI % = 10.55

### ELEK ANALİZİ

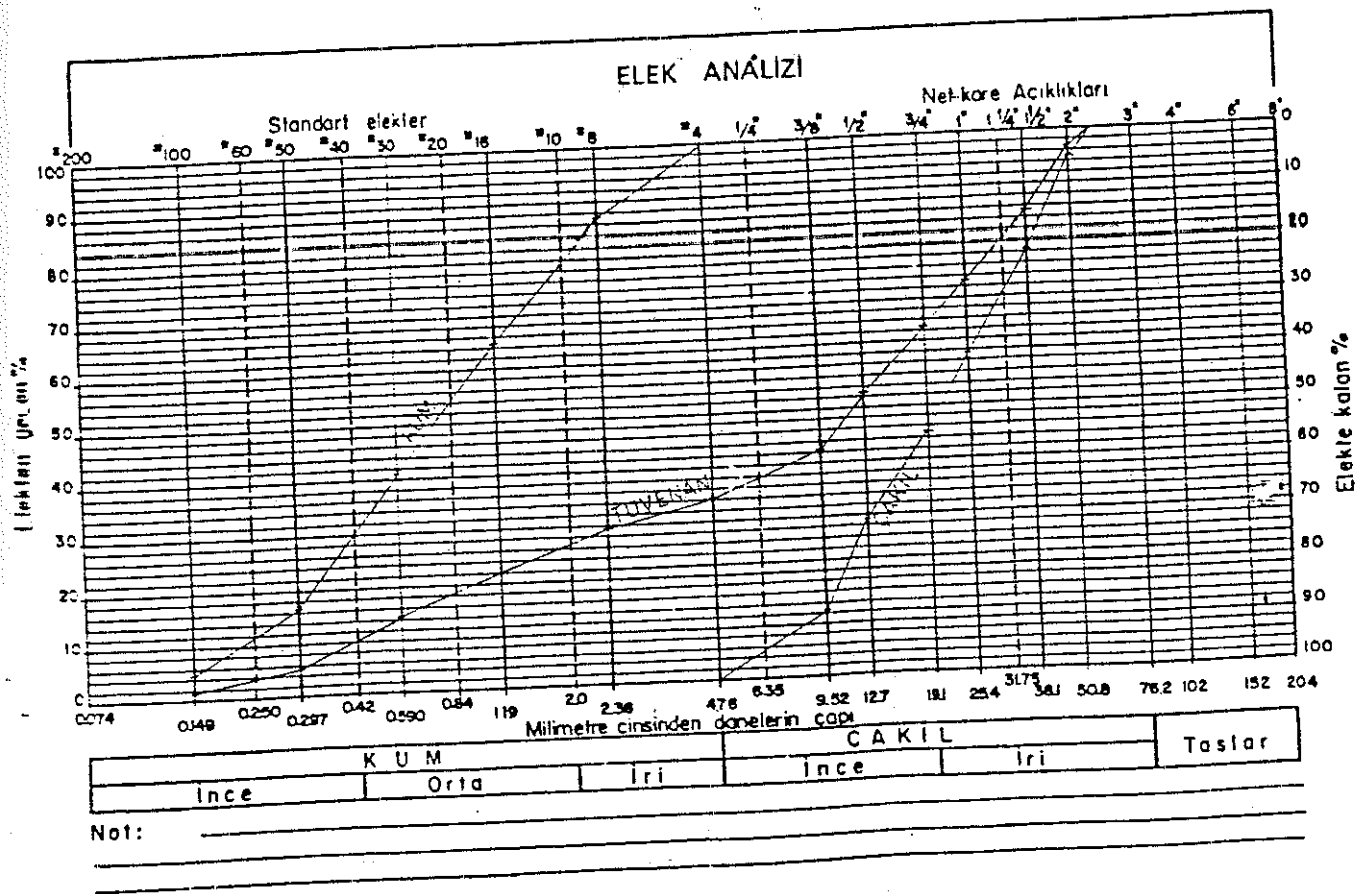


KOP TOHİLLİ PROJESİ  
AGREGA FİZİKSEL DEĞİŞKENLERİ  
NUMUNE NUMARASI = 214

ELEK NO	ELEKTE KAL.	ELEKTE KAL. %	TOPLAM KAL. %	
3	0	0.0	0.0	0.0
2 1/2	0	0.0	0.0	0.0
2	1250	5.3	3.5	5.3
1 1/2	3840	16.5	10.9	21.8
1	4307	18.4	12.1	10.2
3/4	3327	14.2	9.4	54.5
1/2	3826	16.3	10.8	70.8
3/8	3921	16.8	11.1	87.6
4	2911	12.4	8.2	100.0
TOP.ÇAK.	23402			
KUM	12050			
TOP.TUV	35452			
ELEK ANALİZİ İÇİN ALINAN KUM MIKTARI = 806				

ELEK NO	ELEKTE KAL.	ELEKTE KAL. %	TOPLAM KAL. %	
8	104	13.0	4.4	13.0
16	179	22.4	7.6	35.4
30	186	23.3	7.9	58.7
50	196	24.6	8.3	83.2
100	98	12.2	4.1	95.4
FAT	37	4.6	1.6	100.0

KUMUN BİRİM HACIM AĞIRLIĞI	gr/cm <sup>3</sup>	= 1.61
ÇAKILIN BİRİM HACIM AĞIRLIĞI	gr/cm <sup>3</sup>	= 1.51
KUMUN İNCELIK MODULU	%	= 3.86
İKTİYÜZ RÖLÜ ELEKTEBİ GECİBİ %	%	= 4.66
ÇAKILIN DÜZGÜ AĞIRLIĞI	gr/cm <sup>3</sup>	= 2.59
KUMUN DÜZGÜ AĞIRLIĞI	gr/cm <sup>3</sup>	= 2.56
ÇAKILDA SU ETTİME %	%	= 2.18
KUMDA SU ETTİME %	%	= 1.15
LOSXİGELES ASİNMA KAYBI 100 DEVİR %	%	= 3.48
LOSXİGELES ASİNMA KAYBI 500 DEVİR %	%	= 17.24
ÇAKILDA SODYUM SULFAT DÖR KAYBI %	%	= 23.44
KUMDA SODYUM SULFAT DÖR KAYBI %	%	= 12.40

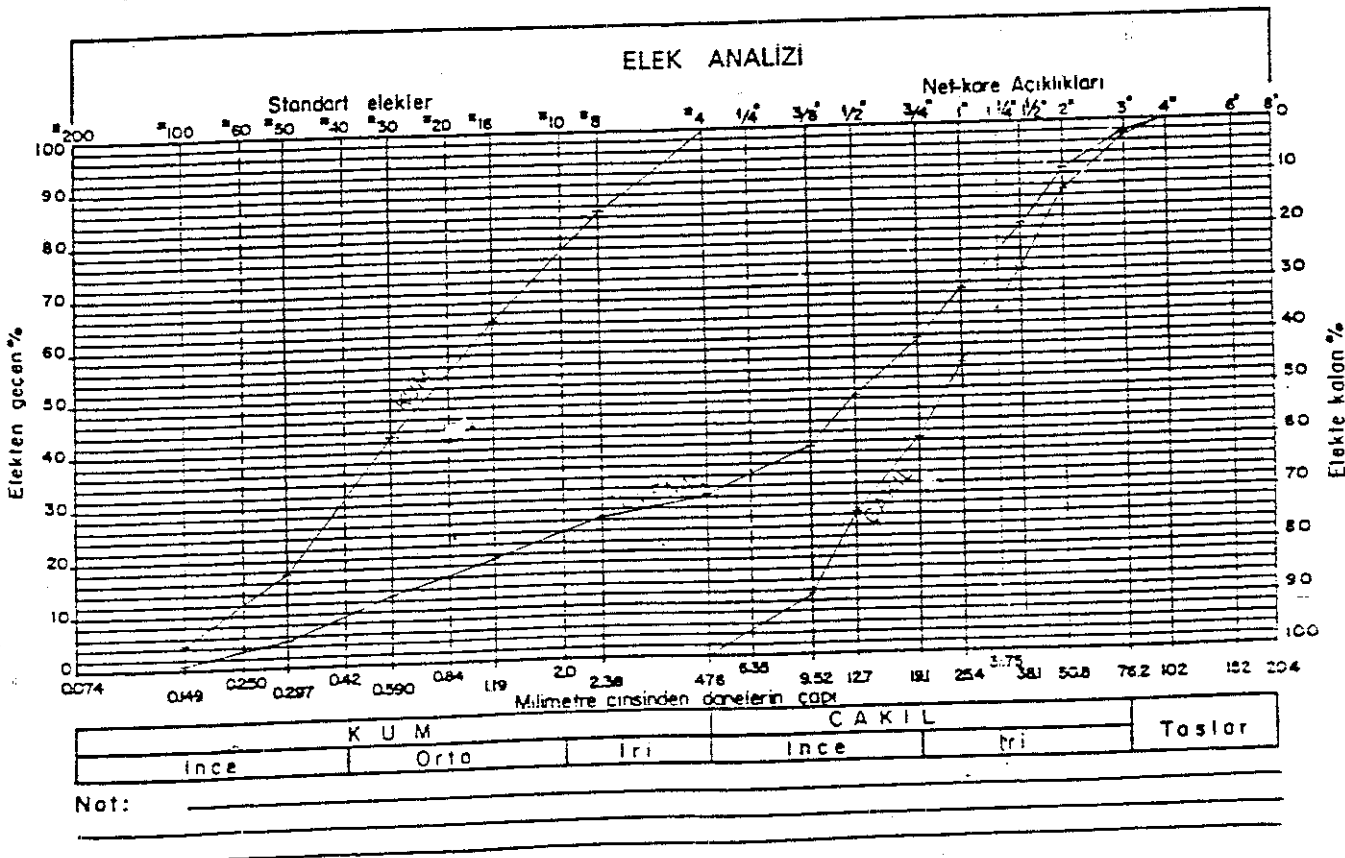


\*\*\* KOP TUNELI PROJESİ \*\*\*  
 \*\* AGREGA FİZİKSİL DEHİYELERİ \*\*  
 MINİMUM NUMARASI = 217  
 \*\*\* \*\*\* \*\*\*

ELEK NO	ELEKTE KAL.	ELEKTE KAL. %	TOPLAM KAL. %	
3	876	3.4	3.4	2.4
2 1/2	1297	5.5	3.8	8.9
2	897	3.5	2.4	12.5
1 1/2	3917	15.4	10.7	27.9
1	4326	17.2	11.9	45.1
3/4	3391	13.3	9.2	58.5
1/2	3927	15.5	10.7	73.9
3/8	3617	14.2	9.8	88.1
4	3012	11.9	8.2	100.0
TOP.DAK.	25410			
KUM	11350			
TOP.IUV	34760			
ELEK ANALİZİ İÇİN ALINAN KUM MİKTARI= 800				

ELEK NO	ELEKTE KAL.	ELEKTE KAL. %	TOPLAM KAL. %	
8	118	14.7	4.5	14.7
16	170	21.2	6.5	35.9
30	174	21.8	6.7	57.7
50	198	24.8	7.7	82.5
100	102	12.7	3.9	95.2
PAN	38	4.8	1.5	100.0

KUMUN BİRİM HACİM AĞIRLIĞI gr/cm<sup>3</sup> = 1.60  
 ÇAKILIN BİRİM HACİM AĞIRLIĞI gr/cm<sup>3</sup> = 1.52  
 KUMUN İNCELIK MODÜLÜ % = 3.86  
 İKİYÜZ NGLU ELEKTE GECEN % = 3.81  
 ÇAKILIN ÖZGÜL AĞIRLIĞI gr/cm<sup>3</sup> = 2.74  
 KUMUN ÖZGÜL AĞIRLIĞI gr/cm<sup>3</sup> = 2.49  
 ÇAKILDA SU EMME % = 1.94  
 KUMDA SU EMME % = 1.38  
 LOSANGELES ASİNA KAYBI 100 DEVİR % = 2.50  
 LOSANGELES ASİNA KAYBI 500 DEVİR % = 17.08  
 ÇAKILDA SODYUM SULFAT DÖN KAYBI % = 21.83  
 KUMDA SODYUM SULFAT DÖN KAYBI % = 12.27

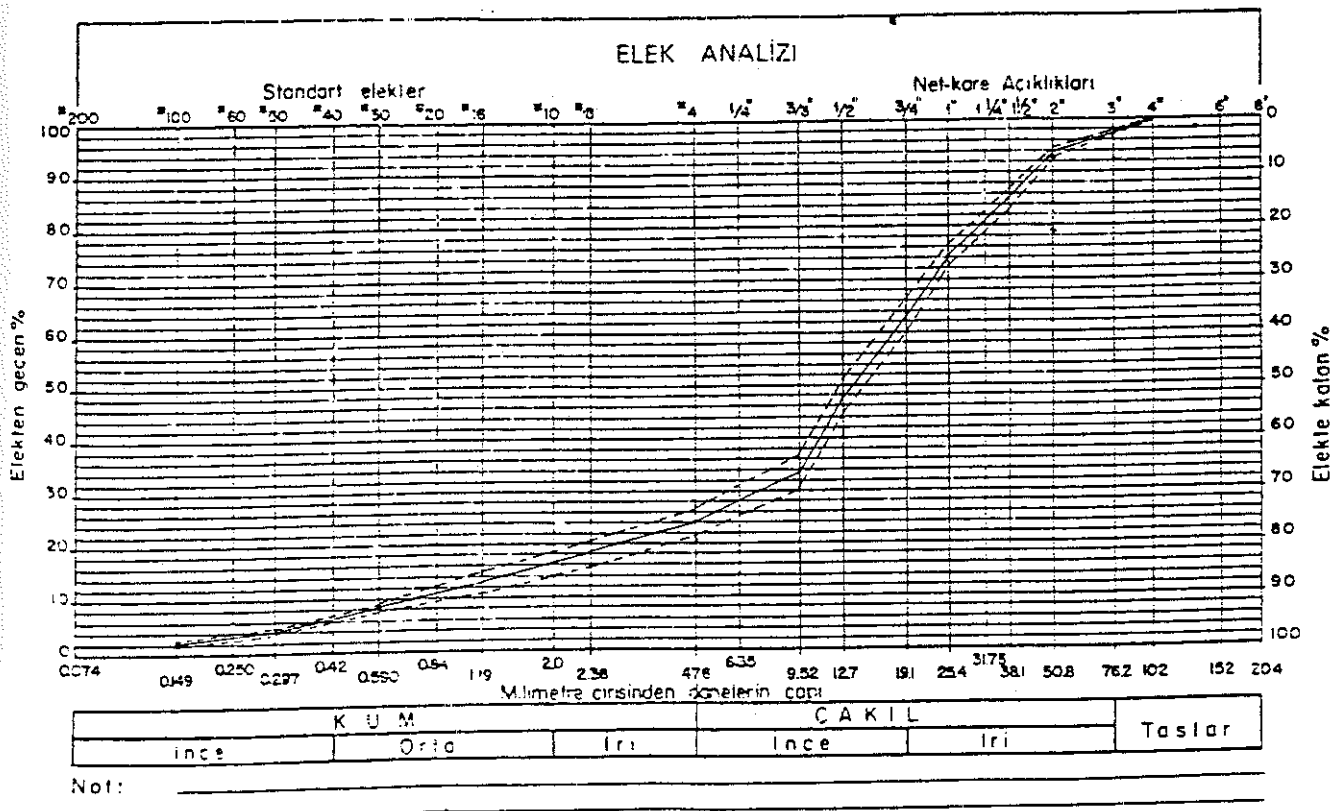
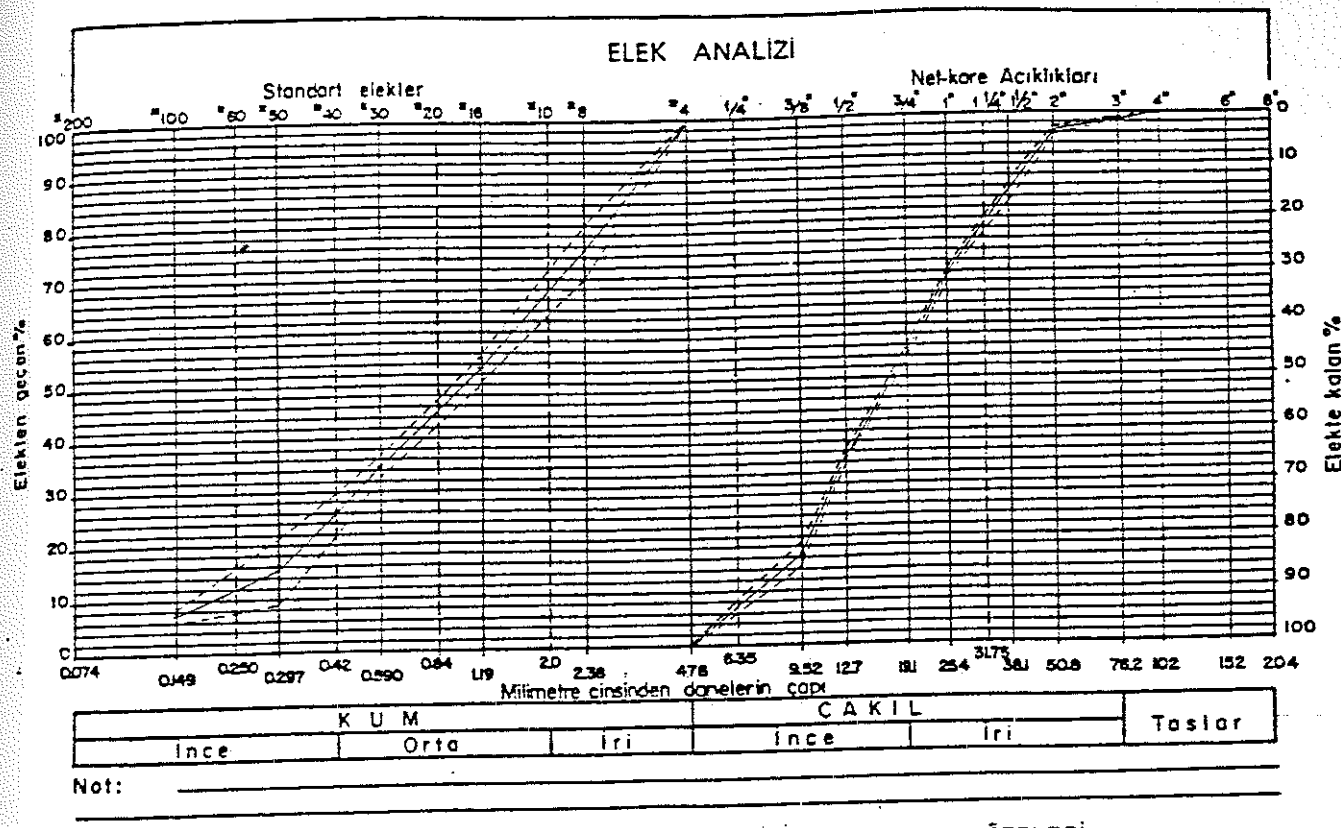


C BÖLGESİ DENEY SONUÇLARI VE GRAFİKLER

KOP TURNELİ PROJESİ			
ORTALAMA AGREGA FİZİKSEL DENİY SONUCLARI			
BOLGE C			
DENEYLER	Limit	X	S
Birim Hac : Kum		1.59 ± 0.02	
Ağırlık : gr/cm³ : Çakıl		1.53 ± 0.01	
Ozgül : Kum		2.52 ± 0.03	
Ağırlık : gr/cm³ : Çakıl		2.53 ± 0.07	
SU : Kum		1.12 ± 0.66	
Enme : Max %			
% : Çakıl		1.89 ± 0.16	
200 no.elektron get. : Max % 3-5		14.58 ± 0.43	
Na2 SO4 : Kum : Max 15		37.02 ± 1.01	
Don Kaybi : % : Çakıl : Max 18		32.09 ± 0.58	
Los-Angeles 100 dö : Max 10		4.86 ± 0.67	
Asınma kayı : % : 500 dö : Max 40-50		12.86 ± 1.94	
Kumun incelik modulu %		4.13 ± 0.15	

KOP TURNELİ PROJESİ & C BÖLGESİ  
STANDART ELEKLER ÜZERİNDE KALAN ORTALAMA MIKTARLAR %

	C	A	K	I	L	T	?	K	U	M	?				
Elek No	1	2	3	1/2	1	3/4	1	1/2	3/8	4	8	16	20	50	100
Dane Capı mm	59.80	38.10	25.40	19.10	12.70	9.57	4.76	2.58	1.19	0.59	0.30	0.15			
Elektre Kalan Ortalama %	3.86	11.13	15.28	15.40	19.43	18.46	12.53	24.38	21.93	19.10	18.65	8.03			
Standart Sıfırma %	0.41	2.47	0.44	0.61	0.59	1.22	1.14	4.93	2.65	3.07	6.34	1.23			
Do + S	4.27	13.40	15.72	16.01	20.02	19.68	13.67	29.31	24.58	22.17	25.20	9.24			
Do - S	3.45	8.66	14.84	14.79	18.94	17.24	11.39	19.45	19.23	12.03	12.52	6.80			



\*\*\* WDP İNVELİ PROJESİ \*\*\*  
 \*\*\* AGRESA FİZİKSEL GENELLERİ \*\*\*  
 MÜMKEŞE NUMARASI = 300

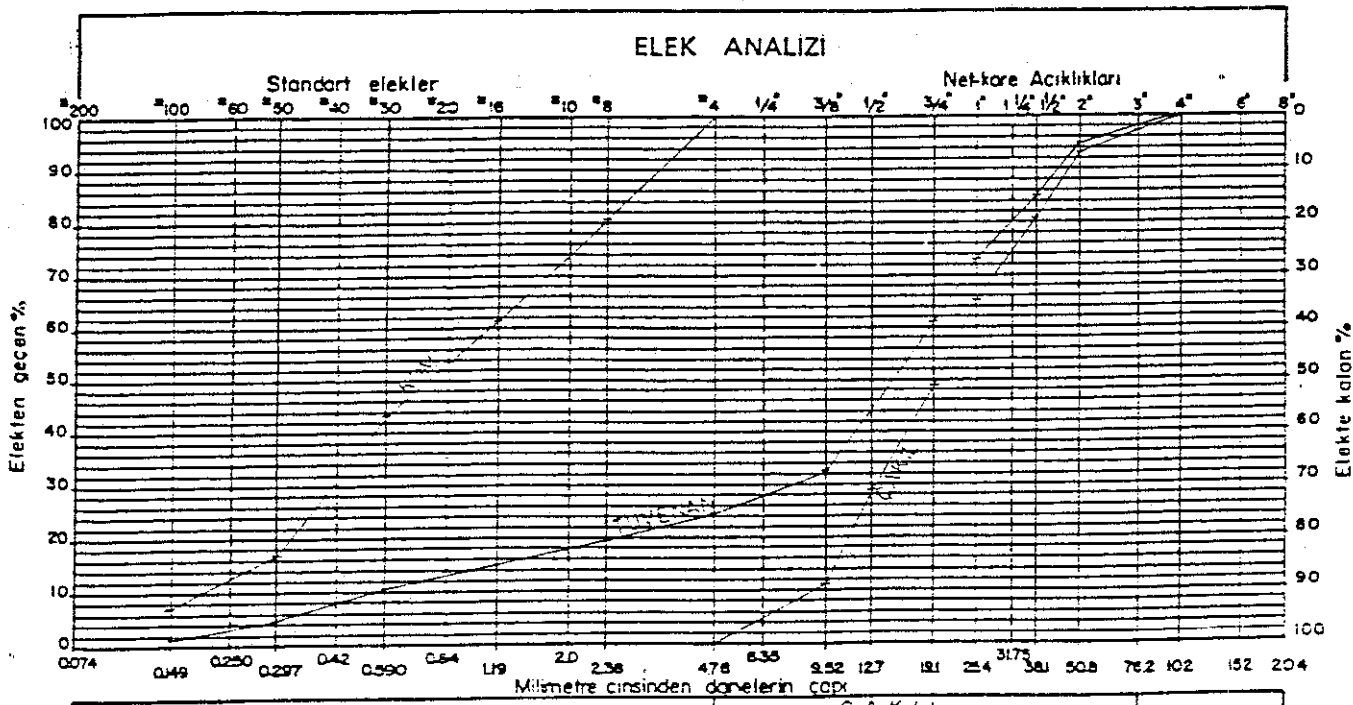
ELEK. NO	ELEKTE KAL.	ELEKTE KAL. %	TOPLAM KAL. %	
3	899	2.8	2.1	2.8
2 1/2	6	0.0	0.0	2.8
2	1229	4.1	3.1	6.9
1 1/2	4164	12.8	9.7	19.7
1	4905	15.1	11.4	34.7
3/4	5372	16.5	12.5	38.8
1/2	6531	20.1	15.2	71.3
3/8	5572	17.4	13.2	88.8
4	3648	11.2	8.5	100.0
TOP. LEAK.	32521			
KUM	10428			
TOP. TUV	42949			

ELEK ANALİZİ İÇİN ALINAN KUM MIKTARI= 800

ELEK. NO	ELEKTE KAL.	ELEKTE KAL. %	TOPLAM KAL. %	
8	156	19.5	4.7	19.5
16	149	18.6	4.5	38.1
30	146	18.2	4.4	56.3
50	214	26.8	6.5	63.1
100	79	9.9	2.4	93.0
PAN	56	7.0	1.7	100.0

KUMUN BİRİM HACİM AĞIRLIĞI	gr/cm <sup>3</sup>	= 1.57
ÇAKILIN BİRİM HACİM AĞIRLIĞI	gr/cm <sup>3</sup>	= 1.53
KUMUN İNCELIK MODULU	%	= 3.90
İKİYERİ NOLU ELEKTEM GECEN %		= 14.49
ÇAKILIN DÜZGÜL AĞIRLIĞI	gr/cm <sup>3</sup>	= 2.60
KUMUN DÜZGÜL AĞIRLIĞI	gr/cm <sup>3</sup>	= 2.54
ÇAKILDA SU EMME %		= 2.15
KUMDA SU EMME %		= 2.10
LOSANGELES ASIMMA KAYBI 100 DEVİR %		= 4.39
LOSANGELES ASIMMA KAYBI 500 DEVİR %		= 16.36
ÇAKILDA SODİYUM SULFAT DÖN KAYBI %		= 32.47
KUMDA SODİYUM SULFAT DÖN KAYBI %		= 37.67

### ELEK ANALİZİ



Not:

\*\* KDP TİANELİ PROJESİ \*\*  
 \*\* AGFESA FİİZİKSEL ÖRMEYELERİ \*\*  
 \*\* İLÇE İÇİNDEKİLERİ \*\*  
 NUMUNE NOVABASI = 301

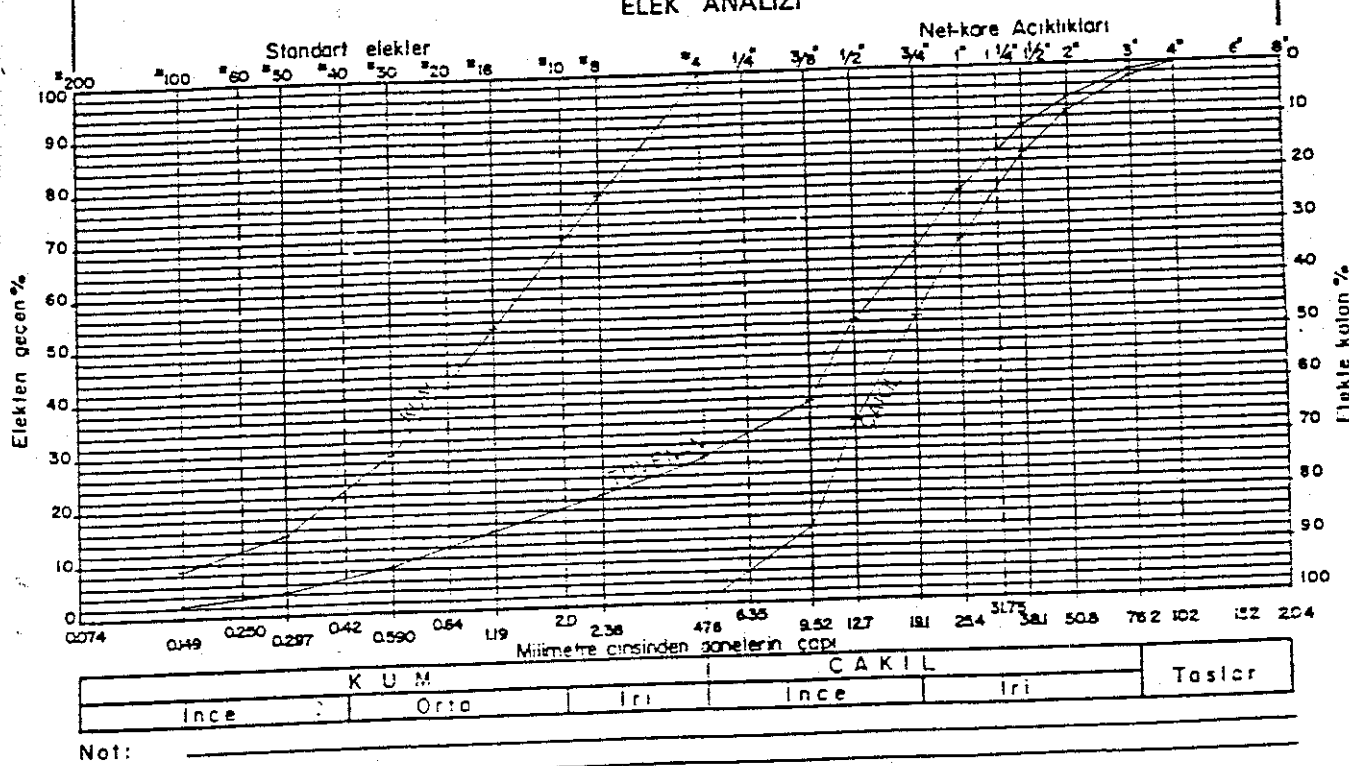
ELEK NO	ELEKTE KAL.	ELEKTE KAL. %	TOPLAN KAL. %	
3	937	2.6	1.9	2.6
2 1/2	690	1.9	1.4	4.5
2	1473	4.0	2.7	8.5
1 1/2	2828	7.8	5.6	16.3
1	5843	16.0	11.6	32.3
3/4	5358	14.7	10.6	47.0
1/2	6996	19.2	13.9	66.1
3/8	7258	19.9	14.4	86.0
4	5090	14.0	10.1	100.0
TOP.CAK.	36465			
KUM	13850			
TOP.TUV.	50315			

ELEK ANALİZİ İÇİN ALINAN KUM MİKTARI= 1000

ELEK NO	ELEKTE KAL.	ELEKTE KAL. %	TOPLAN KAL. %	
8	222	22.2	6.1	22.2
16	251	25.1	6.9	47.2
30	232	23.2	6.4	78.5
50	145	14.5	4.0	85.0
100	63	6.3	1.7	91.3
PAN	87	8.7	2.4	100.0

KUMUN BİRİM HACİM AĞIRLIĞI  
 ÇAKILIN BİRİM HACİM AĞIRLIĞI gr/cm<sup>3</sup> = 1.62  
 KUMUN İNCELIK MODÜLO gr/cm<sup>3</sup> = 1.52  
 İKİYÜZ NOLU ELEKTEM GECEN % = 4.16  
 ÇAKILIN DİZGÜL AĞIRLIĞI gr/cm<sup>3</sup> = 14.68  
 KUMUN DİZGÜL AĞIRLIĞI gr/cm<sup>3</sup> = 2.50  
 ÇAKILDA SU DEĞME % = 2.54  
 KUMDA SU DEĞME % = 1.99  
 LOSANGELES ASIMMA KAYBI 100 DEVİR % = 1.85  
 LOSANGELES ASIMMA KAYBI 500 DEVİR % = 5.00  
 LOSANGELES ASIMMA KAYBI 5000 DEVİR % = 19.66  
 ÇAKILDA SODİYUM SULFAT DÖN KAYBI % = 31.96  
 KUMDA SODİYUM SULFAT DÖN KAYBI % = 35.36

### ELEK ANALİZİ



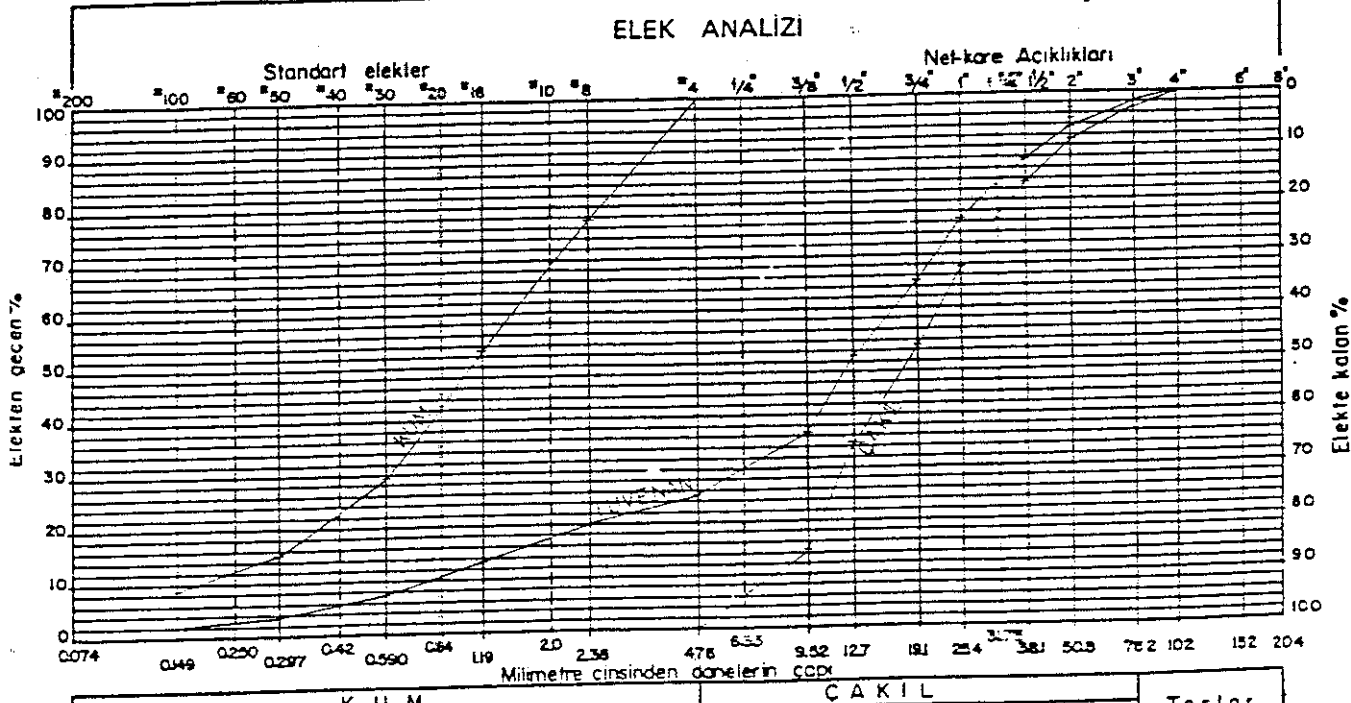
\*\*\* KUP TURELİ PROJESİ \*\*\*  
 \*\* AĞRIGA FİZİKSEL DENEYLERİ \*\*  
 NUMERA NUMARASI = 302  
 \*\*\*\*\*

ELEK NO	ELEKTE KAL.	ELEKTE KAL. %	TOPLAM KAL. %		
3	978	2.7	2.7	2.0	
2 1/2	716	7.0	1.5	4.7	3.5
2	1473	4.1	3.9	8.7	6.5
1 1/2	2727	7.5	5.6	16.2	12.1
1	5746	15.8	11.8	32.1	23.8
3/4	5435	15.0	11.1	47.1	34.9
1/2	6736	18.6	13.8	45.6	48.7
3/8	7382	20.3	15.1	85.9	63.8
4	5115	14.1	10.5	100.0	74.3
TOP.JAK.	36288				
KUM	12576				
TOP.JBV	48864				
ELEK ANALİZİ İÇİN ALINAN KUM MIKTARI= 1000					

ELEK NO	ELEKTE KAL.	ELEKTE KAL. %	TOPLAM KAL. %		
8	223	22.3	5.7	22.3	60.0
16	252	25.2	6.5	47.5	86.5
32	232	23.2	6.0	70.7	92.4
58	142	14.2	3.7	84.9	96.1
100	66	6.6	1.7	91.5	97.8
PAN	85	8.5	2.2	100.0	100.0

KUMUN BİRİM HACİM AĞIRLIĞI	gr/cm <sup>3</sup>	= 1.58
ÇAKILIN BİRİM HACİM AĞIRLIĞI	gr/cm <sup>3</sup>	= 1.54
KUMUN İNCELIK MODULU	%	= 4.17
İKİNCİ NOLU ELEKTER GECEN %		= 15.36
ÇAKILIN OZGÜL AĞIRLIĞI	gr/cm <sup>3</sup>	= 2.59
KUMUN OZGÜL AĞIRLIĞI	gr/cm <sup>3</sup>	= 2.51
ÇAKILDA SU EMME %		= 1.52
KUMDA SU EMME %		= 1.20
LOSANGELES ASIMMA KAYBI 100 DEVİR %		= 6.16
LOSANGELES ASIMMA KAYBI 500 DEVİR %		= 20.00
ÇAKILDA SODIUM SULFAT DIN KAYBI %		= 33.02
KUMDA SODIUM SULFAT DIN KAYBI %		= 37.45

### ELEK ANALİZİ



K U M

C A K I L

Tostar

Ince

Orta

Iri

Ince

Iri

Not:

\*\*\* KOP TIMELJ PROJESİ \*\*\*  
 \*\* AGREGA FİZİKSEL DENEYLERİ \*\*  
 NUMUNE NUMARASI = 203  
 \*\*\*\*

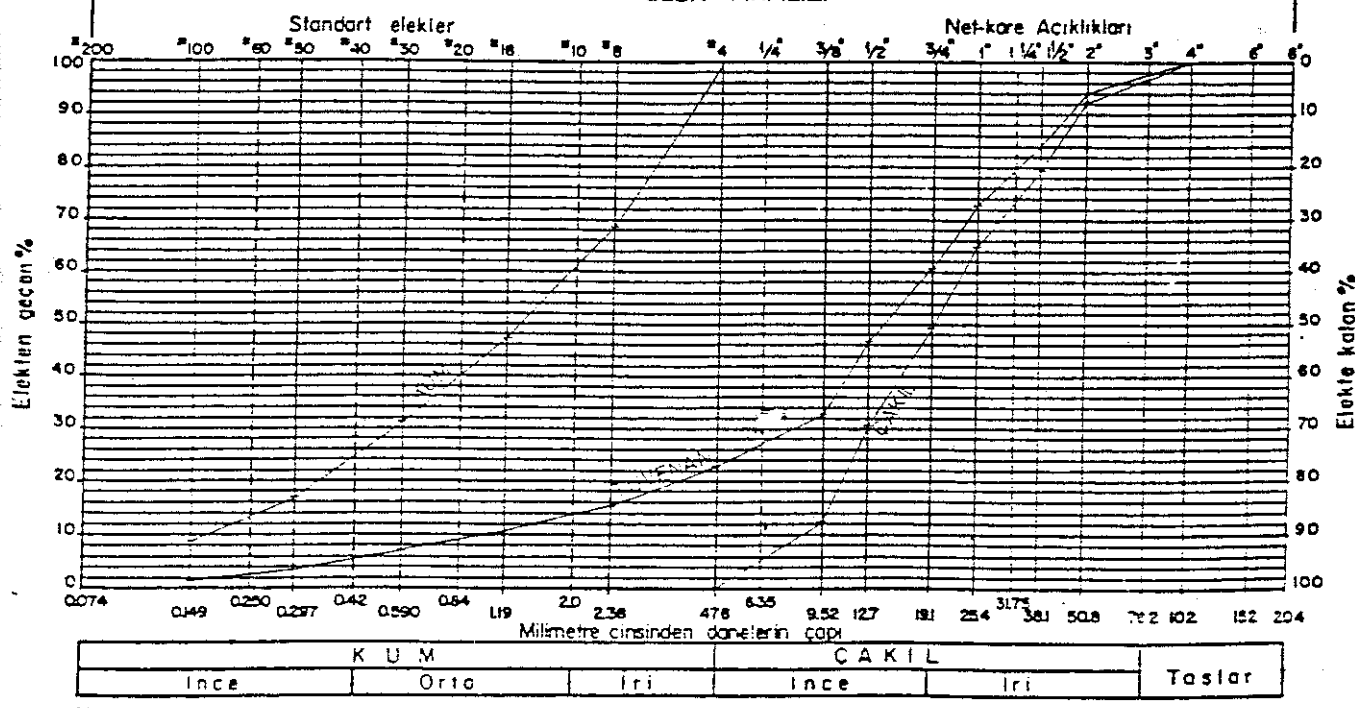
ELEK NO	ELEKTE KAL.	ELEKTE KAL. %	TOPLAM KAL. %	
3	976	3.4	2.6	2.6
3 1/2	327	1.1	0.9	4.5
2	957	3.3	2.5	7.8
1 1/2	3746	12.9	10.0	20.7
1	4325	14.9	11.5	35.6
3/4	4387	15.1	11.7	56.7
1/2	5518	19.0	14.7	69.7
3/8	5198	17.9	13.8	87.6
4	3612	12.4	9.6	100.0
TOP.ÇAK.	29046			
KUM	8512			
TOP.TUV	37558			
ELEK ANALİZİ İÇİN ALINAN KUM MİKTARI= 1000				

ELEK NO	ELEKTE KAL.	ELEKTE KAL. %	TOPLAM KAL. %	
8	312	31.2	7.1	31.2
15	219	21.9	5.0	53.0
30	157	15.7	3.6	68.7
50	145	14.5	3.3	83.2
100	86	8.6	1.9	91.8
PAN	82	8.2	1.9	100.0

KUMUN BİRİM HACİM AĞIRLIĞI  
 ÇAKILIN BİRİM HACİM AĞIRLIĞI  
 KUMUN İNCELIK MODULU  
 İKİYÜZ NOLU ELEKTEN GEÇEN %  
 ÇAKILIN ÖZGÜ AĞIRLIĞI  
 KUMUN ÖZGÜ AĞIRLIĞI  
 ÇAKILDA SU ENME %  
 KUMDA SU ENME %  
 LOSRİGELES ASIMMA KAYBI 100 DEVİR %  
 LOSRİGELES ASIMMA KAYBI 500 DEVİR %  
 ÇAKILDA SODIUM SULFAT DÖN KAYBI %  
 KUMDA SODIUM SULFAT DÖN KAYBI %

or/cm<sup>3</sup> = 1.57  
 or/cm<sup>3</sup> = 1.53  
 = 4.28  
 = 14.72  
 or/cm<sup>3</sup> = 2.38  
 or/cm<sup>3</sup> = 2.46  
 = 1.92  
 = 3.35  
 = 4.28  
 = 17.58  
 = 31.19  
 = 55.73

### ELEK ANALİZİ



Not:

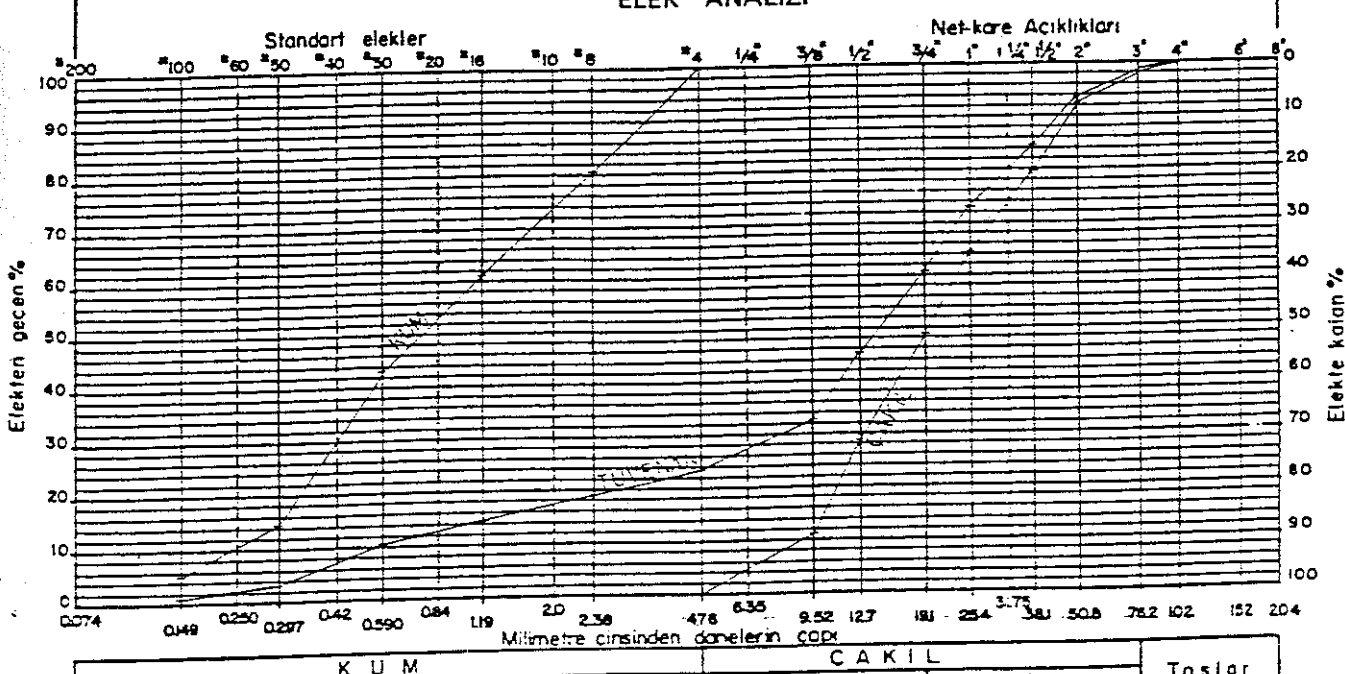
\*\* KDP TUNELI PROJESİ \*\*  
 \*\* ABEDE FİZİKSİL GEMEYLERİ \*\*  
 \*\* HÜMME NUMARASI = 304  
 \*\*\*\*

ELEK NO	ELEKTE KAL.	ELEKTE KAL. %	TOPLAM KAL. %	
3	647	2.0	1.5	2.0
2 1/2	526	1.6	1.2	3.6
2	1440	4.4	3.3	7.9
1 1/2	4127	12.5	9.6	20.5
1	4937	15.0	11.5	35.5
3/4	5246	15.9	12.2	51.4
1/2	6679	26.3	15.5	71.7
3/8	5587	17.0	13.0	68.6
4	3750	11.4	8.7	100.0
TOP.ÇAK.	32939			
KIR	10127			
TOP.JIU	43066			
ELEK ANALİZİ İÇİN ALINAN KUM MIKTARI= 1800				

ELEK NO	ELEKTE KAL.	ELEKTE KAL. %	TOPLAM KAL. %	
8	199	19.9	4.7	19.9
16	187	18.7	4.4	38.6
30	184	18.4	4.3	56.9
50	288	28.8	6.8	85.7
100	86	8.6	2.0	94.3
PAN	57	5.7	1.3	100.0

KUMUN BİRİM HACİM AĞIRLIĞI	gr/cm <sup>3</sup>	= 1.59
CÄKILIN BİRİM HACİM AĞIRLIĞI	gr/cm <sup>3</sup>	= 1.52
KUMUN İNCELIK MODULU	%	= 3.35
İKİNCİ NOLU ELEKTEN GEÇEN %		= 14.23
CÄKİLİN DÜZÜL ASİPLİĞİ	gr/cm <sup>3</sup>	= 2.55
KUMUN DÜZÜL AĞIRLIĞI	gr/cm <sup>3</sup>	= 2.53
CÄKİLDE SU ENİME %		= 1.90
KUMUR SU ENİME %		= 2.40
LOSANGELES ASTMAS KAYBI 100 DEVİR %		= 5.08
LOSANGELES ASTMAS KAYBI 500 DEVİR %		= 19.04
CÄKİLDE SODİUM SULFAT DON KAYBI %		= 32.22
KUMDA SODİUM SULFAT DON KAYBI %		= 36.90

### ELEK ANALİZİ



Not:

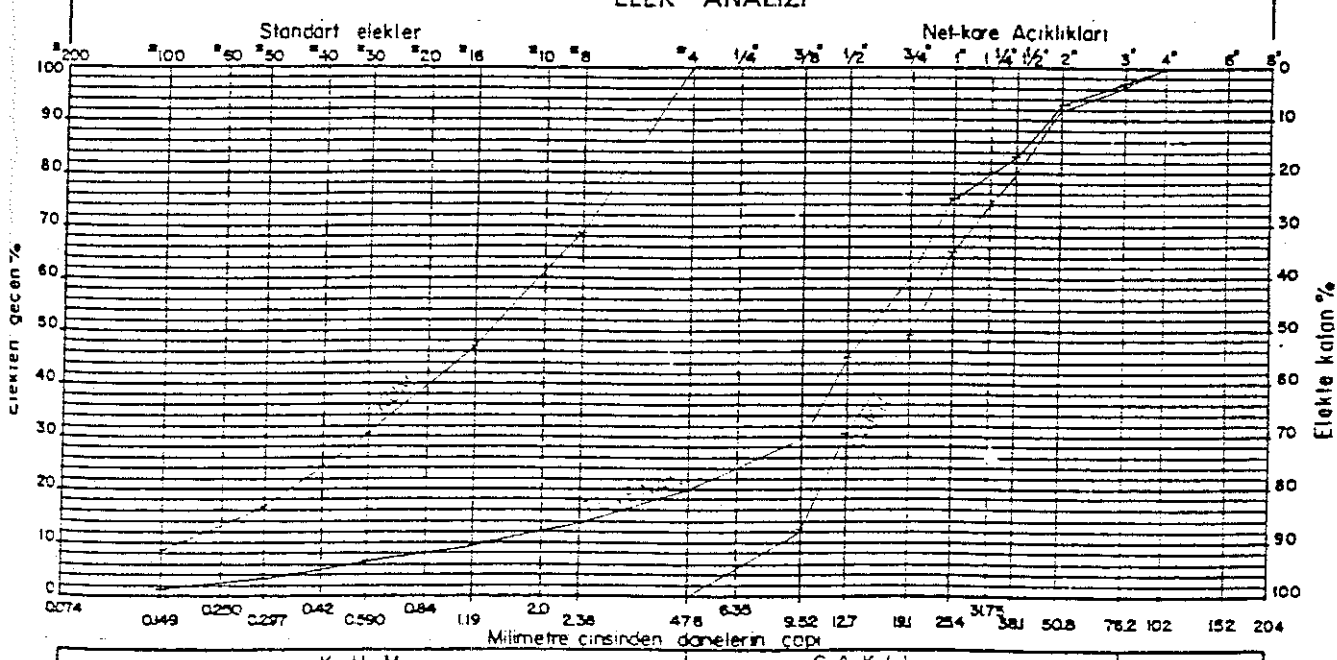
\*\*\*\*\*  
 \*\* KOP TİRELİ PROJESİ \*\*  
 \*\* AGREGA FİZİKSEL DEHİYELERI \*\*  
 \*\*\*\*\*  
 KUMUN İNDEKSİ = 305

ELEK NO	ELEKTE KAL.	ELEKTE KAL. %	TOPLAM KAL. %	
3	1002	3.5	2.8	3.5 2.8
2 1/2	0	0.0	0.0	3.5 2.2
2	963	3.3	2.7	6.3 5.5
1 1/2	3838	13.3	10.6	20.1 16.1
1	4380	14.9	11.9	35.0 28.0
3/4	4369	15.2	12.1	50.2 40.1
1/2	5582	19.4	15.5	69.6 55.6
3/8	5278	18.3	14.6	87.9 70.3
4	3500	12.1	9.7	100.0 86.0
TOP.CAK.	28831			
KUM	7215			
TOP.TUV	36046			
ELEK ANALİZİ İÇİN ALINAN KUM MİKTARI= 1000				

ELEK NO	ELEKTE KAL.	ELEKTE KAL. %	TOPLAM KAL. %	
8	312	31.2	6.2	31.2 86.2
16	221	22.1	4.4	53.3 90.7
30	159	15.9	3.2	69.2 93.8
50	144	14.4	2.9	83.6 96.7
100	82	8.2	1.6	91.8 98.4
PAN	82	8.2	1.6	100.0 100.0

KUMUN BİRİM HACİM AĞIRLIĞI gr/cm<sup>3</sup> = 1.61  
 ÇAKILIN BİRİM HACİM AĞIRLIĞI gr/cm<sup>3</sup> = 1.51  
 KUMUN İNCELIK MODÜLÜ % = 4.29  
 İKİYÜZ MOLU ELEKTER GECEN % = 14.00  
 ÇAKILIN DÜZÜ AĞIRLIĞI gr/cm<sup>3</sup> = 2.56  
 KUMUN DÜZÜ AĞIRLIĞI gr/cm<sup>3</sup> = 2.55  
 ÇAKILDA SU EMME % = 3.81  
 KUMDA SU BİMME % = 1.80  
 LOSANGELES ASIMMA KAYBI 100 DEVİR % = 4.34  
 LOSANGELES ASIMMA KAYBI 500 DEVİR % = 14.56  
 ÇAKILDA SODYUM SULFAT DON KAYBI % = 31.73  
 KUMDA SODYUM SULFAT DON KAYBI % = 25.12

### ELEK ANALİZİ



Not:

## VI. EKONOMİK JEOLOJİ

İnceleme sahasında Kop ultramafiti içinde bantlı ve benekli kromitler ile manyezit damarları bulunur. Benekli kromitler tipik leopar dokusu ile kolayca tanınır. Bantlı kromitler, magmatik bantlaşmaya paralel ve kalınlığı 4-10cm. arasında değişir. Kromitler, Kop ultramafiti içinde çeşitli yerlerde gözlenir, cevherleşmenin zengin olduğu yerler işletilmektedir. Manyezit, tipik süt beyazı rengi ile ultramafitler içinde kolayca tanınır ve çatlaklar boyunca gözlenir. Ayrıca, Gurri formasyonunun kireçtaşlarından oluşmuş yamaç molozları ile alüvyonal malzemeleri karayolunda dolgu, çevre inşaatlarda beton agregası olarak kullanılmaktadır.

## VII. DEPREMSELLİK

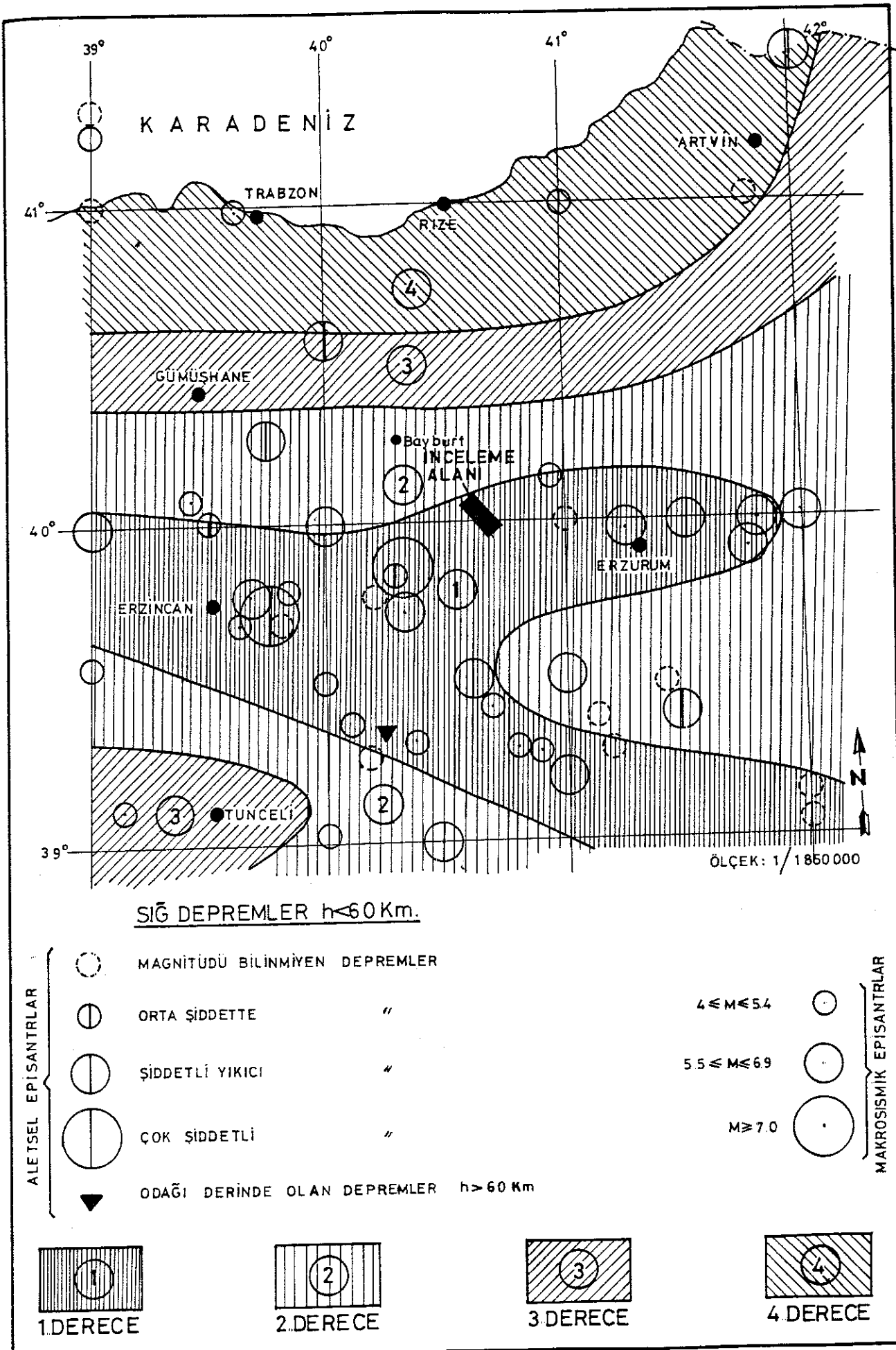
İnceleme alanı, İmar ve İskan Bakanlığı'nın hazırladığı "Türkiye deprem Bölgeleri Haritası"na göre 1. derecede bulunmaktadır (Şekil-42). İTÜ Türkiye ve Civarının Deprem Kataloğu, 1967" ve "İmar ve İskan Bakanlığı Deprem şiddetleri Kataloğu, 1970"e göre, inceleme alanı dolayında 1600-1900 yılları arasında duyulan başlıca depremlerin magnitüd ve koordinatları aşağıdadır:

Tarih	Magnitüd	Koordinat
1766	5.77	39°59'N-41°42'E
19.7.1783	6.37	39°44'N-39°30'E
1850	5.77	39°54'N-41°18'E
21.1.1859	6.37	39°59'N-41°40'E
2.1868	5.77	40°12'N-42°06'E
3.1868	5.77	40°12'N-42°06'E

Aletsel kayıt niteliginde iz bırakılan depremler 1900-1970 yılları arasında olmuştur.

Tarih	Magnitüd	Koordinat
1.1.1901	5.77	39°54'N-41°20'E
28.5.1903	5.77	41°12'N-42°42'E
1906	5.77	39°54'N-41°20'E
13.9.1924	6.90	39°59'N-41°60'E
21.11.1924	5.77	39°42'N-39°42'E
26.12.1939	8.00	39°42'N-39°42'E
31.5.1946	6.00	39°20'N-41°12'E
17.8.1949	6.75	39°30'N-40°42'E
28.3.1954	6.75	39°06'N-41°00'E

İnceleme alanının, 1. derecede deprem bölgesinde olması özelliğinden dolayı deprem ivmesi hesaplamalarında, hassas çalışmalar gereklidir. İnceleme sahasındaki yerkaymalarına deprem etkisi de önemlidir bir konudur.



Şekil-42- İnceleme alanının depremsellik haritası.

Earth quake map of the investigated area.

## VIII. SONUÇ ve ÖNERİLER

Trabzon-Erzurum karayolu Kopdağı 1 ve Kopdağı 2 tünel güzergahında yapılan bu irdeleme ile şu sonuçlara varılmıştır.

1-Kopdağı 1 ve Kopdağı 2 tünel güzergahındaki kayaçların fiziksel ve mekanik özellikleri ile süreklişılıklerin jeoteknik özellikleri belirlenmiştir.

2-Kopdağı 1 ve Kopdağı 2 tünel güzergahlarının eksen çizgileri boyunca 1/2000 ölçekli boy kesiti hazırlanmış ve yüzeyde görülen formasyon sınırı, fay ve tabaka konumlarının tünel kotunun hangi metrelerde nasıl kestiği saptanmıştır.

3-Tünellerde yapılan kaya kütlesi sınıflamaları araştırılmış RSR, RMR ve Q sınıflama sistemlerinin ilk ayrıntılı sınıflama sistemleri olduğu saptanmış ve bu üç sınıflama sistemi uygulamada esas alınmıştır.

4-Kopdağı 1 ve Kopdağı 2 tünel güzergahları RSR, RMR ve Q sistemleri ile sınıflandırılmış ve uygun iksa önlemleri bulunmuştur. Bulunan iksa önlemleri incelendiğinde RSR sisteminin yetersiz kaldığı, RMR sisteminin çok genel yaklaşımarda bulunduğu iksa seçimine en ayrıntılı yaklaşımı Q sisteminin yaptığı gözlenmiştir.

5-RSR, RMR ve Q sistemleri ile bulunan iksa önlemleri Q sistemi temel alınarak, jeolojik-jeoteknik koşullar da göz önünde bulundurulmak koşulu ile ilk kez bu çalışmada birleştirilmiştir.

6-Kopdağı 1 tünel güzergahında 0.000-0.060 km.ler arasındaki aktif heyelan malzemesinin siyırma kazısı ile temizlenerek tünel güzergahına en az 500 m. mesafede geri çekilmeli ve önüne istinat duvarı inşa edilerek çevre sular drene edilmelidir.

7-Kopdağı 1 tünel güzergahında 2.000-3.000 km.ler

arasında güzergaha çok heyelan malzemesi çok önemli su problemleri oluşturabilir. Bu nedenle heyelan bölgesi iyi bir şekilde drene edilmelidir.

8-Kopdağı 2 tünel güzergahının 0.000-2.030 km.ler arasında tamamı heyelan malzemesi içinde kalmaktadır.

9-Gölßerderesi formasyonunda bulunan çamurtaşları su ile temasta dağılabilir. Aynı çamurtaşları ile serpentinler şişme ve kabarma basınçlarına neden olabilir.

10-Kopdağı 1 tüneli 6., 7. ve 9. sonuçlar gözönünde bulundurularak açılabilir.

11-Kopdağı 2 tüneli 8. sonuca göre kesinlikle açıklamaz.

12-Karasu Çayı'nda beton agrega malzemesi olabilecek A, B ve C bölgeleri belirlenerek fiziksel özellik yönünden uygunlukları araştırılmış ve B bölgesi en uygun bölge olarak saptanmıştır.

13-B bölgесine ait sonuçlara göre beton karışım hesapları yapılmış, örnek betonlar dökülmüş, istenilen mukavemetler elde edilmemiştir. İstenilen mukavemetleri elde edebilmek için betona kırmataş ilave edilmesi gerekmektedir. Kırmataş olarak Gurri formasyonu kireçtaşları kullanılabilir.

14-Beton karışımlarında uygun karışım oranları bulunduktan sonra dona karşı dayanıklılığının ayrıntılı araştırması gerekmektedir.

15-Tünel açılması halinde, heyelanlı bölgeler ayrıntılı bir şekilde topografik, jeofizik, laboratuvar ve sondaj çalışmaları ile araştırılmalıdır.

16-Tünel açılması halinde, önceden araştırma galerileri açılarak yerinde deneylerin yapılması gereklidir.

17-Tünel güzergahlarında yapılan araştırma sondajları, tünel açılması halinde yeraltısı su için hazır su yolları oluşturabileceğinden, her sondaj kuyusu tamamlandıktan sonra betonla kapatılmalıdır.

## IX. ÖZET

Akdeniz Üniversitesi Fen Bilimleri Enstitüsü Jeoloji Mühendisliği Ana Bilim Dalı Uygulamalı Jeoloji Programında Doktora Tezi olarak hazırlanan bu incelemenin amacı, tünellerde kaya kütlesi sınıflamalarının incelenmesi, Kopdağı 1 Kopdağı 2 tünel güzergahlarına uygulanmaları ve bu güzergahların jeolojik-jeoteknik değerlendirilmesi ile tünelde kullanılabilecek beton agregası yer ve niteliklerinin araştırılmasıdır. Bunun için bölgenin 1/25 000 ölçekli tünel güzergahlarının 1/2 000 ölçekli ayrıntılı jeolojik harita ve kesitleri, malzeme sahasının 1/10 000 ölçekli harita ve kuyu kesitleri hazırlanmıştır. Çalışılan alanın yüzölçümü  $110 \text{ km}^2$  dir. Arazi, labaratuvar ve büro çalışmaları 1986 Haziran ayında başlamış ve 1989 Nisan ayına kadar sürdürülmüştür.

İnceleme alanı Doğu Karadeniz bölgesi ile Doğu Anadolu bölgesinin NE kesimi içinde, Gümüşhane iline bağlı Bayburt ilçesi ile, Erzurum iline bağlı Aşkale ilçesi arasında yer alır. Trabzon-Erzurum karayolunun çalışma sahasının tamamını NW-SE yönünde kateder. Morfoloji, NE-SW gidişli, yapıve litoloji ile tamamen uyumludur. Yükseltiler N'e doğru gidildikçe artar, Kopdağları'nda 3000 m.ye yaklaşır, S'e doğru 1500 m.ye iner.

Çalışma sahasında gözlenen en yaşlı birim Permo-Karbonifer öncesi yaşı Çankulesi Metamorfitler'idir. Metamorfitler'in diğer tüm birimlerle olan dokanağı faylidir. Alt-Orta Jura'da Sarıkaya formasyonu, Üst Jura-Alt Kretase'de Sarıkaya formasyonu ile uyumlu Gurri formasyonu yeralır. Miyosen'de Göllerderesi formasyonu kendinden öncesi birimleri açısal diskordanslı örter. Kop Ultramafiti Üst Jura öncesi oluşmuş ve Miyosen sonrası ikincil ve üçüncü hareketlerle bugünkü konumunu kazanmıştır. Kuvaterner, alüvyon ve

yamaç molozları ile temsil olunmuştur.

Çankulesi metamorfitleri gnays ve şistlerden oluşur, ayrıca ofiyolitler içinde tek bir blok şeklinde rekristalize kireçtaşları bulunur. Formasyonun tabanı gözlenemez ve düzgün bir istiflenme sunmaz, ofiyolitler içinde tektonik bir dilim şeklinde bulunur.

Mikaşistler, taze yüzeyi açık kahve, koyu boz ayırmış yüzeyi ise koyu gri, koyu kahverenklidir. Yapraklanma pek belirgin değildir. Mikroskopik olarak kuvars mika ve feldspat içerirler. Gnayalar, mikaşistlerle geçişli olup taze yüzeyi yeşilimsi mavimsi, açık gri ayrılmış yüzeyi ise kahverenklidir. Kuvars ve feldspatlardan oluşmuş seviyeler devamlı olmayan iri bantları oluşturur. Mikroskopik olarak, muskovit, biyotit, kuvars ve feldspatlardan oluşur. Rekristalize kireçtaşları yalnız Kandıltas Tepe'nin güneybatısında gözlenir ve rengi gri-beyaz arasında değişir, bol kırık ve çatıtlaklıdır.

Metamorfitler, Ketin (1951), Ağar (1977), Korkmaz, Baki (1984)'e göre Permo-Karbonifer öncesi yaştadır.

Kop Ultramafitleri çalışma sahasının büyük kısmını oluşturur ve yaklaşık NE-SW uzanımlı bir zon şeklinde gözlenir, magmatik bantlaşma SE'ya doğrudur. Magmatik bantlaşmaya dik yönde bir kesit alınırsa alt seviyelerde serpentinleşmiş harzburgitler ile yeryer dunitler yer almaktadır. Üste doğru harzburgit, piroksenli harzburgit, piroksenli gabro, gabro ve pegmatitik gabro şeklinde devam eder.

Serpentinleşmiş harzburgitlerin dış rengi açık yeşil, zeytuni yeşil, sarımsı yeşil ve kahverengimsi sarıdır. Harzburgitler yeryer Dunit mercekleri ile kesilir ve içlerinde benekli kromitler (Gullabi Komu) ve bantlı kromitler yer almaktadır. Dunit seviyelerini harzburgit seviyeleri izler ve bu seviyede de bazı kırık zonları boyunca kromit mercekleri gözlenir.

Üst seviyelere doğru gidildiğinde piroksen yüzdesi artar ve piroksenit düzeylerinin ayırtlanıldığı kromitli bir seviyeye gelinir. Piroksenit düzeylerini plajiolas-piroksen ardalanmasından oluşan bantlı gabrolar izler. Gabro seviyelerindeki plajiolas-piroksen diziliminden ölçülen magmatik bantlaşma K47D/65GD dur. Bunun Kop ultramafitinin genel uzanımına uyumlu olduğu gözlenir.

Kop ultramafitinin çalışma sahasında gözlenen dokanaklarının çoğu tektonik olduğundan bu kesimlerde birincil özelliklerini çoğun kaybeden bu kayalar tektonizma etkisi ile kırıklı ve eklemli bir görünüm kazanmışlardır. Dokanak zonlarından alınan numunelerde yoğun bir serpentinleşme gözlenir. Özellikle Henegebaşı mevkiinde ultramafitler bol kırıkçı çatlaklı ve blokludur. İnce kesitlerde tamamen serpantinite dönüşmüşlerdir. Ayrıca ultramafitler içinde serpentinleşmenin yoğun olduğu kesimlerde yeraltisuları etkisi ile killeşme ve ofiksitler gözlenir. Kop ultramafitlerini Üst Jura-Alt Kretase yaşı Gurri formasyonu diskordan olarak örtter. Buna göre ultramafitler Üst Jura öncesi oluşmuştur. Alt Kretase ve Miyosen sonrası ikincil ve üçüncü hareketlerle bugünkü konumunu kazanmışlardır.

Sarıkaya formasyonu harita alanının NW'sında yer almaktadır. Tabanı gözlenemez, üst sınırı Üst Jura-Alt Kretase yaşı Gurri formasyonu ile geçişlidir. Bol kıvrım ve kıvrımcıklı olan formasyon gözlenebildiği yerlerde tabanda ince orta katmanlı, siyah renkli oolitik kireçtaşları ile başlar ve gri-bej renkli orta-kalın katmanlı yeryer bordo kırmızı renkli ince-orta katmanlı kireçtaşlarına geçer. Açık gri, beyaz renkli orta-kalın katmanlı kumtaşları, kireçtaşları ile ara katmanlıdır. Kireçtaşları içinde yeryer gri, beyaz renkli, orta-kalın katmanlı çört yumruları içeren kireçtaşı ara seviyeleri gözlenmektedir. Formasyonun üst seviyelerine doğru kumtaşı, marn ve çamurtaşı yoğunlaşır. Formasyon Ketin (1951), Korkmaz, Baki (1984), Özer (1984)'e göre Alt-OrtaJura yaşılidır.

Gurri formasyonu Trabzon-Erzurum karayolunun her iki tarafında yer alır ve yüksek tepeleri oluşturur. Gurri formasyonu alttan üste doğru üç ümeye ayrılmıştır. Bakdülü kireçtaşısı-şeyl üyesi, Kızılışme çörtlü kireçtaşısı üyesi, Aktaş kumtaşı-kireçtaşısı-şeyl üyesi. Tektonizmadan etkilenmiş bol kıvrımlı ve dokanak zonları çögün faylı olan formasyon Sarıkaya Tepe kuzeyinde, altındaki Sarıkaya formasyonu ile uyumludur. Akdağ, Aktaş ve henegebaşı mevkilerinde Kop ultramafiti üzerinde diskordan olarak bulunur. Gurri formasyonunu Gölßerderesi formasyonu diskordanslı bir şekilde üzerler.

Bakdülü üyesi Gurri formasyonunun en alt seviyesini oluşturur ve yaygın bir şekilde mostra verir. Hakim litolojisi kireçtaşısı olan Bakdülü üyesi içinde yeryer şeyl ve marn ara seviyeleri gözlenir. Kireçtaşları, açık bej, beyazimsı, grimsi, orta-kalın katmanlı, çok sert, yer yer çört yumrulu, kırık ve çatlakları boyunca gelişmiş bol kalsit damarlı ve tabanda bol Ammonit fosillidir. Marnlar, beyazimsı, bej, ince-orta katmanlı, sert, şeyller ise koyu gri, yeşilimsi, laminalı, kıymiksı ayırtılabilir ve dağılgandırlar. Bakdülü üyesi içerdığı mikro fosillere göre Üst Jura-Alt Kretase yaşındadır.

Kızılışme üyesi çört ve çörtlü kireçtaşlarından oluşur. Siyah kalın çört bantları ile topografyada kolayca tanınır. Çörtlü kireçtaşları, açık gri, bej, krem renkli, orta-kalın katmanlı, çok sert, kalsit damarlıdır. Çörtlü kireçtaşları içinde kalınlığı yeryer 30 cm. ye ulaşan çörtler, siyahımsı, leşilimsi kahverengi, ince-orta katmanlı, bol kırık ve çatlaklıdır. Kızılışme üyesi tabanda Bakdülü üyesi ile geçişlidir ve Üst Jura-Alt Kretase yaşındadır.

Gölßerderesi formasyonu, Saptıran civarında, Kopdibi Komu Mahallesi ve SW'sında, Kandıltas Tepe ve E'sunda mostra verir. Gölßerderesi formasyonu, Kandıltas çakıltası üyesi ve Göller kumtaşı-şeyl-çamurtaşı üyelerinden oluşur. Formasyon Gurri formasyonu üzerinde diskordanslıdır. Miyosen sonrası tektonik hareketlerle Kop ultramafiti ve Gurri formasyonu Gölßerderesi formasyonunu şariyajla örter.

Kandıltas üyesi formasyonun tabanını oluşturur ve çakıltaları ile temsil edilir. Çakıltaları, tabanda çok kalin katmanlı, iri, köşeli yada az köşeli çakıllıdır. Matris kumlu, karbonatlı olup, çimento killi karbonattır. Çakılla-rin elemanları metamorfit kayaçlar, serpantin, spilitik bazalt Gurri formasyonu kireçtaşı ve kumtaşlarından oluşmuştur. Kandıltas üyesi Bilgin(1983)'e göre Miyosen yaşıdır.

Göller üyesi tabanda Kandıltas üyesi ile uyumludur, üst sınırı faylidir ve alüvyon dsında başka birim tarafından örtülmez. Gri, boz, ince-orta katmanlı, ince taneli, iyi boyanmış, sert, karbonat çimentolu, bol kırıkçı, kırıkları kalsit ve kil dolgulu kumtaşı, Göller üyesinin hakim litolojisini oluşturur. Kumtaşları ile arakatmanlı çamurtaşları, kiremit kırmızısı, ince-orta katmanlı, kumlu, çakıllıdır. Şeyl ise, açık boz, laminalı, kıymıksı ayırmalı dağılgandır. Bazı ara seviyelerinde kahverengimsi, gri, ince katmanlı, yer yer laminalı, orta sert kumlu kireçtaşları gözlenir. Göller üyesi Ketin(1951), Göttinger(1955)'e göre Miyosen yaşıdır.

Kuvaterner yaşlı alüvyon, Göller Deresi, Kışkançlı Dere, Kop Deresi, Henege suyu, Naldöken Dere boyunca gözlenir. Mil boyutundan blok boyutuna kadar değişen tutturulmamış malzemeyi kapsayan alüvyon kalınlığı 1-30 m. arasında değişir. Gurri formasyonuna ait yamaç eğimlerinin fazla olduğu sırtlarda kireçtaşlarından türeyen yamaç molozlarında gözlenir.

Harita alanında Kop ultramafiti ile Gurri formasyonu, Gurri formasyonu ile Göllerderesi formasyonu arasındaki dokanak açısal diskordanslıdır. Miyosen sonrası gelişen tektonik hareketlerle diskordans düzlemleri birincil özelliklerini kısmen korumuşlardır. Sarıkaya formasyonu ve Gurri formasyonu bol kıvrım ve kıvrımcıklıdır. Fliş fasiyesinde çökelen bu iki formasyondaki kıvrımlanmalar kısmen çökelme ile kısmen de faylanmalar ile gelişmişlerdir. Eksen doğrultuları faylanmalara uygun ve NE-SW gidişlidir. Heyelan malzemesi içinde de pek çok kıvrım gözlenir. Ancak bunların herhangibir geometrisi yoktur ve tamamen heyelan etkisi ile gelişmiştir.

İnceleme alanında tünel güzergahı boyunca yüzeyleyen tüm birimlerin eklemleri ayrıntılı olarak incelenmiştir. Ölçülen eklemlerin stereografik ve eşit alan izdüşümleri hazırlanmış, eklemlerin derişme dereceleri bir tabloda toplanmıştır.

İnceleme sahasında düşey, ters, doğrultu atımlı, şariyaj olmak üzere 13 adet fay gözlenmektedir. Faylar Miyosen'den sonra üst üste iki sıkışma ve bir gerilme kuvvetleri etkisi ile üç tektonik dönemde gelişmiştir. Birinci tektonik dönemde Kop ultramafiti, Çankulesi metamorfitleri, Gurri formasyonu ve Göllerderesi formasyonu üzerine itilmiştir. Sıkışma kuvvetleri etkisi ile gelişen bu birinci tektonik dönemde, Kop şariyajı, Cankurtaran şariyajı ve Saptıran şariyajı gelişmiştir. İkinci tektonik dönemde ise tekrar sıkışma kuvvetleri etkisi ile Gurri formasyonu, Göllerderesi formasyonu üzerine, Kop ultramafiti, Gurri formasyonu üzerine itilmiştir. Tabanda bulunan Çankulesi metamorfitleri bir ters fay yardımı ile yükselmiştir. Bu tektonik dönemde Göller ve Henegebaşı şariyajı ile Çankulesi ters fayı oluşturmıştır. Üçüncü tektonik dönemde gerilme kuvvetleri etkilidir ve çekim fayları ile doğrultu atımlı faylar gözlenir. Bu dönemde Akdağ, Aktaş, Kışkançlı, Kalenintaş düşey fayları ile Sarıkaya ve Karataş doğrultu atımlı fayları gelişmiştir.

Kopdağı 1 ve Kopdağı 2 tünel güzergahında yer alan kayaçların fiziksel ve mekanik özellikleri ile süreklilerin jeoteknik özellikleri incelenmiştir. 3 formasyona ait 7 birimden alınan 120 deney numunesi ile birim hacim ağırlık, özgül ağırlık, su muhtevası, su emme, porozite, boşluk oranı, doluluk oranı gibi fiziksel özellikler belirlenmiş ve sonuçlar her iki tünel güzergahı için ayrı tablolarda toplanmıştır. Mekanik özelliklerin belirlenmesinde 88 karot ve sayısız şe- kilsiz örnektten yararlanılmıştır. Yapılan deneylerle tek eksenli, üç eksenli basınç, çekme, nokta yükleme dayanımları, elastisite modülü, poisson oranı, kohezyon, iç sürtünme açıları saptanmış ve Kopdağı 1, Kopdağı 2 tünel güzergahları için

tek bir tabloda toplanmıştır. Tünel güzergahlarındaki kayaçların mekanik özelliklerine göre genel bir değerlendirmesi de yapılmıştır. Süreksizliklerin devamlılık, açıklık, dolgu malzemesi gibi jeoteknik özelliklerinin belirlenmesi için 3 formasyona ait 7 bölgede toplam 649 lokasyonda gözlemler yapılmış, sonuçlar histogram çözümleri şeklinde değerlendirilmiştir. Dolgu malzemesi ve kayaç kütlesi bozunma dereceleri incelenmiş ve tüm sonuçlar heriki güzergah için bir tabloda toplanmıştır.

Kopdağı 1 tünel güzergahı 3.060 km., Kopdağı 2 tünel güzergahı 6.120 km. uzunluktadır. Heriki tünelde kazı yüksekliği 10.50 m., kazı genişliği 11.80 m.dir. Heriki tünelde de iksa önlemlerinin belirlenebilmesi için kaya kütlesi sınıflamaları incelenmiş ve direkt arazi gözlemlerine dayanan, çeşitli arazi koşularına göre değerlendirme yapılabilen, basit ve kolay uygulanabilen RSR, RMR ve Q sistemleri kullanılmıştır.

Kopdağı 1 ve Kopdağı 2 tünel güzergahları RSR, RMR ve Q sistemlerine göre sınıflandırılmış ve sonuçlar tablo halinde karşılaştırılmıştır. Tablolar incelendiğinde üç sisteme bulunan sonuçların farklı, olduğu en ayrıntılı yaklaşımı Q sistemi ile bulunduğu gözlenmiştir. Ancak diğer sistemlerinde değerlendirmede Q sistemine göre üstün tarafları olduğundan sonuçları gözardi etmek mümkün değildir. Bu nedenle yazar, her üç sistemle bulduğu iksa önlemlerini Q sistemi ağırlıklı olmak şartı ile jeolojik koşullarında gözönüne alarak birleştirmiş ve tek bir tabloda toplamıştır.

Tünel güzergahlarında bulunan tüm birimler hidrojeolojik yönden incelenmiştir. Gurri formasyonunun bol kırık ve çatlaklı kumtaşı, kireçtaş seviyelerinde yeryer 3 lt/sn debiye ulaşan kaynaklar mevcuttur. Diğer birimlerde 0.1 lt/sn ve sizıntı dışında büyük kaynak gözlenmez. Heyelan bölgelerinde debileri 0.1-5 lt/sn arasında değişen kaynaklar gözlenmiştir.

Kopdağı 1 ve Kopdağı 2 tünel güzergahları ve çevrelerinde yapılan arazi gözlemleri ile heyelanlı olan 7 bölge belirlenmiştir. Bu heyelanlı bölgelerden Kopdağı 1 ve Kopdağı 2 tünel güzergahlarına etkisi olabilecek 3 bölgede gözlemler yoğunlaştırılmış ve bu 3 bölgedeki heyelanların: özellikleri, oluş mekanizması aktifliği ile tünel güzergahına etkisi incelenmiştir.

Birinci heyelan bölgesi; Kopdağı 2 tünel güzergahının giriş ağzı (Gümüşhane tarafı)'ndan başlayarak Kandıtaş Tepe'nin NW'sına kadar uzanan, SW sınırı Kışkaçlı Dere'de sonuçlanan kesimdir. Kopdağı 2 tünel güzergahının 2.030 km. lik kesimi bu heyelan bölgesi içinde kalır.

İkinci heyelan bölgesi; Kopdağı 1 tünel güzergahının giriş ağzının (Gümüşhane tarafı) 500 m. güneyinden başlar. Her iki tarafda dere ile sınırlı olan bu heyelanın topuk bölgesi tünelin giriş ağzının 60 m.lik bir kısmında içine alır.

Üçüncü heyelan bölgesi; Gurri Tepe S'inden başlayarak Kopdağı 1 ve Kopdağı 2 tünel güzergahlarının çıkış ağızlarına (Erzurum tarafı) kadar uzanarak devam eder. Kopdağı 1 tünel güzergahını kesmez. Kopdağı 2 tünel güzergahının 112 m.lik bir kesimi bu heyelan bölgesi içinde kalır.

Bu inceleme ile elde edilen tüm verilerden yararlanılarak Kopdağı 1 ve Kopdağı 2 tünel güzergahlarının jeolojik ve jeoteknik değerlendirmesi yapılmıştır. Değerlendirmede her yapısal bölge önce tanımlanmış, fiziksel ve mekanik özellikleri belirtildikten sonra karşılaşılabilen muhtemel sorunlara deðinilmiştir.

Kop ultramafiti, genelde geçirimsiz sağlam görülmekle birlikte faylanma ve yeraltısuyu etkisi ile ayrılmış, kile dönüşüm seviyeler içerir. Fay zonuna yakın yerlerde bol miktarlarda su gelişleri, killi seviyelerde şişme ve kabarmalar meydana gelebilir. Kopdağı 1 tünel güzergahında 2.000-

3.000 km. ler arasında ultramafit üzerinde tünel kotuna oldukça yaklaşan heyelan düzleminden ani su patlamaları beklenmelidir.

Gurri formasyonu, tünel kotunda Bakdülü kireçtaşısı-şeyl üyesi ile temsil edilir. Kireçtaşlarının bol kırıkçı olması serbest basınç mukavemetini olumsuz yönde etkiler. Bu kırıklar aynı zamanda yeraltısuyuna hareket serbestliği sağlar. Kireçtaşlarında tünel açımında su problemleri olmaktadır. Su problemi ani su patlamaları, su boşalmaları şeklinde değil, eklemelerden devamlı su gelişî şeklinde beklenmelidir. Yüzey çalışmalarında kireçtaşlarında karstlaşma gelişmediği gözlenmiştir. Fazla sayıda eklem bulunduran bölgelerde kaya düşmeleri ve aşırı sökülmeler gelişebilir. Kireçtaşı içinde ara seviyeler halinde bulunan marn ve şeyller hem kaya kütlesinin dayanımını düşürür, hemde aşırı sökülmeye kaya düşmelerine yardımcı olur. Fay zonlarına yaklaşıldığında önemli su problemleri ile karşılaşılabilir.

Göllerderesi formasyonu çakıltashları az sayıda eklemli eklemeleri sıkıca bağlı, kalın katmanlıdır. Bu özellikle tünel açımında genelde bir problem yaratmayacağını gösterir. Kaya kütlesi sınıflamalarında da çok sağlam-sağlam (Q) kaya sınıfına girmektedir. Kandıtaş Tepe'de çapları 30 cm. ye ulaşan erime boşlukları bulunması önemlidir. Bu boşlıklar yeraltısuyunun hareketine neden olup, sorun yaratabilirler.

Göllerderesi formasyonu çamurtaşları çok düşük dirençlidir. Deneyler sırasında bazı numuneler su ile temasta dağılmıştır. Birimin suya karşı hassas olduğunu, tünel açımında kesinlikle uzun süre su ile temasta bırakılmamalıdır.

Kopdağı 1 tünel güzergahı 0.000-0.060 km. ler arasındaki heyelan tünelin giriş ağzını içine alır, aktiftir. Tünel açımında heyelan malzemesi kesinlikle temizlenmeli ve önüne istinat duvarı inşaa edilmelidir.

Kopdağı 2 tünel güzergahı 0.000-2.030 km.ler arasındaki heyelan tünelin tamamını içine alır. Yüzeyde aktif olduğu gözlenen bu heyelan bölgesinde tünelin açılması kesinlikle mümkün değildir.

Kopdağı 1 tünel güzergahı 0.364-0.380, 1.480-1.510 km. Kopdağı 2 tünel güzergahı 2.810-2.814, 3.610-3.630, 4.540-4.555 km.ler arasında bulunan fay zonlarında anı göçmeler su problemleri beklenmeli bu kesimler kesinlikle çelik iksa ile geçilmelidir.

Beton agrega araştırmaları için tunellere en yakın yer olan Karasu Çayı (Erzurum-Aşkale)'nda agrega ocağı olabilecek iki bölge (A ve B bölgeleri) saptanmıştır. Bu bölgelerde 24 numune 21 gözlem kuyusu açılmıştır. Ayrıca Aşkale-Trabzon yolu üzerindeki eski dere alüvyonlarının (C bölgesi) uygunluğu 3 yarma ve 3 gözlem kuyusunda araştırılmıştır. Üç bölgeden alınan numunelerin önce fiziksel deneylerle uygunluğu araştırılmış ve B bölgesi en uygun bölge olarak saptanmışır. Beton karışım hesaplarında B bölgesine ait deney sonuçları ve aynı bölgenin numuneleri kullanılmıştır. Bulunan sonuçlara göre istenen mukavemetler elde edilememiştir. Yazar, bunun nedeninin kökeni ofiyolitik ve volkanik kayalar dan oluşan çakillardan olduğu düşünmektedir. Betonun mukavemetinin artırılabilmesi için Gurri formasyonuna ait tünel kazısından çıkarılacak kireçtaşlarının kırılıp granülometrisi düzeltilerek betona ilave edilmesi gerekmektedir. Kireçtaşlarının kırmataş olarak hangi oranlarda betona katılması gerektiği ayrıca yapılacak deneylerle belirlenebilir.

İnceleme sahası 1. derecede deprem bölgesi içinde bulunmaktadır.

## KAYNAKLAR

- 1-Ağar, Ü., (1975), Demirözü (Bayburt) ve Köse (Kelkit) bölgelerinin jeolojisi; Doktora Tezi, İ.Ü.Fen Fakültesi.
- 2-Akdeniz, N., (1984), Demirözü (Bayburt) Permo-Karboniferi ve bölgesel yapı içindeki yeri; T.J.K. Bülteni, S.5, 92-93, Ankara.
- 3-Aksay, A., (1987), Yesircöl Dağı (Erzurum) dolayının genel jeolojisi; M.T.A rapor No.8233, Ankara.
- 4-Altınlı, İ.E., (1963), 1/500.000 ölçekli Türkiye Jeoloji Haritası (Erzurum Paftası) ve açıklaması; M.T.A yayını, Ankara.
- 5-Altınlı, İ.E., (1966), Doğu ve Güneydoğu Anadolu'nun Jeolojisi; M.T.A dergisi, S.66, 35-74, S.67, 1-24, Ankara.
- 6-Barton, N., Lien, R.,and Lunde, J.,(1974), Engineering Classification of Rock Masses for the Design of Tunnel Support; Rock Mechanics, Vol.6, No.4, pp.183-236, Springer Verlag.
- 7-Bektaş, O., Pelin, S., Korkmaz, S., (1984), Doğu Pontit yay-gerisi havzasında manto yükselimi ve polijenetik ofiyolit olgusu; Ketiş Simpozyumu, 175-188, İstanbul.
- 8-Bieniawski, Z.T., (1973), Engineering Classification of Jointed Rock Masses; Transactions of the South African Institution of Civil Engineers, Vol.15, No.12, pp.335-344.
- 9-Bieniawski, Z.T., (1975), The Point-Load Test in Geotechnical practice; Eng. Geol., 9, pp. 1-11.
- 10-Bieniawski, Z.T., (1976), Rock Mass Classification in Rock Engineering; Proceedings, Symposium on Exploration for Rock Engineering, pp.97-106 ,Rotterdam.
- 11-Bieniawski, Z.T., (1979), Tunnel Design By Rock Mass Classification; U.S.Army Engineer Waterways Experiment Station, Technical Report GL-79-19, Washington D.C.
- 12-Bilgin, A., (1983), Serçeme (Erzurum) deresi ve dolayının Jeolojik-Petrografik incelemesi; TÜBİTAK, Proje No. TBAG-450, Erzurum.
- 13-Bilgin, A., (1984), Serçeme (Erzurum) deresi ve dolayındaki Filiş ve kireçtaşlarının Jeokimyası; T.J.K bülteni, S.5, 51-58, Ankara.

- 14-Brekke, T.L., and Howard, T.,(1972), Stability Problems Caused by Seams and Faults; Proceedings, Rapid Excavation and Tunneling Conferance, American Institution of mining Engineers, pp. 25-41, New York.
- 15-Brinkmann, R., (1976), Geology of Turkey; Elsevier Scientific Publishing Company, Amsterdam.
- 16-Buruşuk, A., (1973), Bayburt Yöresinin mikropaleontolojik ve stratigrafik irdelemesi; Doktora tezi, İ.Ü. Fen Fakültesi
- 17-Buruşuk, A., (1981), Aşkale-Bayburt yöresinde (KB Erzurum) Calpionellid biyozonları; K.T.Ü Yer Bilimleri Dergisi C.1, S.1, 21-28, Trabzon.
- 18-Cording, E.J., and Deere, D.V., (1972), Rock Tunnel Supports and Field Measurements; Proceedings, Rapid Excavation and Tunneling Conferance, American Institution of mining Engineers, pp. 601-622, New York.
- 19-Doyuran, V., Uğurlu, A., Harut, A., (1982), Mekke iç çevre yolu projesi, MIT-2 tünelinin jeoteknik incelemesi; T.J.K Bülteni, C.25, S.1, 73-80 Ankara.
- 20-D.S.İ.,(1984), Beton Semineri; Ankara.
- 21-D.S.İ.,(1986), Tünellerin Projelendirmesi ve İnşaası Semineri; C.1,2, Adana.
- 22-E.G.W.P.,(1977), The Description of Rock Masses for Engineering Purposes; Eng.Geol., Vol.10, pp.355-388, Great Britain.
- 23-Erguvanlı, K., (1952), Trabzon-Gümüşhane arasındaki Pontitlerin bir kesiti; T.J.K Bülteni, C.III, S.2,65-68, Ankara.
- 24-Erguvanlı, K., Goodman, R.E., (1973), Kazılarda çatılar etkisinin kinematik modellerle araştırılması; T.J.K Bülteni, C.XVI, S.1, 27-40, Ankara.
- 25-Erguvanlı, K., (1982), mühendislik Jeolojisi; İ.T.Ü. yayını, S.1227, İstanbul.
- 26-Eriş, İ., (1986), Q sistemi ve kuzey Haliç Kanalizasyon Tünellerine Uygulanması; Mühendislik Jeolojisi Bülteni, No.8, 31-37, İstanbul.
- 27-Eroskay, S.O., (1970), Laleli Tosköy derivasyon tüneli jeolojisi raporu; E.İ.E. yayını, Ankara.
- 28-Ertunç, A., (1976), Fırat-Gölköy bendi Göl alanı geçirimsizliğinin ve yer kaymalarının Jeoloji incelemesi; Doktora tezi, E.İ.E yayını, No.76-24, 149 S.,Ankara.

- 29-Ertunç, A., (1979), Mühendislik Jeolojisi Ders Notları; Ankara Üniversitesi Fen Fakültesi.
- 30-Ertunç, A., (1984), Çoruh-Norgah ve İspir Baraj yerleri ve göl alanları ile Norgah-İspir tünel güzergahının mühendislik jeolojisi incelemesi; Doçentlik Tezi, E.İ.E yayını, No.84-53, 56 S., Ankara.
- 31-Ertunç, A., (1984), Tünellerde yapılan kaya sınıflamaları; E.İ.E, Tünelcilik Semineri, 164-206, Ankara.
- 32-Göttinger, T.E., (1956), Trabzon-Rize-Gümüşhane-Erzurum-Artvin-Kars vilyetlerinin bulunduğu sahadaki doğu Pontitlerde yapılan jeolojik Löve, ikmal, revizyon çalışmaları hakkında rapor; M.T.A rapor No.2380, Ankara.
- 33-Göttinger, T.E., (1962), 1/500 000 ölçekli Türkiye Jeoloji Haritası (Trabzon) paftası ve Açıklaması; M.T.A yayını Ankara.
- 34-Gürpınar, O., (1978), Bilecik-İnegöl-Yenişehir arasındaki Jeolojisi ve Bilecik Kireçtaşının Mühendislik Özellikleri; İ.Ü.F.F. Mecmuası, Seri B., 40, I-4, İstanbul.
- 35-Gürpınar, O., (1986), Malzeme Bilgisi Ders Notları; İ.Ü. Müh. Fak., (Yayınlanmamış).
- 36-Hobst, L., and Zajic, J., (1983), Anchoring of underground Excavation; Developments in Geotechnical Engineering, Vol.33, pp.308-358, USA.
- 37-Hoek, E., Brown, E.T., (1980), Underground Excavations in Rock; The Institution of Mining and Metallurgy, London.
- 38-I.S.R.M., (1978), Suggest Methods For The Quantitative Description of Discontinuities In Rock Masses; Int. 1. Rock Mech. Min. Sci.& Geomech. Abstr. Vol.15, pp. 319-368, Great Britain.
- 39-I.S.R.M., (1981), Basic Geotechnical Description of Rock Masses; Int. 1. Rock Mech. Min. Sci.& Geomech. Abstr., Vol.18, pp.85-110, Great Britain.
- 40-İ.T.Ü, M.J.K.M., (1982), İ.S.K.İ. Eyüp Tünel Güzergahının Mühendislik Jeolojisi ve Kaya Mekanığı Raporu; Rapor no. 82/16, İstanbul.
- 41-İ.T.Ü, M.J.K.M., (1983), İ.S.K.İ. Haliç Tüneli Güzergahının Mühendislik Jeolojisi ve Kaya Mekanığı Raporu; Rapor No.83/6, İstanbul.
- 42-Jumikis, A.R., (1979), Rock Mechanics; Series on Rock and Soil Mechanics, Vol.3, No.5, Trans.Tech. Publications, Germany.

- 43-Karaogullarından, T., Özgür, N., (1977), Aslantaş Barajının Mühendislik Jeolojisi ve Filişlerde tünel kazısı; Jeo. Müh. Dergisi, S.2, Ankara.
- 44-Kendiroğlu, Z., (1976), Erzurum-Aşkale doğu Kop bölgesi Kromit Yataklarının Jeolojisi; M.T.A rap.no.6454, Ankara.
- 45-Ketin, İ., (1950), Erzincan ile Aşkale arasındaki sahanın (1/100 000'lik 46/4 ve 47/3 paftalarının) jeolojisine ait memuar; M.T.A rap. no. 1950, Ankara.
- 46-Ketin, İ., (1951), Bayburt bölgesinin Jeolojisi hakkında; İ.Ü. Fen Fakültesi Mecmuası, Seri B, C.XVI, S.2, 113-127, İstanbul.
- 47-Ketin, İ., (1966), Anadolunun tektonik birlikleri; M.T.A Dergisi, S.66, 20-34, Ankara.
- 48-Ketin, İ., (1972), Yapısal Jeoloji; İ.T.Ü yayın no. 869, İstanbul.
- 49-Ketin, İ., (1983), Türkiye Jeolojisine Genel Bir Bakış; İ.T.Ü Kütüphanesi, 1259, 158-162, İstanbul.
- 50-Korkmaz, S., Baki, Z., (1984), Demirözü (bayburt) Güneyinin Stratigrafisi; T.J.K Bülteni, S.5, 107-115, Ankara.
- 51-Kuntel, A., (1977), tünel desteği projeleri için kaya kütelerinin mühendislik sınıflaması; Çeviri, D.S.İ Jeoteknik I, Ankara.
- 52-Lahn, E., (1939), Karasu ile Çoruh nehri (Erzurum Vilayeti) arasındaki mintikada yapılan jeolojik tettikata dair rapor; M.T.A rapor no. 838, Ankara.
- 53-Merritt, A.H., (1972), Geological Prediction for Under-ground Excavations; Proceedings, rapid Excavation and Tunneling Conference, American Institution of mining Engineers, pp.115-132, New York.
- 54-Norman, T., (1976), Bayburt güneyindeki Alt Tersiyer havzasında paleo-akıntı yönleri; T.J.K Bülteni, C.XIX, S.1, 23-30, Ankara.
- 55-Özer, E., (1984), Bayburt (Gümüşhane) yöreninin jeolojisi; K.Ü. dergisi, C.3, S.1-2, 77-89, Trabzon.
- 56-Postacioğlu, B., (1987), Beton; Agregalar-beton, C.2, Teknik Kitaplar Yayınevi, İstanbul.
- 57-Roberts, A., (1981), Geotechnology; Pergamon Press, Great Britain.

- 58-Soyer, H., (1986), Beton Mukavemeti ve Kalite Kontrol Semineri; D.S.İ XVIII. Böl.Md.Jeot.ve Lab. Baş Mühendisliği, Isparta.
- 59-Tarakçı, M., (1984), Tünellerin Tanımı ve Tünel Terminolojisi; E.İ.E, Tünelcilik Semineri, 1-20, Ankara.
- 60-Tarhan, F., (1981), Artvin Baraj yerinde Nokta Yük Aleti Bir Uygulama; K.T.Ü Yerbilimleri Dergisi, C.1, S.2, 165-173, Trabzon.
- 61-Tarhan, F., (1984), Artvin Granitinin Mühendislik Özellikleri; K.T.Ü. Dergisi, C.3, S.1-2, 33-46, Trabzon.
- 62-T.S.E., (1975), Kayaçların Çekme Dayanımlarının Tayini; TS.2027, UDK.622.02, Ankara.
- 63-T.S.E., (1975), Kayaçların Tek Eksenli Basınç Dayanımlarının Tayini; TS.2028, UDK.622.02, Ankara.
- 64-T.S.E., (1975), Kayaçların Üç Eksenli Basınç Dayanımlarının Tayini; TS.2029, UDK.622.02, Ankara.
- 65-T.S.E., (1975), Kayaçların Elastisite Modülünün ve Poisson Oranının Tek Eksenli Basınç Deneyi ile Tayini; TS.2030 UDK.622.02, Ankara.
- 66-T.S.E., (1978), Doğal Yapı Taşlarının Muayene ve deney Metodları; TS.699, UDK.691.2, Ankara.
- 67-T.S.E., (1985), Beton Karışım Hesap Esasları; TS.802, UDK.666.97.031, Ankara.
- 68-Türk-Japon Proje Elemanları, (1979), Report on geological survey of Tunceli and Kop area Eastern Turkey; PhaseII, Kopdağ Area, M.T.A rapor no. 6548, Ankara.
- 69-Unay, G., (1975), kaya Mekanığı İlkeleri ve Tünel Jeolojisi Çeviri, E.İ.E Bülteni, S.58, 9-19, Ankara.
- 70-Unay, G., (1978), kayadaki Süreksizliklerin Saptanması; Çeviri, Jeoloji Mühendisliği Dergisi, S.6, 49-54, Ankara.
- 71-Vardar, M., (1978), Mühendislik Jeolojisi-Yeraltı Kaya Mekanığı İlişkisi; T.J.K, Müh. Jeol. Milli Kom., Müh. Jeol. Simp., 29-36, Ankara.
- 72-Vardar, M., (1979), İleri Kaya Mekanığı; İ.T.Ü Maden Fakültesi, İstanbul.
- 73-Vardar, M., (1982), Tünel Projelerinde Kaya Mekanığı Çalışmaları; kaya Mekanığı Bülteni, S.1, Ankin Kitabevi, İstanbul.

- 74-Wickham, G.E., Tiedemann, H.R., and Skinner, E.H.,(1972),  
Support determination Based on Geologic Predictions;  
Proceedings, Rapid Excavation and Tunneling Conferan-  
ce, American Institution of mining Engineers, pp.43-64,  
New York.
- 75-Yüzer, E., (1973), Yerkabuğunun Sığ Derinliklerindeki Ge-  
rilmeler ve Bunların Mühendislik İşlerindeki önemi;  
İ.T.Ü Dergisi, C.30, S.3, İstanbul.
- 76-Yüzer, E., Zambak, C., (1974), Jeolojide Deneysel Kaya  
Mekanığı; Çeviri, İ.T.Ü yayını, no.998, İstanbul.